

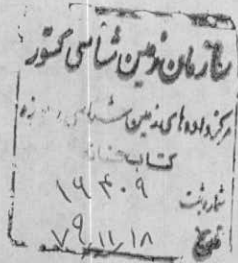
وزارت معادن و فلزات
سازمان زمین‌شناسی و اکتشافات معدنی کشور



گزارش اکتشافات ژئوشیمیایی سیستماتیک

در

حدوده برگه ۱:۱۰۰،۰۰۰ حنا



آذر ماه ۱۳۷۹

فهرست مطالب

عنوان	صفحة
راهنمای آلبوم نقشه‌ها	
تقدیر و تشکر	
• فصل اول: <u>کلیات</u>	(۱-۱۵)
۱- مقدمه	۱
۲- اهداف اکتشافات ژئوشیمیائی در مقیاس ناحیه‌ای	۱
۳- جمع‌آوری اطلاعات	۲
۴- موقعیت جغرافیائی و آب و هوایی منطقه	۳
۵- زمین‌شناسی ناحیه‌ای	۴
۶- بررسی رسویات رودخانه‌ای در مناطق خشک	۱۲
۷- بررسی حوضه‌های آبریز	۱۵
• فصل دوم: <u>نمونه‌برداری</u>	(۱۶-۲۱)
۱- مقدمه	۱۶
۲- عوامل مؤثر در طراحی نمونه‌برداری	۱۸
۳- عملیات نمونه‌برداری	۱۹
• فصل سوم: <u>نقش سنگ‌بستر</u>	(۲۲-۳۱)
۱- جدایش جوامع سنگی	۲۲
۲- نقش سنگ‌بستر در ارزیابی مقدار زمینه و حد آستانه‌ای	۲۸

فهرست مطالب

عنوان	صفحة
۱-۲- نقش سنگ بستر در ایجاد آنومالیهای کاذب	۲۸
۲-۲- تغیرپذیری سنگ بستر	۲۹
۳-۲- بررسی مقادیر کلارک سنگهای رخمنودار در منطقه	۲۹
• فصل چهارم: پردازش داده‌ها	(۴۸-۳۲)
۱- مقدمه	۳۲
۲- پردازش داده‌های سنسورد	۳۲
۳- پردازش داده‌های جوامع تک‌سنگی	۳۷
۴- پردازش داده‌های جوامع دو‌سنگی	۳۹
۵- پردازش داده‌های طلا	۴۰
• فصل پنجم: تخمین مقدار زمینه	(۵۴-۴۹)
۱- تحلیل ناهمگنی‌ها	۴۹
۲- سیمای ژئوشیمیائی جوامع مختلف براساس سنگ بستر بالادست	۴۹
۳- تخمین مقدار زمینه	۵۰
• فصل ششم: تخمین شبکه‌ای شاخصهای غنی‌شدگی	(۹۷-۵۵)
۱- تخمین شبکه‌ای	۵۵
۲- شاخص غنی‌شدگی	۵۸
۳- محاسبه احتمال رخداد هر یک از شاخص‌های غنی‌شدگی	۵۹
۴- معرفی متغیرهای تک عنصری و چند عنصری و رسم نقشه‌ها	۶۴

فهرست مطالب

صفحه

عنوان

۹۲	۵- محاسبه آنومالی در جامعه نمونه های آلوویوم
• فصل هفتم: فاز کنترل آنومالیهای ژئوشیمیائی (۹۸-۱۶۸)	
۹۸	۱- مقدمه
۹۹	۲- ردیاب های کانی سنگین
۱۰۰	۳- بزرگی هاله های کانی سنگین
۱۰۱	۴- نمونه برداری کانی سنگین، زونهای مینرالیزه و آلترا احتمالی
۱۰۱	۴-۱- نکاتی در مورد محل، چگالی و وزن نمونه های کانی سنگین
۱۰۳	۴-۲- معرفی مناطق آنومال برگه ۱:۱۰۰,۰۰۰ حنا
۱۲۱	۵- پردازش داده های کانی سنگین
۱۲۱	۵-۱- رسم هیستوگرامها
۱۴۸	۵-۲- دیاگرامهای پراکندگی و آنالیز کلاستر
۱۵۲	۶- تخمین شبکه ای و رسم نقشه متغیرهای کانی سنگین
۱۵۵	۷- نتایج حاصل از نمونه های مینرالیزه
۱۵۵	۸- آنالیز ویژگی نمونه های مینرالیزه
۱۶۱	۹- مطالعه تغییرپذیری دانسیتی گسلها
۱۶۱	۹-۱- مقدمه
۱۶۲	۹-۲- روش مطالعه
۱۶۲	۹-۳- داده های خام
۱۶۳	۹-۴- پارامترهای آماری مجموع طول گسلها
۱۶۳	۹-۵- پارامترهای آماری امتداد گسلها

فهرست مطالب

عنوان	صفحة
۶-۹-رسم نقشه دانسته گسلها	۱۶۴
● فصل هشتم: مدل سازی آنومالیهای ژئوشیمیائی	(۱۸۹-۱۸۶)
۱-روش کار	۱۶۹
۲-مدل سازی	۱۷۱
۱-۲-مقدمه	۱۷۱
۲-۲-مدل های عددی	۱۷۳
۳-۲-مدل سازی آنومالیهای ژئوشیمیائی در برگه حنا	۱۷۳
۴-۲-اولویت بندی مناطق امیدبخش	۱۸۳
۵-۲-معرفی مناطق امیدبخش نهایی	۱۸۵

تقدیر و تشکر

اسامی همکارانی که با تلاش پیگیر خود در پیشبرد پروژه نقش موثری داشته و جا دارد از
زحمات آنها قدردانی شود عبارتند از :

۱- نمونه برداری

رامین هندی، پیام سودی شعار، مسعود فهمی نیا، حسین نقوی و بهنام بابایی و داود
نوروزی

۲- آماده سازی نمونه ها

سید جمال الدین رضوانی و حسن دانشیان و بخش آماده سازی نمونه ها در سازمان
زمین شناسی و اکتشافات معدنی.

۳- پردازش

رامین هندی، پیام سودی شعار، داود نوروزی، مریم دهقان، آوا اشراق، فرشته رستمی، بهرام
ابوالقاسمی آرش ارفعی.

۴- کنترل آنومالی ها

رامین هندی، پیام سودی شعار، علی مظفری، ناصر جاودانی، قیس بدخشنان ممتاز، بهزاد
محمدی، اسماعیل حیدری، حسین رضایی و دانیال کاویانی.

۴- کانی سنگین

بخش مطالعات کانی سنگین سازمان زمین شناسی و اکتشافات معدنی، سرکار خاتم صالحی
و سلیمانپور.

۵- خدمات آزمایشگاهی

بخش آزمایشگاه سازمان زمین‌شناسی و اکتشافات معدنی سرکار خانمهای محسنی و کریمی و آقای مهندس نقوی، و آزمایشگاه شرکت توسعه علوم زمین.

۶- تهیه نقشه و گزارش

پیام سودی شعار، رامین هندی، مسعود فهیمی‌نیا، حسین نقوی، مریم دهقان، آوا اشراق، فرشته رستمی، بهرام ابوالقاسمی آرش ارفعی در بخش تایپ گزارش نیز سرکار خانم بقایی از سازمان زمین‌شناسی و شرکت تایپ قدس (نشر آیندگان) همکاری داشته‌اند.

راهنمای آلبوم نقشه‌ها

شماره نقشه	شرح نقشه
۱	نقشه نمونه برداری: محل برداشت نمونه های ژئوشیمیابی و کانی سنگین از رسوبات آبراهه های و محیط های آبرفتی و محل نمونه های میزالیزه، آنتراسیون و پلمنینگ سیستم.
۲	نقشه توزیع شاخص غنی شدگی متغیر Au : فراوانی های معادل ۱٪ بالای جامعه بعنوان مناطق امیدبخش احتمالی انتخاب شده اند.
۳	نقشه توزیع شاخص غنی شدگی متغیر Cu : فراوانی های معادل ۱٪ بالای جامعه بعنوان مناطق امیدبخش احتمالی انتخاب شده اند.
۴	نقشه توزیع شاخص غنی شدگی متغیر Hg : فراوانی معادل ۱٪ بالای جامعه بعنوان مناطق امیدبخش احتمالی انتخاب شده اند.
۵	نقشه توزیع شاخص غنی شدگی متغیر $(As+Ag+Ba)$: فراوانی معادل ۱٪ بالای جامعه بعنوان مناطق امیدبخش احتمالی انتخاب شده اند.
۶	نقشه توزیع شاخص غنی شدگی متغیر $(W+Bi+Pb)$: فراوانی معادل ۱٪ بالای جامعه بعنوان مناطق امیدبخش احتمالی انتخاب شده اند.
۷	نقشه توزیع مجموع کانه های با ارزش مشاهده شده در مطالعات کانی سنگین، مناطق با فراوانی معادل بیش از ۲۵٪ به عنوان مناطق امید بخش احتمالی انتخاب شده اند.
۸	نقشه توزیع مجموع کانه های آهن مشاهده شده در مطالعات کانی سنگین، مناطق با فراوانی معادل بیش از ۲۵٪ به عنوان مناطق امید بخش احتمالی انتخاب شده اند.
۹	نقشه توزیع فراوانی اپیدوت مشاهده شده در مطالعات کانی سنگین، مناطق با فراوانی معادل بیش از ۲۵٪ به عنوان مناطق امید بخش احتمالی انتخاب شده اند.
۱۰	نقشه توزیع داتسیته گسلها، محدوده زونهای دگرسانی با گسترش قابل ملاحظه و محدوده ترده های نفوذی نیمه عمیق بعنوان منابع حرارتی احتمالی و مناطق امیدبخش مدل سازی شده به همراه اولویت بندی مناطق امید بخش

فصل اول

کلیات

۱- مقدمه

اکتشافات ناحیه‌ای در مقیاس $\frac{1}{100,000}$ در زمرة عملیات اکتشافی زیربنائی بحساب می‌آید که هدف آن شناخت نواحی با پتانسیل معدنی است. برای نیل به این اهداف، از روش‌های مختلف ژئوفیزیکی، ژئوشیمیایی و اطلاعات ماهواره‌ای می‌توان بهره برد. نقشه‌برداری ژئوشیمیایی در مقیاس ناحیه‌ای نیز یکی از این روش‌هاست که می‌تواند با نمونه‌برداری از رسوبات رویدخانه‌ای انجام پذیرد. پروژه حاضر بخشی از طرح اکتشافات ژئوشیمیایی سیستماتیک می‌باشد که در محدوده برگه ۱:۱۰۰,۰۰۰ حنا انجام می‌پذیرد. اجرای این پروژه در دو بخش طراحی شده است. بخش اول عملیات تارسم نقشه آنومالیهای ژئوشیمیایی و تعیین مناطق با پتانسیل ادامه می‌یابد. بخش دوم شامل عملیات کنترل آنومالی‌های از طریق مطالعات کانی سنگین، آلتراسیون، مناطق کانی‌سازی و شکستگی‌های پر شده (Plumbing system) تعقیب خواهد شد و در نهایت اگر پس از کنترل به نتایج مثبتی متنه شوند، بعنوان مناطق امیدبخش معرفی خواهد شد.

۲- اهداف اکتشافات ژئوشیمیایی در مقیاس ناحیه‌ای

بطور تجربی ثابت شده است که رسوبات آبراهه‌ای (عموماً جزء ۸۰-مش) می‌تواند در اکتشافات کوچک مقیاس ناحیه‌ای (۱:۱۰۰,۰۰۰ تا ۱:۲۵۰,۰۰۰) بسیار مفید واقع شود. نتایج حاصل از این نوع بررسیهای اکتشافی می‌تواند در تحلیل ایالات ژئوشیمیایی و شناخت الگوهای ژئوشیمیایی ناحیه‌ای و همچنین نواحی‌ای که در آنها احتمال کشف نهشته‌های کانساری بیشتر می‌باشد، بسیار مؤثر واقع شود. علاوه بر کاربردهای مستقیم ذکر شده، نقشه‌های ژئوشیمیایی رسوبات آبراهه‌ای می‌تواند کاربردهایی در زمینه کشاورزی و محیط‌زیست نیز داشته باشد. بدیهی است که اهداف اکتشافی این نوع بررسیها با اهدافی نظیر تشخیص الگوهای ناحیه‌ای برای

توزیع عناصر، متفاوت است و بدین جهت باید برای هر منظوری از روش مناسب با آن استفاده کرد.

در مورد اول که هدف کشف آنومالی در هاله‌های ثانوی است، باید از تکنیکهای آماری‌ای استفاده کرد که اختلاف بین مقادیر آنومالی و روندهای ناحیه‌ای را به حداقل مقدار خود برساند و در نتیجه از طریق شدت بخشی آنومالیها، به شناسائی هر چه دقیق‌تر آنها پی‌برد. در حالت دوم چون هدف دستیابی به روندهای ناحیه‌ای است، باید از تکنیکهای آماری‌ای استفاده کرد که اثرگذاری آنومالیها را در روندهای ناحیه‌ای به حداقل مقدار خود برساند. چگالی نمونه‌برداری در اینحالت یک نمونه برای چند کیلومترمربع است که بوسیله سقف بودجه کنترل می‌شود.

۳- جمع‌آوری اطلاعات

در این مرحله استناد و مدارک مربوط به منطقه تحت پوشش به شرح زیر تهیه و مورد مطالعه قرار گرفت:

۱- نقشه‌های توپوگرافی ۱:۵۰،۰۰۰ منطقه مورد مطالعه شامل چهار گوشه‌ای چادگل، نروک، پورکی و گرم

۲- عکس‌های ماهواره‌ای با مقیاس ۱:۱۰۰،۰۰۰ منطقه مورد مطالعه و اطراف آن
(این اطلاعات در بخش دورسنجی سازمان وجود داشته است).

۳- نقشه زمین‌شناسی ۱:۱۰۰،۰۰۰ حنا

۴- نقشه توپوگرافی ۱:۲۵۰،۰۰۰ حنا

۵- نقشه ژئوفیزیک هوائی (مغناطیس هوائی) با مقیاس ۱:۱۰۰،۰۰۰ منطقه مورد مطالعه.
با توجه به اطلاعات حاصل از مدارک فوق الذکر، برنامه عملیات صحرایی جهت نمونه‌برداری پی‌ریزی گردید و در هر مورد نقش پارامترهای مؤثر در برنامه ریزی اکتشافی (بخصوص در

نمونه برداری) مورد بررسی قرار گرفت که خلاصه آن در بخش‌های بعدی گزارش آورده شده است.

۴- موقعیت جغرافیایی و آب و هوایی منطقه

منطقه مورد مطالعه بین طولهای جغرافیایی 58° و 58° تا 30° و عرضهای جغرافیایی 28° تا 28° و 20° قرار دارد. این محدوده دشتی است معتدل و خشک که ده حنا در ۷۰ کیلومتری جنوبشرقی جیرفت قرار گرفته است. ارتفاع آن ۸۹۰ متر می‌باشد. رودخانه گلو از غرب ده حنا می‌گذرد. کوه حنا در غرب آبادی قرار دارد.

برگه ۱:۱۰۰,۰۰۰ حنا شامل چهار بخش ۱:۵۰,۰۰۰ چادگل، نروک، پورکی و گرم می‌باشد. منطقه چادگل در ۱۰۵ کیلومتری جنوبشرقی جیرفت واقع شده است. کوه «بزدان» در جنوبشرق، کوه «کوشان» در شمالشرق و کوه «تیرران» در شمالغرب آن قرار دارد.

از نظر آب و هوایی میانکوهی، معتدل و خشک است و ارتفاع آن ۱۱۶۲ متر می‌باشد. نروک با طول جغرافیایی 16° و عرض جغرافیایی 58° و 28° مشخص می‌گردد که در ۱۱۰ کیلومتری شمالشرق کهنه‌ج قرار گرفته است.

پورکی دشتی معتدل و خشک در ۸۲ کیلومتری شمال شرقی کهنه‌ج می‌باشد. منطقه گرم در ۷۳ کیلومتری جنوبشرقی جیرفت قرار دارد که ده حنا در این منطقه قرار گرفته است.

به طور کلی بالاترین ارتفاع منطقه کوه «فریزو» با ارتفاع ۲۷۰۰ متر و کمترین ارتفاع حدود ۵۵۰ متر است. در دوره بارندگی رودخانه‌های موقتی در قسمت جنوبی کوههای جبال بارز جریان می‌یابد. از لحاظ بارندگی در این محدوده، بارش کم می‌باشد که نتیجاً کمی زراعت در منطقه را داریم و خشکی متداول است.

کاروپیشه اغلب ساکنین منطقه کشاورزی، دامداری و فرشتابفی است.

۵-زمین‌شناسی ناحیه‌ای

منطقه تحت پژوهش این پژوهه عمدها شامل ۱-سکانس ولکانیکی - آذرآواری، رسوبی

۲-سکانس رسوبی، رسوبی - ولکانیکی ۳-سکانس ولکانیکی ۴-سکانس رسوبی است.

شرح مختصری بر سکانس‌های فوق داریم:

۱-سری ولکانیکی - آذرآواری، رسوبی: قیمتی‌ترین سنگ‌های منطقه را سن اثوسن تشکیل میدهد که در ناحیه رود «فرک» با واحدهای توف سبز و ماسه سنگ و آهک مشخص می‌گردد و شامل رسوبات آذرآواری - آواری - دایکهای میکرودیوریتی - توف - آندزیت - کنگلومرا و ماسه سنگ و سنگ آهکی می‌باشد.

۲-سکانس رسوبی، رسوبی - ولکانیکی: شامل کنگلومرا، ماسه سنگ، مارن - مارن ماسه‌ای، داسیت، توف توده‌ای داسیتی و توف ماسه‌ای و سنگ آهک فسیل دار و بیوکلاستیک است.

۳-سری ولکانیکی: ولکانیکهای بعد از الیگومیوسن را معرفی می‌کند و شامل سنگ‌های آتش‌شناختی اسیدی تا حد واسط و دایکهای گرانیت و گرانولدیوریت، پورفیری و دیاباز است که دایکها به سنگ‌های الیگو - میوسن نفوذ کرده‌اند.

۴-سری رسوبی: به سن نئوژن و بعد از آن می‌باشد. لایه‌های نئوژن در قسمتهای پایینی شامل ماسه سنگ‌های گچ‌دار قرمز می‌باشد که معرف شرایط نیمه خشک محیط رسوبی است که در قسمت جنوبی کوه «سمتا» قرار دارد و لایه‌های بالایی نئوژن کنگلومرا سخت نشده می‌باشد.

رسوبات کواترنر به شکل دونهای ماسه‌ای و جلگه‌های آبرفتی بیشتر قسمتهای جنوبی و غربی منطقه را پوشانده و روی رسوبات نئوژن قرار گرفته است.

قسمت شمالی منطقه حوضه رودخانه‌ای جبال بارز را تشکیل میدهد. این ناحیه شامل رسوبات ائوسن تا کواترنر همراه با رسوبات آواری آتشفشانی و گرانیتی است.

قسمت جنوبی منطقه شامل حوضه رودخانه‌ای عمیقی است که عمدهاً بوسیله لایه ضخیمی از سنگ ریزه پوشیده شده که در مجموع صحرای لخت و وسیعی را شکل میدهد.

بیشترین ارتفاعات در کوه «فریزو» حدود ۲۷۰۰ متر و کوه «بندریزان» ۲۱۰۰ متر می‌باشد.

کمترین ارتفاع اندازه‌گیری شده در ده «کوهستان» با ۵۵۰ متر ارتفاع است.

در قسمت جنوبی راههای کمی بوسیله ماشین قابل تردید است ولی در نواحی شرقی و شمالی منطقه تردید از طریق راههای مشکل «مال رو» میسر است.

قدیمی‌ترین سنگهای مشاهده شده در ائوسن است. در ناحیه رود «فرک» لایه‌هایی بالایه‌بندی خوب توف سبن، ماسه سنگ و لایه‌های آهکی داریم و در ناحیه کوه «فریزو» اگلومرا، ریولیت توف ریولیتی، کنگلومرا و توف داسیتی ائوسن میانی بوجود آمدند.

این لایه‌ها بوسیله جبال بارز بریده شده‌اند و دایکهای متعددی آنها را قطع می‌کنند و تا اندازه‌ای متامورفیکی شده‌اند.

طبقات آذرآواری که بصورت منظم مطبق گشته است در دامنه جنوبی با شیب ۳۵° مشخص شده‌اند. دامنه شمالی با رسوبات جدیدتر پوشیده شده است. طاقدیس با عرض ۱۵-۲۰ کیلومتر در جهت شمال‌غربی توسعه می‌یابد. طبقات به صورتی شکسته شده‌اند که در آنها شکستگی‌ها و اتصالات کم و بیش تحت زاویه ۹۰ درجه هستند.

منطقه کوه «داربندان» و کوه «پاگار» اندک ترده آنژیتی نسبتاً ضخیم که با گدازه‌های آتشفشانی لایه‌بندی شده، تشکیل یافته است. به نظر می‌رسد که گدازه‌ها داخل سنگهای آذرین بدون هیچگونه فرسایشی قرار گرفته باشند.

جنوب ده «تنگ کنارک» از ترده عظیم توف داسیتی ریزدانه تشکیل شده است. قسمتهای حاوی کربنات به ترکیبات اسیدی تا حدواسط با بافت پورفیری تغییر کرده است. این سنگها در

تماس با گرانیت جبال بارز شدیداً سیلیسی شده‌اند.

در شمال ده «نرگسان» در مسافت ۲۵ کیلومتری در ناحیه «روداب» و رود «فاروق» لایه‌های

از ماسه سنگ و کنگلومرا و توف داریم. سنگها از توف سبز، خاکستر و قسمتی سنگ ریزه‌های کربناتی استوانه‌ای شکل تشکیل شده است. این سنگها در ترتیب شامل توده‌های سنگ آهک است.

چنین به نظر می‌رسد رسوب محلی آواری در محیط عمده‌شنج بوسیله نشت پیوسته و انباسته شدن سریع تشکیل شده است. سنگ ریزه‌های آهکی به صورت محلی شامل فسیل هستند که سن ائوسن زیرین را نشان میدهد. این لایه‌ها شامل تعداد بیشماری از دایکهای دیوریتی می‌باشند که در بخش مرکزی آنها نفوذ کرده‌اند.

دورترین افق این ده شامل یکسری کنگلومرا، ماسه سنگ و شیل می‌باشد که به صورت طاقدیس ملایمی در شرق ده «روداب» شکل می‌گیرد. الیگوسن در جنوب و شرق ده «نرگسان» بوسیله سه خاصیت لایه‌شناسی مجزا شده است. در قسمتهای شمالی «کلوک‌کشن» و شرق ده «نرگسان» سنگ ریزه‌های ماسه‌ای و کنگلومرای سرخ تیره را با چین ملایمی در ائوسن داریم. ضخامت کنگلومرای شمال‌شرقی «سرجنگل» فقط چند دهم متر است که با کنگلومرای جنوب‌شرقی ده «نرگسان» به ضخامت چندین متر، قابل مقایسه نیست. کنگلومرا شامل تخته سنگ‌هایی با ابعاد مختلف است که عمده‌اش از گدازه‌های زیر لایه آندزیتی و آذرآواری تشکیل شده است. ماتریکس (خمیره) آن از شنهای زبر و سیلت با سیمان کربناتی کمی هماتیتی تشکیل شده است. تخته سنگها و ضخامت زیاد کنگلومرا نشان میدهد که در زمان الیگوسن زیرین ارتفاع منطقه زیاد بوده که تحت تأثیر فرسایش شدید قرار گرفته است. این کنگلومراها به سمت بالا ماسه سنگی می‌شوند که بوسیله حدود ۲۰۰ متر لایه آهک فسیل‌دار و ماسه سنگ آهکی سبز پوشیده شده است. در این زمان ارتفاع به صورت قابل ملاحظه‌ای کاهش یافته به طوری که مقدار کمی رسوب آواری داریم. مارن سبز در جاهایی است که مستقیماً بوسیله لایه‌های ضخیم آذرآواری داسیتی تحت فشار قرار گرفته است.

در ناحیه «سرجنگ» مارن سبز ناپدید و توده‌های آذرآواری مستقیماً روی کنگلومرای پایه می‌نشیند.

در کوه «سمتا» ضخامت بخش آذرآواری حدود ۲۰۰ متر است که این آوار از کوارتز، فلزسپات شیشه‌ای تشکیل یافته که شامل فلزسپار پلاژیوکلاز، آندزین، الیگوکلاز، اکسید آندزیت و اکسید توف لیتیک می‌باشد، که به سمت قسمتهای مرکزی کاهش می‌یابد و در جنوبشرق کوه «بزدان» فقط چند متر است.

در طرف غرب کوه «بزدان» لایه‌های الیگوسن از نظر خواص سنگ شناسی متفاوت هستند. رسوبات آواری که به صورت منظم چینه‌بندی شده بوسیله ماسه سنگ آهکی و آهک ماسه‌ای لایه‌بندی شده که در قسمتهای پایین‌تر از ماسه سنگ‌های زرد-قهوه‌ای، توف نازک لایه و مقدار جزئی سنگ آهک لایه نازک تشکیل شده است. قسمت میانی از مواد آذرین و توف داسیتی تشکیل شده که حاوی کوارتز فلزسپات شیشه‌ای داسیتی و قطعات آواری آندزیتی می‌باشد.

قسمت بالایی از سنگ آواری و سنگ آهک‌هایی با فسیل فراوان تشکیل شده که سن الیگوسن را نشان میدهد. در شمال کوه «بزدان» به سمت بالا به لایه‌های مارنی سبز تبدیل می‌شوند. ضخامت مارن در غرب و سنگ آهک توده‌ای به بیشترین ضخامت خود در کوه «بزدان» می‌رسد (۵۰۰ متر) که این سنگ آهک نشان‌هندۀ الیگو-میوسن است.

در شمال ده «نروک» واحد مارنی-آهکی بوسیله سکانسی از مارن سبز-قرمز، مارن گچ‌دار، ماسه سنگ و ماسه سنگ آهکی، مادستون و توف پوشیده شده است. در قسمت شمال‌شرق ناحیه، آتشفشنانهای اسیدی تا حد واسطه داریم که گسترده‌ترین آن گرانیت هورنبلند سبز است که یکی از قله‌های کوه «فیروز» را تشکیل میدهد. گسل معکوس جبال بارز جوانتر از نواحی آتشفشنانی و آذرآواری اطراف است که در محل برخورد به شدت سیلیسی شده است. گرانیت بوسیله توده‌های پرفیریتیک ادامه می‌یابد که رخسارهای حاشیه‌ای کوه «بنه‌ریزان» را تشکیل میدهد. سن دقیق نفوذیها مشخص نیست.

در الیگو سن کنگلومرای پایه به صورت قلوه سنگ دیده نشده است در هر حال در شمال ده «نروک» دایکهای دیوریتی به سنگهای الیگومیوسن (سازند قم) نفوذ کردند. سنگ آهکی در تماس بیشتر شکسته و مرمرین شده است. بنابراین سن گسل معکوس جبال بارز یا حدائق یکی از رخسارهای حاشیه‌ای در دوره اولیه میوسن (میوسن زیرین) می‌باشد.

از نظر سنگ شناسی گسل معکوس جبال بارز می‌تواند به ۶ قسمت تقسیم گردد. گوشه شمال‌شرقی عمدتاً گرانیت دانه ریز حاوی بلورهای بزرگ کوارتز فلدسپار K با بافت پرتیتی، ندرتاً بلورهای پلاژیوکلاز، کمی بیوتیت و کانیهای قلیایی می‌باشد.

در جنوب‌شرقی منطقه تغییراتی در رنگ و بافت و ترکیب دیده می‌شود در بخشی آمفیبول بیوتیت گرانیتی تا هورنبلند گرانودیوریت، هورنبلند کوارتزدیوریت و دیوریت می‌باشد. این قطعات پورفیری هستند ولی سنگها بواسطه آتراسیون و کریستالیزه شدن مجدد خاک نرم شده است. هورنبلند خیلی فراوان است و قسمتهایی از آن به کلریت تغییر پیدا کرده است.

بلورهای ستونی ضخیم آندزین در توده خاک به بلورهای کوارتز و آلبیت به صورت جزئی تغییر یافته است. پلاژیوکلاز نیز به آلبیت تبدیل شده است. داسیت نوع آندزیت - هورنبلند در جنوب ده «پونو» قرار گرفته که بر پیروکلاستیک اثر سسن منطبق نیست. تعداد بیشماری دایک بافت‌های پیروکلاستیک را قطع می‌کند و خود نیز معکوس می‌شوند. اینها به طور کلی از دیاباز، دیوریت یا میکروگرانودیوریت تشکیل شده‌اند که دارای رنگ سبز با چندین متر عرض و چند صدمتر طول می‌باشند و سیستم سطح شکستگی‌اند که عمدتاً NNE تا NWN امتداد دارد. لایه‌های نئوژن می‌تواند به دو قسمت تقسیم گردد قسمت پایینی شامل مارن گچ‌دار قرمز همراه با بسترها کنگلومرا است رنگ قرمز مشخص کننده شرایط نیمه خشک در محیط رسوبی است که به طور واضح در قسمت جنوبی کوه «سمتا» وجود دارد. لایه بالای نئوژن از کنگلومرای نرم با سیمانی سست تشکیل شده که حاوی گرانیت و قطعات آتش‌فشاری است. رسوبات کواترنری اکثراً بعد از شستشوی خارجی گراولهای لایه نئوژن و جلگه‌های آبرفتی قدیمی بر جا مانند.

طبقات بالایی گراولها به رسوبات بادی جدید درجه بندی می‌شوند. گراولهای (سنگ ریزهای) قدیمی‌تر دارای ریگهای (Pebbles) کمتری از گراولهای جدیدتر هستند. گراولهای جدید شامل قلوه سنگها (اکثراً از گرانیت جبال بارز) به بزرگی ۱ متر قطر در جنوب ده رود «فاروک» می‌باشند. سنگ تراورتن در چندین نقطه اطراف رود «فاروک» و شرق ده «آغین» مشخص است که بواسطه حل شدن و رسوب مجدد در امتداد جابجایی در این نقاط انباشته شده‌اند. تپه‌های شنی موجود در منطقه شرقی - غربی هستند که نشانده‌نده وزش باد از جنوب است شنها از گراولهای ریز بادی جدید ایجاد می‌شوند که سرتاسر دشت را می‌پوشاند.

-فرآیندهای عمدۀ تکتونیکی:

در دوران ائوسن پایانی و در پایان الیگوسن فعالیت آتشفسانی وجود داشته که مقدار قابل ملاحظه‌ای از پیروکلاستیک و گدازهای را تولید نموده است. قبل از آن یک فاز چین خورده‌گی و فرسایشی بوسیله یک دگرشیبی زاویه‌ای در الیگوسن زیرین داریم. در دوران الیگوسن میانی همزمان با پیشروی آب در خشکی، رسوبات دریایی الیگوسن در ناویدیس کوه «بزدان» و کوه «سورو» حفظ شده است و در این زمان فعالیت آتشفسانی شدیدی در قسمت شرقی ناحیه وجود داشته که سنگهای ضخیم پیروکلاستیک کوه «سمتا» و کوه «غمبار» را بوجود آورده است. پس بدلیل بالاًمدگی دوره پیشروی دریا وجود داشته که در آن دوران رسوبات کلاستیک رسوب کردند. پایان این دوره بوسیله ۱۰۰ متر رسوب شامل خاک رس قرمز، ماسه سنگ، مادستون و توف دوره میوسن مشخص می‌گردد، پس دوره خشکی زایی طولانی است. تعدادی از جابجاشدگیهای بزرگ به صورت زیر قابل ملاحظه است:

۱- سیستم جابجایی در گسل معکوس جبال بارز که عمودی است و در جهت شمال‌غربی امتداد دارد. تعداد بیشماری از دایکها در همین جهت است.

۲- جابجایی اصلی جنوب ده «روداب» که لایه‌های ائوسن فوقانی را در تماس با میوسن قرار میدهد.

واحدهای سنگی	سکانس	سن
رسوبات کواترنری		کواترنر
کنگلومراي سخت نشده	رسوبی	نئوژن
ماسه سنگ گچدار		
گرانیت - گرانودیبوریت - پورفیری - دیاباز		
داسیت		ولکانیکهای بعداز
پورفیریت	ولکانیکی	الیگو-میوسن
دیبوریت - کوارتز دیبوریت		
گرانیت - گرانودیبوریت - کوارتز دیبوریت		
گرانیت		
ماسه سنگ توفی - مارن سبز		
تخربی آلی - سنگ آهک فرمینفردار - جلبکی		
ماسه سنگ - کنگلومرا - سنگ بیوکلاستیک		
سنگ آهک ماسه‌ای آواری - ماسه سنگ	رسوبی	الیگو-میوسن
ماسه سنگ - توف ماسه‌ای - توف سبز داسیتی	رسوبی -	
ماسه سنگ - توف - سنگ آهک زرد لایه نازک	ولکانیکی	
داسیت - توف تودهای داسیتی		
مارن - مارن ماسه‌ای - توف داسیتی با بافت آواری		
کنگلومرا و ماسه سنگ قرمز		
ماسه سنگ - کنگلومرا - توف - ماسه سنگ آهکی		
خاکسترهای آتشفرشانی با طبقه‌بندی خوب - توف - آندزیت -		
گذازه میان لایه‌ای همراه کنگلومرا و ماسه سنگ قرمز		
آندزیتهای غیر مشخص - دایکهای توفی و دیبوریتی		
توف داسیتی - تودهای و قرمز	ولکانیکی -	
توف - داسیت خرد شده و در بخش‌های سیلیسی	آذرآواری	
آندزیت و توف آندزیتی - پورفیری تودهای	و رسوبی	
توف - هیالولو داسیت با چینه‌بندی خوب		
ریوداسیت - پورفیری و تودهای		
ولکانیکهای حدواسط - توف - قسمتهای سیلیسی شده		
آذرآواری ریولیتی - توف و کنگلومرا با لایه‌بندی خوب		
توف سبز داسیتی همراه میان لایه‌های ماسه سنگی		
توف سبز با لایه‌بندی خوب - ماسه سنگ و سنگ آهک		
آذرآواری - آواری - دایکهای میکرو دیبوریتی		

واحدهای سنگی موجود در برگه زمین‌شناسی ۱/۱۰۰،۰۰۰ حنا

۳- جابجایی کوه «لنگ انداز - درب زیارت» که در حدود ۳۰ کیلومتر کاملاً مشخص بوده و تماس پیروکلاستیک با گسل معکوس جبال بارز را نشان میدهد در انتهای شمال‌غربی جابجایی به چندین شکاف تقسیم می‌شود.

۴- سیستم‌های جابجایی کلوك کنشن که به صورت دو سیستم جابجایی عمودی به سمت شمال و شرق دیده می‌شود از روی جابجایی می‌توان فهمید که هر دو در یک زمان شکل گرفته‌اند.

- به طور خلاصه در محدوده برگه ۱:۱۰۰,۰۰۰ حنا:

در قسمت شمال‌شرقی منطقه عملکرد فازهای ولکانیکی را داریم که با روند شمال‌غربی - جنوب‌شرقی قرار گرفته است که از نوع اسیدی تا حد وسط می‌باشد. بخش‌های زیرین آن را اغلب توف و کلگومراپوشانده است که با همین روند می‌باشد.

ارتفاعات مرکزی منطقه شامل سنگهای آهکی فسیل داری می‌باشند که به سازند قم با سن الیگومیوسن تعلق دارد.

در قسمت شرق منطقه مرکزی از توده‌های رسوداستی، توفهای داسیتی و آندزیتی به چشم می‌خورد. در قسمت غربی ارتفاعات آهکی همراه با فسیل که کوه حنا در آن قسمت قرار گرفته را داریم.

در بخش جنوبی منطقه محدوده وسیعی پوشیده از آبرفت به چشم می‌خورد.

گسل اصلی و نسبتاً طولانی در شمال‌شرقی منطقه با امتداد شمال‌غرب - جنوب‌شرق داریم که باعث اختلاف ارتفاع بین کوههای «لنگ انداز» و «بندر ریز» گردیده است.

در قسمتهایی از نقشه که توده‌های رسوداستی وجود دارد در قسمت زیرین آن توده‌های نفوذی از جنس کوارتز دیوریت تا دیوریت بوده که در برخی نقاط رخمنون پیدا کرده است.

تمرکز وسیعی از دایکها در بخش شمال‌شرقی محدوده موجود است. این دایکها اغلب گرانیتی تا گرانو‌دیوریت پورفیری و دیاباز می‌باشند.

در قسمت شمال‌شرقی و شرقی منطقه نیز تراکم گسلها و شکستگی‌ها را داریم که قادر روند و اغلب بصورت شکستگی‌های متقطع می‌باشند.

یک ناحیه آتره شده در آغاز در امتداد جابجایی اصلی کوه «لنگ انداز - درب زیارت» بوقوع می‌پیوندد. سنگهای تغییر یافته عمدهاً پیروکلاستیک هستند. ناحیه دیگر آتراسیون در کوه «کالوک کنشن» در گذازه آندزیتی با شکستگی زیاد می‌تواند مربوط به دیوریتی باشد که در آن حوالی بیرون‌زدگی دارد.

۶- بررسی رسوبات رودخانه‌ای در مناطق خشک

از آنجا که مناطق خشک بخش قابل ملاحظه‌ای از سطح کره زمین را می‌پوشاند، ملاحظات خاص مربوط به اکتشافات ژئوشیمیایی از طریق رسوبات آبراهه‌ای در این مناطق وجود دارد که باید بدانها توجه نمود. این ملاحظات ویژه ناشی از شرایط خاص آب و هوایی و ژئومورفولوژیکی این مناطق است.

محیط‌های کویری را می‌توان بر اساس ویژگی‌های ساختمانی - ریخت‌شناسی به دو دسته تقسیم نمود:

الف - مناطق کویری توسعه یافته در سپرها و سکوها، مانند مناطق وسیع آفریقا، عربستان، استرالیا و بخش‌هایی از ایران مرکزی. از نظر ساختمانی و ریخت‌شناسی، این کویرها سرزمینهای وسیع مسطحی هستند که بوسیله حوضه‌های کم ارتفاع از یکی‌گر جدا می‌شوند. حوضه‌های آبریز در چنین مناطقی توسعه بسیار کم داشته و فرسایش در آنها بعلت پائین بودن پتانسیل مکانیکی محدود است.

ب - مناطق کویری توسعه یافته در فلاتها (مانند بخش‌هایی از زاگرس، ارومیه - دختر و

سنندج سیرجان). در پیدایش مناطقی که در آنها مناطق کوهستانی و دشت‌های بین آنها متناوباً تکرار می‌گردد، فعالیتهای تکتونیکی (عمدتاً با مولفه‌های در جهت قائم) نقش مؤثری را ایفا می‌نمایند. برخلاف مناطق کویری توسعه یافته در سپرها و سکوها، در این مناطق آب و هوا می‌تواند تنوع بیشتری داشته باشد. در بعضی مناطق آن ریزش‌های جوی اندک و در بعضی مناطق بطور قابل ملاحظه‌ای زیاد می‌باشد که می‌تواند موجب توسعه قابل ملاحظه حوضه‌های آبریز شود. در این مناطق نیز مانند کویرهای توسعه یافته در سپرها و سکوها، سیستم‌های حوضه‌آبریز ممکن است به محیط‌های پلایائی که در آنها آبهای سطحی بسرعت تبخیر می‌شود، ختم شود.

قسمت عمدهٔ محدودهٔ پروژه حاضر رامی‌توان در زمرة مناطق خشک از نوع دوم تلقی کرد که در آن توسعهٔ حوضه‌های آبریز، کاربرد مؤثر روش بررسی رسوبات رودخانه‌ای را عنوان یک روش اکتشاف ناحیه‌ای امکان‌پذیر می‌سازد، زیرا حتی در شرایط خشک آب لازم برای فرسایش شیمیائی در طول زمان زمین‌شناسی وجود دارد. بدون شک فرسایش مکانیکی در چنین مناطقی، بخصوص در بخش‌های مرتفع آن، نقش اول را ایفا می‌کند. فرایندهای هوازدگی شیمیائی در این مناطق بطور کلی شامل اکسیداسیون می‌باشد که اثر آن در روی یونهای مختلف آهن، منگنز و گوگرد و در نتیجه در روی قابلیت حرک آنها بسیار مهم است. یکی از عوامل پیچیده کننده سیمای ژئوشیمیایی این نواحی، ناهمنگی ژئوشیمیایی رسوبات آبراهه‌ای در مقیاس درون یک حوضهٔ آبریز بزرگ می‌باشد. علت این ناهمنگی ژئوشیمیائی، یک ناهمنگی در ریزش‌های جوی این مناطق است که خود می‌تواند منشأ خطای ارزیابی پتانسیل معدنی این نواحی گردد. در این مناطق بخش قابل ملاحظه‌ای از ریزش‌های جوی، بصورت رگبارهای پراکنده صورت می‌پذیرد که ممکن است همهٔ یک حوضهٔ آبریز را باشد یکسان نپوشاند. در این صورت فرقانی‌ترین رسوبات کف آبراهه بیشتر منعکس کنندهٔ ترکیب شیمیائی آن بخش از حوضهٔ آبریز است که محصولات حاصل از فرسایش آن در آخرین فاز بارندگی از طریق چنین

رگبارهایی به بخش‌های پائینتر حوضه حمل و روی رسوبات قبلی را پوشانده است.

بدیهی است اگر چنین بخشی از حوضه آبریز محل توسعه هاله‌های ژئوشیمیایی اولیه باشد، آنماليهای ثانوی مشتق شده از آنها قوی خواهد بود (زیرا مواد باطله کمتری با آن مخلوط شده است). ولی اگر چنین بخشی از حوضه آبریز، مناطق عقیم (بدون هاله اولیه) باشد، که عموماً چنین است، در اینصورت شدت آنماليهای رسوبات سطحی حوضه آبریز کاهش یافته و ممکن است مقدار عناصر وابسته به کانی سازی تا حد مقدار آستانه‌ای و یا مقدار زمینه تنزل داده شود.

یکی دیگر از عوامل پیچیده کننده سیمای ژئوشیمیایی در چنین مناطقی، ناممکنی ژئوشیمیایی در اندازه ذرات تخریبی و در نتیجه تغییر مقدار شدت شستشوی شیمیائی (فرسایش شیمیائی) ذرات سازند رسوب رودخانه از بخش‌های مرتفع حوضه آبریز به بخش‌های میانی و بخش‌های کم ارتفاع نزدیک دشتها است. نتیجه چنین ناممکنی احتمال بیشتر ثبت آنماليهای ژئوشیمیایی در بخش‌های مرتفع تر با فرسایش مکانیکی شدیدتر (تحت دیگ شرایط یکسان) می‌باشد.

علاوه بردو عامل فوق، اختلاف در احتمال رقیق‌شدن رسوبات حاصل از تخریب مناطق کانی سازی شده از طریق اختلاف با رسوبات حاصل از فرسایش مناطق عقیم، در دو بخش فوقانی و تحتانی یک حوضه آبریز معین نیز می‌تواند موجب خطا در ارزیابی مناطق امیدبخش گردد. بدیهی است احتمال چنین اختلاطی در بخش‌های فوقانی یک حوضه آبریز کمتر و در بخش‌های تحتانی آن بیشتر می‌باشد.

برای برطرف کردن اثر سوء پدیده‌های فوق، باید به موازات بررسی‌های ژئوشیمیایی رسوبات آبراهه‌ای، از روشهای دیگر مانند برداشت نمونه‌های کانی سنگین، برداشت نمونه از زونهای میزالیزه، قطعات گوسن آهندار و زونهای آلتره شده نیز اقدام نمود. زیرا چنین پدیده‌هایی ممکن است نسبت به بعضی از فلزات کانساری، غنی شدگی نشان دهند و یا نشانه‌ای برای کانی سازی احتمالی باشند. در پروژه حاضر چنین اقدامات احتیاطی منظور گردیده است تا

حتی الامکان احتمال وقوع چنین مواردی به حداقل برسد. تنها مشکل حاضر عدم استقلال روش کانی سنگین نسبت به روش ژئوشیمیایی است زیرا بعلت محدودیت‌های موجود نمونه‌های کانی سنگین فقط از محل توسعه آنومالی‌های ژئوشیمیائی (۱٪ بالای جامعه) برداشت می‌شود. همانطوری که ذکر شد در پروژه حاضر علاوه بر بررسی‌های ژئوشیمیائی رسوبات آبراهه‌ای، برداشت نمونه‌های کانی سنگین، میزالیزه (از زونهای کانی سازی احتمالی) و دگرسان شده در برنامه قرار گرفته است تا از مقایسه نتایج حاصل از آنها بتوان به نتایج مناسبتری دست یافت.

۷- بررسی حوضه‌های آبریز

بمنظور سهولت بخشیدن به طراحی محل نمونه‌ها و اجرای عملیات مربوط، در هر حوضه آبریز لازم است تا حوضه‌های آبریز هر یک از برگه‌های توپوگرافی ۱:۵۰،۰۰۰ منطقه تعیین و مشخص گردد. همچنین تعیین محدوده حوضه‌های آبریز بر روی هر برگه می‌تواند در تحلیل داده‌های مربوط به آن مفید واقع شود. جهت سهولت در مشخص نمودن محل آنومالیهای احتمالی، که پس از تجزیه و تحلیل داده‌های حاصل از آنالیز نمونه‌ها بدست خواهد آمد، محدوده حوضه‌های آبریز در هر یک از برگه‌های ۱:۱۰۰،۰۰۰، لازم است مورد بررسی قرار گیرد.

فصل دوم

نمونه برداری

۱- مقدمه

نظر به تشخیص آنومالیهای واقعی و تمیز انواعی که به نهشته‌های کانساری مرتبط می‌باشد، از سایر انواع آن لازم است تا جزء ثابتی از رسوبات آبراهه‌ای (برای مثال جزء ۸۰-مش) و یا کانی سنگین (جزء ۲۰-مش) مورد آزمایش قرار گیرد. در مواردی که هاله‌های ثانوی اکسیدهای آهن و منگز توسعه یافته‌اند برداشت نمونه از چنین هاله‌هایی ممکن است موجب شدت بخشی به هاله‌های هیدرومorfیکی شود که در این صورت باید احتیاطهای لازم جهت تفسیر اطلاعات بدست آمده صورت پذیرد. علاوه بر موارد فوق، در بررسی رسوبات آبراهه‌ای برداشت نمونه‌هایی همچون قطعات کانی سازی شده کف آبراهه، قطعات پوشیده شده از اکسیدهای آهن و منگز، قطعات حاوی سیلیس آمورف و یا کربناتهای سیلیسی شده برای آنالیز یک یا چند عنصر یا کانی خاص، می‌تواند مفید واقع شود. البته هر یک از محیط‌های نمونه‌برداری فوق تحت شرایط خاصی می‌تواند بیشتر مفید واقع شوند. عواملی که باید در این خصوص در نظر گرفته شوند شامل تیپ کانسار مورد انتظار، سنگ درونگیر، محیط تکتونیکی و دامنه سنی واحدهای زمین‌شناسی می‌باشد. از ترکیب نتایج بدست آمده از محیط‌های مختلف نمونه‌برداری در حوضه‌های آبریز، می‌توان به نتایج مناسبتری دست یافت. در پروژه حاضر نتایج حاصل از سه نوع بررسی با یکدیگر ترکیب و سپس مدل‌سازی شده‌اند و بدین دلیل نتایج نهایی بدست آمده چه در جهت مثبت و چه در جهت منفی می‌تواند معتبرتر باشد. کلیه نتایج بدست آمده از هر یک از روش‌های فوق تشکیل یک سیستم اطلاعاتی با امکانات حذف و انتخاب مکرر مناطق امیدبخش را می‌دهد که بر اساس سازگاری و ناسازگاری خواص مشاهده شده در مدل انجام می‌پذیرد و از این رو امکان بروز خطاهای ناهنجار در آن کمتر است.

بطور کلی چگالی نمونه‌برداری از رسوبات آبراهه‌ای، تابع دانسیتۀ آبراهه‌ها در حوضه آبریز

است. برای مناطق خشک معتدل (که پروژه حاضر در این رده قرار می‌گیرد) این مقدار می‌تواند به اندازهٔ یک نمونه برای هر ۱۰ تا ۱۵ کیلومترمربع تغییر کند. در پروژه حاضر با توجه به تعداد متوسط ۸۰۰ نمونه برای هر برگه^۱ (معادل ۲۰۰ نمونه در هر برگه^۲) مساحت تحت پوشش یک نمونه بطور متوسط حدود ۳ کیلومترمربع می‌باشد. برای استفاده بهینه از داده‌های حاصل از هر نمونه سعی شده است تا توزیع نمونه‌ها حتی‌امکان به روش مرکز ثقل حوضه‌های آبریز باشد.

از آنجاکه عناصر مختلف در محیط‌های ثانوی قابلیت حرک متفاوتی از خود نشان می‌دهند، بزرگی‌های ثانوی آنها (فاصله از ناحیه منشاء) می‌تواند بر حسب شرایط محیطی بسیار متفاوت باشد. حتی گاهی برای یک عنصر در دو شرایط شیمی فیزیکی متفاوت، وسعت هاله متفاوت خواهد بود. برای مثال هاله‌های Zn ممکن است از حدود ۱ کیلومتر تا حدود ۱۵ کیلومتر و هاله‌های Cu از ۱/۵ کیلومتر تا حدود ۲۵ کیلومتر تغییر کند. همچنین با توجه به نوع سنگ‌های منطقه و تیپ کانی سازی عناصری مانند Cr که قادر هاله اولیه می‌باشند، ممکن است هاله ثانوی تشکیل ندهند و یا هاله‌های ضعیف از خود بروز دهند. در چنین مواردی برای افزایش احتمال کشف کانسوار افزایش چگالی نمونه‌های کانی سنگین در اطراف توده‌های الترامافیکی ضروری است. البته چگالی باید طوری باشد که با سقف ۸۰۰ نمونه در هر برگه سازگار باشد. در مناطق نیمه خشک، رسوبات آبرفتی معمولاً مساحت‌های وسیعی از سنگ بستر را می‌پوشانند. در مواردیکه این رسوبات محلی باشند و مسافت چندانی را طی نکرده باشند، مشکل تحلیل داده‌ها در مورد آنها کمتر خواهد بود. ولی در مناطقی که از نظر تکتونیکی فعال می‌باشند، مانند منطقه تحت پوشش این پروژه سیلابهای شدید که قادر به حمل چنین موادی می‌باشند، به وفور رخ می‌دهد و در نتیجه این رسوبات ممکن است از ناحیه منبع فاصله گیرند و کار تحلیل اطلاعات را در جهت کشف منبع اولیه دشوار سازند.

۲- عوامل مؤثر در طراحی نمونه برداری:

طراحی نمونه برداری طوری صورت گرفته است که در قالب حدود ۸۰۰ نمونه برای هر برگه حداکثر سازگاری را با روش مرکز ثقل داشته باشد. درجه مرکز ثقل را عواملی نظری چینه‌شناسی، سنگ شناسی و تکتونیک کنترل می‌کند. معمولاً در طراحی به روش مرکز ثقل توده‌های نفوذی و خروجی و نواحی مجاور آنها (کن tactها) و همچنین نواحی اطراف گسلها و تقاطع آنها و زونهای دگرسان شده بعد از ماقمایی و مناطقی که در بخش فوقانی توده‌های نفوذی نیمه عمیق قرار دارد (این توده‌ها روی نقشه ژئوفیزیک هوایی مشخص می‌شوند) از چگالی نمونه برداری بالاتری برخوردار می‌باشد. معمولاً آبراهه‌هایی که بوسیله گسلهای عمیق مشخص شده به روش ژئوفیزیک هوایی قطع می‌شوند ۵۰۰ متر پائین‌تر از محل تلاقی آبراهه با گسل مورد نمونه برداری قرار می‌گیرند. در مواردیکه آتراسیونهای شدید مشاهده شده است، بخصوص در اطراف سنگهای نفوذی یا خروجی موجود در نواحی کم ارتفاع (این نواحی بیشترین مقدار آتراسیون را چه از نظر وسعت و چه از نظر شدت نشان می‌دهند)، درجه مرکز ثقل آبراهه‌ها باید بطور محلی افزایش یابد، این امر به دلیل اهمیت چنین مناطقی می‌باشد. به دلیل فعال بودن پدیده رقيق شدگی و اثر سرشکن شدگی در حوضه‌های آبریز و سیع (با بیش از ۳۰ سرشاخه) و کاهش شدید مقدار آنومالیهای احتمالی در محل اتصال آبراهه‌ها به یکدیگر لازم است چنین حوضه‌های آبریزی بخصوص در مواردیکه آبراهه سنگ بستر را قطع نمی‌کند به حوضه‌های کوچکتر تقسیم گردد. این امر موجب می‌گردد تا اختلاط رسوبات از آبراهه‌های مرتبط با کانی سازی احتمالی با آبراهه‌های بدون کانی سازی موجب تضعیف بیش از حد آنومالیها و ارزیابی منفی آنها نگردد. به علاوه این امر موجب می‌گردد تا احتمال قطع سنگ بستر در آبراهه افزایش یابد. این امر خود موجب افزایش ارزش داده‌ها می‌گردد. علاوه بر عوامل فوق، یک دیگر از عوامل مؤثر در تصمیم‌گیری تقسیم یک حوضه آبریز بزرگ به حوضه‌های کوچکتر، احتمال وجود آلودگیهای ناشی از فعالیتهای کشاورزی در کف یا حاشیه

رودخانه‌هایی است که نواحی با توپوگرافی آرام (قابل کشت) در اطراف آنها وجود داشته است.

بدیهی است مصرف کودهای شیمیایی و سموم نباتی احتمال وجود آلودگی به عناصر کمیاب را

در رسوبات پائین دست آنها افزایش میدهد. در چنین مواردی فقط مرکز ثقل بخش‌های فوقانی

آنها، که از آلودگی مصون می‌باشد، می‌تواند محاسبه گردد. محدوده مورد بررسی را از نظر

توپوگرافی می‌توان به چهار بخش شامل نواحی مرتفع (با ارتفاع ۲۷۰۰ متر)، نواحی با ارتفاع

متوسط (با ارتفاع ۱۵۰۰-۲۱۰۰ متر)، نواحی کم ارتفاع (با ارتفاع ۵۵۰ متر) و دشتها و

مخروط‌افکنه‌ها (آبرفتی) تقسیم نمود. در اکثر قریب به انفاق آبراهه‌های نوع آخر، آبراهه کم عمق

بوده و سنگ بستر را قطع نمی‌کنند و از این رو روند تغییرات مقدار عناصر را می‌توان غیرجهتی

فرض نمود و از آنها بدون توجه به مسیر آبراهه‌ها نمونه برداری کرد و یا داده‌های آنها را غیر

جهتی مورد تحلیل و تفسیر قرار داد. در نواحی بسیار مرتفع در موارد محدودی به دلیل وجود

گسستگی در ارتفاع (آبشار) امکان دسترسی به محل نمونه نبوده است. در چنین مواردی

حتی‌الامکان سعی شده است به برداشت نمونه از نزدیک‌ترین نقطه اقدام گردد. مواردی وجود

داشته است که در آن کنتورهای توپوگرافی با عوارض موجود در زمین مطابقت داشته ولی به

دلیل دقت کم نقشه‌های توپوگرافی، آبراهه روی آن مشخص نگردیده است. چنانچه چنین

مناطقی از نظر لیتوژئوگرافی و امکان کانی سازی با اهمیت تشخیص داده شده باشند، این آبراهه‌ها

روی نقشه بطور دستی ترسیم و در تعیین نقاط نمونه برداری مؤثر واقع گردیده‌اند.

۳- عملیات نمونه برداری

نظر به وسعت فوق العاده زیاد عملیات تحت پوشش اکتشاف ژئوشیمیایی در مقیاس

۱:۱۰۰,۰۰۰ لازم است محیط‌های ثانوی تحت پوشش نمونه برداری قرار گیرند. اساس این

مطالعات بر نحوه توزیع عناصر در هاله‌های ثانوی سطحی مانند رسوبات رودخانه‌ای، آبرفتها،

شیب رفتها، بادرفتها و خاکها قرار دارد. در این بخش تنها به تشریح عملیات صحرایی در این

پروژه اشاره می‌گردد. در خلال این عملیات پنج اکیپ کارشناس در یک کمپ واقع در مرده ک شرکت داشته‌اند. در این عملیات هر اکیپ عموماً دارای وسیله نقشه مخصوص به خود، نقشه‌های توپوگرافی و نقشه زمین‌شناسی $1:100,000$ محل همراه با عکس‌های هوایی و دستگاه Gps بوده است. مختصات محل نمونه‌ها قبلاً در سیستم UTM محاسبه و بصورت جدول بندی شده در اختیار کارشناسان قرار گرفته است. هر نمونه ژئوشیمیایی متشکل از حدود 100 گرم جزء -80 مش رسوبات آبراهه‌ای می‌باشد که پس از الکتردن رسوب خشک در محل درون کیسه‌های مخصوص ریخته شده و شماره‌گذاری گردیده است. در مواردی که رسوبات را به علت ندار بودن نمی‌شد در صحراء کرد، حدود 3 کیلوگرم از آن به محل کمپ آورده شده و پس از خشک کردن در هوای آزاد و الک کردن، جزء -80 مش از آنها جدا شده است. هر اکیپ نمونه برداری برای نمونه‌های برداشت شده، شماره مسلسلی انتخاب و در کمپ با هماهنگی با اکیپ‌های دیگر شماره نمونه‌های خود را به یک سیستم شماره‌گذاری واحد با شماره سریال متفرد تبدیل می‌نموده‌اند که روی نقشه $1:100,000$ مشخص گردیده است. محل نمونه‌های برداشت شده به همراه شماره مسلسل نهایی در کمپ، بر روی یک نقشه واحد پیاده می‌شده است. نقاط نمونه برداری شده در برگه $1:100,000$ حنا در نقشه شماره 1 نشان داده شده است. راهنمای نقشه علائم بکار رفته در هر نقشه را تعریف می‌کند. نمونه‌های برداشت شده (محل و شماره آنها) در کمپ دوباره مورد بازبینی قرار گرفته است. این عمل از طریق مقایسه کردن با لیست‌هایی که قبلاً تهیه گردیده بود انجام می‌شده است. این کاریک مرتبه پس از حمل نمونه‌های کمپ و بطور روزانه انجام می‌شده و بار دیگر در خاتمه عملیات انجام گردیده است. در کل در محدوده این برگه تعداد 572 نمونه ژئوشیمیایی برداشت گردیده است. در شماره گذاری نمونه‌ها از یک کد پنج رقمی استفاده گردیده است. این کد متشکل از دو حرف و یک عدد حداقل سه رقمی است. اولین حرف از سمت چپ هر کد معرف اولین حرف از برگه $1:100,000$ مربوطه می‌باشد (حرف H برای حنا) دومین حرف نمایانگر حرف اول برگه $1:50,000$ مربوط می‌باشد.

هر برگه ۱:۱۰۰,۰۰۰ شامل چهار برگه ۱:۵۰,۰۰۰ است. در این عملیات از حروف زیر برای مشخص کردن آنها استفاده شده است. برگه ۱:۱۰۰,۰۰۰ حنا: چادگل (HC)، نروک (HN) پورکی (HP)، گرم (HG). در این برگه ۱:۱۰۰,۰۰۰ از ترکیبات دو حرفی فوق در اول کد پنج رقمی هر نمونه استفاده شده است. نمونهایی که به حرف H ختم می‌شوند، معرف نمونهای کانی سنگین می‌باشند.

فصل سوم

نقش سنگ بستر

۱- جدایش جوامع سنگی

یکی از اساسی‌ترین فرضهای لازم برای تحلیل صحیح مقدار متغیرها در جوامع ژئوشیمیایی، همگن بودن آنهاست (یک جامعه بودن) و هرگونه انحراف در صحت چنین فرضی می‌تواند کم و بیش موجب انحرافاتی در تحلیل داده‌ها گردد و نهایتاً به تایید ناصحیحی منجر شود. یکی از متغیرهای محیط‌های سطحی که می‌تواند موجب ناهمگنی در جامعه ژئوشیمیایی گردد، نوع سنگ بستر رخنموندار است که نقش منشاء را برای رسوبات حاصل از فرسایش آنها بازی می‌کند. از آنجاکه تغییرات لیتولوژی در ناحیه منشاء رسوبات آبراهه‌ای می‌تواند زیاد باشد و از طرفی مقادیر زمینه عناصر موردن بررسی در این سنگ‌ها تا چندین برابر ممکن است تغییر کند، بنابراین فاکتور تغییرات لیتولوژی در ناحیه منشاء رسوبات، بنظر می‌رسد یکی از مهمترین عوامل ایجاد ناهمگنی در جامعه نمونه‌های ژئوشیمیایی باشد. بدین لحاظ در این گزارش سعی شده تا پردازش داده‌ها برای جوامع مختلف نمونه‌های ژئوشیمیایی، صورت پذیرد. از آنجاکه هر رسوب آبراهه‌ای فقط از سنگ‌های بالادست مشتق می‌شود، تقسیم‌بندی این جوامع بر اساس نوع یا انواع سنگ بسترها رخنموندار موجود در بخش بالادست محل هر نمونه صورت پذیرفته است. با توجه به نقشه زمین‌شناسی و موقعیت هر نمونه، کل جامعه نمونه‌های مورد بحث در این برگه به زیر جوامع زیر تقسیم یافته است. لازم به یادآوری است که برای تهیه نقشه ژئوشیمیایی در مقیاس ۱:۱۰۰،۰۰۰ وجود نقشه‌های زمین‌شناسی در همین مقیاس الزامی است.

در زیر ردیفه نمونه‌های ژئوشیمیایی بر حسب تعداد سنگ بالادست آورده می‌شود:

الف - زیر جامعه تک سنگی: ۱۱۹ نمونه (در ۱۳ تیپ سنگ مختلف)

ب - زیر جامعه دو سنگی: ۱۲۴ نمونه (شامل ۳۹ تیپ مجموعه دو سنگی)

ج- زیر جامعه سه سنگی: ۱۳۴ نمونه (شامل ۵۶ تیپ مجموعه سه سنگی)

د- زیر جامعه چهارسنگی: ۷۱ نمونه (شامل ۴۰ تیپ مجموعه چهارسنگی)

ه- زیر جامعه بیش از چهارسنگی: ۱۲۴ نمونه

زیر جامعه تک سنگی شامل آنسته از نمونه های ژئوشیمیایی است که در بالا دست محل برداشت نمونه در حوضه آبریز مربوطه، فقط یک نوع سنگ بستر رخمنون داشته است. عبارت دیگر منشأ این رسوبات آبراهه ای فقط یک نوع سنگ است. لازم به توضیح است که این تعداد نمونه شامل ۱۳۵ نمونه آلوویرم برداشت شده نمی باشد.

زیر جامعه دو سنگی از مجموع نمونه های ژئوشیمیایی تشکیل یافته است که در بالا دست محل برداشت آنها، دو نوع سنگ بستر در حوضه آبریز مربوطه رخمنون داشته است. این تقسیم بندی در پردازش داده اما از آن جهت اهمیت دارد که به ما اجازه می دهد تا در هنگام محاسبه مقدار زمینه و حد آستانه ای برای هر محیط مشابه بطور جداگانه عمل کرده و از این طریق به درجه همگنی جامعه مورد بررسی کمک کنیم. علائم اختصاری بکار برده شده برای جنس سنگها در جدول ۱-۳ آورده شده است.

شكل ۱-۳ هیستوگرام توزیع فراوانی نمونه های ژئوشیمیایی را بر اساس تعداد سنگ بالا دست آنها در برگه ۱:۱۰۰,۰۰۰ حنا نشان می دهد. همچنین شکل شماره ۲-۳ هیستوگرام توزیع فراوانی نمونه های تک سنگی را با نمایش نوع سنگ بالا دست آنها برای برگه ۱:۱۰۰,۰۰۰ حنا نشان می دهد. شکل ۳-۳ هیستوگرام توزیع فراوانی نمونه های وابسته به محیط های دو سنگی را (با نمایش نوع سنگ بالا دست آنها) برای این برگه نشان می دهد.

جدول (۱-۳): علائم اختصاری و خلاصه سازی مرحله اول جنس سنگها

Ng2 : CGS
NG1 : FGS
Dykes : FLEX
dc : FLEX
p : FLEX
d : IMIN
gd : FLIN
gi : FLIN
m : MGS
olm : LM
os2 : MGS + LM
os1 : GMS + LM
ot2 : MGS + FLEX
ot1 : MGS + LM
od : FLEX
om : FGS + FLEX
oc : CGS + MGS
ES : MGS + LM
EW : MGS
EU : IMIN
Ed : FLEX
Edp : FLEX
Ea : IMEX
Erh : FLEX
Er : FLEX
Etv : IMEX
Ert : FLEX + CGS
Egt : FLEX + MGS
Etl : FGS + LM
Etp : IMSU

CGS : Coarse Grain Sediments
MGS : Medium Grain Sediments
FGS : Fine Grain Sediments
FLEX : Felsic Extrusive
FLIN : Felsic Interusive
IMIN : Intermediate Intrusive
LM : Limestone
IMEX : Intermediate Extrusive
IMSU : Intermediate Subvolcanic

Histogram of Distribution of the Upstream Total Rock Types for the Stream Sediment Samples in
Hana 1:100,000 Sheet.

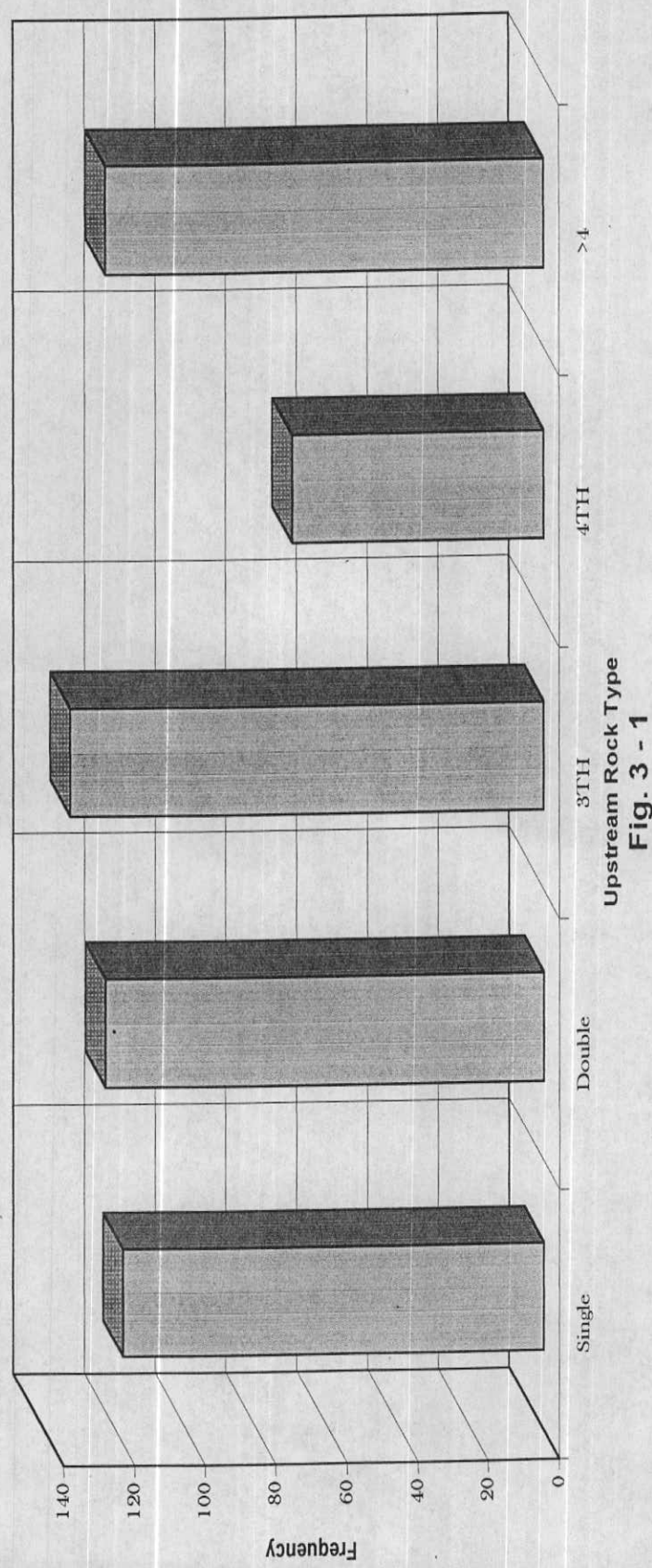


Fig. 3 - 1

Histogram of Distribution of the Upstream Single Rock Type for the Stream Sediment Samples in Hana 1:100,000 Sheet.

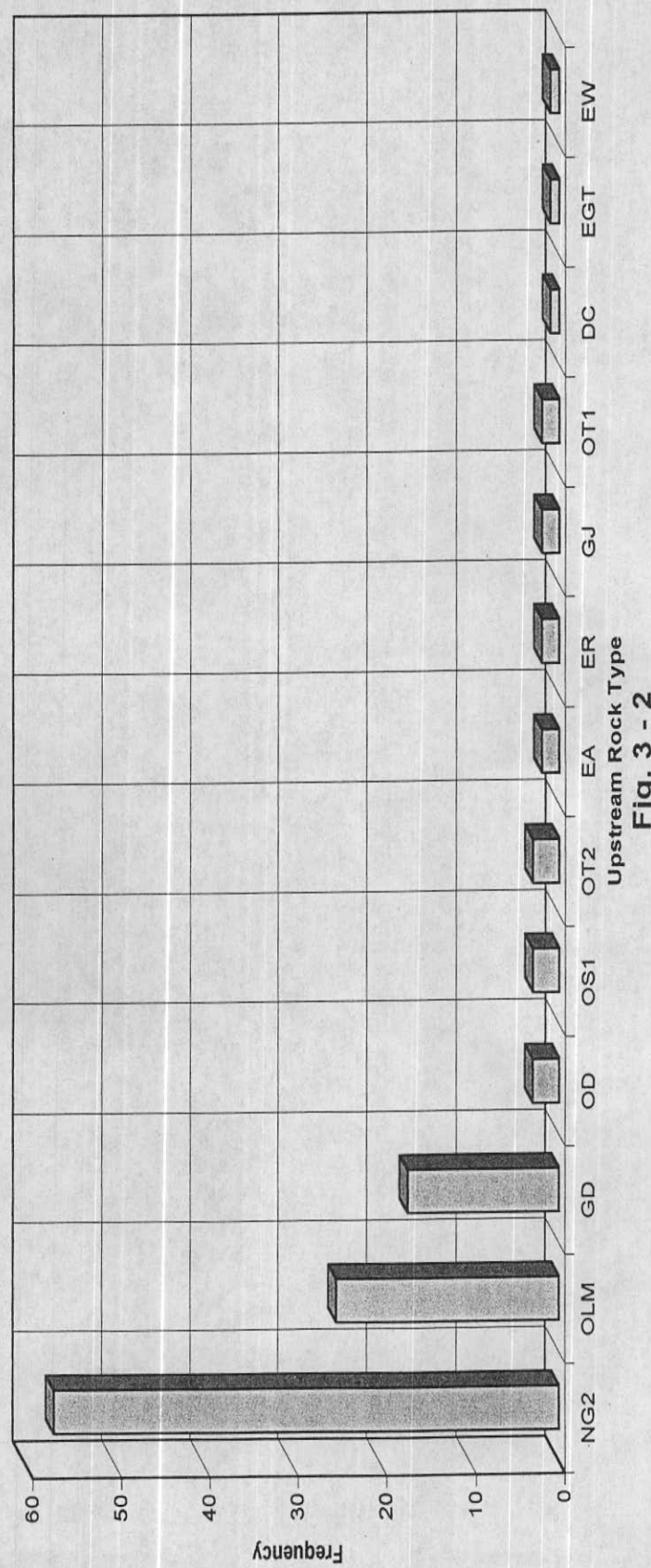
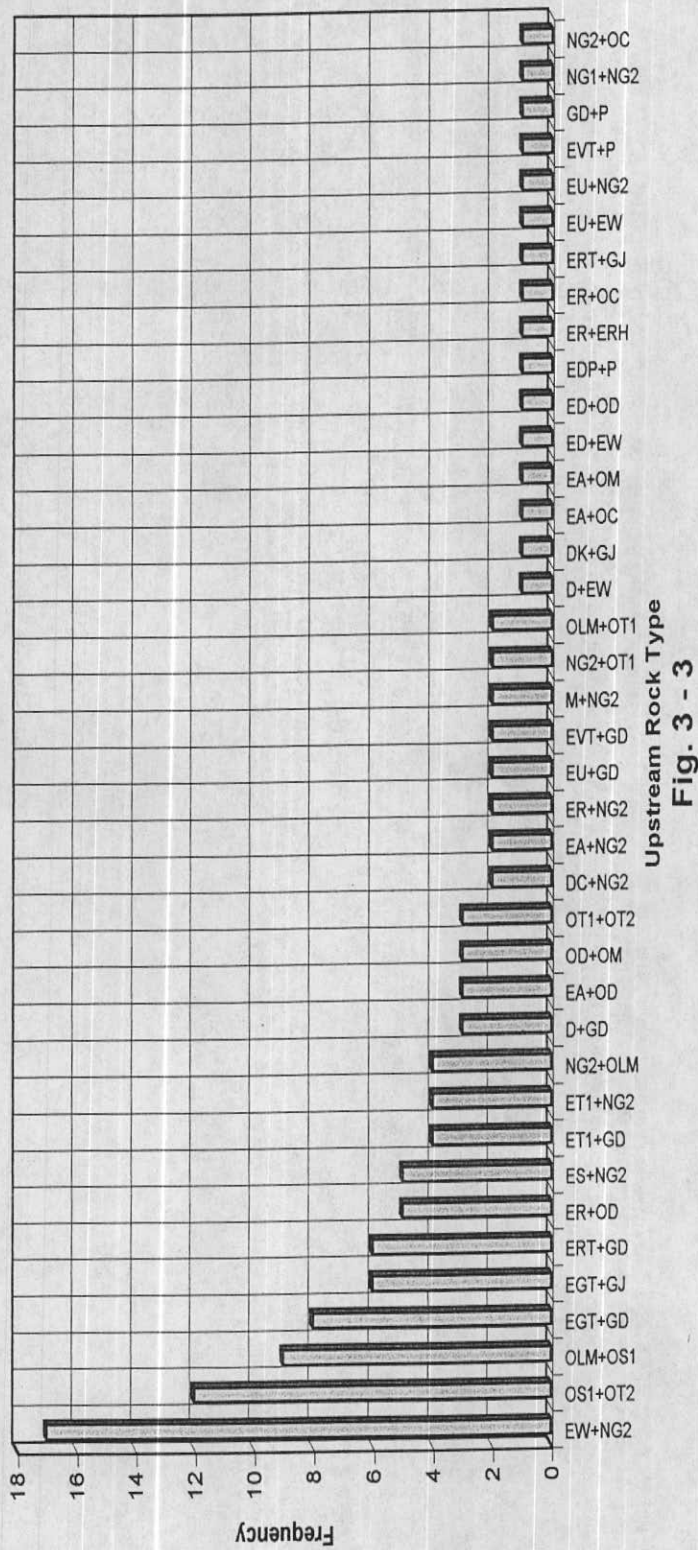


Fig. 3 - 2

Histogram of Distribution of the Upstream Double Rock Types for the Stream Sediment Samples
in Hana 1:100,000 Sheet.



Upstream Rock Type
Fig. 3 - 3

۲- نقش سنگ بستر در ارزیابی مقدار زمینه و حد آستانه‌ای

۲-۱- نقش سنگ بستر در ایجاد آنومالیهای کاذب

از آنجا که مقدار اندازه‌گیری شده هر عنصر در سنگ و یا رسوب آبراهه را می‌توان به دو

مؤلفه سنتزتیک (وابسته به زایش سنگ) و اپی‌ژنتیک (وابسته به کانی سازی احتمالی) تقسیم کرد. لذا بعضی از آنومالیهای ژئوشیمیایی در ارتباط با کانی سازی نبوده، بلکه تغییرات لیتولوژی آنها را ایجاد می‌کند. عناصری که در سنگهای اولترامافیک و حتی مافیک دارای مؤلفه‌های سنتزتیک قوی می‌باشند شامل عناصر Mn, Cr, V, Ni, Co بوده که معمولاً در کانه‌هایی با وزن مخصوص بالا ظاهر می‌شوند.

در مناطق خشک که هوازدگی شیمیایی فعال نمی‌باشد، این مجموعه بیشتر در ذرات درشت‌تر ظاهر می‌شود. بنابراین برداشت نمونه‌های دانه ریزتر برای رهایی از آنومالیهای دروغین این عناصر مناسب‌تر می‌باشد.

عناصری که بیشتر با سنگهای فلزیک همراه می‌باشند و مؤلفه‌های سنتزتیک بزرگتری دارند و از اینرو ممکن است آنومالیهای دروغین ایجاد کنند، شامل Sr, Pb, Ba, Be می‌باشند که بصورت محلول جامد در کانه‌های سازنده سنگ مانند فلزپاتها و میکاها جای می‌گیرند. در مورد سنگهای رسوبی باید توجه داشت که در حوضه‌های آبریز دو نوع سنگ رسوبی ایجاد مشکل می‌کنند. یکی سنگهای آهکی و دولومیتی است که در آنجا جزء کانی سنگین ممکن است از باریت، سلسیتین و آپاتیت غنی باشند در حالیکه سایر کانیهای سنگین آنقدر کم یافت می‌شوند که ممکن است مورد استفاده‌ای نداشته باشند. مورد دوم شیلهای، بخصوص شیلهای سیاه رنگ غنی از مواد آلی هستند که در آنها مقدار زمینه تعداد زیادی از عناصر کانساری بالاست و در نتیجه پتانسیل زیادی برای تولید آنومالیهای دروغین دارند.

۲-۱-تغییر پذیری سنگ بستر

از آنجاکه طبق شرح خدمات می‌بایستی سنگ بستر رخمنوendar واقع در بالادست نمونه‌های برداشت شده از رسوبات آبراهه‌ای در محدوده هر یک از برگه‌های ۱:۱۰۰،۰۰۰ مورد بررسی قرار گیرد، به تفکیک نوع سنگها در مسیر آبراهه‌های بالادست در حوضه آبریز، مطابق آنچه که در نقشه زمین‌شناسی ۱:۱۰۰،۰۰۰ حناگزارش گردیده است، اقدام گردید. این امر موجب می‌گردد تا نمونه‌های متعلق به هر جامعه از سنگهای بالادست در حد امکان همگن و از نظر آماری امکان بررسی آنها تحت یک جامعه بوجود آید.

۳-۲-بررسی مقادیر کلارک سنگهای رخمنوendar در منطقه

تیپ سنگهای موجود در منطقه تحت پوشش در دو مرحله مورد مشابه سازی قرار گرفته‌اند. در مرحله اول عمدتاً عامل زمان مؤثر نمی‌باشد. بدین معنی که اگر سنگ بالادست رخمنوendar در آبراهه از جنس آهک است، چه این آهک متعلق به پالئوزوئیک و یا کرتاسه باشد، اثرباری در طبقه‌بندی نداشته و هر دو بعنوان یک جامعه سنگ بالادست مورد بررسی قرار می‌گیرند. علت آنکه گاهی نمی‌توان تفکیکهای زمانی روی سنگهای مشابه انجام داد آن است که در نهایت تعداد جوامع سنگی بالادست آنقدر افزایش خواهد یافت که در هر جامعه فقط چند نمونه ممکن است یافته شود که تحلیل آماری روی آنها خطای بیشتری تولید خواهد کرد. این امر موجب کاهش شدید دقت تخمینهای بعدی خواهد شد.

خلاصه سازی مرحله دوم شامل نسبت دادن هر یک از کلاس‌های فوق به رده معینی از سنگهای آذرین، دگرگونی و یا رسوبی است که حتی الامکان داده‌های چهانی آنها مورد مطالعه قرار گرفته و در دسترس می‌باشد. جدول ۲-۳ این خلاصه سازی را نشان می‌دهد.

جدول ۳-۳ مقدار فراوانی عناصر مورد بررسی را در سه تیپ رسوبی فراوان در منطقه و در سه تیپ سنگ آذرین با گسترش نسبتاً زیاد در منطقه نشان می‌دهد. ستون آخر این جدول برای هر عنصر معین نسبت مقدار حداقل مقادیر کلارک را نشان می‌دهد. از این نقطه نظر،

اکثر عناصر نسبت به سنگ بستر رخمنون دار در حوضه آبرین، حساسیت نشان می‌دهند. بیشترین حساسیت از آن کبات و کادمیم با ضریب ۴۵۰ و سپس تنگستن (۲۸۳)، مس و آنتیمون (۱۰۰)، نیکل (۸۰)، باریم (۶۵) و استرانسیوم (۳۰/۵) می‌باشد. مینیمم تغییر پذیری را عنصر بیسموت نشان می‌دهد (۱/۴). این ارقام نشان می‌دهند که مقدار یک عنصر در حوضه آبرین، تا آنجاییکه به لیتولوژی حوضه آبریز مربوط می‌شود، بشدت تغییرپذیر بوده و بدون نرمالایز کردن مقدار عنصر نسبت به جنس سنگهای بالادست در حوضه آبریز، امکان دستیابی به یک جامعه همگن که بتوان بر اساس آن مقاییر زمینه، حد آستانه‌ای و آنومالی را در آنها مشخص نمود، غیرممکن می‌باشد.

جدول ۲-۳: خلاصه شده سنگهای رخمنون دار در حوضه‌های آبریز

در محدوده برگه ۱:۱۰۰,۰۰۰ حنا

آواری (کنگلومرا - ماسه سنگ)	رسوبی
شیمیایی (مارن - آهک)	
توف	آذرآواری
اسیدی (گرانیت، گرانودیوریت، کوارتزدیوریت)	
متوسط (داسیت - آندزیت)	آذرین
بازیک (دیاباز)	

Table 3-3 : Clark Values and Max/Min Ratio of The Clark Values in Similar Litology of Hana 1/100,000 Sheet.

VARIABLE	SEDIMENTARY ROCKS			IGNEOUS ROCKS			MAX/MIN
	SC	SD	ACIDIC	INTERMEDIATE	BASIC		
Zn	20	16	56	72	130	8.1	
Pb	9	7	15	15	8	2.1	
Ag	.0n	.0n	0.51	0.07	0.11	7.3	
Cr	11	35	22	50	200	18.2	
Ni	2	2	15	55	160	80.0	
Bi	-	-	0.01	0.01	0.007	1.4	
Sc	1	1	14	20	30	30.0	
Cu	4	1	26	35	100	100.0	
As	1	1	1.9	2.4	2	2.4	
Sb	20	.0n	0.2	0.2	1	100.0	
Cd	0.04	n	16	18	0.19	450.0	
Co	0.1	0.3	7	10	45	450.0	
Sn	0.n	0.n	2.5	1.6	1.5	1.7	
Y	30	40	34	29	21	1.9	
Ba	10	n*10	450	650	300	65.0	
V	20	20	88	150	200	10.0	
Sr	610	20	440	450	440	30.5	
Hg(PPb)	45	74	67	75	90	2.0	
W	0.6	1.6	170	1	1	283.3	
Au(ppb)	n	n	1.2	2.8	4	3.3	

فصل چهارم

پردازش داده‌ها

۱- مقدمه

نحوه پردازش داده‌ها در این پژوهه به ترتیب زیر بوده است:

وارد کردن داده‌های حاصل از آنالیز شیمیائی در یک بانک اطلاعاتی. این داده‌ها پس از اخذ، از طریق قرائت دوبل و تایپ کامپیوتری و کنترل خطاهای مربوطه، در بانک اطلاعاتی وارد گردیده است. علاوه بر داده‌های ژئوشیمیایی، شماره نمونه، مختصات و اطلاعات لیتو لوژی مربوط به سنگهای بالادست هر نمونه نیز در همان فایل ذخیره شده است. داده‌های خام مربوطه بر روی آورده شده است. CD

۲- پردازش داده‌های سنسور

داده‌های ژئوشیمیایی معمولاً دارای مقادیر سنسورد هستند یک مقدار سنسورد، داده‌ای است که بصورت کوچکتر و یا بزرگتر از یک مقدار معین گزارش می‌شود. برای داده‌های ژئوشیمیایی، مقدار سنسورد بطور تیپیک در حد قابل ثبت آنالیزها قرار دارد. داده‌ای سنسورد زمانی ایجاد می‌شوند که یا تکنیک‌های آنالیز برای ثبت مقادیر کوچک یک عنصر باندازه کافی حساس نیستند و یا تکنیک بسیار حساس بوده و قابلیت ثبت تمرکزهای بالای عناصر را در سیستم ندارد. داده‌ای سنسورد در کار آنالیزهای آماری اختلال ایجاد می‌نمایند، چراکه اغلب تکنیک‌های آماری مهم نیازمند یک مجموعه کامل از داده‌های غیرسنسورد می‌باشند. در مورد تخمین مقادیر سنسوردر روش‌های مختلفی بکار می‌رود. از جمله این روش‌ها قرار دادن $\frac{3}{\mu}$ حد قابل ثبت برای مقادیر "کوچکتر از" و $\frac{3}{\mu}$ حد بالایی برای مقادیر "بزرگتر از" می‌باشد. بعضی موارد بجای این مقادیر عدد صفر قرار می‌دهند. مسئله‌ای که تصمیم‌گیرنده با آن مواجه است آن است که چه درصدی از جانشینی‌ها، بدون ایجاد خطاهای معنی‌دار، قابل توجیه است؟ در اینجا یک

روش علمی برای تعیین مقدار جانشینی را نشان می‌دهیم.

فرض بر این است که مقدار جانشینی باید برابر باشد با میانگین مقادیر واقعی که بواسیلهٔ داده‌های سنسورد بیان شده است. ما از روش بیشترین درستنمائی جهت این تخمین میانگین استفاده می‌کنیم.

گرایش‌های داده‌های ژئوشیمیایی به پیروی از توزیع لاغ نرمال امری شناخته شده است. در حقیقت این روش شامل تخمین میانگین جامعهٔ لاغ نرمال با استفاده از روش بیشترین درستنمائی است. سپس این میانگین تخمینی، برای محاسبه یک مقدار جانشینی تخمینی برای مقادیر سنسورد بکار می‌رود. برای روشن شدن بحث، ما چند عبارت و علائم مربوطه را بکار می‌بریم. در اینجا غلطت بواسیلهٔ X و حد قابل ثبت یا نقطهٔ سنسورد بواسیلهٔ R_x نمایش داده می‌شود. مقدار جانشینی R_x عددی است که باید جانشین هر مقدار سنسورد گردد. فاکتور جانشینی R_x نسبت مقدار جانشینی به حد قابل ثبت برای یک جزء مشخص است:

$$R_x = \frac{X_r}{X_d} \quad (1)$$

برای مثال $\frac{3}{4}$ یک فاکتور جانشینی و $\frac{2}{3}$ حد قابل ثبت، مقدار جانشینی مربوطه است. پس از تعیین اینکه لگاریتم غلطتها توزیع نرمالتری نسبت به داده‌های اولیه دارد، داده‌ها را برای عناصر انتخاب شده به \log_{10} تبدیل می‌کنیم. تبدیلات بین داده‌های لگاریتمی (Y) و داده‌های اولیه (X) بصورت زیر است:

$$X = \log_{10} Y \quad (2)$$

$$Y_r = \log_{10} X_r \quad X_r = 10^{Y_r} \quad (3)$$

$$Y_d = \log_{10} X_d \quad X_d = 10^{Y_d} \quad (4)$$

گرفتن لگاریتم از طرفین معادله (1) فاکتور جانشینی تبدیل شده را به دست می‌دهد:

$$R_y = \log_{10} Y_r - \log_{10} Y_d = Y_r - Y_d, R_x = 10^{R_y} \quad (5)$$

تبدیلات مختلف دیگری نیز می‌تواند بجای \log_{10} بکار رود ولی در اینجا بعلت سهولت آن در

محاسبه و مزیت آن نسبت به روش‌های جانشینی ساده‌قراردادی از آن استفاده شده است.

ما از روش بیشترین درستنمائی کوهن (Cohen) جهت تخمین میانگین واقعی مجموعه داده‌ها استفاده کرده و سپس از نتیجه آن برای تخمین میانگین واقعی داده‌های سنسورد استفاده می‌کنیم. با استفاده از این روش میانگین کل مجموعه داده‌ها را تخمین می‌زنیم (μ). ما همچنین میانگین داده‌های غیر سنسورد را تخمین می‌زنیم (μ_u). حاصلضرب میانگین کل مجموعه داده‌ها، μ ، که با استفاده از روش کوهن (Cohen 1961) تخمین زده می‌شود، در کل تعداد نمونه‌ها، n ، برابر با حاصلضرب میانگین داده‌های سنسورد، μ_u (نامشخص)، در تعداد نمونه‌های سنسورد، n_u ، بعلاوه حاصلضرب میانگین داده‌های غیر سنسورد، μ_q (مشخص)، در تعداد نمونه‌های غیرسنسورد، n_q می‌باشد:

$$n \mu = n_q \mu_q + n_u \mu_u \quad (6)$$

از حل معادله فوق مقدار μ_q که تخمینی برای میانگین داده‌های سنسورد می‌باشد، بصورت

زیر بدست می‌آید:

$$\mu_q = \frac{n \mu - n_u \mu_u}{n_q} \quad (7)$$

فرض اولیه ما این بوده است که میانگین تخمینی داده‌های سنسورد بهترین مقدار جانشینی

می‌باشد یعنی:

$$Y_r = \mu_q \quad (8)$$

با استفاده از معادله (۳) و جایگزینی مقادیر با واحد اصلی آنها خواهیم داشت:

$$X_r = 10 \mu_q \quad (9)$$

تنها مجھول در معادله (۷) مقدار μ است که با استفاده از روش بیشترین درستنمائی کوهن بدست می‌آید. در این محاسبات N تعداد کل داده‌ها، n تعداد داده‌های غیرسنسورد و X_0 حد قابل ثبت و یا مقدار سنسورد می‌باشد. مقدار میانگین کل و واریانس کل از روابط زیر محاسبه می‌شود:

$$\mu = X - \lambda (X - X_0) \quad (10)$$

$$\sigma^2 = S^2 + \lambda (X - X_0)^2 \quad (11)$$

در معادلات بالا X و S^2 به ترتیب میانگین و پراش داده‌های غیرسنسورد هستند و λ تابع تخمینی کمکی است که از جدول مربوطه با در دست داشتن γ و h بدست می‌آید. مقادیر γ و h از

روابط زیر بدست می‌آیند:

$$\gamma = S^2 / (X - X_0)^2 \quad (12)$$

$$h = (N - n) / N \quad (13)$$

با در دست داشتن γ و h ، عدد خوانده شده از روی این جدول یعنی λ بدست می‌آید. با جایگزینی این مقدار در معادله (10) مقدار میانگین کل (μ) و سپس با استفاده از رابطه (7) مقدار μ و سپس مقدار جانشینی بدست می‌آید.

در این پژوهه عملیات فوق تنها بر روی عنصر Al که بخشی از داده‌های آنها بصورت سنسورد ($<1\text{ ppb}$) گزارش شده بود به دو روش خطی و غیرخطی محاسبه گردید که نتیجه حاصل از روش غیرخطی به دلیل اعتبار بیشتر آن پذیرفته شده و مقدار جانشینی محاسبه شده توسط این روش 0.291 بود که جایگزین مقادیر سنسورد شد.

مقادیر بدست آمده و مقدار جانشینی برای این عنصر به شرح جدول ۱-۴ می‌باشد. لازم به ذکر است که عنصر Al دارای ۱۴ داده سنسورد می‌باشد که ۲ داده در آلوویوم و ۱۲ داده دیگر در نمونه‌های ژئوشیمی بوده است. در این جدول X مقدار سنسورد (حدقابل ثبت)، n تعداد داده‌های سنسورد، n تعداد کل نمونه‌ها، m میانگین بخش غیر سنسورد جامعه، S_{log} انحراف معیار داده‌های لگاریتمی، γ و h مقادیر لازم برای بدست آوردن λ که طبق فرمول محاسبه می‌گردد، λ تابع تخمینی کمکی، m میانگین کل، n میانگین بخش سنسورد و X مقدار جانشینی می‌باشد.

مقدار جانشینی λ در جدول یک مقدار عددی است که پس از تبدیل بدست آمده است. نتایج

Table 4-1 : Calculative Results of Estimation for "Au" Censored Value.

Var. Name	Au	Au
	Linear	Nonlinear
X0	1	1
nq	14	14
nu	31	31
n	45	45
mu	1.159	1.159
S(log)	0.211	0.211
h	0.3111	0.3111
Gama	0.1573	0.1573
Lambda	0.4559	0.4551
mt	0.6306	0.6315
mq	-0.5392	-0.5364
Xr	0.289	0.291

نشان داده اند که مجموعه‌ای که دارای ۴۰٪ جانشینی است، نتایج صحیحی با ۹۰٪ حدود اطمینان و مجموعه با ۸۰٪ جانشینی، نتایجی با حدود اطمینان ۶۰٪ بدست می‌دهند.

تعدادی از نمونه‌های در سازمان زمین‌شناسی آنالیز شده‌اند (۴۵ نمونه) که ۱۴ نمونه سنسورد داشته است و بقیه در شرکت توسعه علوم آنالیز گشته که سنسورد نداشته است.

مقادیر سنسورد برای دو روش خطی و غیرخطی تعیین شده که به دلیل دقت عمل مقدار بدست آمده از روش غیرخطی استقاده گردیده است.

۳- پردازش داده‌های جوامع تک سنگی

در محدوده برگه ۱:۱۰۰,۰۰۰ حنا از مجموع ۵۷۲ نمونه رسوب آبراهه‌ای تعداد ۱۱۹ نمونه آنرا، نمونه‌هایی تشکیل می‌دهد که در بالادست آنها فقط یک نوع سنگ بستر رخمنون دارد. در بین این تیپ سنگهای بالادست، رسوبات دانه درشت از نظر فراوانی مقام اول را دارا می‌باشند و به ترتیب از زیاد به کم شامل سنگهای آهکی، سنگهای اسیدی درونی، اسیدی خروجی و رسوبات آهکی و دانه متوسط، سنگهای حدواسط بیرونی، سنگهای اسیدی خروجی و رسوبات دانه متوسط می‌باشد. برای هر یک از جوامع فوق که تعداد نمونه‌های موجود در آنها بیشتر از ۸ مورد است، پارامترهای آماری محاسبه گردیده تا بتوان از طریق تقسیم مقادیر هر عنصر خاص در آن جامعه، به مقدار میانه آن، ضریب غنی شدگی عنصر مربوطه را محاسبه نمود (جدول ۲-۴). در مواردی که تعداد نمونه‌ها در جامعه آماری مربوطه، کمتر از ۸ نمونه بوده است، در آن جامعه مورد تحلیل آماری قرار نگرفته بلکه مجموع چنین جوامعی ابتدا مخلوط شده تا بصورت یک جامعه مرکب درآید و سپس از طریق آنالیز کلاستر به تعداد محدودی مجموعه همگن که در هر یک نمونه کافی برای تحلیل آماری وجود داشته باشد، تقسیم شده‌اند. آنگاه از طریق محاسبات مشابه، ضریب غنی شدگی آنها محاسبه شده است. این امر در مورد جوامع با بیش از یک نوع سنگ بالادست نیز اعمال گردیده است.

Table 4 - 2 : Matrix of Median Values of Elemental Concentration as a Function of Upstream Lithology Populations Before Classified Same Rocks.

USR	Zn	Pb	Ag	Cr	Ni	Bi	Sc	Cu	As	Sb	Cd	Co	Sn	Y	Ba	V	Sr	Hg	W
GD	110.87	24.57	1.72	38.79	6.79	0.16	2.77	23.01	0.81	0.15	16.78	5.69	16.09	672.11	35.05	360.45	0.05	3.11	
NG2	109.23	24.58	1.14	147.07	68.39	0.15	7.49	56.97	6.19	0.85	0.18	30.87	4.88	17.66	426.67	131.01	437.03	0.10	2.61
OLM	86.96	27.32	1.67	217.73	86.29	0.14	12.76	60.02	9.89	0.71	0.14	13.22	5.95	15.42	635.67	258.92	361.30	0.07	2.34
EGT+GD	130.21	18.83	0.44	43.09	13.82	0.17	2.51	21.52	3.23	0.89	0.19	37.48	5.31	18.44	246.60	25.20	461.60	0.20	4.90
EW+NG2	117.80	24.35	1.23	132.63	53.02	0.16	7.31	51.91	6.50	0.92	0.18	28.23	5.08	17.86	463.13	131.61	413.04	0.08	2.30
OLM+OSI	81.48	31.70	1.83	273.00	103.82	0.13	15.54	69.11	11.09	0.64	0.12	9.77	6.15	14.42	637.54	328.12	321.14	0.04	2.17
OS1+OT2	101.18	29.02	1.68	134.40	39.79	0.15	8.10	49.28	9.81	0.73	0.14	16.79	5.94	15.55	619.84	155.22	377.40	0.07	2.49
EA+NG2+OD	119.62	25.44	1.37	96.51	36.56	0.16	6.27	40.91	7.07	0.90	0.17	23.43	5.51	17.07	530.25	113.05	418.33	0.10	4.31
OLM+OSI+OT2	88.90	30.39	1.66	192.31	71.66	0.14	11.59	54.12	9.99	0.69	0.14	11.98	5.86	15.24	615.97	234.44	346.92	0.05	2.31
OS1+OT1+OT2	98.43	27.49	1.77	104.23	22.91	0.16	7.17	37.44	10.49	0.71	0.13	13.96	6.15	15.11	661.28	131.52	339.94	0.05	2.63

Table 4 - 2 : Matrix of Median Values of Elemental Concentration as a Function of Upstream Lithology Populations After Classified Same Rocks.

USR	Zn	Pb	Ag	Cr	Ni	Bi	Sc	Cu	As	Sb	Cd	Co	Sn	Y	Ba	V	Sr	Hg	W
FLEX	113.94	25.95	1.39	105.82	39.08	0.16	5.97	45.19	7.65	0.87	0.16	24.07	5.62	16.82	537.21	103.12	431.81	0.10	3.48
CGS-FLEX	109.82	26.78	1.49	135.54	41.15	0.16	7.70	43.44	8.29	0.85	0.15	18.38	5.73	16.47	566.03	159.44	424.12	0.07	2.48
FLIN-IMIN	127.88	19.33	0.83	86.10	46.54	0.16	4.34	42.23	4.57	1.06	0.20	40.45	4.61	18.89	367.92	64.39	442.00	0.11	3.75
LM-MGS	101.23	28.16	1.70	150.29	48.53	0.15	8.70	54.06	10.44	0.72	0.14	16.88	6.06	15.32	629.90	164.31	372.93	0.06	2.30
CGS-FGS-FLEX	114.33	26.91	1.38	102.61	39.80	0.16	6.27	41.12	7.69	0.82	0.16	23.46	5.85	16.78	480.29	116.97	434.68	0.13	2.58
CGS-FLEX-FLIN	106.57	22.28	1.66	40.50	6.97	0.17	2.59	20.96	9.12	0.85	0.15	17.76	6.01	16.00	635.83	20.57	364.50	0.06	3.23
CGS-FLEX-MGS	125.15	24.32	1.16	90.89	47.65	0.15	5.33	48.07	5.94	1.03	0.18	32.64	4.93	17.79	430.96	90.71	442.71	0.11	3.59
CGS-LM-MGS	119.69	23.82	1.13	136.68	72.15	0.15	6.53	64.32	6.18	0.90	0.19	32.59	4.89	18.32	412.02	123.03	447.13	0.09	2.29
FGS-FLEX-IMEX	119.16	25.81	1.17	106.85	43.70	0.16	6.12	47.36	6.02	3.85	0.18	28.95	5.46	17.67	431.45	107.16	420.43	0.14	4.07
FLEX-FLIN-MGS	103.68	23.71	1.26	30.03	6.27	0.17	2.96	34.05	7.56	0.86	0.16	26.05	5.66	16.61	529.61	30.03	420.12	0.07	2.51
FLEX-LM-MGS	91.75	27.83	1.79	165.74	62.80	0.14	10.07	46.40	10.99	0.72	0.13	11.87	6.23	14.81	658.02	196.85	358.75	0.07	2.48
CGS-FLEX-FLIN-MGS	106.86	15.92	1.21	32.33	6.26	0.16	2.44	32.33	6.67	0.94	0.17	26.61	5.35	17.50	506.20	19.81	416.68	0.10	2.36
CGS-FLEX-LM-MGS	96.42	27.45	1.76	175.90	61.17	0.14	10.69	52.04	10.32	0.72	0.13	13.46	5.94	15.28	641.73	217.43	366.79	0.07	2.50
CGS-IMIN-LM-MGS	115.15	23.05	0.89	201.43	100.41	0.14	8.32	81.09	5.59	0.99	0.20	40.54	4.22	18.61	286.41	152.17	470.13	0.11	4.46
CGS-FLEX-FLIN-IMEX-IMIN-LM-MGS	115.70	23.56	1.06	163.56	75.67	0.14	7.83	61.36	5.36	0.89	0.19	34.89	4.86	18.10	366.37	145.79	447.73	0.13	4.46

۴-پردازش داده‌های جوامع دو سنگی

در محدوده این برگه برای ۱۲۴ نمونه برداشت گردیده است که در بالادست آنها دو نوع سنگ بستر در حوضه آبریز رخمنون داشته است. در بین این تیپ سنگ‌های بالادست، فراوانی گروه سنگ‌های رسوبی بطور برجسته‌ای بیشتر از گروههای دیگر است. گروههای با اهمیت برتری فراوانی نزولی آنها عبارتند از:

EW + NG2, Os1 + OT2, OLM + OS1, EGT + GD

بنابراین میتوان گفت که در بین این گروهها، سنگ‌های رسوبی وسعت بیشتری داشته‌اند.

جوامع سنگی که تعداد نمونه‌های موجود در آنها کمتر از ۸ عدد بوده بر مبنای ترکیبیشان به ۹ کلاس مختلف تقسیم می‌شوند که هر کلاس شامل یکسری نمونه خواهد بود. در آن جاییز برای جوامعی که تعداد اعضایشان $8 \geq$ نمونه بوده مقدار میانه به طور مستقل محاسبه گردیده است و جوامعی که در نهایت تعداد نمونه‌هایشان به عدد ۸ نرسیده است از طریق آنالیز کلاستر و بر مبنای ترکیب نمونه‌هایشان به زیر جامعه‌هایی همگن تقسیم شده‌اند که شرح آن در قسمت مربوطه آورده شده است.

جدول زیر نمایشگر تعداد نمونه‌های مربوط به هر جامعه سنگی که توانسته‌اند تشکیل یک

جامعه مستقل را بدene (تعداد اعضایشان $8 \geq$ بوده است) می‌باشد.

الف - زیر جامعهٔ تک سنگی ۱۱۷ نمونه (در ۴ تیپ سنگ مختلف)

ب - زیر جامعهٔ دو سنگی ۷۳ نمونه (شامل ۷ تیپ مجموعه دو سنگی)

ج - زیر جامعه سه سنگی ۱۳۲ نمونه (شامل ۱۰ تیپ مجموعه سه سنگی)

د - زیر جامعهٔ چهار سنگی ۴۰ نمونه (شامل ۳ تیپ مجموعه چهار سنگی)

ه - زیر جامعه بیش از چهار سنگی ۹ نمونه

۵-پردازش داده‌های طلا

در این پروژه جهت آنالیز طلا ابتدا کلیه نمونه‌ها به آزمایشگاه طلای سازمان زمین‌شناسی و اکتشافات معدنی ارسال می‌گردد. و جهت کنترل دقت آزمایشگاه ۳۰ نمونه تکراری نیز جهت کنترل کار آزمایشگاه تهیه و در لیست نمونه‌های ارسالی قرار گرفت. در جدول (۴-۳) نتایج آنالیزهای فوق آورده شده است.

براساس نتایج جدول (۴-۳) اقدام به تعیین خطای اندازه‌گیری طلا گردید. بدین منظور از روش ارائه شده در هندبوک ژئوشیمی اکتشافی (جلد دوم صفحه ۵۴) استفاده شده است. در این روش در یک دستگاه مختصات، روی محور افقی میانگین دو اندازه‌گیری و روی محور عمودی اختلاف دو مقدار اندازه‌گیری شده در مقیاس لگاریتمی ترسیم می‌شود. در این دیاگرام خطوط مایلی دیده می‌شود که می‌تواند سطح دقت دلخواه را (که در این پروژه ۱۰٪ انتخاب گردیده است) نشان دهد. در صورتیکه ۹۰٪ نقاط پیاده شده در این شکل زیر خط پایینی (خط ۱۰٪ خط) و ۹۹٪ نقاط زیر خط بالایی (خط ۱٪ خط) قرار گیرد. در اینصورت خطای کل این مجموعه نمونه تکراری برای عنصر مورد مطالعه ۱۰٪ ارزیابی می‌گردد.

در شکل (۴-۱) نتایج حاصله برای عنصر طلا ارائه شده است. همانطور که مشاهده می‌گردد. متأسفانه خطای بیش از ۱۰٪ می‌باشد و مقدار اختلافها بسیار قابل توجه است. پس از مشخص شدن دقت آزمایشگاه، آنالیز نمونه در این آزمایشگاه متوقف گردید و الباقی نمونه‌ها به آزمایشگاه شرکت توسعه علوم زمین انتقال یافت. (که قبل از خطا‌سنجی شده و مورد تأیید بوده است)

لذا در این پروژه برای طلا ۴۶ نمونه در آزمایشگاه سازمان و ۶۳ نمونه در آزمایشگاه شرکت توسعه مورد آزمایش واقع شده‌اند. در شکل (۴-۲) و (۴-۳) به ترتیب هیستوگرام توزیع طلا در دو آزمایشگاه فوق ارائه شده است. همانطور که مشاهده می‌گردد. به طور معنی‌داری مقدار طلای گزارش شده در سازمان زمین‌شناسی بیشتر است و به طوری که مقادیر میانه طلا

در شرکت توسعه علوم زمین در حدود ۵ برابر کمتر می‌باشد لذا جهت هم مقیاس کردن داده‌های طلا در دو آزمایشگاه با اعمال ضریب ۰/۰ در نتایج آنالیز سازمان زمین‌شناسی داده‌ها را هم مقیاس نموده‌ایم.

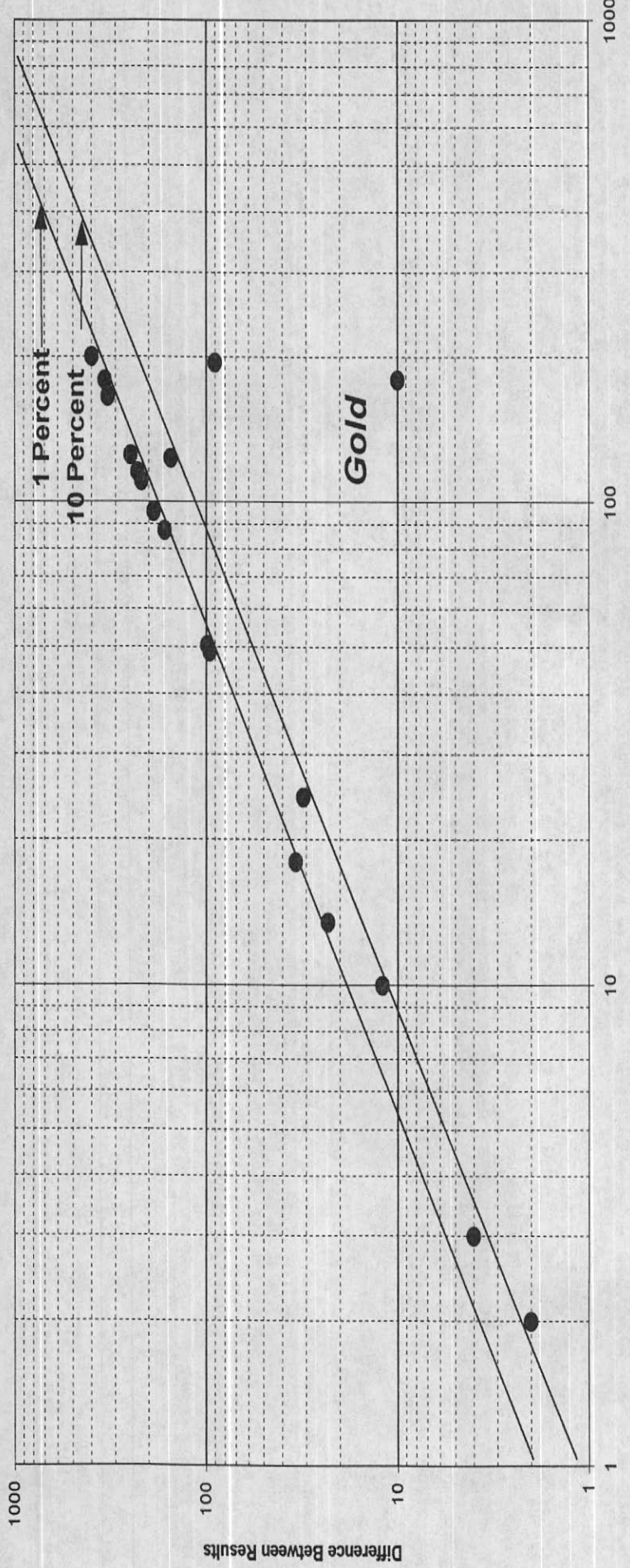
در شکل (۴-۴) نتیجه‌نهایی تبدیل اعمال شده و پارامترهای آماری طلام مشاهده می‌گردد که از این داده‌ها در پردازش و تجزیه و تحلیل داده‌ها استفاده شده است. در شکل (۴-۵) نیز دیاگرام تابع توزیع تجمعی ترسیم شده برای طلا ارائه شده است. همانطور که در این دو شکل مشاهده می‌شود، بخش عمده توزیع طلا (حدود ۹۵٪) معرف یک جامعه نرمال است. و در حدود ۵٪ آن نیز به صورت یک جامعه آنومال خود را از بدنۀ اصلی جامعه جدا کرده است. براساس نتایج بدست آمده از اشکال فوق و خواص رئوژیمیابی عنصر طلا می‌توان از اثر سنگ بالا دست در مورد عنصر طلا صرفنظر کرده و براساس مقادیر طلای بدست آمده، نمونه‌های آنومال طلا را مشخص نمود.

بدين منظور براساس روشهای آماری اقدام به جدایش دو جامعه آماری فوق الذکر در مورد طلا نموده‌ایم. بدين منظور از نرم‌افزار PPlot استفاده نموده و جامعه نمونه‌های طلا را به دو جامعه نرمال تقسیم نموده‌ایم. در شکل (۴-۶) نتیجه این جدایش ارائه شده است. این محاسبات براساس مقادیر لگاریتمی طلا انجام شده و مقدار ماگزیموم طلا (All = ۱۹۶۰ PPb) که به عنوان مقدار خارج از رنج (outlier) می‌باشد در محاسبات حذف گردیده است.

براساس محاسبات انجام شده دو جامعه نرمال قابل تشخیص بوده است. جامعه اول ۹/۹۷٪ که جامعه نمونه‌برداری را شامل می‌شود و جامعه دوم که ۲/۱٪ جامعه را تشکیل می‌دهد و در واقع جامعه آنومال می‌باشد. پس از جدایش جوامع، مقدار حد آستانه‌ای (Thresholds) دو جامعه بدست آورده شده است و سپس حد آستانه‌ای جامعه اول به عنوان حد آنومالی طلا در این برگه در نظر گرفته شده است. مقدار حد آستانه‌ای محاسبه شده برای جامعه اول (شکل ۴-۶) معادل ۵/۶ PPb می‌باشد. لذا این حد برای مشخص کردن نمونه‌های آنومال به کار رفته و نمونه‌های فوق در مدلسازی و سایر پردازش‌های لازم بکار رفته است.

Table 4-3 : Analytical Results for Au in Hana 1/100,000 Sheet area.

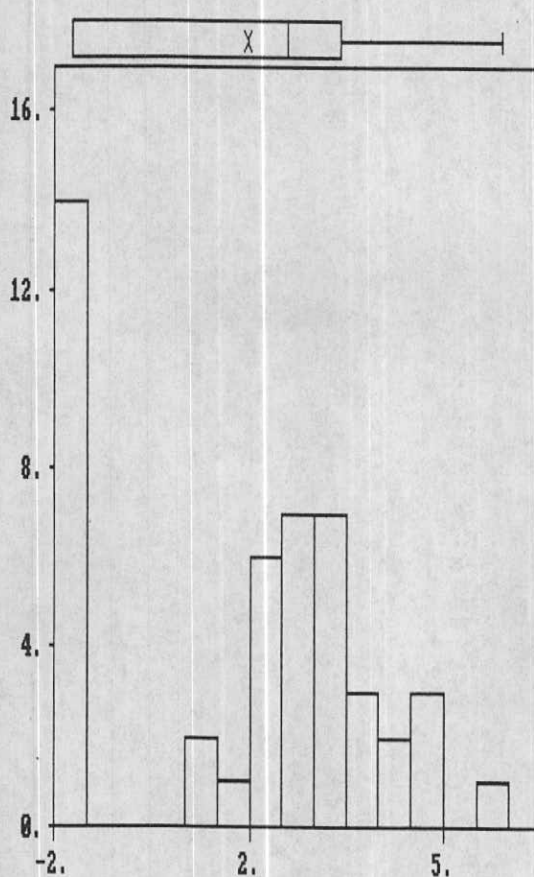
Sample Number	Au (ppb)	Duplicate Number	Duplicate Results
SG-53	16	AY3Z2	4
SK-38	3	WR1U2	<1
SG-62	240	GF3Y2	150
SK-93	2	BF4R9	25
SK-104	3	TG5H1	<1
SG-127	<1	KF8S7	<1
SG-133	<1	MT9V3	<1
SG-168	<1	VR6W4	<1
SK-195	220	SY7P5	<1
SG-212	40	BT2Q9	9
SG-218	<1	MA6X7	<1
SK-225	400	ME9G4	<1
SK-230	350	KL4S7	9
SK-235	4	NT8X2	16
SG-236	<1	HD6A9	3
SD-258	<1	MO7L2	5
SS-296	330	NK9T6	<1
SK-302	175	LO1U8	185
SK-363	220	BT4R6	<1
SD-400	<1	KG6D5	<1
SD-402	100	TF8J4	<1
SK-428	250	DG2E3	<1
SK-438	200	LD5I4	47
SS-457	330	PS4B5	3
SS-472	190	ZO4R7	<1
SS-525	<1	FW2O4	<1
SK-30	<1	MI3R2	97
SK-32	<1	LE7C8	35
SG-126	170	YT6N3	5
SK-562	230	KA3Z9	<1



Mean of Results
Fig. 4 - 1

Histogram
Au Analytical Results (G.S.I. Lab.)

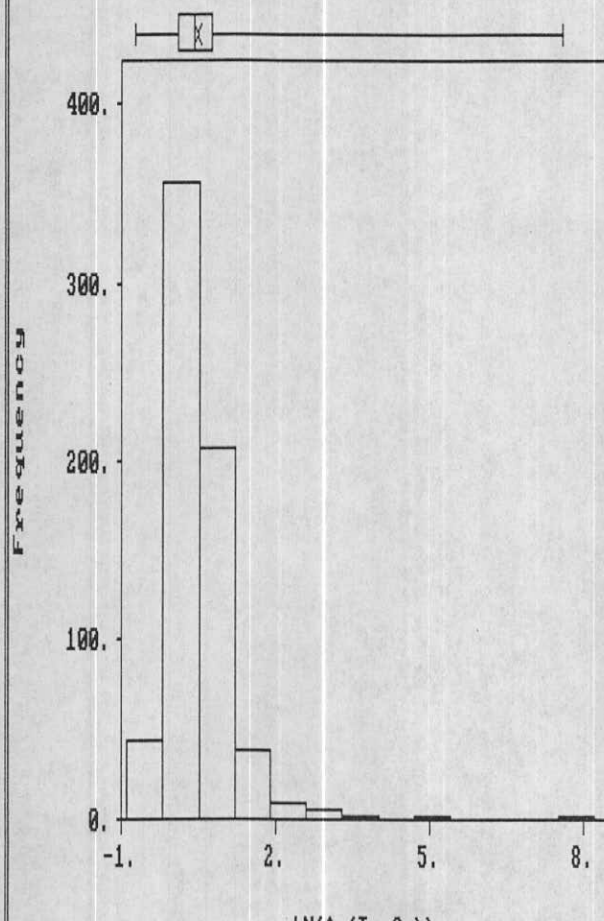
Statistics



N Total :	709
N Miss :	663
N Used :	46
Mean :	1.461
Variance:	4.045
Std. Dev:	2.011
% C.V. :	137.696
Skewness:	-.227
Kurtosis:	1.795
Minimum :	-1.238
25th % :	-1.238
Median :	2.072
75th % :	2.890
Maximum :	5.394

شكل (٤ - ٢)

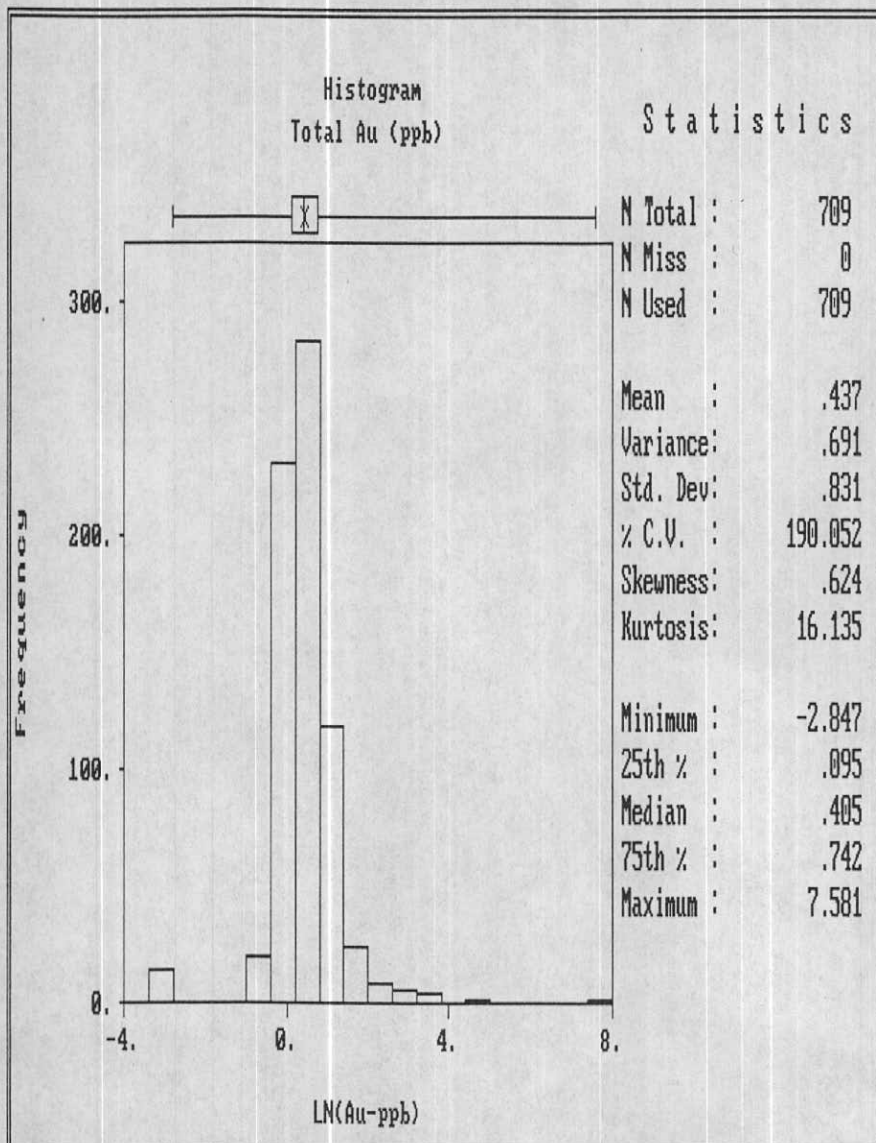
Histogram
Au Analytical Results (TozCo Lab.)



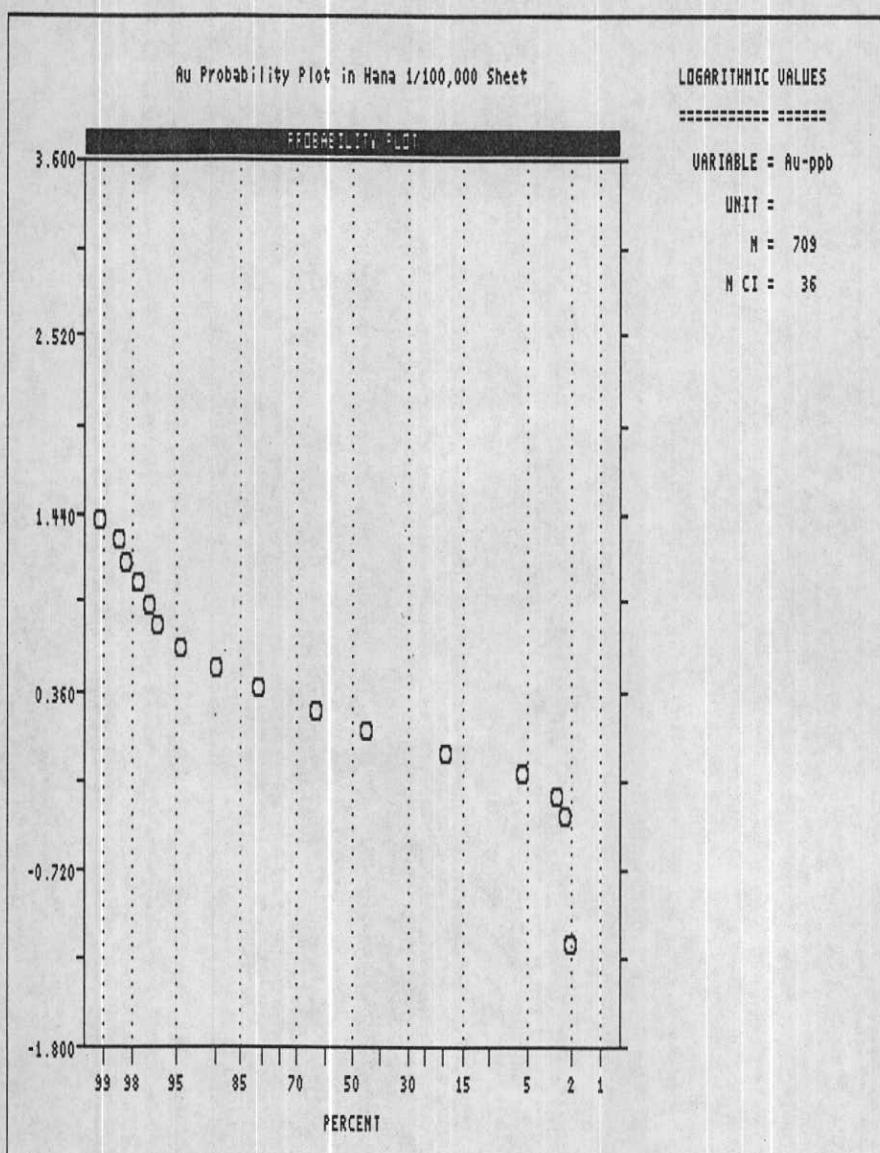
Statistics

N Total :	709
N Miss :	46
N Used :	663
Mean :	.478
Variance:	.439
Std. Dev:	.662
% C.V. :	138.538
Skewness:	3.276
Kurtosis:	27.337
Minimum :	-.755
25th % :	.095
Median :	.405
75th % :	.742
Maximum :	7.581

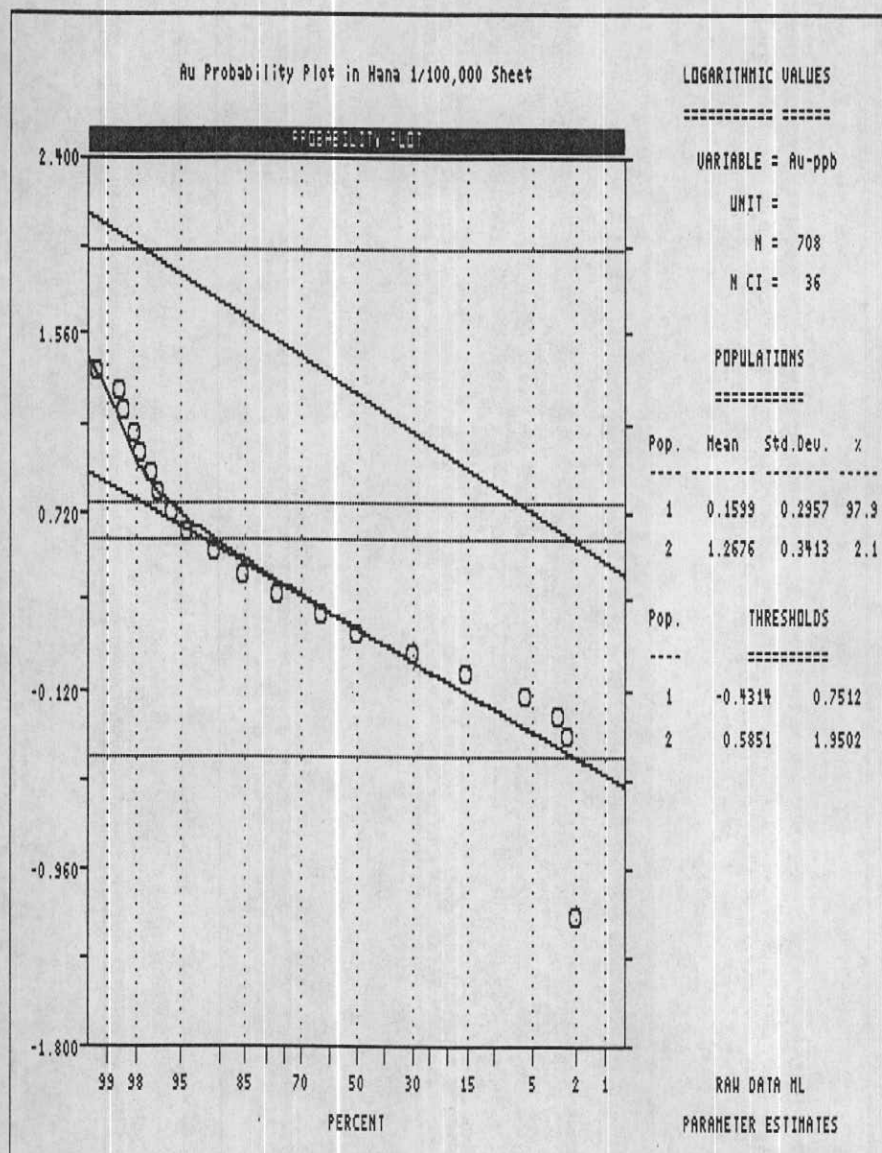
شكل (٤-٣)



شكل (٤-٤)



(٤-٥) شكل



(٤-٦) شكل

فصل پنجم

تخمین مقدار زمینه

۱- تحلیل ناهمگنی‌ها

همانطور که قبلاً گفته شد، یکی از عوامل مهم در ایجاد ناهمگنی آماری در جوامع ژئوشیمیایی نمونه‌های برداشت شده از رسوبات آبراهه‌ای، تنوع و تغییرات لیتولوژی در سنگ‌های بالادست است. برای از بین بردن این عوامل ناهمگن‌ساز و دستیابی به جوامع همگنی که بتوان از طریق آنها به مقدار زمینه واقعی‌تری دست یافت، اقدام به جداسازی نمونه‌ها بر اساس سنگ بستر رخنمون‌دار در محدوده حوضه آبریز بالادست هر نمونه شده است. سپس نتایج حاصل از هر جامعه با یکدیگر مقایسه شده و تشابهات و یا تضادهای ژئوشیمیایی مربوط به هر یک بدست آمده است. داده‌های جداول ۲-۴ نشان می‌دهد که سنگ‌های بالادست شامل ۴ گروه تک سنگی،^۷ ۱۰ گروه سه سنگی و ۳ گروه چهارسنگی است که در هر یک بیش از ۸ نمونه وجود داشته است و از این‌رو امکان محاسبه پارامترهای آماری تا حدی وجود داشته است گروههایی که تعداد نمونه‌های آنها کمتر از ۸ نمونه بوده است از طریق آنالیز کلاستر منطبق بر منطق فازی به دو جامعه با تعداد کافی نمونه در هر یک از آنها تقسیم شده‌اند. داده‌های این جدول معرف آنست که در مورد بعضی از عناصر نقش تغییرپذیری سنگ بستر بالادست قوی است. برای مثال در مورد Ni در رسوبات حاصل از فرسایش برای سنگ‌های گرانودیوریتی می‌نیم مقدار میانه $6/79\text{ ppm}$ است. و نیز برای رسوبات دانه درشت مقدار آن $39/68\text{ ppm}$ می‌باشد.

۲- سیمای ژئوشیمیایی جوامع مختلف بر اساس سنگ بستر بالادست

برای تعیین سیمای ژئوشیمیایی جوامع مختلف نمونه‌های برداشت شده از حوضه‌های آبریز بر اساس سنگ بالادست آنها بصورت زیر عمل گردیده است:

الف: مقدار میانگین هر عنصر در هر کلاس از سنگ‌های بالادست (تک سنگی) محاسبه شده

است.

ب: ردیف بندی عناصر در یک سری متوالی بر اساس کاهش مقدار فراوانی آنها

ج: مقایسه مکان قرارگیری هر عنصر در یک سری باستگ بالا دست معین نسبت به مکان

قرارگیری همان عنصر در سری کلی.

جدول ۱-۵ نتایج عملیات فوق را برای کل جامعه نمونه های برداشت شده از برگه ۱:۱۰۰،۰۰۰ CGS (رسوبات

هنا که بعنوان ملاک مقایسه برای جوامع دیگر بکار برده شده است همراه با مقادیر مشابه برای

نه تیپ سنگ بستر بالا دست (تک سنگی) نشان می دهد. این جوامع عبارتند از:

GMS (رسوبات دانه متوسط)، FGS (رسوبات دانه ریز)، FLEX (سنگهای اسیدی

خروجی)، IMIN (سنگهای حدواتسط درونی)، LM (سنگهای

آهکی)، IMEX (حدواتسط بیرونی)، IMSU (حدواتسط ساب ولکانیک).

چنانچه از داده های این جدول بر می آید، میانگین مقادیر رسوبات حاصل از فرسایش

سنگهای فلزیک تقریباً نزدیک به میانگین مقادیر مربوط به جامعه کلی است که باید همچنین

باشد. در این میان فقط اندکی غنی شدگی نسبی در Zn و Pb دیده می شود.

در مورد سنگهای آهکی و سنگهای اسیدی درونی این تغییرات بیشتر است.

عناصری مانند روی، سرب، ارسنیک، اسکاندیوم، قلع، کادمیم در سنگهای اسیدی درونی

غنی شدگی نسبی و عناصر کروم، مس، نیکل، تنگستن، جیوه و بیسموت تهی شدگی نسبی را

نشان میدهند.

۳- تخمین مقدار زمینه

پس از همگنسازی جوامع مختلف، نمونه های ژئوشیمیائی برداشت شده از رسوبات

آبراهه ای بر اساس نوع سنگ یا سنگهای بالا دست اقدام به محاسبه مقدار زمینه گردیده است. در

این خصوص چون مقدار میانگین، خود تابع مقادیر حدی در تابع چگالی احتمال است، و از طرفی

Table 5 - 1 : Geochemical Features : Ranking of Different Elements in Different Environments Based on Concentration of Each Element in Stream Sediments.

Total Standard	Ba	Sr	Cr	Zn	V	Cu	Ni	Pb	Y	As	Sc	Sn	W	Ag	Sb	Cd	Bi	Hg
GD	494.9925	420.535	113.9665	111.394	110.54	48.1825	43.722	26.468	24.5415	17.195	6.8665	6.233	5.377	2.606	1.287	0.8725	0.168	0.154
NG2	672.11	360.45	Zn	Cr	V	Pb	Cu	Co	Y	As	Ni	Sn	W	Sc	Ag	Sb	Bi	Cd
OLM	437.03	426.67	Ba	Cr	V	Zn	Ni	Cu	Pb	Y	Sc	As	Sn	W	Ag	Sb	Bi	Hg
FLEX	537.21	431.81	Sr	Zn	Cr	V	Cu	Ni	Pb	Co	Y	As	Sc	W	Ag	Sb	Cd	Bi

داده‌های ژئوشیمیائی اکثراً چولگی مثبت داشته و مقادیر حد بالایی تابع چگالی احتمال آنها روى مقدار میانگین اثر می‌گذارد، از مقدار میانه که مستقل از تغییرات فوق می‌باشد، استفاده شده است. در این خصوص مقدار میانه بعنوان زمینه انتخاب گردیده است و سپس مقدار هر عنصر در هر نمونه از یک جامعه به مقادیر میانه آن تقسیم شده است تا نسبت غنی‌شدنگی یا تهی‌شدنگی آن عنصر در هر نمونه محاسبه گردد. بدیهی است عناصری که مقدار نسبت فوق در آنها بیشتر از واحد باشد غنی‌شده و آنها که کمتر از واحد باشد تهی‌شده تلقی می‌شوند.

جدول‌های ۲-۵ پارامترهای آماری مربوط به لگاریتم توزیع شاخص غنی‌شدنگی نسبی هر یک از متغیرهای بیست گانه را نشان می‌دهد. در این جدول بدیهی است مقدار میانه بصورت عدد صفر ظاهر خواهد شد، زیرا $(\ln(1) = \text{Med})$. علاوه بر مقدار میانه در این جدول، مقدار میانگین، انحراف معیار و مقدار چولگی و کشیدگی نیز نشان داده شده است. بر اساس این داده‌های نتیجه توزیع هر عنصر رسم گردیده است. لازم به یادآوری است، عناصری که در غلظت‌های کمتر از چند ده ppm ظاهر می‌شوند می‌توانند بعضًا ضریب غنی‌شدنگی بسیار بالایی از خود نشان دهند که تا حدودی غنی‌شدنگی غیرواقعی است. علت این امر می‌تواند به افزایش خطاهای مطلق اندازدگیری در غلظت‌های کم برگردد. بنابراین در انتخاب مناطق امیدبخش و تحلیل آنها باید از هر دو معیار مقدار مطلق و غنی‌شدنگی نسبی بهره برد. اب ۸۶

BATCH STATISTICS

(for Natural Log of data)

Table 5 - 2 : Batch Statistic of Enrichment Index of Variables
in Hana 1:100,000 Sheet.

Elements	Zn	Pb	Ag	Cr	Ni
N used	572	572	572	572	572
N missing	0	0	0	0	0
N .LE. 0	0	0	0	0	0
Mean	0.002	-0.032	-0.064	-0.072	-0.024
Variance	0.02	0.043	0.15	0.488	0.388
Std. Dev.	0.143	0.208	0.387	0.699	0.623
Coef. Var.	6634.418	657.705	603.438	975.084	2639.366
Skewness	2.565	-2.4	-3.657	-5.46	-0.439
Kurtosis	31.058	17.748	26.789	42.648	8.701
Minimum	-0.434	-1.888	-3.742	-5.627	-4.141
25th %tile	-0.066	-0.07	-0.142	-0.182	-0.26
Median	0	0	0	0	0
75th %tile	0.074	0.051	0.119	0.163	0.238
Maximum	1.6	0.641	0.996	1.434	2.5

Elements	Bi	Sc	Cu	As	Sb
N used	572	572	572	572	572
N missing	0	0	0	0	0
N .LE. 0	0	0	0	0	0
Mean	0.001	-0.012	-0.019	-0.072	0.401
Variance	0.013	0.082	0.091	0.202	0.874
Std. Dev.	0.112	0.286	0.301	0.45	0.935
Coef. Var.	22221.5	2484.236	1576.614	622.726	233.232
Skewness	9.536	0.116	-0.475	-4.201	1.713
Kurtosis	173.217	5.73	6.286	34.341	4.82
Minimum	-0.333	-1.142	-1.557	-4.086	-1.56
25th %tile	-0.043	-0.149	-0.162	-0.197	-0.072
Median	0	0	0	0	0
75th %tile	0.045	0.121	0.137	0.128	0.134
Maximum	1.987	1.255	1.033	1.084	3.547

BATCH STATISTICS

(for Natural Log of data)

Table 5 - 2 : Batch Statistic of Enrichment Index of Variables
in Hana 1:100,000 Sheet.

Elements	Cd	Co	Sn	Y	Ba
N used	572	572	572	572	572
N missing	0	0	0	0	0
N.LE. 0	0	0	0	0	0
Mean	0.007	-0.018	-0.022	0.005	-0.045
Variance	0.023	0.201	0.028	0.007	0.091
Std. Dev.	0.15	0.449	0.167	0.081	0.302
Coef. Var.	2072.384	2520.522	752.368	1656.79	668.494
Skewness	1.185	-0.871	-3.059	1.552	-3.642
Kurtosis	9.27	9.11	22.69	10.873	36.043
Minimum	-0.642	-2.529	-1.43	-0.309	-3.558
25th %tile	-0.076	-0.188	-0.063	-0.039	-0.126
Median	0	0	0	0	0
75th %tile	0.069	0.178	0.055	0.037	0.11
Maximum	0.882	1.943	0.595	0.525	0.78

Elements	V	Sr	Hg	W
N used	572	572	572	572
N missing	0	0	0	0
N.LE. 0	0	0	0	0
Mean	-0.04	0.008	-0.031	0.001
Variance	0.236	0.016	0.27	0.184
Std. Dev.	0.486	0.127	0.519	0.429
Coef. Var.	1202.181	1591.275	1658.438	56262.83
Skewness	-1.102	0.434	-1.068	-0.353
Kurtosis	12.039	3.843	6.982	4.878
Minimum	-3.544	-0.324	-2.89	-2.083
25th %tile	-0.211	-0.071	-0.264	-0.163
Median	0	0	0	0
75th %tile	0.157	0.082	0.245	0.168
Maximum	1.648	0.581	1.653	1.563

فصل ششم

تخمین شبکه‌ای شاخص‌های غنی‌شده

۱- تخمین شبکه‌ای

با گذشت زمان و افزایش مخارج پروژه‌های اکتشافی، سعی بر آن است که با بکارگیری تکنیکهای آماری پیچیدتر، دامنه تخمین را از نظر بعد مسافت افزایش داد تا این رهگذر بتوان تعداد نمونه‌های لازم را، برای تخمین در سطح اعتماد معین کاهش داد. این کاهش تعداد نمونه‌ها (البته بدون پایین آوردن سطح اعتماد تخمین) خود موجب کاهش مخارج اکتشافی می‌گردد زیرا مخارج سایر فازهای اکتشافی (از قبیل آماده سازی، آنالیز و پردازش) ارتباط مستقیمی با تعداد نمونه‌ها دارد. معمولاً برگه‌های ۱:۱۰۰۰۰ زمین‌شناسی در کشور ما مساحتی حدود ۲۵۰۰ کیلومتر را شامل می‌شود که اگر چگالی یک نمونه برای هر ۳ کیلومتر مربع را در نظر بگیریم، برای هر برگه حدود ۸۰۰ نمونه باید برداشت شود. در چنین شرایطی اگر نقشه ۱:۱۰۰،۰۰۰ زمین‌شناسی را به ۲۵۰۰ سلول با مساحت یک کیلومتر مربع تقسیم نمائیم کل ۸۰۰ نمونه برداشت شده احتمالاً در حدود ۸۰۰ سلول توزیع خواهد شد و از بقیه ۱۷۰۰ سلول باقیمانده، نمونه‌ای برداشت نمی‌شود بدین ترتیب هیچ تخمین مستقیمی نمی‌تواند برای حدود ۷۰٪ از مساحت نقشه صورت پذیرد این تحلیل ساده نشان می‌دهد که تاچه اندازه به تکنیکهای آماری که بتواند دامنه تخمین مقدار متغیرها را به بخش اعظمی از هر نقشه افزایش دهد نیاز می‌باشد. این تکنیک که در این گزارش تحت عنوان تخمین شبکه‌ای از آن نام برده می‌شود به ما اجازه می‌دهد تا با داشتن اطلاعات مستقیم از حدود ۸۰۰ سلول شبکه، بتوانیم تخمین‌های لازم از فراوانی عناصر و شاخص‌های غنی‌شده مربوط به آنها را به حدود ۱۷۰۰ سلول دیگر موجود در محدوده برگه افزایش دهیم. در چنین حالتی افزایش تعداد سلولهایی که در مورد آنها داده‌ای بدست می‌آید، موجب می‌گردد تا ارتباط منطقی بین فراوانی یک عنصر در سلولها ظاهر گشته و امکان ارزیابی منطقه‌بندهای موجود در نقشه توزیع یک عنصر فراهم گردد. برای مثال هر گاه یک مقدار

آنومالی در بین تعداد زیادی از مقادیر زمینه محصور گردد، ارزش و اعتبار آن مقدار آنومالی زیر سوال خواهد بود. ولی اگر یک مقدار آنومالی بوسیله چندین سلول با مقدار حد آستانه‌ای محصور گردد و این سلولها خود توسط سلولهای دارای مقدار زمینه نیز محاط گردند در اینصورت این مدل تغییرات تدریجی از اطراف به مرکز آنومالی، موجب افزایش اعتبار مقدار آنومالی می‌گردد. چنین ارزیابیهای در صورتی میسر است که از تکنیک تخمین شبکه‌ای استفاده گردد. از دیگر امتیازات این روش تخمین آنست که یک شبکه نامنظم نمونه برداری را به یک شبکه منظم تخمین تبدیل می‌کند. مهمترین ویژگی بررسی رسوبات رودخانه‌ای به منظور ارزیابی پتانسیل کانی سازی، می‌تواند ناشی از این واقعیت باشد که مقدار هر متغیر در رسوب رودخانه‌ای دارای خاصیت برداری است. جهت این بردار بطریقی است که همواره مقادیر بالا دست خود را معرفی می‌کند. عبارت دیگر ارقام حاصل از بررسی رسوبات رودخانه‌ای برخلاف سایر روش‌های ژئو شیمیایی خاصیت جهت یافتنی دارند و همواره انعکاس دهنده تغییرات، در ناحیه بالا دست خود می‌باشند. الگوریتم کنونی بنحوی طراحی شده که این اثر مهم در تخمین رابحساب آورد. این روش اولین بار توسط گروهی از ژئو شیمیست‌های اکتشافی امپریال کالج لندن بکار گرفته شد و سپس با تأیید الگوریتم مورد نظر این روش در هندبوک ژئوشیمی اکتشافی (جلد دوم) بعنوان روشی برای نقشه برداری ژئوشیمیایی پیشنهاد گردیده است.

تکنیک تخمین شبکه‌ای شامل چند بخش بشرح زیر است:

الف - انتخاب یک شکل هندسی که بتواند حتی الامکان ناحیه حوضه آبریز بالا دست هر نمونه را مشخص کند. این شکل هندسی می‌تواند به صورت مختلفی انتخاب گردد. برای مثال ناحیه بالا دست هر نمونه را در حوضه آبریز، می‌توان بصورت مثلث، بیضوی، چند ضلعی و یا قطاعی از یک دایره در نظر گرفت که محل نمونه در یکی از رئوس این اشکال هندسی قرار خواهد گرفت. بنظر می‌رسد که انتخاب چند ضلعی، تا آنجا که به انطباق فیزیکی بیشتر با حوضه آبریز مربوط

می شود از دیگر اشکال هندسی مناسبتر است ولی محاسبات و عملیات مربوط به آن بسیار پیچیده تر و پر حجم است. در مقابل انتخاب قطاع گرچه ممکن است از نظر هندسی انطباق کمتری با طبیعت حوضه آبریز داشته باشد و نتوان صد درصد مساحت تحت پوشش یک حوضه آبریز را در آن محصور نمود ولی بعثت کمی تعداد پارامترهای لازم برای مشخص نمودن آن، از امتیاز بالایی نسبت به سایر اشکال برخوردار است. در این مطالعه برای مشخص کردن محدوده هر حوضه آبریز از این شکل هندسی استفاده شده است.

ب- زاویه مرکزی هر قطاع که بخشی از حوضه آبریز را می پوشاند، در محل نمونه قرار داده می شود و کمان انتهایی قطاع بالاترین قسمت حوضه آبریز مربوطه را می پوشاند و دو ضلع قطاع باید حتی الامکان منطبق بر خط الراسهای دو طرف حوضه آبریز بالا دست نمونه مربوطه باشند. پارامترهایی که برای هر قطاع باید اندازدگیری و در محاسبات وارد شوند عبارتند از:

- مختصات X و Y ، نقطه راس قطاع که همان نقطه نمونه برداری است.
- زاویه مرکزی قطاع (θ).

- مختصات نقطه انتهایی حوضه آبریز مربوطه که حتی الامکان منطبق بر نقطه وسط کمان قطاع خواهد بود.

در این پژوهه برای کلیه نمونه های برداشت شده در محدود این برگه که محل و موقعیت آنها در نقشه های نمونه برداری قبل از ارائه گردیده است، مطابق دستور العمل فوق قطاع های مربوطه رسم و مختصات رأس قطاع و نقطه انتهایی آبراهه و زاویه θ نیز اندازه گیری شده است. نتایج این اندازه گیری ها روی CD آورده شده است.

بنابراین به تعریف شاخص غنی شدگی یک عنصر خاص در یک نمونه معین عبارتست از نسبت

غلظت آن عنصر در آن نمونه به غلظت میانگین یا میانه همان عنصر در جامعه‌ای که نمونه مربوطه متعلق به آن است. با این تعریف عوامل موثر در شاخص غنی شدگی یک عنصر خاص، در یک نمونه معین، نه فقط تابع مقدار آن عنصر در آن نمونه می‌باشد بلکه به فراوانی همان عنصر در جامعه وابسته به آن نیز بستگی دارد. بنابراین اگر فراوانی نقطه‌ای و منطقه‌ای یک عنصر، هر دو با شبیه ثابتی افزایش و یا کاهش یابند آنچه که ثابت باقی خواهد ماند شاخص غنی شدگی است، زیرا صورت و مخرج این کسر به یک نسبت افزایش و یا کاهش می‌یابند. بدین ترتیب شاخص غنی شدگی تا حدود زیادی مستقل از فاکتور لیتلولوژی و یا مولفه سنتزتیک فراوانی یک عنصر در ناحیه منشاء رسوبات آبراهه‌ای می‌باشد. برای مثال دو رسوب آبراهه‌ای A و B را در نظر می‌گیریم که اولی حاصل فرسایش یک واحد پریدوتیتی و دومی حاصل فرسایش یک واحد دولومیتی است بدیهی است مقدار Ni در واحد پریدوتیتی و رسوب حاصل از فرسایش آن به مراتب بیشتر از مقدار همین عنصر در واحد دولومیتی و یا در رسوب حاصل از فرسایش آن است. چنانچه رسوب حاصل از فرسایش دولومیت با رسوب حاصل از فرسایش پریدوتیت از نظر فراوانی نیکل مورد مقایسه قرار گیرد، ملاحظه می‌گردد که تا چه اندازه نوع اخیر از نیکل غنی‌تر است. حال آنکه اگر مقدار نیکل یک نمونه رسوب حاصل از فرسایش پریدوتیت به میانگین آن نرم‌الایز شود و همین عمل در مورد رسوب حاصل از فرسایش دولومیت صورت گیرد و آنگاه مقادیر نرم‌الایز شده با هم مقایسه شوند، ملاحظه خواهد شد که در صورت نبود مولفه اپی ژنتیک، اختلاف دو جامعه آماری ممکن است بی اهمیت باشد. در حالی که رسوب حاصل از فرسایش پریدوتیت به دلیل وجود کانی سازی (مولفه اپی ژنتیک) دارای مقادیر بسیار بالایی از نیکل باشد، در اینصورت ممکن است مقادیر نرم‌الایز شده اختلاف فاحشی را نشان دهند. این اختلاف از نوع معنی دار تلقی شده و برخلاف اختلاف بین دو مقدار

نرمالایز نشده، باید در جستجوی عامل ایجاد کننده آن بود.

نظر به اینکه شاخص غنی شدگی می‌تواند داده‌های ژئوشیمیایی را از تغییرات لیتوژئی (مولفه سنتزتیک) در ناحیه منشاء مستقل سازد، در این پژوهه مبنای محاسبات قرار گرفته است.

برای محاسبه شاخص غنی شدگی متغیرهای تک عنصری در هر نمونه از رابطه زیر استفاده می‌شود:

$$EI = \frac{C_j}{(C_{med})_j}$$

در این رابطه EI شاخص غنی شدگی، C_j مقدار فراوانی عنصر زدرا یک نمونه معین و $(C_{med})_j$ مقدار زمینه همان عنصر در جامعه مربوط به آن نمونه می‌باشد. این مقدار زمینه می‌تواند معادل مقدار میانه و یا معادل مقدار میانگین انتخاب گردد. در پژوهه حاضر بعلت مستقل بودن مقدار میانه از تغییرات حدی، این پارامتر به میانگین ترجیح داده شده است.

۳- محاسبه احتمال رخداد هر یک از شاخص‌های غنی شدگی

از آنجاکه نقشه برداری ژئوشیمیایی از رسوبات آبراهه‌ای به دو منظور مختلف، شامل:

الف: ارزیابی پتانسیل معدنی واحدهای تکتون‌ماگمایی و نهایتاً تهیه نقشه متابولژنی این واحدها از طریق رسم نقشه توزیع عناصر.

ب: ارزیابی آنومالیهای ژئوشیمیایی امید بخش جهت انجام عملیات اکتشافی تفصیلی تر صورت می‌گیرد، برای آنکه در پژوهه حاضر هر دو منظور رعایت شده باشد، علاوه بر رسم نقشه توزیع ژئوشیمیایی عناصر در مقایسه ناحیه‌ای که در آن منظور اول ملاحظه می‌شود، اقدام به محاسبه احتمال رخداد هر یک از مقادیر آنومال نیز گردیده است تا بتوان از این طریق به ملاکی جهت دسترسی به منظور دوم دست یافت. پس از آنکه مقدار هر عنصر در هر یک از جوامع به میانه همان عنصر در همان جامعه تقسیم شد (نرمالایز کردن اثر لیتوژئیهای مختلف)، حال می‌توان با نتایج حاصل از نمونه‌های متعلق به جوامع مختلف، تشکیل جامعه کلی

داد و سپس روی این جامعه تحلیل آماری کرد. از آنجاکه نتایج حاصل از فاز قبل، شاخص غنی

شدگی هر عنصر را نشان می‌دهد، جامعه کلی بدست آمده تحت عنوان جامعه شاخص

غنی‌شدگی نامیده می‌شود که در صورت دقت کافی در نقشه زمین‌شناسی می‌تواند تا حدود

زیادی مستقل از فاکتور لیتوژئی در ناحیه منشاء رسوبات آبراهه‌ای باشد

علاوه بر محاسبه پارامترهای آماری هر یک از جوامع (شاخص غنی‌شدگی کلی هر عنصر)،

احتمال رخداد هر مقدار از یک عنصر در هر نمونه نیز محاسبه گردیده است. احتمالات حاصل

بعنوان ملاکی جهت ارزیابی مقادیر بظاهر آنومال مورد استفاده قرار گرفته است جدول ۱-۶

نتیجه عملیات فوق را نشان می‌هد در این جدول نمونه‌هایی آورده شده است که مجموع مقادیر

($1/PN$) محاسبه شده برای آنها بالای یک می‌باشد چنانچه ملاحظه می‌گردد، شدت آنومالیها با

معیاری احتمال‌پذیر محاسبه گردیده است. این شدت برابر است با عکس حاصل ضرب احتمال

رخداد یک مقدار معین از یک عنصر در جامعه نمونه‌های مورد بررسی در برگه $1:1000$ هن.

بدین ترتیب برای طلاتنها هفت آنومالی واقعی، مس شش آنومالی، سرب هشت آنومالی، روی

دو آنومالی، نقره دو آنومالی، ارسنیک دو آنومالی، انتیموان بدون آنومالی، بیسموت یک

آنومالی، قلع سه آنومالی، کبات چهار آنومالی، نیکل هشت آنومالی، کرم سه آنومالی، و اناریم ده

آنومالی، اسکاندیم شش آنومالی، باریم دو آنومالی، تنگستن دو آنومالی، جیوه سه آنومالی،

استرنیسیوم دو آنومالی، ایتریوم پنج آنومالی و کادمیم چهار آنومالی حاصل گردیده است.

در نتایج حاصله برای آنومالیها واقعی برگه $1:1000$ هن که قابل توجه وجود دارد:

۱- عدم وجود آنومالی برای عنصر Sb

۲- وجود آنومالیها نسبتاً قابل توجه عناصر Cr , Y , Ni , V , Sc و

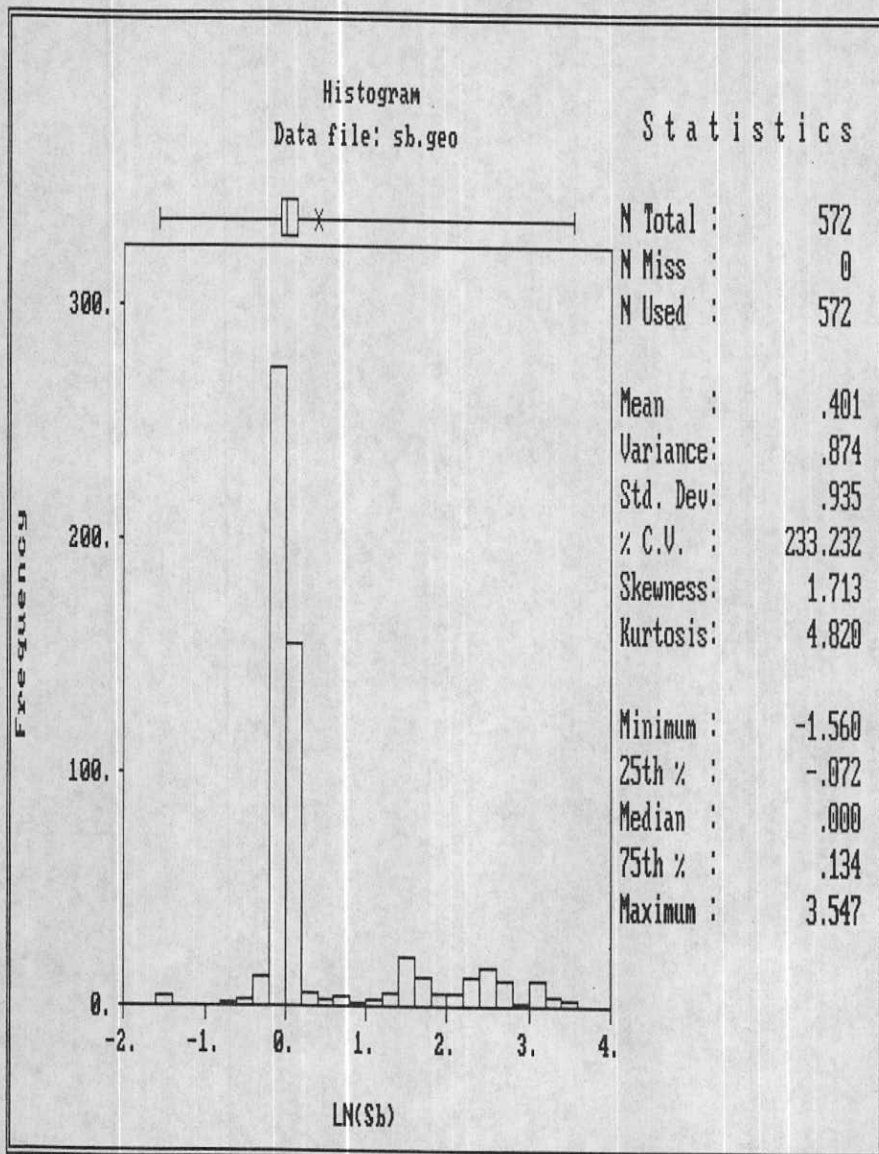
در مورد اول، بررسی شکل هیستوگرام فراوانی عنصر Sb (شکل الف - ۴) نشان می‌دهد که

آنتیموان دارای دو جامعه کاملاً مشخص است. لذاروش PN که بافرض یک جامعه نرمال مقادیر

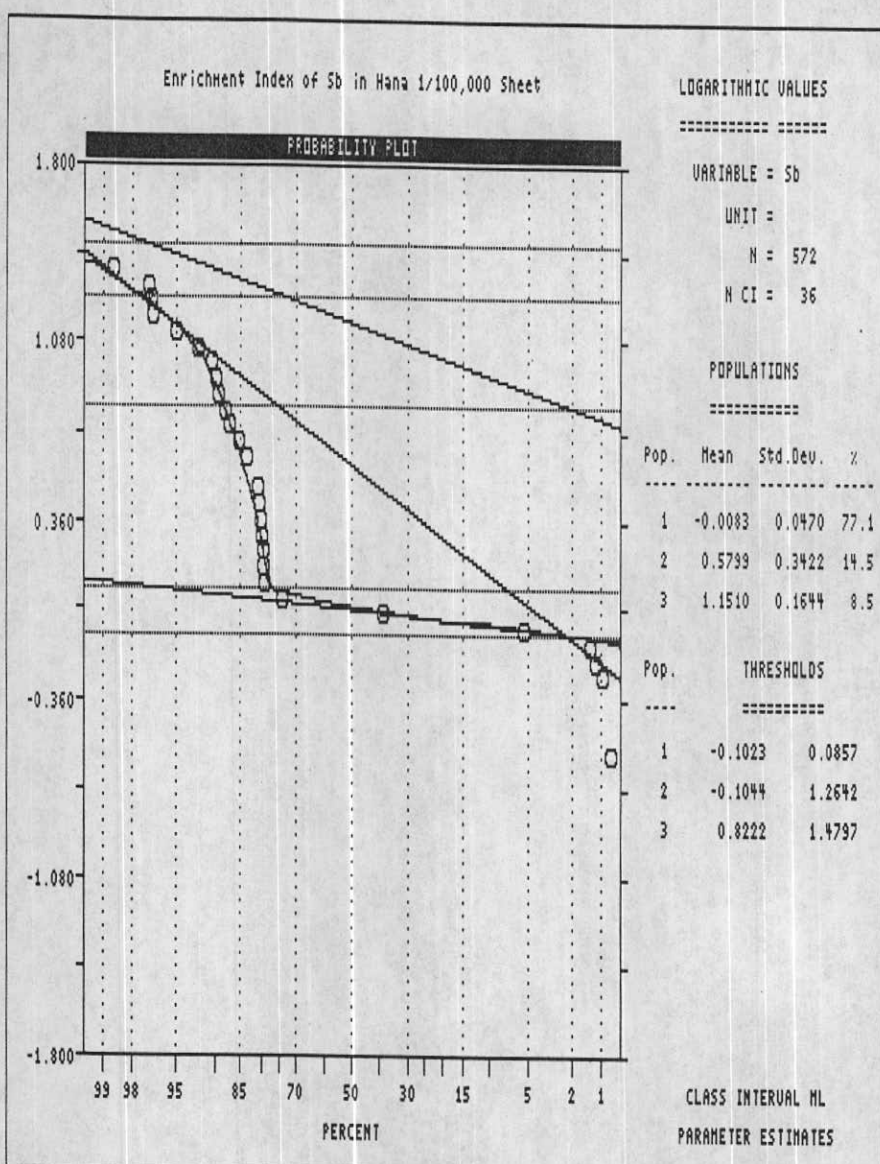
احتمال را پیدا می‌کند، نمی‌تواند مقادیر آنومال Sb را مشخص سازد لذا بایستی براساس جدایش

Table 6-1 : Promising Sampling Points Based on the Sum of Probabilistic Intensity of Anomalies.

Sheet	Sample No.	Zn	Pb	Ag	Cr	Ni	Bi	Sc	Cu	As	Sb	Cd	Co	Sn	V	Sr	Hg	W	Au(ppb)	SUM/PN		
HC	211	17.4825	0.0783	0.0051	0.7121	0.5769	0.0017	0.0018	17.4825	0.0484	0.3639	17.4825	17.4825	17.4825	0.0018	0.0035	17.4825	0.4256	0.0034	124.6020		
HG	654	0.0040	0.0045	0.0019	17.4825	17.4825	0.0018	17.4825	17.4825	0.0019	0.0241	0.0251	0.0028	0.0146	0.0018	17.4825	0.0416	0.0028	105.1202			
HC	56	1.1559	0.0019	0.0019	0.0055	0.0151	0.0018	0.0018	0.6912	0.0020	0.0044	17.4825	17.4825	0.0017	17.4825	0.0019	17.4825	0.0249	0.0034	89.3279		
HC	138	0.4933	0.0018	0.0019	0.0141	0.0536	0.0018	0.0021	0.9970	0.0033	0.0042	17.4825	17.4825	0.0017	17.4825	0.0020	0.0022	17.4825	0.1871	0.0031	71.7571	
HP	415	0.1450	0.0017	0.0022	0.0167	0.0790	0.0018	0.0024	0.1518	0.0042	0.1134	17.4825	17.4825	0.0017	17.4825	0.0021	0.0023	0.0941	0.0869	17.4825	0.0029	70.6484
HC	309	0.0017	0.0018	17.4825	0.0018	0.0017	0.0063	0.0018	0.0018	0.0017	0.0020	0.0017	17.4825	17.4825	0.0017	17.4825	0.0018	0.0025	0.0027	0.0018	69.9647	
HC	708	0.0041	0.0025	0.0025	17.4825	17.4825	0.0022	1.5246	0.0128	0.0031	0.0026	0.0040	0.0037	0.0026	0.0039	0.0024	17.4825	0.0035	0.0072	0.0026	0.0029	54.0348
HC	544	0.0189	0.0049	0.0019	0.4355	17.4825	0.0026	0.5206	17.4825	0.0019	0.0029	0.0392	0.0415	0.0019	0.0367	0.0018	17.4825	0.1500	0.0124	0.0019	0.0032	53.7253
HC	689	0.0020	0.0168	0.0121	17.4825	0.6142	0.0019	17.4825	0.0043	0.0079	0.0018	0.0019	0.0018	0.0019	0.0018	0.0178	0.0028	0.0034	0.0085	53.1599		
HC	212	17.4825	0.0037	0.0032	0.0445	0.0312	0.0018	0.0049	0.1931	0.0845	0.3353	0.6103	0.3558	17.4825	17.4825	0.0020	0.0034	0.0186	0.0850	0.3610		
HG	79	0.0176	0.0042	0.0021	1.1114	17.4825	0.0070	1.2288	0.3347	0.0021	0.0029	0.0125	0.0157	0.0032	0.0118	0.0020	17.4825	0.0230	0.0868	0.0085	0.0023	37.8416
HC	532	0.2522	0.0020	0.0018	17.4825	0.0030	0.0066	0.1051	0.0035	0.5461	0.0601	0.0118	0.0170	0.0610	0.0171	0.0118	0.0191	0.0131	0.0027	36.6294		
HG	63	0.0020	0.0025	0.0020	17.4825	0.0019	0.1497	17.4825	0.0020	0.0028	0.0166	0.0452	0.0021	0.0136	0.0019	0.0819	0.0737	0.0116	0.0090	35.5874		
HG	11	0.0024	0.0018	0.0093	0.0798	0.0225	17.4825	17.4825	0.0024	0.0432	0.0018	0.0017	0.0236	0.0017	0.0017	0.0043	0.0023	0.0019	0.0054	0.0917	35.3649	
HC	243	0.0277	0.0018	0.0042	0.2852	0.2124	0.0018	0.0675	17.4825	0.0047	0.0029	0.7977	0.1331	0.0017	1.1856	0.0061	0.0363	0.0879	0.0297	0.0063	0.0074	20.3125
HC	644	0.0017	0.0019	17.4825	0.0043	0.0095	0.0032	0.0018	0.0104	0.7696	0.0893	0.0650	0.0173	0.0017	0.1116	1.4382	0.0018	0.0887	0.0095	0.0116	0.0070	20.1267
HC	545	0.0478	0.0030	0.0018	0.0605	17.4825	0.0027	0.0585	0.2371	0.0018	0.0032	0.1762	0.1313	0.0018	0.1715	0.0018	0.7935	0.1717	0.0220	0.0080	0.0081	19.3845
HC	696	0.0058	0.0210	0.0022	0.4350	0.7186	0.0032	0.6517	0.0110	0.0030	0.0025	0.0031	0.0049	0.0039	0.0028	0.0025	17.4825	0.0123	0.0034	0.0022	0.0045	19.3765
HG	12	0.0017	0.0028	0.0107	0.1806	0.0144	0.0018	1.1250	0.0069	0.0234	0.0020	0.0090	0.0018	0.0098	0.2312	0.0018	0.0025	0.0019	17.4825	19.1135		
HN	620	0.0034	0.0042	0.0128	0.1890	0.0717	0.0027	0.9990	0.0047	0.0097	0.0025	0.0024	0.0028	0.0050	0.0024	0.0138	17.4825	0.0035	0.0023	0.0020	0.0018	18.8182
HG	28	0.0026	17.4825	0.0033	0.0053	0.0044	0.0023	0.0041	0.0111	0.0034	0.0026	0.0040	0.0078	0.0032	0.0038	0.0035	0.0038	0.0057	0.0037	0.0026	0.7064	18.2862
HG	18	0.0022	17.4825	0.0031	0.0038	0.0044	0.0025	0.0038	0.0047	0.0035	0.0057	0.0037	0.0037	0.0034	0.0025	17.4825	0.0123	0.0034	0.0027	0.0045	18.1051	
HC	527	0.0080	0.0139	0.0028	0.0309	0.0240	0.0027	0.1734	0.1838	0.0028	0.1083	0.0073	0.0067	0.0024	17.4825	0.0166	0.0202	0.0069	0.0024	18.0141		
HC	526	0.0109	0.0111	0.0029	0.0279	0.0137	0.0039	0.1937	0.0938	0.0029	0.1222	0.0054	0.0059	0.0029	0.0028	17.4825	0.0141	0.0070	0.0024	0.0024	18.0141	
HC	643	0.0120	0.0044	0.0025	0.0029	0.0031	0.0099	0.0028	0.0028	0.0023	0.0346	0.0074	0.0054	0.0044	0.0062	0.0029	0.0045	0.3929	17.4825	0.0028	17.9891	
HC	257	0.0033	17.4825	0.0031	0.0036	0.0032	0.0034	0.0028	0.0050	0.2612	0.0029	0.0035	0.0254	0.0024	0.0030	0.0032	0.0032	0.0032	0.0408	0.0034	0.0047	17.8644
HC	258	0.0042	17.4825	0.0034	0.0039	0.0037	0.0034	0.0041	0.0044	0.0029	0.2437	0.0053	0.0047	0.0032	0.0040	0.0021	0.0046	0.0047	0.0045	17.7966		
HC	637	0.0283	0.0063	0.0064	0.0027	0.0067	0.0017	0.0035	0.0037	0.0385	0.0041	0.0035	0.0033	0.0039	0.1141	0.0321	0.0038	0.0292	0.0021	17.7955		
HG	65	0.0065	0.0037	0.0021	0.0383	0.0185	0.0022	0.0133	17.4825	0.0020	0.0030	0.0237	0.0329	0.0020	0.0205	0.0019	0.0066	0.0156	0.0019	0.0073	17.6917	
HC	331	0.0086	0.0168	0.0064	0.0062	0.0083	0.0033	0.0056	0.0065	0.0065	0.0031	0.0028	0.0048	0.0041	0.0024	0.0052	0.0057	0.0067	0.0031	0.0022	0.0019	17.4825
HC	638	0.0043	0.0047	0.0021	0.0028	0.0031	0.0018	0.0022	17.4825	0.0185	0.0042	0.0036	0.0023	0.0043	0.0028	0.0018	0.0024	0.0040	0.0050	0.0022	17.5785	
HC	235	0.0049	0.0039	0.0331	0.0027	0.0018	0.0040	0.0027	0.0019	0.0025	0.0030	0.0120	0.0027	0.0029	0.0075	0.0120	0.0029	0.0027	0.0027	17.4825	17.5741	
HG	30	0.0074	17.4825	0.0027	0.0023	0.0022	0.0068	0.0019	0.0019	0.0026	0.0027	0.0027	0.0027	0.0026	0.0040	0.0027	0.0027	0.0027	0.0027	17.5585		
HG	1	0.0039	17.4825	0.0039	0.0031	0.0031	0.0032	0.0027	0.0027	0.0041	0.0026	0.0026	0.0026	0.0026	0.0027	0.0034	0.0018	0.0035	0.0185	17.5585		
HG	35	0.0034	0.0085	0.0031	0.0044	0.0038	0.0031	0.0036	0.0078	0.0031	0.0027	0.0042	0.0042	0.0036	0.0035	0.0034	0.0025	0.0029	17.4825	17.5585		
HG	3	0.0050	0.0028	0.0044	0.0041	0.0035	0.0065	0.0042	0.0045	0.0051	0.0023	0.0024	0.0024	0.0046	0.0043	0.0027	0.0047	0.0042	17.4825	17.5585		
HC	479	0.0047	0.0046	0.0021	0.5593	0.8478	0.0021	0.4357	0.3943	0.0021	0.0228	0.01										



شكل (الف - ٦)



شكل (ب - ٦)

جوامع آماری (Deconvolution) مقادیر آنومال واقعی Sb را مشخص کرد. که نتایج این محاسبات

در شکل (ب-۶) ارائه شده است.

در شکل فوق سه جامعه قابل تشخیص می‌باشد. و مقدار حد آستانه‌ای بالای جامعه دوم به

عنوان حد آنومال انتخاب گردیده است که معادل ۱۸/۵ ppb می‌باشد.

در مورد آنومالیهای Sc, V, Ni, Cr و Y نیز که یک مجموعه پاراژنزی، معرف سنگهای بازیک و اولترابازیک را مشخص می‌کنند. ذکر این نکته لازم است، که با توجه به شرایط زمین‌شناسی موجود در برگه حنا احتمال وجود پتانسیل کانی‌سازی عناصر فوق بسیار کم است و براساس مشاهدات صحرایی به عمل آمده در فاز کنترل آنومالی‌ها نیز مشخص گردید که یک سری سنگهای بازیک و دایکهای قلیایی در منطقه گسترش داشته‌اند که روی نقشه زمین‌شناسی منطقه گزارش نشده است. و این مسئله باعث ایجاد خطا در حذف اثر سنگ بالادست این نمونه‌ها شده است. و در واقع آنومالی عناصر فوق در رابطه با عدم حذف صحیح اثر سنگ بالادست بوده و عمدتاً کاذب می‌باشند.

۴- معرفی متغیرهای تک عنصری و چند عنصری و رسم نقشه‌ها

متغیرهای تک عنصری و چند عنصری که بتواند پتانسیل‌های کانساری را در این منطقه به طور مناسبتری منعکس نمایند. از طریق بکارگیری روش آنالیز فاکتوری و رسم موقعیت متغیرهای در مختصات فاکتوری معرفی می‌شوند. در چنین مختصاتی، متغیرهایی که بار فاکتورهای آنها نزدیک به صفر می‌باشد بی‌اهمیت بوده و هر چه فاصله‌ آنها از مبدا مختصات $F_i = 0$ و $F_j = 0$ (بیشتر باشد، پتانسیل عنصر از نظر کانی‌سازی می‌تواند با اهمیت تلقی شود). البته این امر پس از خنثی سازی مولفه‌های سنتزنتیک (بطور عام) از طریق اثر دادن سنگ بالا دست، صادق است. در اینصورت چنانچه مجموعه‌ای از متغیرها در امتداد معینی از مبدا دور شده باشند، می‌توانند بعنوان متغیرهایی که ارتباط پاراژنزی با یکدیگر دارند، بحساب آیند.

بنابراین با استفاده از این روش می‌توان با تغییر محورهای مختصات (فاکتورهای مختلف)

موقعیت عناصر را واضحتر مورد مطالعه قرار داد. در مطالعه حاضر، یک مدل پنج فاکتوری

می‌توانسته است بیشتر از ۹۶٪ از تغییر پذیری را توجیه کند. اشکال ۱۰-۶ و ضعیت

متغیرهای مختلف را در مختصات‌های مختلف معرفی می‌کند. مطالعه این اشکال معرفی آنستکه:

۱- فاکتور اول بیشترین جدایش را برای عنصر Au فراهم می‌کند و این فاکتور معرف پتانسیل

کانی‌سازی طلا است.

۲- فاکتور دوم بیشترین جدایش را برای عناصر Au و Sb فراهم می‌کند و معرف پتانسیل

کانی‌سازی مرتبط با طلا و پارازنهای مربوطه است.

۳- فاکتور سوم بیشترین جدایش را برای دو قطب ($\text{Ag}, \text{As}, \text{Ba}$) و ($\text{Ni}, \text{Cr}, \text{V}$) فراهم می‌کند،

مجموعه $\text{Ag} + \text{As} + \text{Ba}$ می‌تواند معرف پتانسیل کانی‌سازی‌های اپیترمال و سایر

کانی‌سازی‌هایی باشد که این عناصر در آنها به عنوان ردیاب عمل می‌کنند. مجموعه

$\text{Cr} + \text{Ni} + \text{V}$ نیز در این فاکتور معرف مناطقی است که به احتمال زیاد اثر سنگ به درستی

خنثی نشده است.

۴- فاکتورهای چهارم و پنجم کمترین امتیازات فاکتوری را دارا می‌باشند. و در امتداد این دو

فاکتور عناصر W , Co , Hg و V بیشترین جدایش را نسبت به سایر فاکتورها از خود نشان

می‌دهند.

در اشکال (۱۱) الی (۱۳) نیز تغییرات توأم متغیرها و نمونه‌ها ارائه شده است. در این

اشکال بیشترین جدایش نمونه‌ها که می‌تواند معرف پتانسیل کانی‌سازی در منطقه باشد، فقط در

مورد عنصر طلا می‌باشد و برای سایر عناصر این جدایش در مورد نمونه‌ها قابل تشخیص

نیست.

برای رفع مشکل تعیین نمونه‌های آنومال در ارتباط با تک تک عناصر در روش فاکتوری اقدام

به تعیین فاصله اقلیدسی تک تک نمونه‌ها نسبت به هر یک از عناصر، بر حسب امتیازات فاکتوری

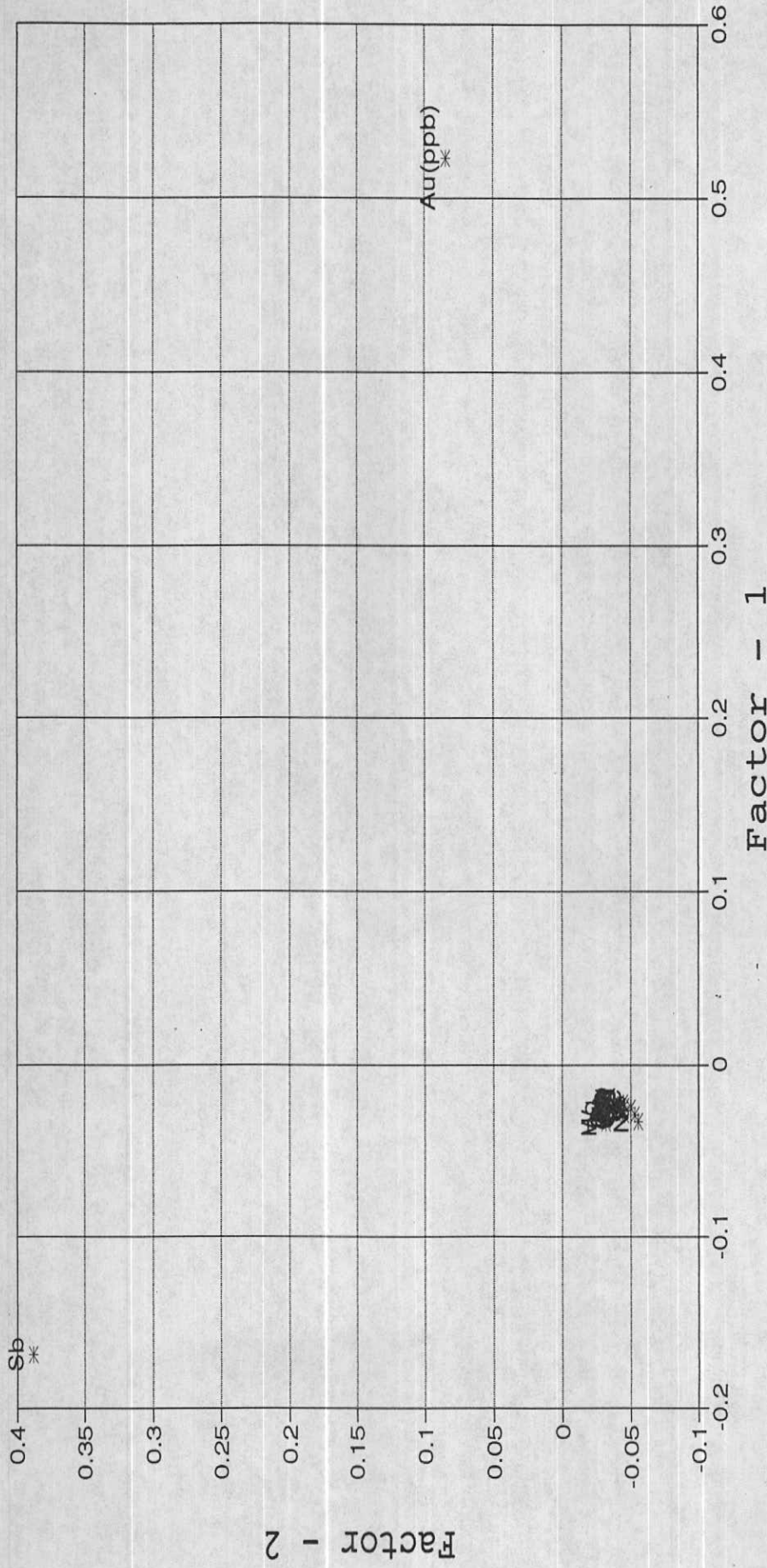


Fig. 6-1: Graphical Representation of Factor Analysis for Geochemical variables

in Hana 1:100,000 Sheet.

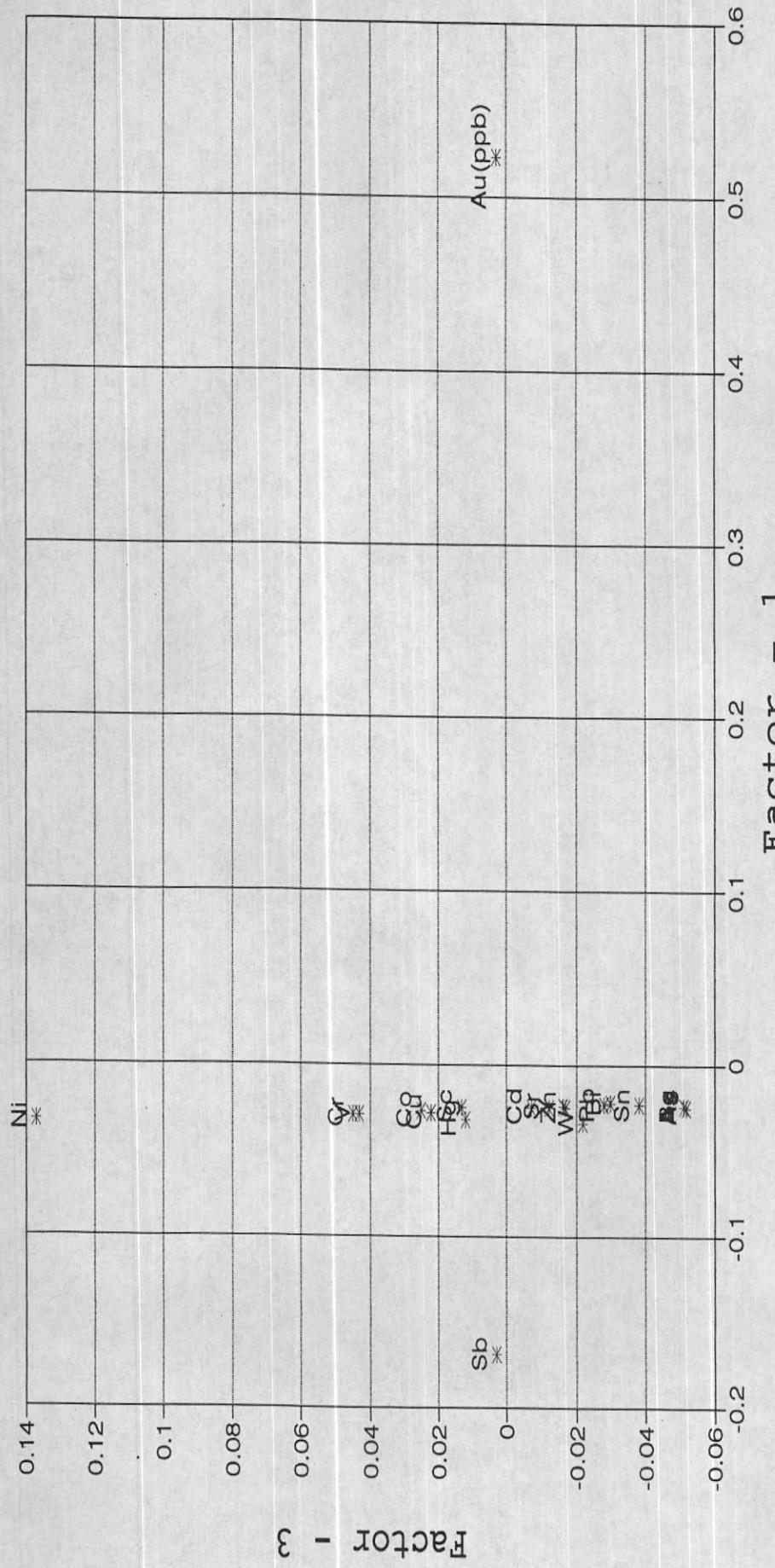


Fig. 6-2: Graphical Representation of Factor Analysis for Geochemical variables in Hana 1:100,000 Sheet.

in Hana 1:100,000 Sheet.

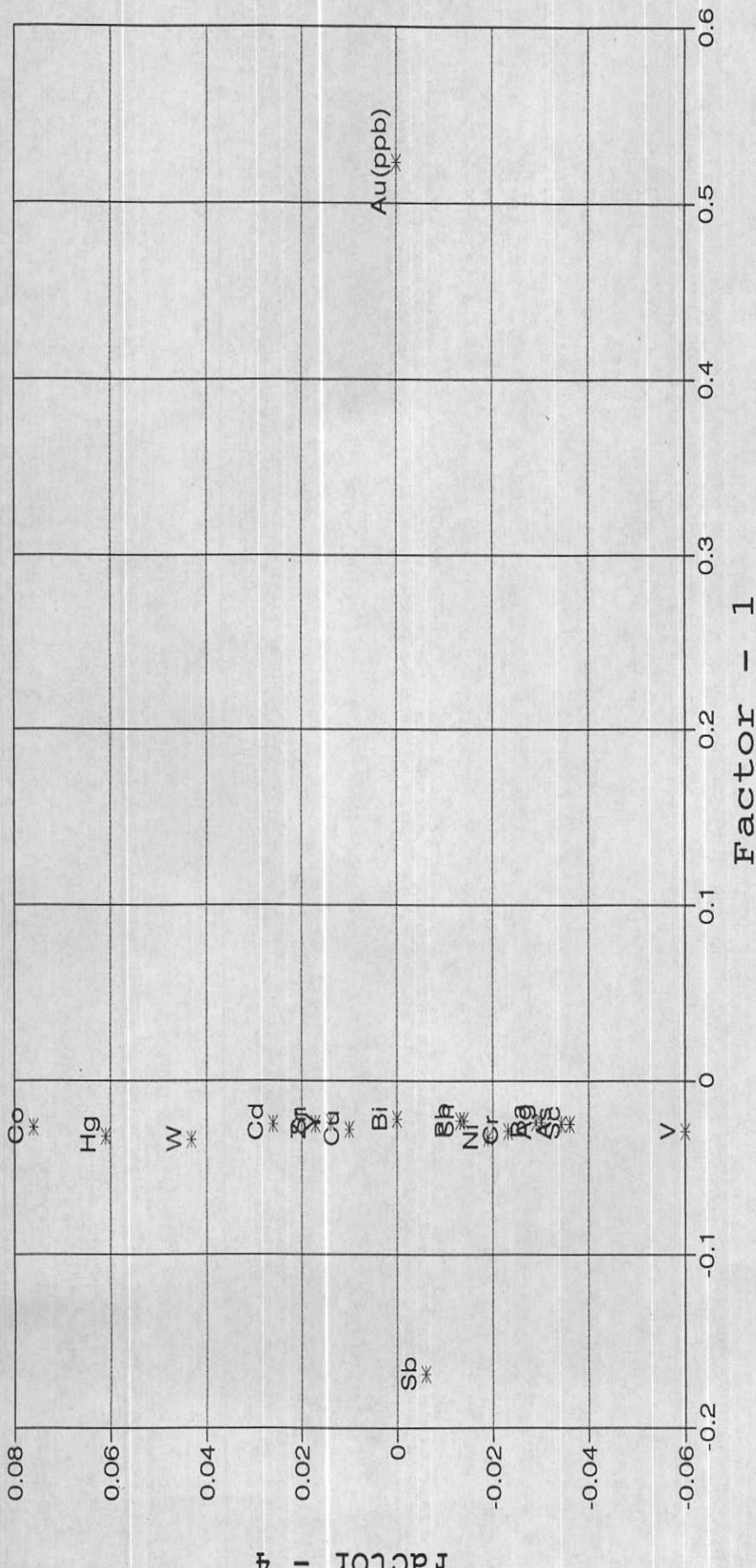


Fig. 6-3: Graphical Representation of Factor Analysis for Geochemical variables in Hana 1:100,000 Sheet.

in Hana 1:100,000 Sheet.

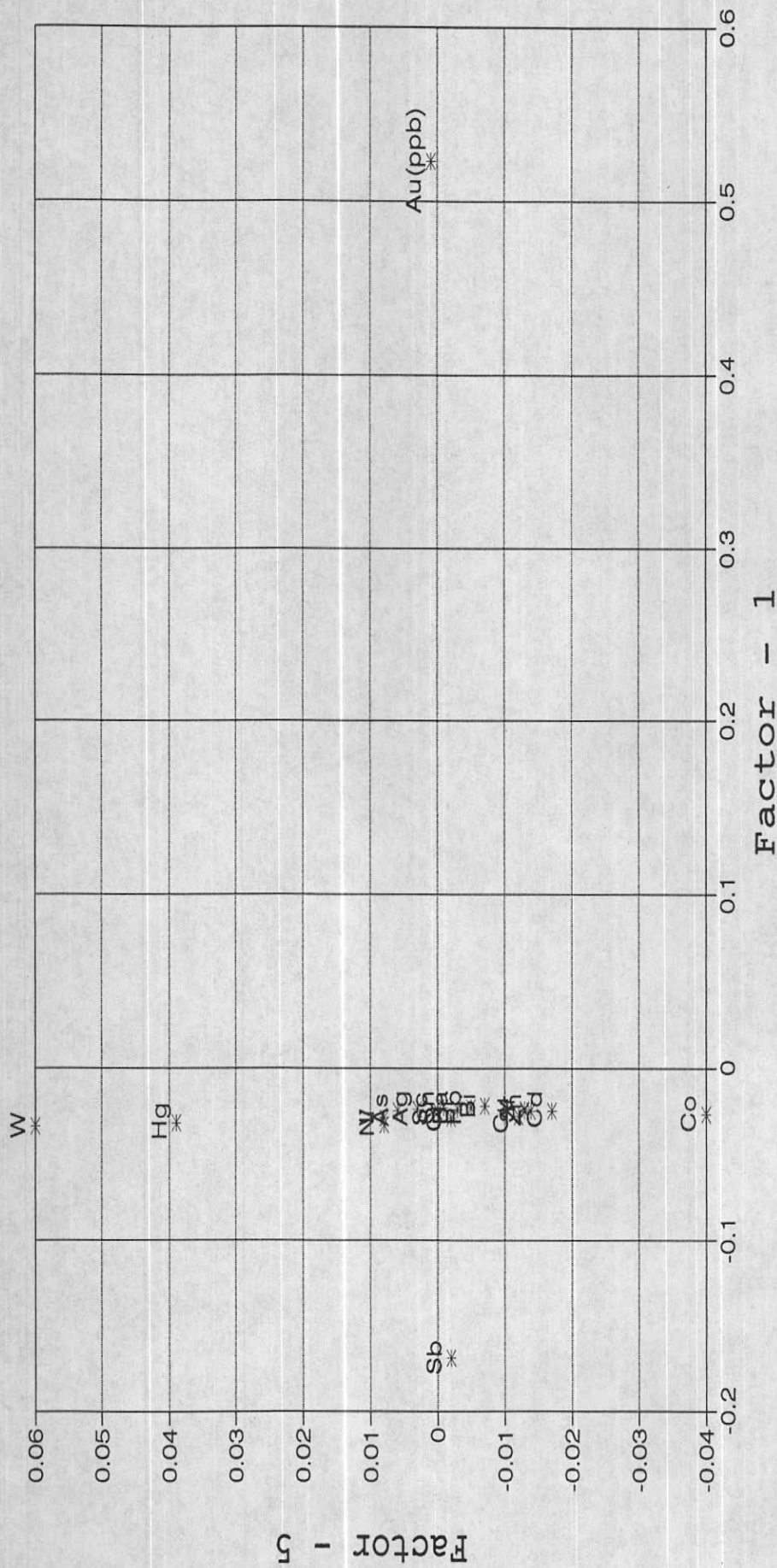


Fig. 6-4: Graphical Representation of Factor Analysis for Geochemical variables

in Hana 1:100,000 Sheet.

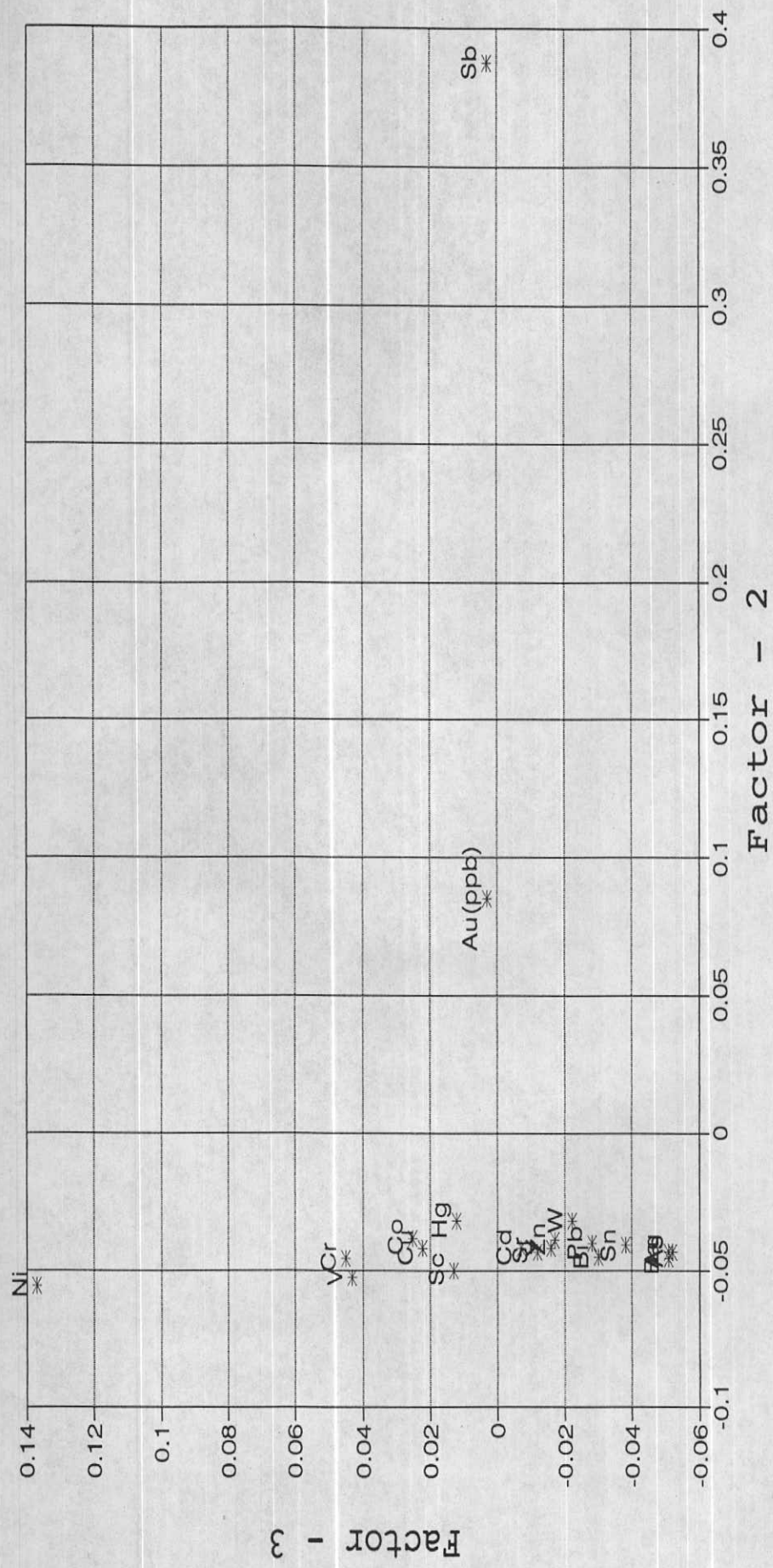


Fig. 6-5: Graphical Representation of Factor Analysis for Geochemical Variables

in Hana 1:100,000 sheet.

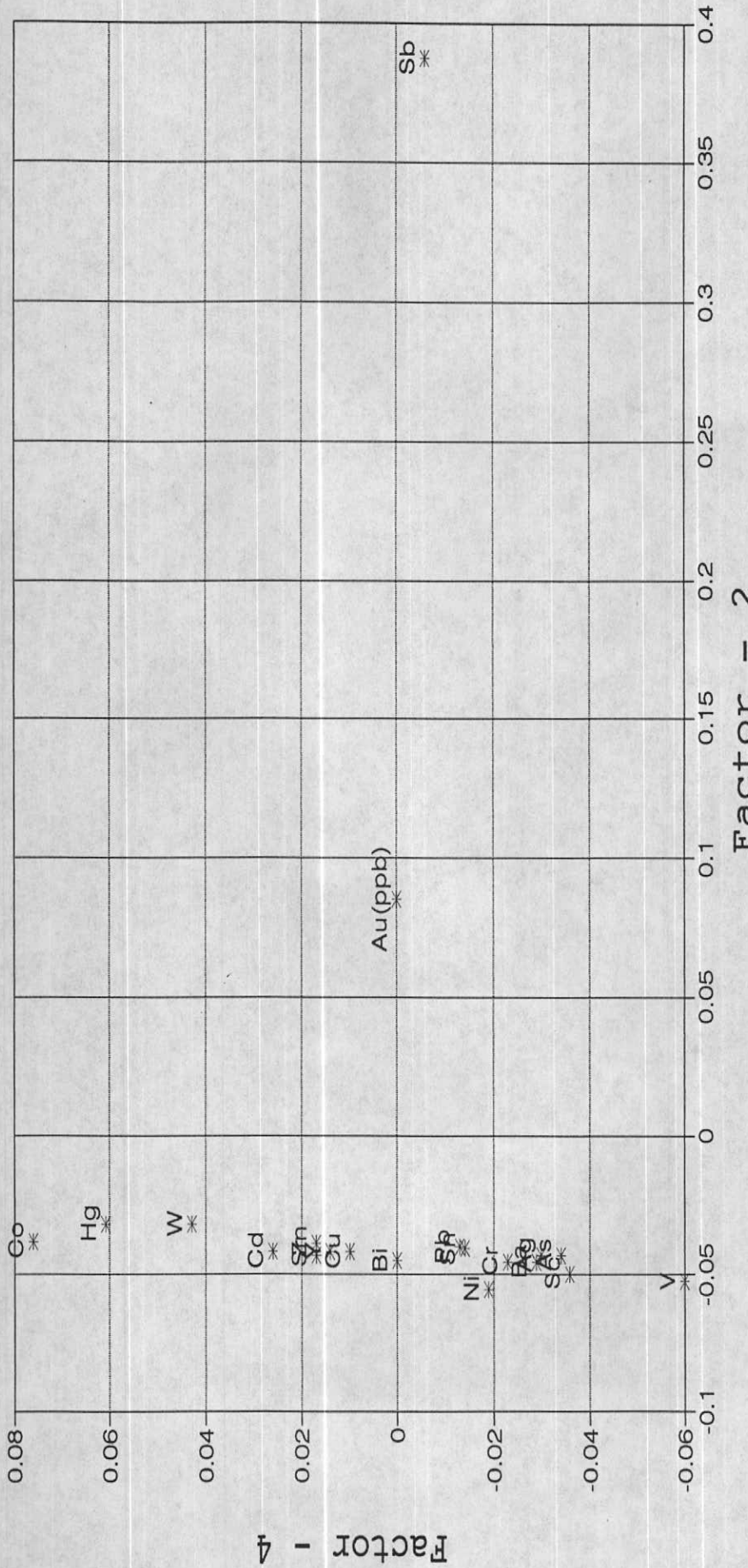


Fig. 6-6: Graphical Representation of Factor Analysis for Geochemical variables

in Hana 1:100,000 sheet.

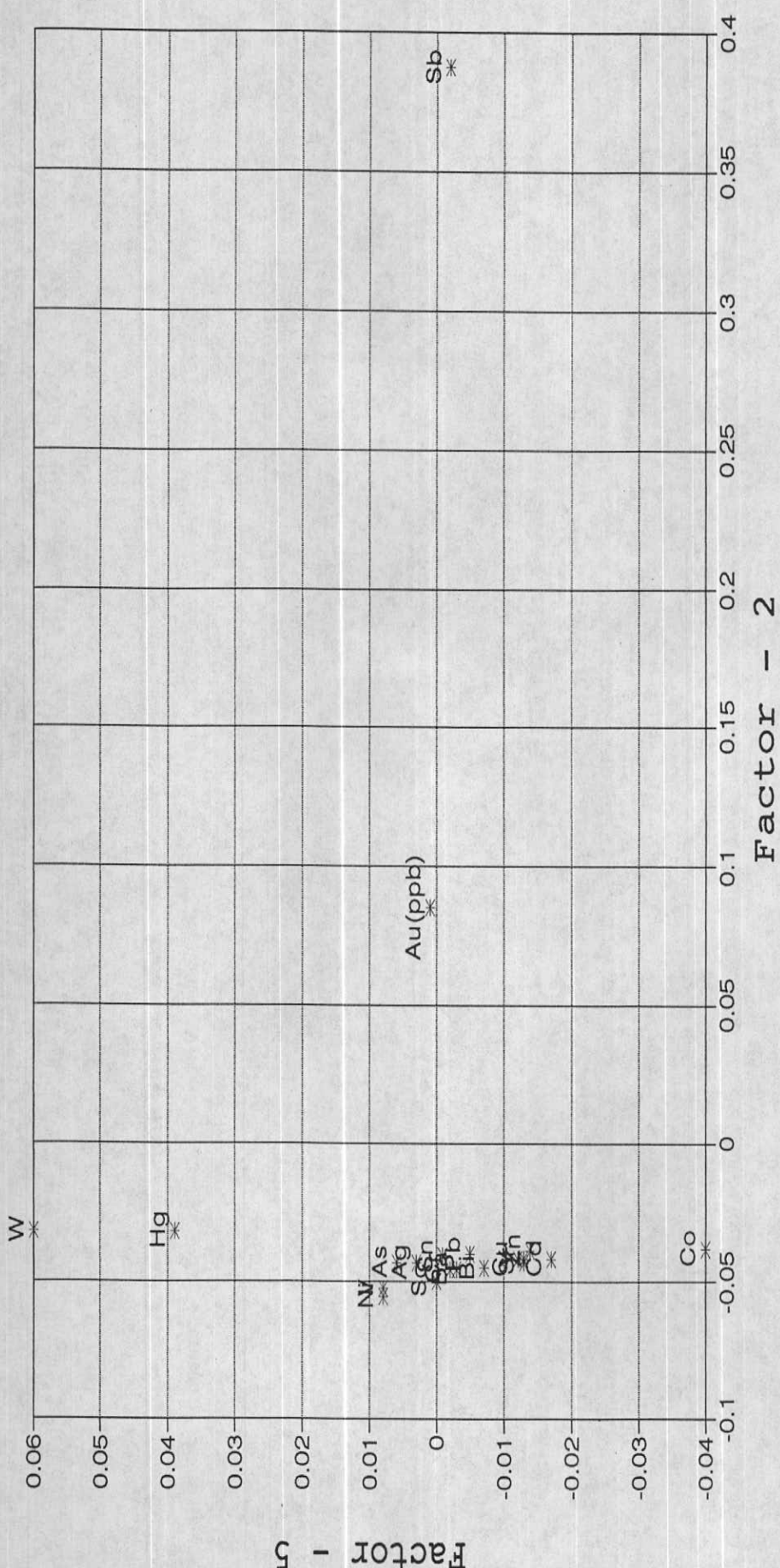


Fig. 6-7: Graphical Representation of Factor Analysis for Geochemical Variables

in Hana 1:100,000 Sheet.

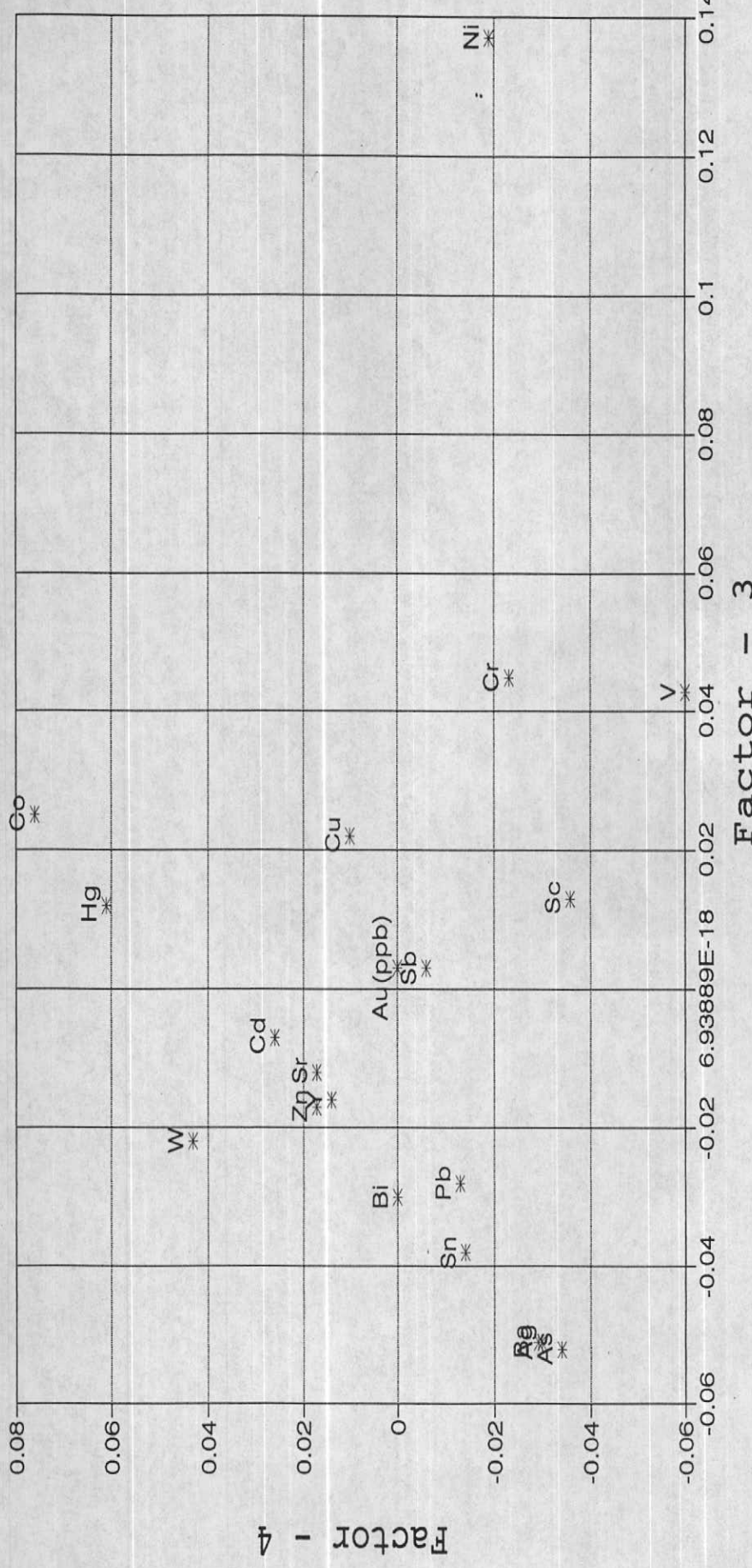


Fig. 6-8: Graphical Representation of Factor Analysis for Geochemical variables in Hana 1:100,000 Sheet.

Factor - 3

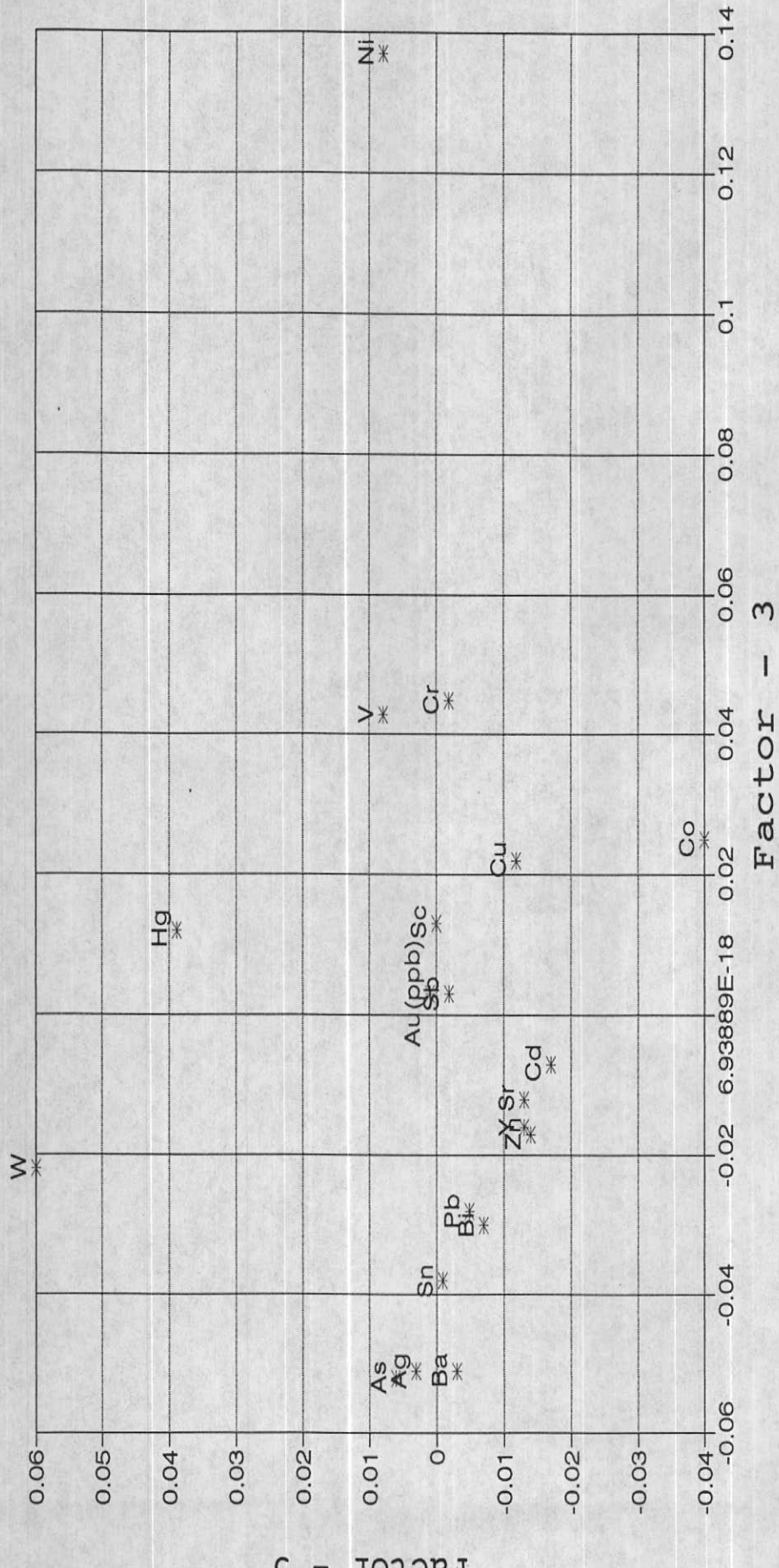


Fig. 6-9: Graphical Representation of Factor Analysis for Geochemical Variables in Hana 1:100,000 sheet.

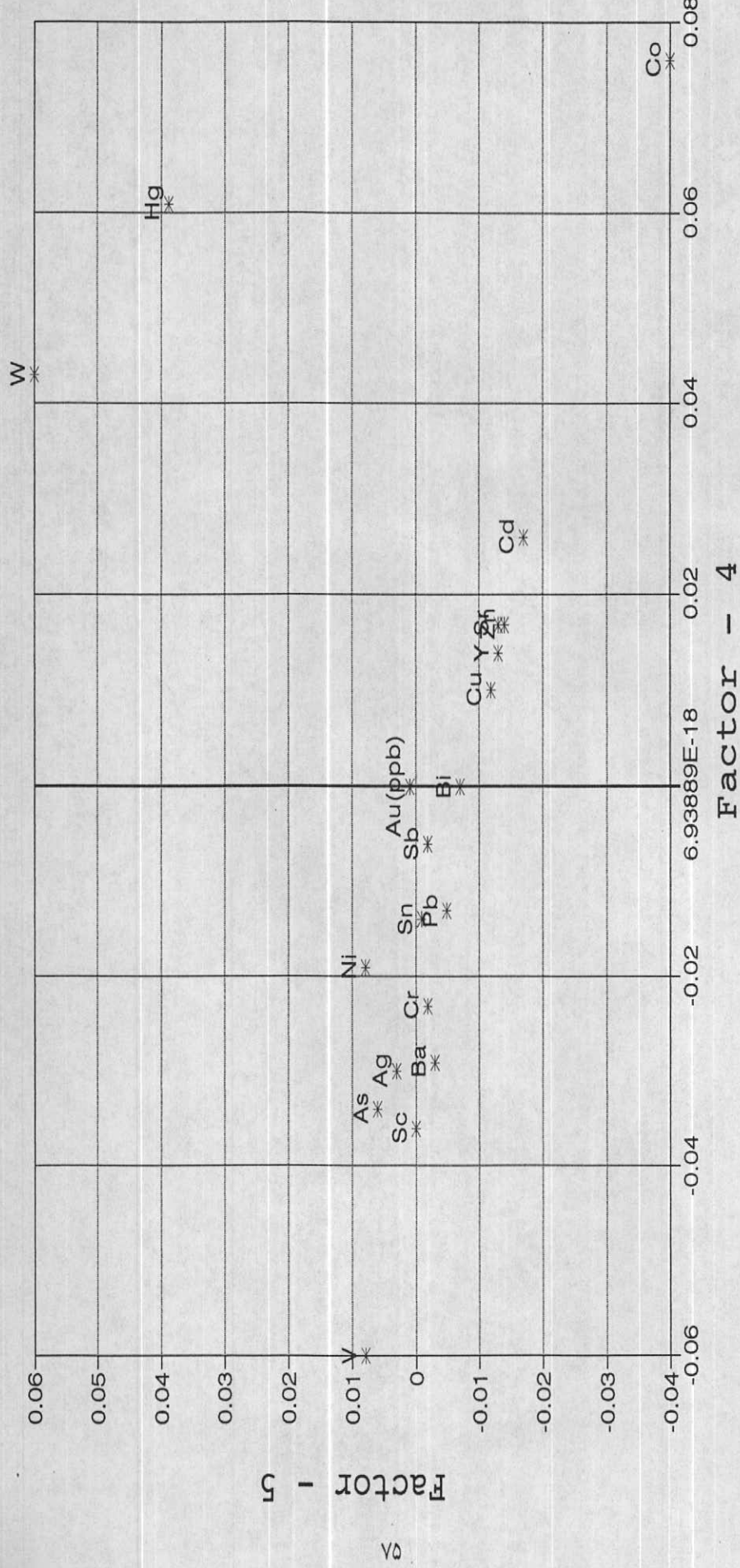


Fig. 6-10: Graphical Representation of Factor Analysis for Geochemical Variables

in Hana 1:100,000 sheet.

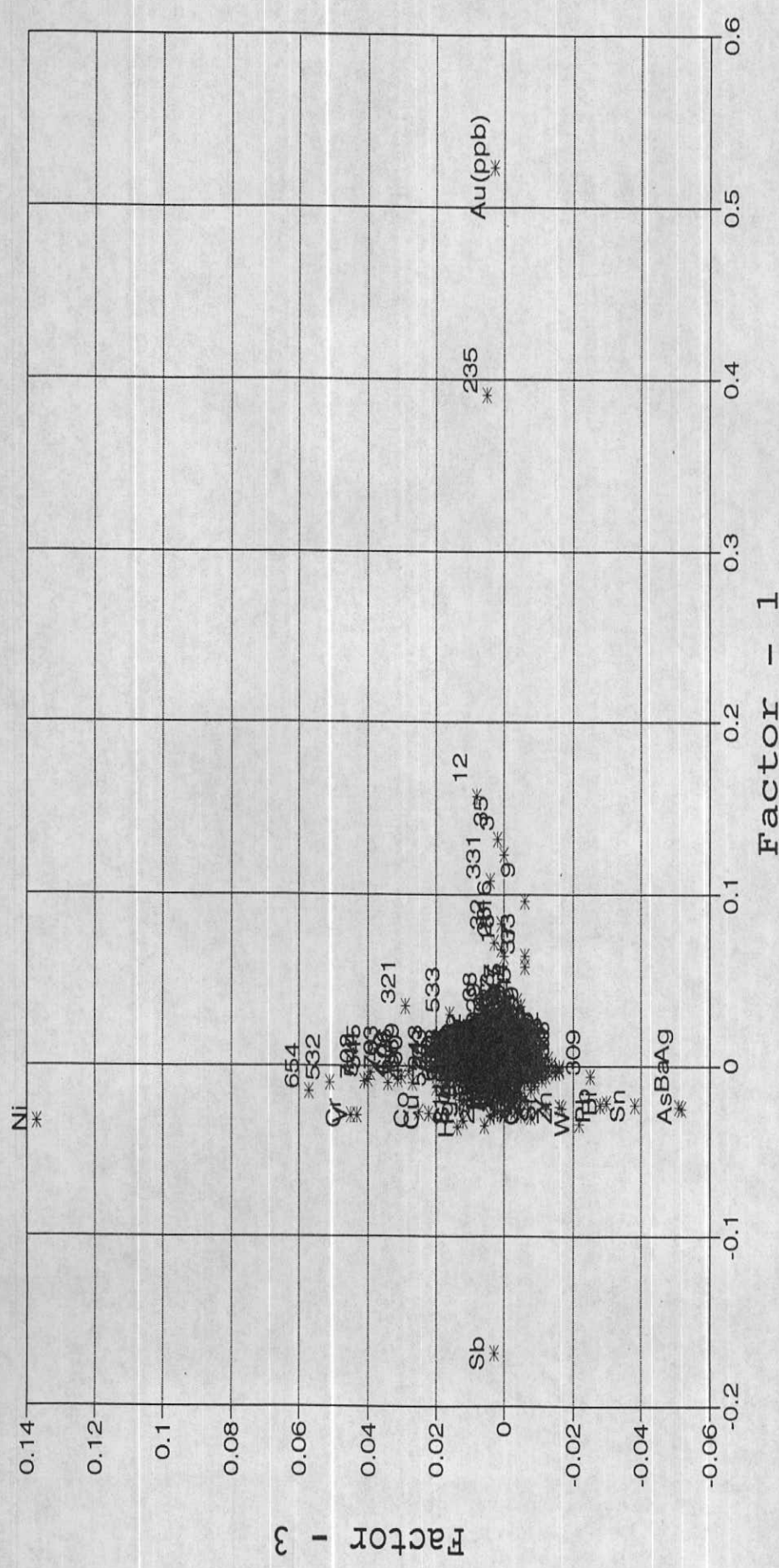


Fig. 6-11: Graphical Representation of the Results of Correspondence Analysis for Geochimical variables And Associated Samples in Hana 1:100,000 Sheet.

FACTOR - 1

34

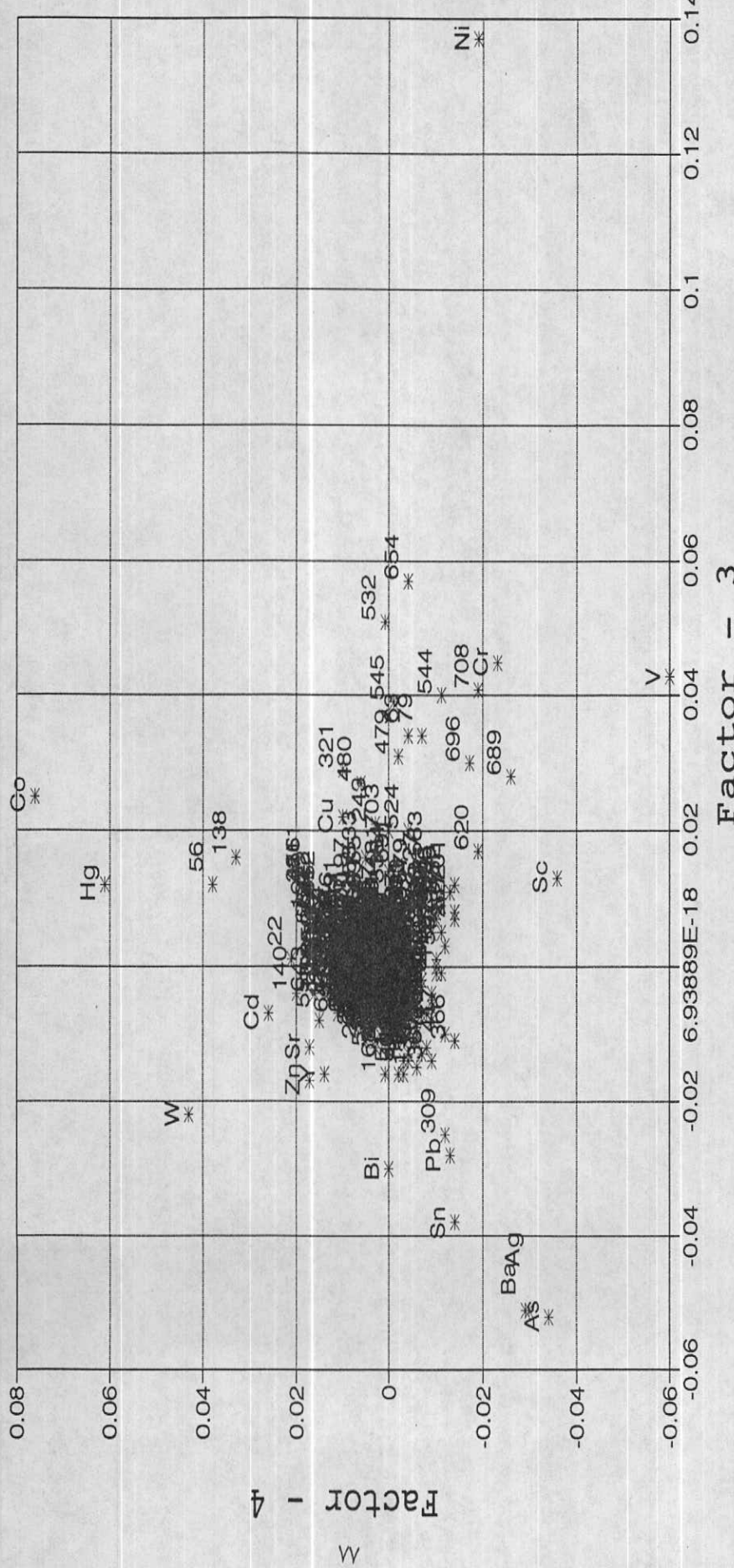


Fig. 6-12: Graphical Representation of the Results of Correspondence Analysis for Geochanical Variables And Associated Samples in Hana 1:100,000 Sheet.

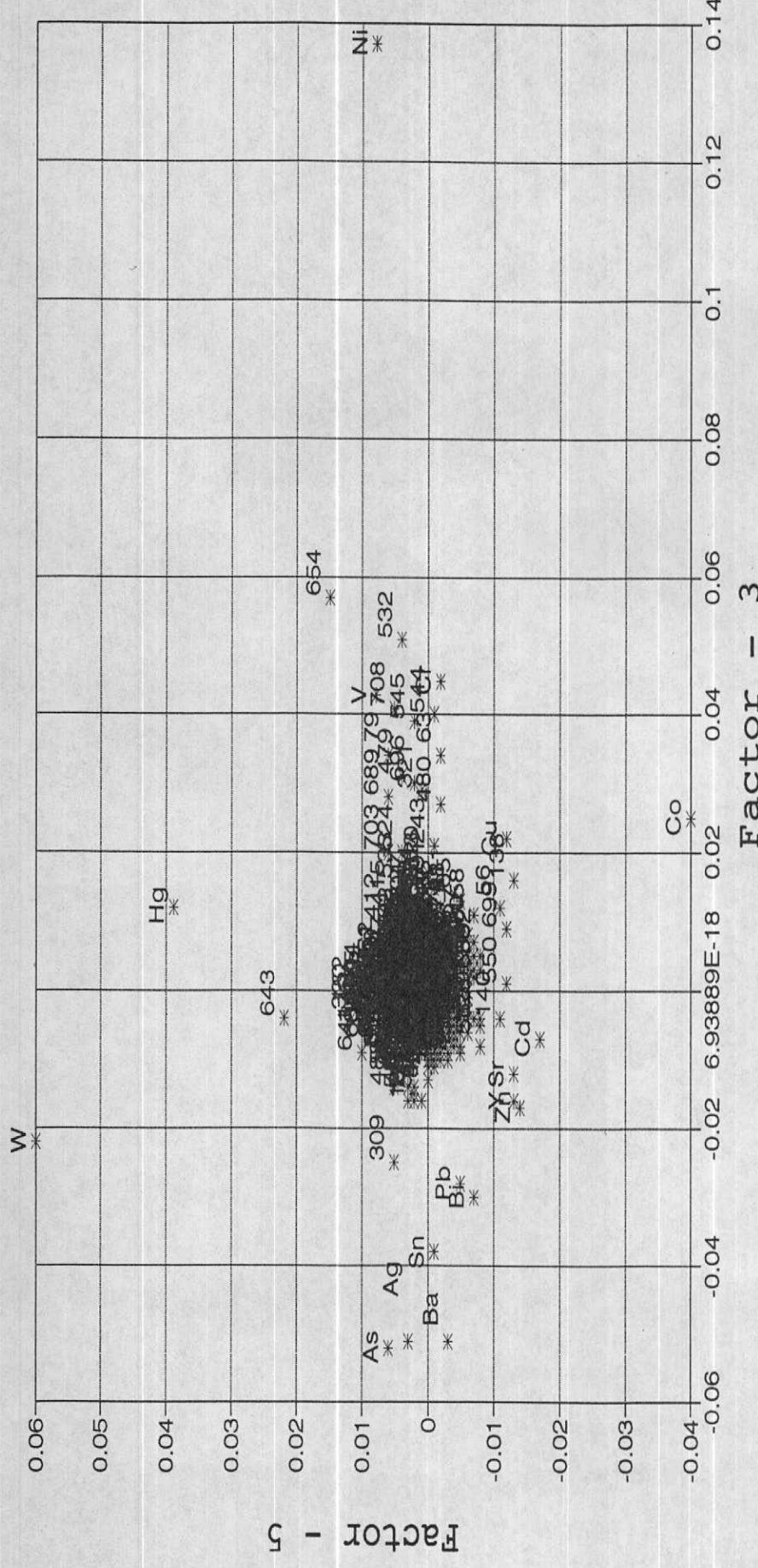
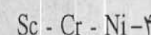
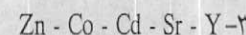
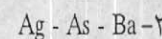
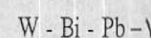


Fig. 6-13: Graphical Representation of the Results of Correspondence Analysis for Geographical Variables And Associated Samples in Hana 1:100,000 Sheet.

می‌نماییم. سپس ۱۵ نمونه اول، که نزدیکترین فاصله را نسبت به هر متغیر دارند به عنوان پریپتانسیل‌ترین نمونه برای آن متغیر در نظر گرفته شده است. نتایج حاصل در جدول (۶-۲) ارائه شده است. در این جدول برای مقایسه پتانسیل نمونه‌ها با سایر روش‌های بکار رفته مقادیر متناظر E_i و مجموع امتیازات (PN) به همراه نوع آنومالی و پاراژنزهای مشاهده شده در نقشه‌های تک متغیری ترسیم شده، آورده شده است. همانطور که در این جدول مشاهده می‌گردد، روش PN در مقایسه با روش آنالیز فاکتوری، نمونه‌های آنومال کمتری را معرفی می‌کند.

برای معرفی متغیرهای مرکب که بتواند تغییرات توأم چندین عنصر را بخوبی نشان دهد و بتواند معرف پتانسیل‌های کانی‌سازی احتمالی و یا بعنوان ردیاب پتانسیل‌های کانی‌سازی بکار رود، می‌توان از نتایج آنالیز فاکتوری و پاراژنزهای بدست آمده استفاده کرد. بدین منظور برای جلوگیری از هرگونه اشتباه در تفسیر شکل‌های دو بعدی ۱-۱۱ الی ۶-۶ جهت تعیین پاراژنزهای موجود، اقدام به آنالیز خوش‌های براساس امتیازات فاکتوری بدست آمده برای متغیرها و نمونه‌ها می‌نماییم. (شکل ۶-۱۴)

در این شکل وضعیت پاراژنز متغیرها به همراه نمونه‌های آنومال هر یک آورده شده است لازم بذکر است که در این شکل فقط ۱۰ نمونه پریپتانسیل اول هر متغیر براساس نتایج فاکتوری شرکت داده شده‌اند. پاراژنزهای بدست آمده براساس آنالیز خوش‌های انجام شده عبارتند از:



دو مجموعه اول پاراژنزهای معنی‌داری می‌باشند و براساس آنالیز خوش‌های می‌توانند معرف و ردیاب کانی‌سازی طلا (کانی‌سازی اپی‌ترمال احتمالی) در منطقه باشند.

Table 6 - 2 : Comparision Between Anomalous Samples Obtained From Two Methods.

Factor Element	Anomaly (top %)	EI	1/PN	SUM(1/PN)	Paragenesis
Zn					
22		1.197	0.018	0.531	Co+Sr+Hg
43		0.903	0.002	0.113	
260		0.864	0.002	0.103	
55	Zn	1.263	0.033	0.182	Y+Sr+Co
311		1.031	0.005	0.065	Ag+Sn
510		0.994	0.004	0.153	Hg
549		0.928	0.002	0.067	
54		1.000	0.004	0.099	Pb
6		1.237	0.026	0.210	Co
190		1.106	0.008	0.089	
30		1.095	0.007	17.565	Pb
42		0.830	0.002	0.090	
300		1.141	0.011	0.112	
184		1.037	0.005	0.157	
102		1.037	0.005	0.147	
Pb					
309		0.598	0.002	69.965	Ag+Sn+Ba
116		1.184	0.013	0.443	Ba+Hg
367		1.169	0.011	0.608	
417		1.220	0.018	0.689	Ag+Ba+Sn+AS
60		1.182	0.013	0.161	
272		1.132	0.008	0.276	
84		1.074	0.006	0.709	
302		1.120	0.008	0.275	Ag+Sn+Ba
546		1.054	0.005	0.100	
338		1.000	0.004	0.079	
454		1.063	0.005	0.086	
109		1.170	0.011	0.471	Ba
59		1.237	0.022	0.203	
586		1.000	0.004	0.075	
605		1.095	0.006	0.087	
Ag					
309	Ag	2.707	17.483	69.965	Sn+As+Ba
367		1.661	0.117	0.608	
116		1.655	0.113	0.443	Ba+Hg
417	Ag	1.689	0.144	0.689	Ba+Sn+As
366		1.737	0.208	1.507	
302	Ag	1.518	0.044	0.275	Sn+Ba
109	Ag	1.562	0.059	0.471	Sn+Ba
60		1.434	0.026	0.161	
50		1.254	0.010	0.109	
84		1.477	0.034	0.709	
51		1.336	0.015	0.116	
59		1.506	0.041	0.203	
454		1.240	0.009	0.086	
345		1.311	0.013	0.123	
272		1.477	0.034	0.276	

Table 6 - 2 : Comparision Between Anomalus Samples Obtained From Two Methods.

Factor	Anomaly (top %1)	EI	1/PN	SUM(1/PN)	Paragenesis
Element					
Cr					
309		0.356	0.002	69.965	Ag+As+Ba
366		0.981	0.003	1.507	
417		1.014	0.004	0.689	Ag+As+Ba
367		0.699	0.002	0.608	
109		0.826	0.003	0.471	Ba
488		0.004	0.002	0.308	
561		0.484	0.002	0.149	
116		0.648	0.002	0.443	Ba+Hg
449		0.976	0.003	0.252	AS+Sn
476		0.007	0.002	0.080	W+Ba+Ag
442		1.118	0.004	0.096	
487		0.004	0.002	0.162	
302		0.651	0.002	0.275	Ag+Ba+Sn
88		0.876	0.003	0.140	
483		0.004	0.002	0.133	
Ni					
654	Ni	12.184	17.483	105.121	Cr+Cu+Hg+Sc
532	Ni	10.170	17.483	36.629	
708	Ni	7.250	17.483	54.035	Cr
544	Ni	6.808	17.483	53.725	Cu+V+Sr
545	Ni	7.161	17.483	19.384	V+Sr+Cu
79	Ni	6.347	17.483	37.842	Sc+V+Hg+Cu+Cr
63		6.066	17.483	35.587	Cu
696	Ni	5.152	0.719	19.377	Sc+V+Pb
479		5.305	0.848	3.432	
689		5.008	0.614	53.160	
480		4.757	0.465	1.006	
620		3.198	0.072	18.818	
243		4.079	0.212	20.383	
703	Ni	3.933	0.178	0.432	Cr
524	Ni	4.339	0.288	0.986	V+Sr+Cu+Sc
Bi					
309		1.047	0.006	69.965	
116		1.103	0.014	0.443	Ba+Hg
60		1.028	0.005	0.161	
367		1.034	0.005	0.608	
272		0.993	0.003	0.276	
546		1.140	0.026	0.100	
84		1.132	0.022	0.709	
454		0.974	0.003	0.086	
302		1.041	0.006	0.275	Ag+Sn+Ba
579		1.142	0.026	0.091	
338		1.060	0.007	0.079	
417		1.014	0.004	0.689	Ag+Ba+Sn+AS
586		1.000	0.004	0.075	
605		1.013	0.004	0.087	
270		1.000	0.004	0.132	

Table 6 - 2 : Comparision Between Anomalous Samples Obtained From Two Methods.

Factor Element	Anomaly (top %)	EI	1/PN	SUM(1/PN)	Paragenesis
Sc					
620		2.320	0.999	18.818	
689		2.769	17.483	53.160	
696	Sc	2.228	0.652	19.377	Ni+V+Pb
701	Sc	1.801	0.091	2.165	Ni+Pb
708		2.412	1.525	54.035	Ni+Cr
41		1.524	0.026	0.134	
274		1.755	0.074	0.203	
679		1.607	0.038	0.215	
79	Sc	2.365	1.229	37.842	Ni+Hg+Cu+Cr
612		1.674	0.051	0.296	
583		1.461	0.020	0.240	
581		1.389	0.015	0.172	
602		1.588	0.035	0.138	
282		1.563	0.031	0.179	
557		1.720	0.063	0.189	
Cu					
480		1.772	0.093	1.006	Ba+Ag+Sn
479		2.036	0.394	3.432	
243		2.475	17.483	20.383	
79	Cu	2.007	0.335	37.842	Ni+Sc+V+Hg+Cr
703		1.542	0.029	0.432	Ni+Cr
412		1.730	0.075	1.379	
481		1.534	0.028	0.193	
335		2.077	0.498	0.651	Au
679		1.353	0.013	0.215	
164		1.696	0.063	0.280	
337		2.118	0.628	0.801	
138		2.198	0.997	71.757	Sn+Sr+Y+W+Cd+Sb+Co+Hg+Zn
193		1.155	0.006	0.133	
612		0.993	0.004	0.296	
226		1.470	0.021	0.142	
As					
309		2.956	17.483	69.965	
367		1.783	0.116	0.608	
116		1.713	0.077	0.443	Ba+Hg
417	As	1.906	0.250	0.689	As+Ag+Sn+Ba
366		1.937	0.303	1.507	
302		1.592	0.040	0.275	Ag+Sn+Ba
109		1.667	0.059	0.471	Ba
60		1.472	0.022	0.161	
50		1.226	0.008	0.109	
84		1.160	0.006	0.709	
59		1.609	0.043	0.203	
51		1.304	0.010	0.116	
345		1.304	0.010	0.123	
88		1.427	0.018	0.140	
454		1.303	0.010	0.086	

Table 6 - 2 : Comparision Between Anomalus Samples Obtained From Two Methods.

Factor	Anomaly (top %)	EI	1/PN	SUM(1/PN)	Paragenesis
Element					
Sb					
212	Sb	32.101	0.335	37.854	Sn+Sr+Y+W+Cd+Co+Hg+Zn
148		25.639	0.262	0.339	
150		25.669	0.262	0.345	
252		24.440	0.248	0.797	
257	Sb	25.580	0.261	17.864	Hg+Pb
211	Sb	34.711	0.364	124.602	Sn+Sr+Y+W+Cd+Co+Hg+Zn
151		24.590	0.250	0.330	
145	Sb	23.641	0.239	0.322	
147	Sb	22.562	0.226	0.301	
258	Sb	24.076	0.244	17.797	Hg+Pb
144	Sb	23.047	0.232	0.329	
246		22.574	0.226	0.296	
248	Sb	23.496	0.237	0.897	Hg+Pb
149		22.578	0.226	0.351	
472		21.352	0.212	0.315	
Cd					
22		1.348	0.055	0.531	Hg+Sr+Co
138	Cd	2.416	17.483	71.757	Zn+Hg+Co+Sb+W+Sn+Sr+Y
412		1.559	0.375	1.379	
510		1.102	0.007	0.153	Hg
6		1.248	0.023	0.210	Co
55		1.270	0.027	0.182	Zn+Pb+Y+Sr
300		1.175	0.012	0.112	
585		1.173	0.012	0.442	
43		1.015	0.004	0.113	
190		1.097	0.007	0.089	
56		2.285	17.483	89.328	Zn+Pb+Y+Sr
124		1.220	0.018	0.161	
184		1.077	0.006	0.157	
530		1.335	0.049	0.233	Ni+Sr+Cu+Cr
54		0.942	0.003	0.099	Pb
Co					
138	Co	6.976	17.483	71.757	Sn+Sr+Y+W+Sb+Zn+Hg
56	Co	6.793	17.483	89.328	Hg+Cd+Sr
22	Co	2.717	0.277	0.531	Hg+Sr
356		2.168	0.060	0.664	Y
412		2.438	0.127	1.379	
192		1.855	0.026	0.407	
665		2.083	0.047	0.635	Cd+Cu+Y+Zn
480		2.305	0.087	1.006	
322		1.620	0.014	0.417	Au
140		2.820	0.371	0.965	Sb
664		2.000	0.038	0.548	Cd+Cu+Y+Zn
55		2.118	0.052	0.182	
530		1.759	0.020	0.233	Ni+Sr+Sc+Cu+Cr
585		1.549	0.012	0.442	
550		2.697	0.262	0.596	

Table 6 - 2 : Comparision Between Anomalus Samples Obtained From Two Methods.

Factor Element	Anomaly (top %1)	EI	1/PN	SUM(1/PN)	Paragenesis
Sn					
309		1.571	17.483	69.965	
116		1.236	0.050	0.443	Ba+Hg
367		1.243	0.056	0.608	
417	Sn	1.268	0.087	0.689	As+Ag+Ba
60		1.176	0.020	0.161	
302	Sn	1.223	0.040	0.275	Ag+Ba
84		1.185	0.023	0.709	
109	Sn	1.267	0.086	0.471	Ba+Ag
50		1.146	0.013	0.109	
272		1.128	0.011	0.276	
454		1.128	0.011	0.086	
59		1.171	0.019	0.203	
51		1.151	0.014	0.116	
88		1.125	0.011	0.140	
546		1.003	0.004	0.100	
Y					
43		1.016	0.004	0.113	
260		0.972	0.003	0.103	
22		1.162	0.044	0.531	Hg+Sr+Co
54	Y	0.968	0.003	0.099	Pb
549		0.980	0.003	0.067	
510		1.038	0.006	0.153	Hg
311		0.987	0.003	0.065	
42		1.010	0.004	0.090	
30		1.063	0.008	17.565	Pb
540		0.992	0.003	0.061	Ni+Cu
102		0.995	0.003	0.147	
6		1.116	0.019	0.210	Co
190		1.038	0.006	0.089	
176		0.961	0.002	0.173	
184		1.047	0.006	0.157	
Ba					
309	Ba	2.182	17.483	69.965	Ag+Sn
367		1.645	0.267	0.608	
116	Ba	1.577	0.142	0.443	Hg
417	Ba	1.575	0.139	0.689	As+Ag+Sn
302	Ba	1.543	0.105	0.275	Ag+Sn
366		1.700	0.460	1.507	
60		1.431	0.042	0.161	
109	Ba	1.621	0.212	0.471	
84		1.723	0.584	0.709	
50		1.311	0.018	0.109	
59		1.429	0.041	0.203	
51		1.320	0.019	0.116	
272		1.423	0.039	0.276	
454		1.295	0.016	0.086	
488		1.340	0.022	0.308	

Table 6 - 2 : Comparision Between Anomalus Samples Obtained From Two Methods.

Factor Element	Anomaly (top %1)	EI	1/PN	SUM(1/PN)	Paragenesis
V					
708		4.401	17.483	54.035	Ni+Cr
689		5.196	17.483	53.160	
696	V	4.676	17.483	19.377	
620		3.904	17.483	18.818	
544	V	4.718	17.483	53.725	Ni+Sr+Cu
79		3.607	17.483	37.842	Sc+Ni+Hg+Cu+Cr
654	V	4.401	17.483	105.121	Sc+Ni+Hg+Cu+Cr
479		2.862	0.285	3.432	
701	V	3.412	1.149	2.165	Sc+Pb
583		1.717	0.017	0.240	
532		1.506	0.010	36.629	Ni
63		2.369	0.082	35.587	Cu
545	V	3.266	0.793	19.384	Ni+Sc
679		1.954	0.029	0.215	
41		1.622	0.013	0.134	
Sr					
22	Sr	1.138	0.011	0.531	Hg+Co
43		1.272	0.042	0.113	
510		1.091	0.007	0.153	Hg
260		0.905	0.002	0.103	
6		1.258	0.036	0.210	Co
54	Sr	0.947	0.003	0.099	Pb
42		1.216	0.023	0.090	
549		0.983	0.003	0.067	
190		1.065	0.006	0.089	
300		1.134	0.010	0.112	
184		0.972	0.003	0.157	
311		0.880	0.002	0.065	
30		1.098	0.007	17.565	Pb
412		1.281	0.047	1.379	
437		1.121	0.009	0.098	
Hg					
56	Hg	3.853	0.025	89.328	Cd+Co+Sr
138	Hg	2.685	0.058	71.757	Sn+Sr+Y+W+Cd+Sb+Co+Zn
352		1.385	0.022	0.366	
22	Hg	2.280	0.031	0.531	Sr+Co
640		2.180	0.033	0.194	
664		1.719	0.137	0.548	Cd+Cu+Y+Zn+W
346		1.458	0.023	0.165	Sr
707		1.853	0.035	0.184	Zn+Ni+Pb
412		2.271	0.250	1.379	
6		1.338	0.002	0.210	Co
140		1.357	0.002	0.965	Sb
356		1.542	0.011	0.664	
354		1.115	0.068	0.268	Y
192		2.305	0.022	0.407	
514		1.629	0.008	0.110	

Table 6 - 2 : Comparision Between Anomalous Samples Obtained From Two Methods.

Factor Element	Anomaly (top %1)	EI	1/PN	SUM(1/PN)	Paragenesis
W					
640		1.948	0.033	0.194	
642	W	2.339	0.096	0.252	Ag+As+Ba
56		1.847	0.025	89.328	Zn+Pb+Y+Sr
688		1.959	0.034	0.125	
352		1.798	0.022	0.366	
175		1.012	0.003	0.070	
653		0.922	0.003	0.073	Cr+Cu+Hg+Sc+Ni+V
647	W	1.586	0.013	0.106	
610		1.983	0.036	0.167	Bi
346		1.811	0.023	0.165	
169		1.065	0.004	0.080	
311		1.172	0.005	0.065	Ag+Sn+As+Ba
114		0.992	0.003	0.070	
707		1.973	0.035	0.184	Cr+Ni
22		1.928	0.031	0.531	Hg+Sr+Co
Au(ppb)					
235	Au	239.024	17.483	17.574	
12	Au	54.167	17.483	19.114	Bi
35	Au	40.000	17.483	17.558	
3	Au	36.000	17.483	17.557	
331	Au	30.952	17.483	17.586	
9	Au	24.167	1.333	1.428	
16	Au	21.875	1.090	1.204	
32		18.367	0.763	0.886	
28		17.692	0.706	18.266	Pb
33		15.455	0.534	0.614	
18		16.364	0.601	18.157	
37		13.500	0.403	0.488	
4		9.000	0.172	0.269	
7		9.000	0.172	0.245	
15	Au	8.000	0.134	0.189	

Dendrogram using Average Linkage (Within Group)
Rescaled Distance Cluster Combine

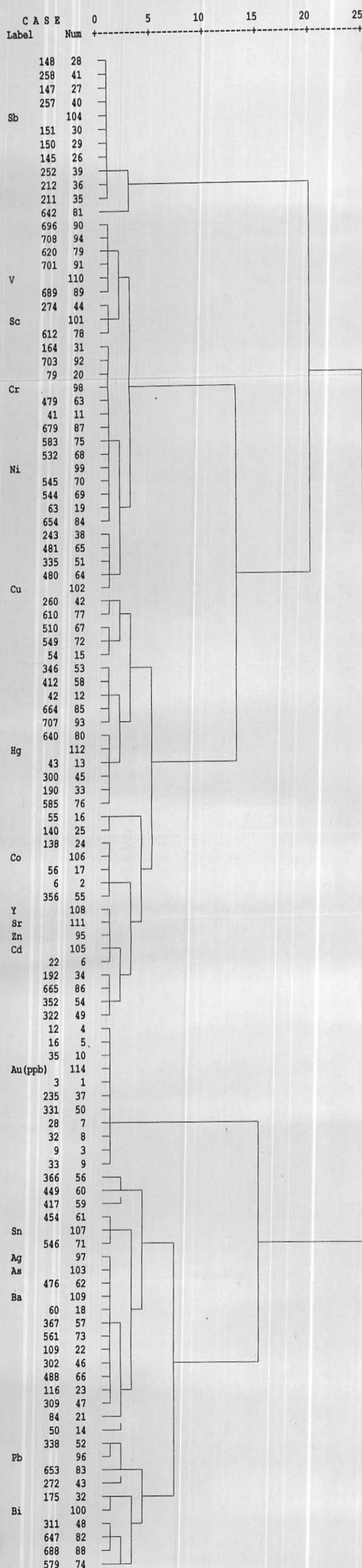


Fig. 6-14 : Dendrogram Between Variables and Samples (10 Nearest Sample) Based on Factor Analysis Scores .

دو پاراژنر دیگر براساس شواهد زمین‌شناسی موجود، در ارتباط با پیده‌های سنتزتیک و لیتوژئیکی می‌باشد.

- ترسیم نقشه‌ها

به منظور انجام فاز کنترل آنومالی‌ها اقدام به تهیه نقشه تک متغیره توزیع کلیه متغیرهای ژئوشیمیایی با استفاده از روش تخمین شبکه‌ای شده است. و سپس کلیه مناطق پرپتانسیل که معادل یک درصد بالای فراوانی هر متغیر بوده است در یک نقشه کنار یکدیگر قرار گرفته‌اند. تا پرپتانسیل‌ترین مناطق بر اساس شاخص غنی‌شدنی تک تک متغیرها بدست آید.

علاوه بر نقشه فوق، از دو نقشه دیگر در فاز کنترل آنومالی‌ها استفاده گردیده است. نقشه اول مربوط به مجموع مقادیر $(1/PN)$ محاسبه شده برای هر نمونه و نقشه دوم مربوط به نتایج آنالیز ویژگی امتیازات فاکتوری بدست آمده برای هر نمونه است. که در اشکال ۱۵-۶ و ۱۷-۶ نقشه‌های به کار رفته در فاز کنترل آنومالی مشاهده می‌گردد. به منظور معرفی مناطق آنومالی نیز با توجه به محدودیت تعداد نقشه‌های نهایی پنج متغیر Au , Hg , Cu , As + Ag + Ba و Bi به عنوان پتانسیل‌های کانی‌سازی و معرف کانی‌سازی‌های احتمالی انتخاب شده‌اند. که در نقشه‌های شماره $H2$ الی $H6$ (آلوم نقشه‌ها) ارائه شده‌اند.

تشریح کلیه مناطق آنومال بهمراه نمونه‌های کنترلی برداشت شده در فصل کنترل آنومالی‌های ژئوشیمیایی ارائه گردیده است.

Hana (Sheet 7646)

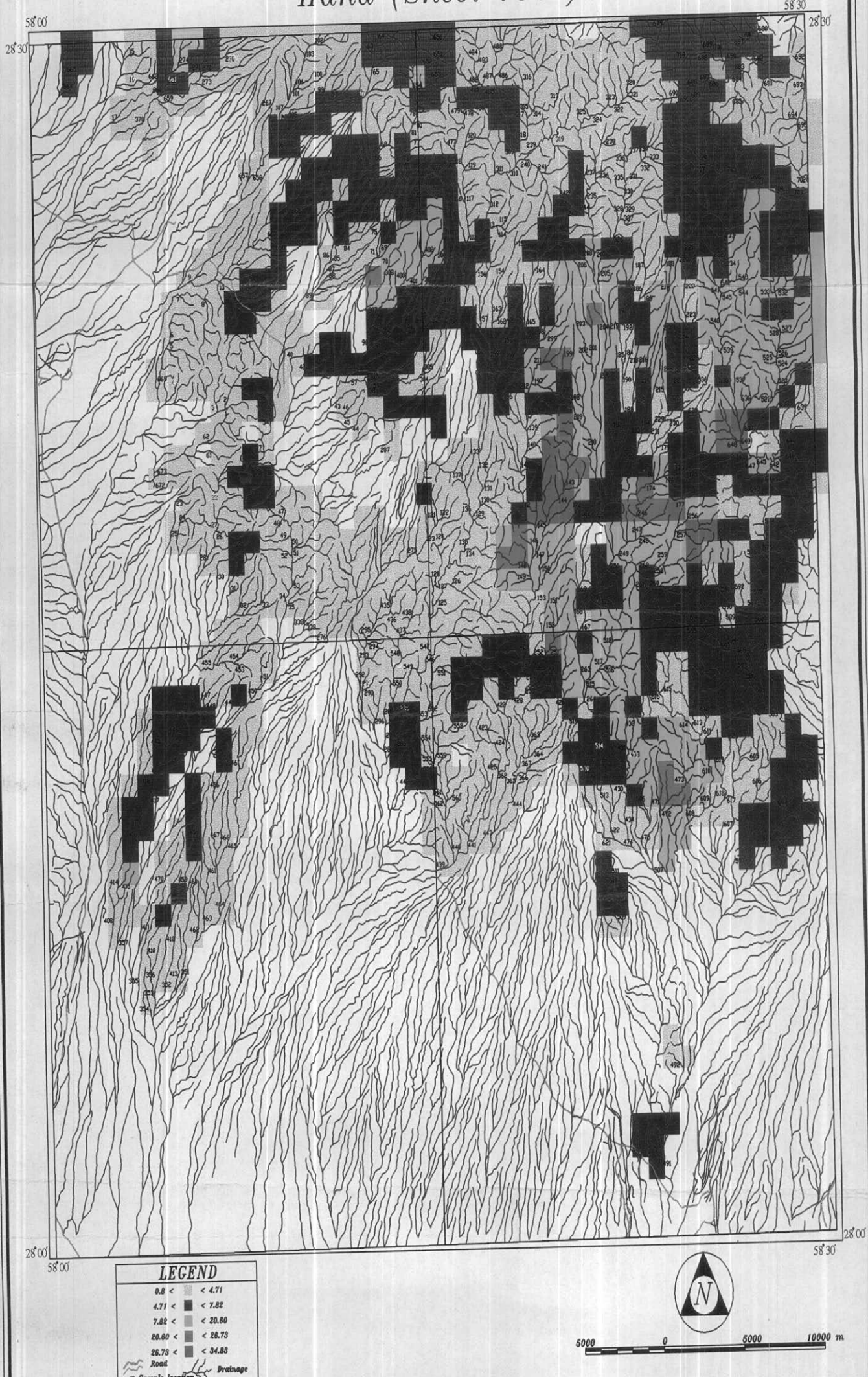


Fig. 6 - 15 : Distribution Grid Map of Characteristic Scores

Hana (Sheet 7646)

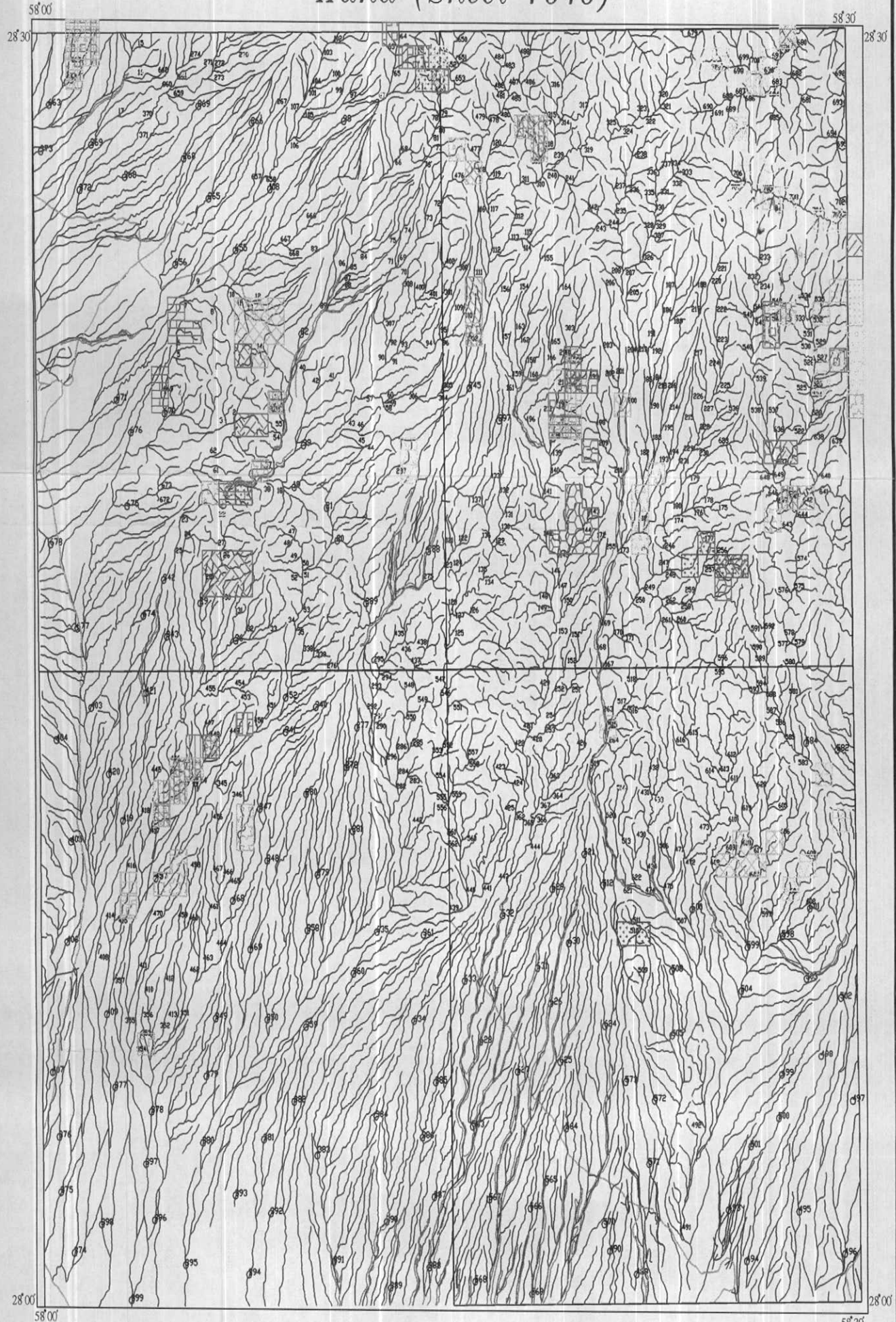


Fig. 6 - 17 : Distribution of Top 1% of Enrichment Index
for all Elements

Hana (Sheet 7646)

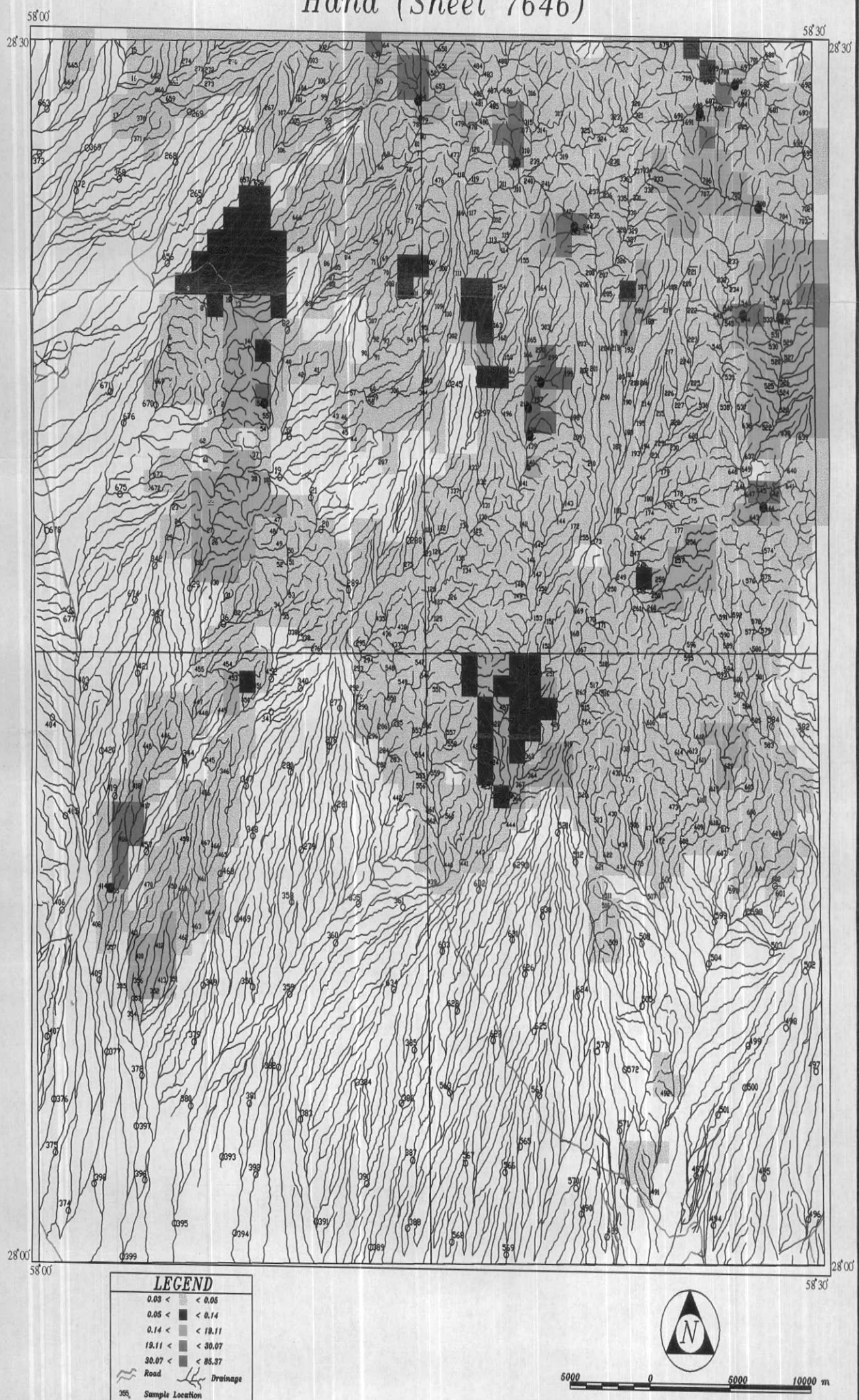


Fig. 6 - 16 :Distribution of Probability of Occurance of Total Enrichment Index

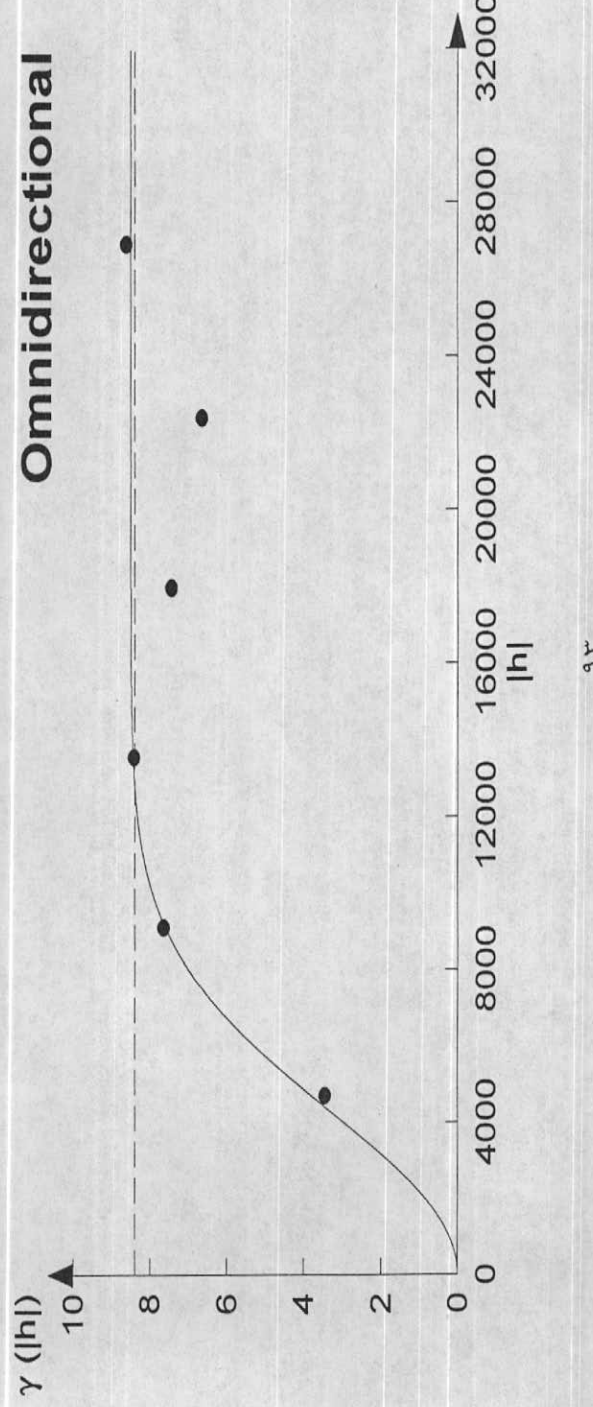
۵- محاسبه آنومالی در جامعه نمونه‌های آلورویوم

نظر باینکه بخش وسیعی از برگه ۱/۱۰۰,۰۰۰ حنا را رسوبات آبرفتی پوشانده است، از این رسوبات و در مکانهای مشخص و از پیش تعیین شده، اقدام به برداشت ۱۲۵ نمونه تحت عنوان "نمونه‌های آلورویوم" گردیده است. محاسبه آنومالیها و تحلیل داده‌های حاصل از پردازش این نمونه‌ها با نمونه‌های برداشت شده از رسوبات آبراهه‌ای تفاوت دارد. این نمونه‌ها بدلیل ماهیت غیر جهتی‌شان، فاقد مفهوم سنگ بالادست می‌باشند و همگی تحت یک جامعه مورد بررسی قرار می‌گیرند. در این جامعه متغیرهای ژئوشیمیایی انتخاب شده اگر ساختار فضائی از خود بروز دهدن، مورد تخمین ژئواستاتیستیکی قرار می‌گیرند و سپس نقشه حاصل از این الگوریتم تخمین به نقشه حاصل از تخمین شبکه‌ای متصل می‌شود. نتیجه واریوگرافی جامعه نمونه‌های آبرفتی برای متغیرهای مختلف به صورت جدول زیر است:

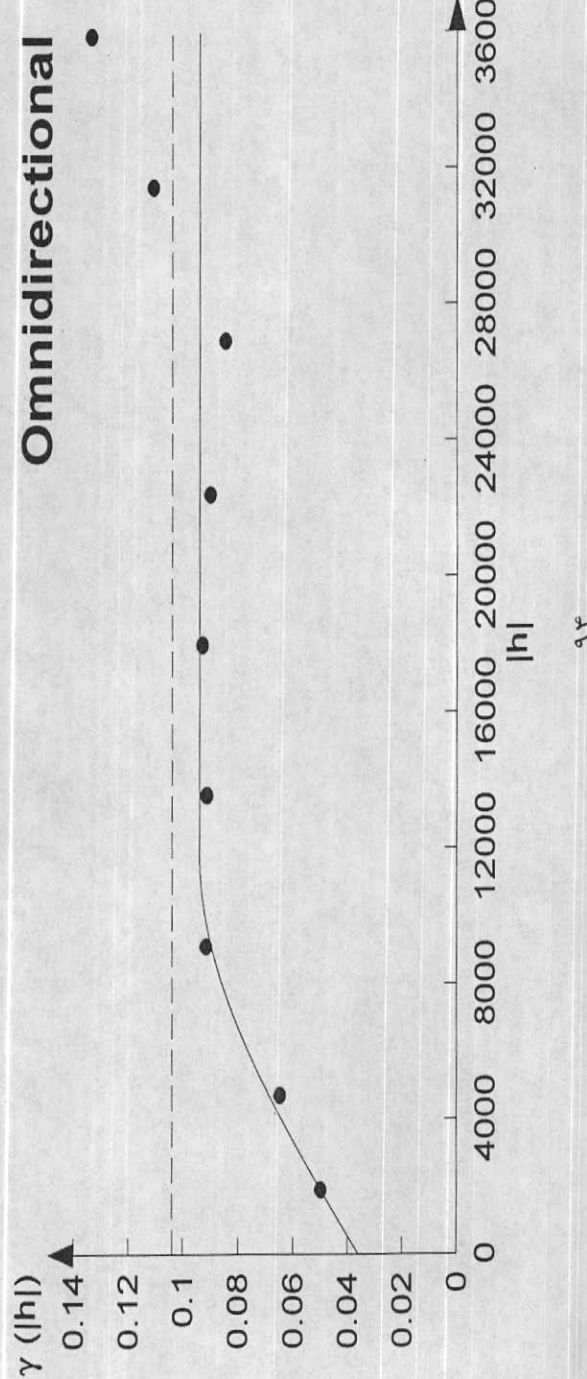
متغیر	اثر قطعه‌ای	سقف	دامنه	مدل برآش شده
Au	.	۸/۵	۱۰۵۶۰	گوسین
Cu	۰/۰۳۶	۰/۰۵۸	۱۱۸۸۰	کروی
Hg	۰/۰۸۴	۰/۱۴۴	۱۵۴۰۰	کروی
AS + Ag + Ba	۰/۴۸۶	۰/۰۵۱۳	۲۱۰۷۰	کروی
W + Bi + Pb	۰/۹۷۲	۰/۸۲۸	۱۴۴۰۰	کروی

واریوگرامهای متغیرهای مختلف در اشکال ۱۸-۲۲ تا ۶-۲۶ آورده شده است. از نتایج این واریوگرامها در تخمین مقادیر متغیرها مختلف و نهایتاً رسم نقشه‌های آنها استفاده گردیده است.

**Fig. 6-18 : Non Directional Variogram for Au in Hana 1/100,000 Sheet.
Gamma(h): 8.5 Gauss. 10560 (h)**



**Fig. 6-19 : Non Directional Variogram for Cu in Hana 1/100,000 Sheet.
Gamma(h): 0.036 + 0.058 Sph.11880 (h)**



**Fig. 6-20 : Non Directional Variogram for Hg in Hana 1/100,000 Sheet.
Gamma(h): $0.084 + 0.144 \text{ Sph.} 15400 (h)$**

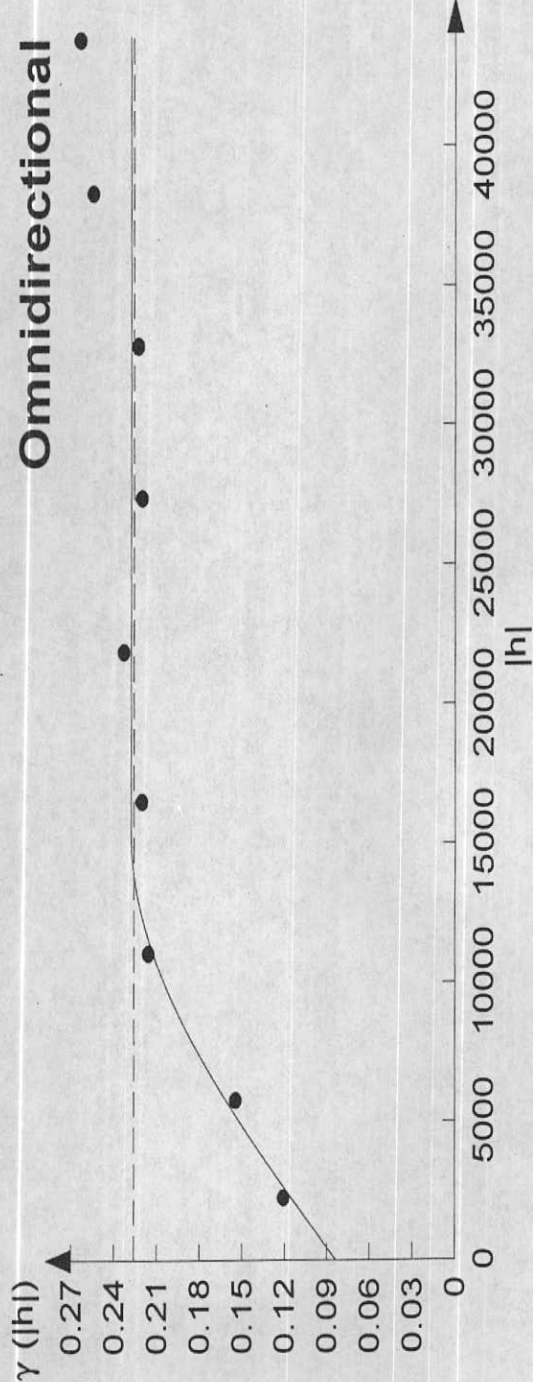
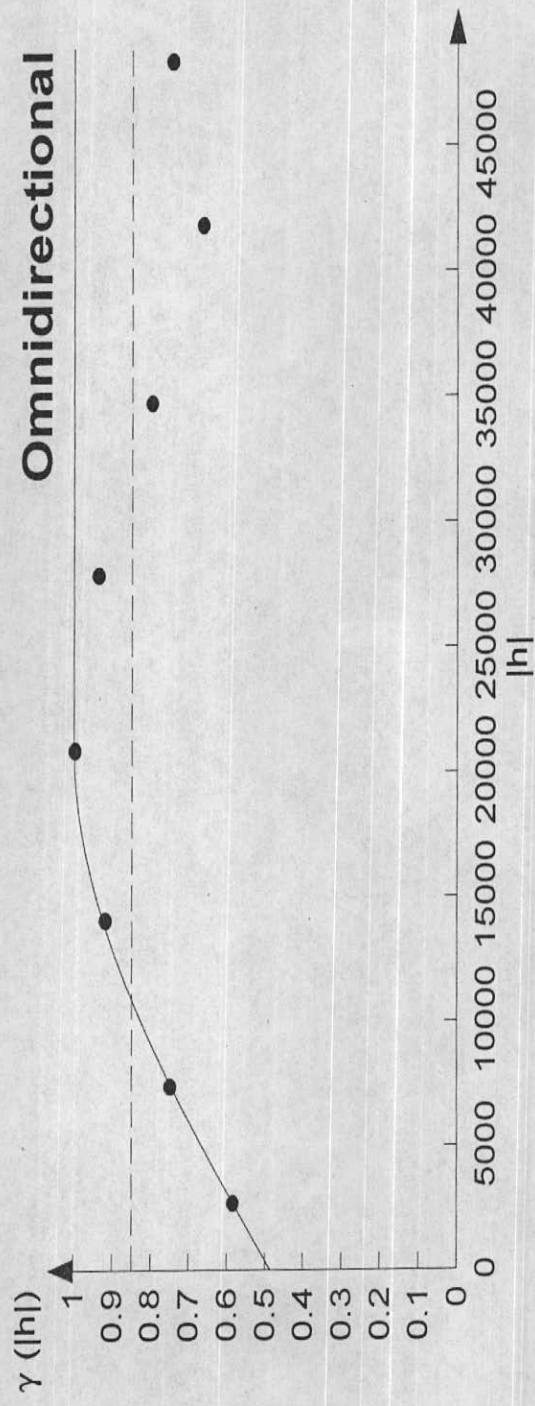
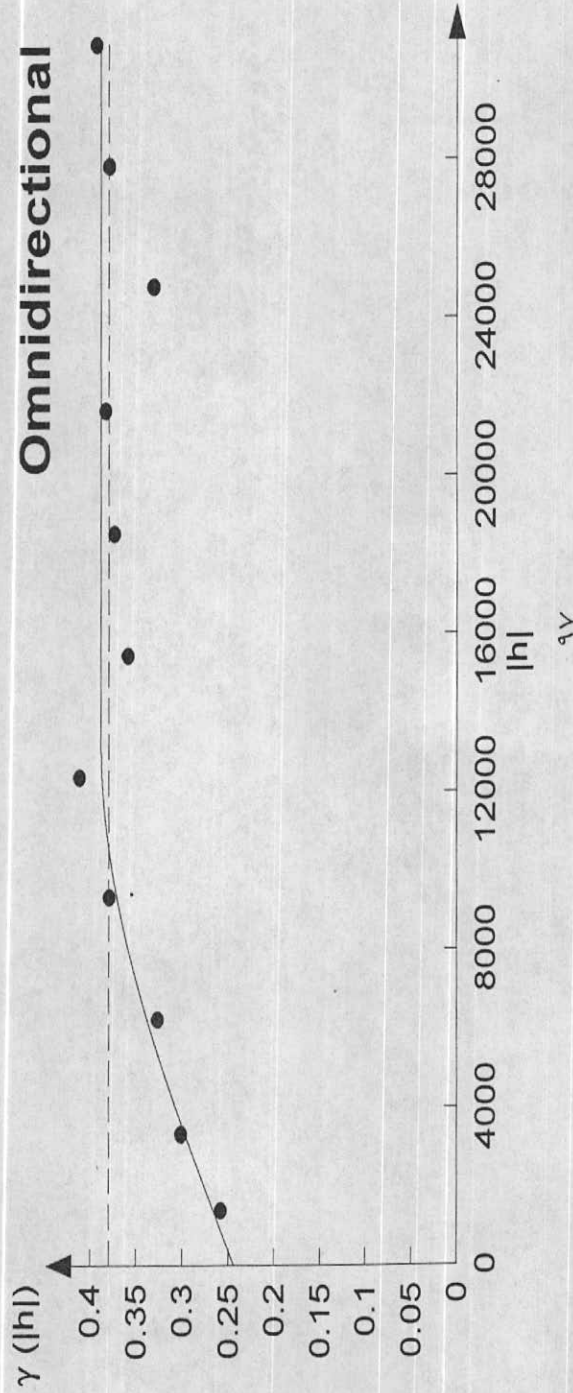


Fig. 6-21 : ND Variogram for As+Ag+Ba in Hana 1/100,000 Sheet.
Gamma(h): 0.486 + 0.513 Sph.21070 (h)
Dir.(1): 0 | anis.(1): 1



**Fig.6-22 : ND Variogram for W+Bi+Pb in Hana 1/100,000 Sheet.
Gamma(h): 0.244 + 0.144 Sph.13330 (h)**



فصل هفتم

فاز کنترل آنومالهای ژئوشیمیابی

۱- مقدمه

در بررسیهای اکتشافی در مقیاس ناحیه‌ای که به منظور کشف هاله‌های ثانوی کانسارها انجام می‌پذیرد، معمولاً ابتدا منطقه وسیعی تحت پوشش اکتشاف ژئوشیمیابی قرار می‌گیرد. این عملیات منجر به کشف آنومالیهای ظاهری در محیط‌های ثانوی می‌گردد. از آنجاکه در روشهای ژئوشیمیابی هر عنصر مستقیماً مورد اندازه‌گیری قرار می‌گیرد، توجهی به فاز پیدایش آن نمی‌شود. از این رو هاله‌های ثانوی کشف شده نمی‌توانند همیشه معرف کانی سازی باشند. بنابراین برای تمیز آنومالی واقعی که در ارتباط با پیدیده‌های کانی سازی می‌باشد، از انواع دیگر که معمولاً در ارتباط با پیدیده‌های سنگ زایی هستند. باید از روش‌های متعددی استفاده کرد که شامل بررسی مناطق دگرسان شده، زونهای میزرازیه احتمالی، سیستم‌های پلمبینگ و بالاخره مطالعه نمونه‌های کانی سنگین در محدوده آنومالی‌های مقدماتی است. درین روش‌های مختلف فوق مطالعات کانی سنگین بعنوان روشی که در آن فاز پیدایش یک عنصر مورد مطالعه قرار می‌گیرد، می‌تواند مفید واقع شود. بدیهی است پیدایش یک عنصر در فازهای مختلف ارزش متفاوتی دارد و برای پی بردن به ارزش‌های متفاوت پیدایش یک عنصر، نیاز به تمیز فاز پیدایش آن است. با توجه به نتایجی که از آنالیز کانیهای سنگین بدست می‌آید، می‌توان هاله‌های ثانوی را به دو نوع تقسیم نمود:

۱- هاله‌های ثانوی مرتبط با کانی سازی

۲- هاله‌های ثانوی مرتبط با پیدیده‌های سنگ زایی

در حالت اول کانیهای مستقل یک عنصر معمولاً در جزء سنگین (تصویرت فاز مستقل) یافت می‌شود. حال آنکه در حالت دوم پیدایش یک عنصر معمولاً بصورت ترکیب محلول جامد در ساختمان شبکه همراه با عناصر دیگر است. البته این حالت ممکن است استثناء نیز داشته باشد.

بدیهی است که تحرک یک ذره کانی سنگین نسبت به تحرک یک یون بسیار کمتر است. لذا هاله‌های ژئو شیمیایی ثانوی می‌توانند بمراتب بزرگتر از هاله کانی سنگین مربوط به همان عنصر باشد. بدین لحاظ برداشت نمونه‌های کانی سنگین در محدوده هاله‌های ژئو شیمیایی، می‌تواند مفید واقع شود. در این پژوهش برداشت نمونه‌های کانی سنگین بعنوان روشی برای کنترل آنومالیها و جدا کردن انواع مرتبط با کانی سازی از سایر انواع، صورت پذیرفته است.

۲- ردیاب‌های کانی سنگین

ارزش مشاهدات مربوط به کانیهای سنگین ردیاب، بدان جهت که اغلب این کانیها جزء کانیهای فرعی سازنده سنگ هستند و ممکن است در مناطق غیر کانی سازی نیز یافت شوند، به اندازه عناصر ردیاب نمی‌باشند ولی می‌توانند بعنوان معرفی برای حضور محیط و سنگ مناسب که احتمال وقوع کانی سازی در آن هست بکار روند در زیر بعنوان مثال چند مورد ذکر می‌شود:

۱- طلا: حضور طلا در بخش تغليظ یافته کانی سنگین می‌تواند دلالت بر وجود مناطق امید بخش باشد ولی نبود آن بعلت خطای زیاد وابسته به نمونه برداری و آنالیز این روش ممکن است نتیجه عکس نداشته باشد ارتباط طلا با آرسنوبیریت و تعدادی از کانیهای سولفوسالت دیگر می‌تواند در تعیین مناطق امید بخش موثر واقع شود. در نهشته‌های اپی ترمال دانه ریز بذرگان است طلا در نمونه تغليظ شده کانی سنگین معمولی یافت شود. در صورت پیدايش و همراهی آن با سینابر و استیبنیت، اهمیت منطقه اکتشافی دو چندان می‌شود.

۲- باریت: باریت بصورت گانگ در بسیاری از کانسارهای فلزات پایه وجود دارد. وجود آن در بخش تغليظ یافته کانی سنگین، دلالت بر وجود احتمالی چنین نهشته‌هایی است. از آنجاکه هاله‌های آن نسبتاً وسیع است، می‌تواند بسیار مفید واقع شود. این کانی در کانسارهای تیپ ماسیو سولفاید با میزان شیلی، به وفور یافت می‌شود. ممکن است وجود آن معرف وجود کانی

سازی باریت لایه‌ای و یارگه‌ای باشد. پیشنهاد شده است که اندازه‌گیری مقدار طلای موجود در باریت می‌تواند بعنوان معرفی برای باریتهای مرتبط با نهشته‌های طلا باشد.

۳- تورمالین: این کانی ممکن است در سنگهای مختلفی شامل سنگهای ماگمای، متامorfیک، رسوبی تخریبی و بصورت محصولات آلتراسیون هیدروترمال یافت شود. پیدایش تورمالین در بعضی از مجموعه‌های پاراژنزی مانند مولیبدنیت، آرسنپیریت و فلورین می‌تواند به تعیین دقیق‌تر مناطق امید بخش کمک نماید. شواهد چندی نشان داده است که تورمالین‌های غنی از Mg می‌تواند بعنوان ردیاب کانسارهای تیپ ماسیو سولفایدی به کار رود.

۳- بزرگی هاله‌های کانی سنگین

عوامل موثر در توسعه هاله‌های کانی سنگین (بطرف پایین دست) تابع عوامل زیر است:

۱- ترکیب و بزرگی رخنمون در ناحیه منبع
۲- تغییرات شیمیایی که در ناحیه منبع رخ می‌دهد: بعضی از کانیها در مقابل فرسایش شیمیایی مقاوم و بعضی نامقاوم‌اند. این امر در خرد شدن کانیها و مسافت حمل و نقل آنها بسیار موثر است.

۳- خواص مکانیکی کانیها و تغییرات مکانیکی در محیط انتقال و رسوبگذاری: بعضی از کانیها در مقابل فرسایش مکانیکی مقاوم و بعضی نامقاوم بوده و خرد می‌شوند. تعدادی از این عوامل بستگی به شرایط آب و هوایی و ژئو‌مورفولوژی محیط دارد. بدین جهت مسافتهای حمل و نقل گزارش شده برای کانه‌های مختلف متفاوت می‌باشد. برای مثال در مورد طلا و لغرامیت هاله‌های بطول چند ده کیلومتر ثبت گردیده است. در مواردیکه رخنمون منبع کوچک باشد، این فوائل ممکن است تا چند کیلومتر کاهش یابد. در چنین مواردی ممکن است مقدار بعضی از کانیهای سنگین در رسوبات در یک کیلومتر اول مسیر تا ۹۰ درصد کاهش یابد. بنابراین بهتر است محل نمونه‌های کانی سنگین نسبت به منبع احتمالی آن چندان دور نباشد. در این پروژه انتخاب محل نمونه‌های کانی سنگین بنحوی صورت گرفته است که حتی الامکان کانی

سازی‌های احتمالی موجود در منطقه در این نمونه‌ها منعکس گردند.

۴- نمونه برداری کانی سنگین، زونهای میزالیزه و آلترد احتمالی

برای برگه ۱:۱۰۰،۰۰۰ حنا، در محدوده آنومالیهای ژئوشیمیایی اقدام به برداشت و مطالعه ۱۲۵ نمونه کانی سنگین در محدوده آنومالی‌های مقدماتی گردیده است. نقشه شماره ۱ محل نمونه‌های کانی سنگین را برای برگه ۱:۱۰۰،۰۰۰ حنا نشان می‌دهد. داده‌های خام کانی سنگین (تبديل شده به ppm) در جدول ضمیمه (بر روی CD) آورده شده است. همچنین در محدوده این برگه اقدام به برداشت ۶۰ نمونه از زونهای آلترد، میزالیزه و سیستم کانالی عبور محلولهای گرمابی (پلمبینگ سیستم) گردیده است. نقشه شماره ۱ محل این نمونه‌ها را نیز نشان می‌دهد.

۱- نکاتی در مورد محل، چگالی و وزن نمونه‌های کانی سنگین

برای اکتشافات ناحیه‌ای (کوچک مقیاس) رودخانه‌های بزرگ با حوضه آبریز وسیع مناسبتر هستند، زیرا محدودیت تعداد نمونه در آنها بر طرف می‌گردد. ولی در این پروژه به دلیل برداشت نمونه‌های کانی سنگین در محدوده آنومالیهای ژئوشیمیایی اجازه برداشت نمونه‌های کانی سنگین را از حوضه‌های آبریز کوچکتر می‌داده است.

هر نمونه کانی سنگین از چند محل که احتمال تمرکز کانی سنگین در آن بیشتر بوده (تله کانی سنگین) برداشت شده است. در چنین مکانهایی ذرات شن و یا ماسه بیشتر حضور دارند. در مناطقی که نسبتاً مرتفع و برقیگر و در نتیجه فرسایش شیمیایی شدیدتر بوده است. پیدایش چنین محل‌هایی مشکل بوده و در نتیجه نمونه‌های کانی سنگین با وزن بیشتر از بخش ماسه‌ای- سیلتی- رسی برداشت گردیده است.

چگالی نمونه برداری کانی سنگین، علاوه بر سقف بودجه، عمدتاً تابع مساحتی است که باید با استفاده از این روش تحت ارزیابی قرارگیرد. از آنجاکه در این پروژه مناطق تحت بررسی

کانی سنگین محدود به زونهای آنومالی ژئو شیمیایی مقدماتی بوده است، بزرگی هاله پراکندگی ژئو شیمیایی از قبیل مشخص شده و در نتیجه نمونه های کانی سنگین متعلق به هر برگه ۱/۵۰.۰۰۰، در چنین زونهای تقسیم شده است. در این تقسیم بندی فرض بر آن بوده است که برای هر حوضه آبریز با مساحت یک یا چند کیلومتر مربع، یک یا دو نمونه کافی بوده است. علاوه بر موارد فوق، شدت آنومالی های ژئو شیمیایی و نیز تعداد عناصر در پارانز ژئو شیمیایی نیز در این تقسیم بندی موثر واقع شده است. تحت شرایط یکسان از مساحت حوضه های آبریز، اولویت بیشتر به حوضه هایی آبریزی داده شده است که شدت آنومالی ژئو شیمیایی آن بیشتر بوده و یا تعداد عناصر در پارانز ژئو شیمیایی بیشتر بوده است. وزن نمونه کانی سنگین بسته به هدف مورد نظر تغییر می کند. در این پروژه آن مقدار از رسوب رودخانه که لازم است برداشت شود تا پس از الک کردن حدود ۴ لیتر از جزء ۲۰-تا +۸۰ مش حاصل گردد، برداشت شده و در محل الک گردیده است. این الک کردن اولیه در روی زمین موجب کاهش وزن نمونه و سهولت حمل و نقل و شستشوی آن می گردد. شرح نمونه های مختلف برداشت شده در محدوده برگه ۱/۱۰۰.۰۰۰ در بخش بعد ارائه گردیده است.

۴-۲- معرفی مناطق آنومال و نمونه‌های برداشت شده کانی سنگین و مینرالیزه

در بخش حاضر به تشرییح مناطق آنومال ژئوشیمیایی در برگه ۱/۱۰۰،۰۰۰ حنامی پردازیم و در هر آنومالی در صورتی که نمونه مینرالیزه یا کانی سنگین و ... برداشت شده باشد. شماره و مشخصات لازم نمونه‌ها ارائه گردیده است. و در صورتی که آنومال مربوطه در فاز کنترل آنومالیها، کنترل شده باشد، خلاصه‌ای از مشاهدات صحرایی که در مدلسازی آنومالیها بکار رفته است، ارائه شده است.

لازم بذکر است که مختصات جهانی نمونه‌های برداشت شده در جدول ضمیمه (بر روی CD) آورده شده است.

آنومالی شماره ۱

موقعیت جغرافیایی این محدوده آنومال در گوشه شمال‌غربی برگه ۱/۵۰،۰۰۰ گرم و در غرب، کنار زغان می‌باشد. تعداد ۲ نمونه ژئوشیمی به شماره‌های ۶۶۵ و ۶۶۴ از این محدوده برداشت گردیده که نسبت به عناصر Zn و Y، Cd، Cu و W غنی‌شدنی نسبی نشان داده‌اند. واحدهای سنگی که در این منطقه مشخص شده است شامل رسوبات آبرفتی و کنگلومرات سخت نشده می‌باشد. در مرحله کنترل ناهنجاریهای ژئوشیمیایی این محدوده تعداد دو نمونه کانی سنگین به شماره‌های ۶۶۵ و ۶۶۴ برداشت گردیده که در آنها کانیهای شلیت، گارنت، باریت گزارش شده است.

در این محدوده هیچ آثاری از مینرالیزاسیون یا آلتراسیون دیده نشده ولی درون آبراهه ذرات منیتیت کاملاً بارز است.

آنومالی شماره ۲

موقعیت جغرافیایی این محدوده آنومال تقریباً در شمال غرب برگه ۱/۵۰،۰۰۰ پورکی می‌باشد. چهار نمونه ژئوشیمیایی از این محدوده برداشت شده که به شماره‌های ۴۱۷، ۴۴۹، ۴۱۵ و ۴۱۴

می باشد که نسبت به عناصر Ba, Sn, As, Cd, Y و Ag غنی شدگی نسبی نشان داده اند. واحدهای سنگی مشخص شده در این منطقه شامل کنگلومراي سخت نشده می باشد. از این محدوده هشت نمونه کانی سنگین به شماره های ۴۴۹، ۱۰۰۵، ۱۰۰۶، ۴۱۵، ۴۱۶، ۱۰۰۷، ۴۱۷ و ۱۰۰۸ برداشت گردیده که در آنها کانیهای شلیت، توریت، پیریت، باریت، گارنت، سینابر، اسفن، ولفنت، گالن، الیزیست، اپیدوت و بروکسیت دیده شده است.

آنومالی شماره ۲

این محدوده آنومال در موقعیت جغرافیایی برگه $\frac{1}{50,000}$ گرم، جنوب و جنوب شرقی گدار واقع شده است. سه نمونه ژئوشیمیایی به شماره های ۲۲، ۵۵ و ۵۶ از آن برداشت گردیده که نسبت به عناصر Co, Pb, Hg, Sr, Cd و Ag غنی شدگی نسبی نشان داده است.

واحدهای سنگی منطقه شامل رسوبات آهکی تشکیلات قم، ماسه سنگ و سنگ آهکهای ماسه ای تخریبی، توف ماسه ای و توف سبز می باشد. آتراسیون پروپیلیتی، لیمونیتی و هماتیتی به دقت برداشت های صحرایی دیده شده است. از این محدوده هفت نمونه کانی سنگین به شماره های ۲۳، ۲۲، ۱، ۲۵۶، ۱، ۱۰۰۰ و ۱۰۰۱ برداشت گردیده که در آنها کانیهای پیریت، الیزیست، گالن، باریت، گارنت، توریت، ایلمنیت، منیت، اپیدوت، لیمونیت، میمیتیت، و هماتیت گزارش شده است.

هم چنین از زونهای میزالیزه در این محدوده شش نمونه سنگی به شماره های ۱۰۰۳، ۱۰۰۷، ۱۰۰۲، ۱۰۰۱، ۱۰۰۴ و ۱۰۰۵ برداشت گردیده که نمونه ۱۰۰۳ معرف سنگهای عمومی منطقه بوده و نمونه ۱۰۰۷ از قطعات آتش داری آبراهه برداشت شده است.

آنومالی شماره ۴

موقعیت جغرافیایی این محدوده آنومال در مرکز برگه $\frac{1}{50,000}$ گرم و در جنوب زیر گرم واقع شده است. تعداد چهار نمونه ژئوشیمی به شماره های ۱۱، ۱۲، ۱۳ و ۱۴ از این محدوده برداشت

گردیده که نسبت به عناصر Sc, Pb, Bi و غنی شدگی نسبی از خود نشان داده‌اند.

واحدهای سنگی این منطقه شامل رسوبات آهکی فرامینفردار، کنگلومرا، داسیت، توف، خاکسترها و طبقه‌بندی شده با میان لایه‌های گدازه‌های آندزیتی، آذر آوارهای پیروکلاستیکی، رسوبات آذرین حد واسط که در مکانهای سیلیسی شده، گرانیت، گرانودیوریت، و کوارتز دیوریت می‌باشد.

در مرحله کترنل ناهنجاریهای ژئوشیمیایی این محدوده یک نمونه کانی سنگین به شماره ۱۱ برداشت گردیده که در آن کانیهای شلیت، اپیدوت، باریت، گارنت، هماتیت و منیت دیده شده است. از زون مینزالیزه این محدوده، یک نمونه مینزالیزه برداشت شده که مقدار عنصر جیوه در آن قابل توجه می‌باشد.

آنومالی شماره ۵

موقعیت جغرافیایی این محدوده آنومال گوشه شمال‌شرقی برگه $\frac{1}{50,000}$ گرم و قسمتهایی از گوشه شمال‌غربی برگه $\frac{1}{50,000}$ چادگل را شامل می‌شود و منطقه کویران و شمال روستاوی بارده می‌باشد.

سه نمونه ژئوشیمیایی به شماره‌های ۶۳، ۶۴ و ۶۵ از آن برداشت گردیده که عناصر Sc, Ni, Cu, Cr و Hg در آن غنی شدگی نسبی نشان می‌دهد. واحدهای سنگی منطقه شامل گرانیت، گرانودیوریت و کوارتز دیوریت می‌باشد.

در نقشه‌های ژئوفیزیک هوایی برای این محدوده، توره نفوذی نیمه عمیق و گسلهای بزرگ پوشیده مشخص شده است.

آلتراسیون لیمونیتی و کلریتی با دقت کارهای صحرایی در منطقه دیده شده است.

در محدوده آنومال مورد نظر ۲ نمونه کانی سنگین برداشت گردیده است که کانیهای شلیت، باریت، گارنت، پیریت، مولیبدنیت، میمتیت و گالان گزارش شده است، از زون مینزالیزه این محدوده ۲ نمونه مینزالیزه برداشت شده که تعداد عناصر مس-ارسینیک و مولیبدن در آن قابل

توجه است. همچنین مقدار منیتیت در این محدوده بسیار زیاد است.

آنومالی شماره ۶

این آنومالی در محدوده شمال تیغ سیاه در مسیر جاده آغین و در دره‌ای بنام دره انجیر و دره شرقی آن واقع شده است. از تعداد ۱۸ نمونه ژئوشیمی که از این محدوده برداشت شده چند نمونه مقادیر مشابه‌ای از عناصر مختلف را از خود نشان داده‌اند که شرح آنها بقرار زیر می‌باشد:

۱- نمونه ۴۷۶ نسبت به عناصر Ag و Ba

۲- نمونه ۱۱۹ نسبت به عناصر Au

۳- نمونه‌های ۱۱۶، ۱۱۷ و ۱۱۸ نسبت به عناصر Cd

۴- نمونه ۴۷۸ نسبت به عناصر قلع

۵- نمونه ۴۸۲ نسبت به عنصر باریم

۶- نمونه ۴۸۳ نسبت به عناصر قلع و باریم

۷- نمونه ۴۸۵ نسبت به عناصر نقره، آرسنیک و آنتیموان

۸- نمونه ۴۷۷ نسبت به عنصر تنگستن

۹- نمونه ۴۸۷ نسبت به عناصر نقره آرسنیک، سرب و قلع

۱۰- نمونه ۴۸۸ نسبت به عنصر باریم

نقشه‌های ژئوفیزیک هوایی وجود یک گسل بزرگ و پوشیده را در این منطقه مشخص کرده است. واحدهای سنگی این منطقه عمدها شامل گرانیت، گرانودیوریت، کوارتزدیوریت، دایکهای آندزیت توف، خاکستر و گدازهای آتشفشاری همراه کنگلومرا و ماسه سنگ می‌باشد. از این محدوده تعداد ۶ نمونه کانی سنگین به شماره‌های ۴۷۶، ۱۱۸، ۱۱۶، ۱۲۰، ۴۷۸ و ۴۸۳ برداشت گردیده که کانیهای زیر در آنها دیده شده است:

شلیت، باریت، اپیدوت، هماتیت، منیتیت، پیریت، لیمونیت، مولیبدنیت، توریت، گالن، اسفن،

گارنت، میمیتیت، ولفنیت، کالکوپیریت، تورمالین و دولومیت.

در هنگام کنترل آنومالیهای در این محدوده آلتراسیونهای سیلیسی، کلریتی، لیمونیتی، هماتیتی، و آرژیلیتی در مقیاس کارهای صحرایی دیده شده است و از زونهای مینرالیزه و آلتراه تعداد پنج نمونه برداشت شده که شماره‌های آنها عبارتند از: ۱۰۳۸، ۱۰۴۰، ۱۰۴۳، ۱۰۴۲ و ۱۰۴۱ در میان آنها نمونه ۱۰۴۲ که از یک زون مالاکیتی در بالای دره‌انجیر و از مختصات جهانی (۳۱۴۹۵۶۴، ۶۲۵۸۲۳) برداشت گردیده مقادیر متنابه‌ی از طلا، مس، آرسنیک، بور، بیسموت، و تنگستن از خود نشان داده است.

آنومالی شماره ۷

این محدوده آنومالی در موقعیت غرب برگه ۱ چاهگل، جنوب‌غربی تیغ سیاد واقع گردیده است از این منطقه نمونه‌های ژئوشیمیایی ۱۱۰، ۱۱۱ و ۳۰۲ برداشت گردیده است که نسبت به عناصر Sn و Ag غنی‌شدگی نسبی نشان میدهد.

واحدهای سنگی مشخص شده در این منطقه بروی نقشه ۱ زمین‌شناسی شامل کنگلومرا، خاکسترهاي آتشفسانی، توف با میان دانه‌های گدازه‌ای آندزیتی، ماسه سنگ و ماسه سنگ کلسیتی می‌باشد.

در محدوده آنومال مورد نظر تعداد ۱۱ نمونه کانی سنگین برداشت گردیده که کانیهای شیلیت، باریت، گارنت، هماتیت، مینیتیت، پیریت، توریت، لیمونیت، لوکوکسن و میمیت در آنها دیده شده است.

آنومالی شماره ۸

موقعیت جغرافیایی این محدوده آنومال تقریباً در مرکز برگه ۱ چاهگل و نزدیکی روستای استارام قرار گرفته است. چهار نمونه ژئوشیمیایی از آن برداشت گردیده که به شماره‌های ۱۳۸، ۱۹۷، ۲۱۱ و ۲۱۲ مشخص شده‌اند و نسبت به عناصر Zn، Hg، Co، Sb، Cd، W، مشخص شده‌اند و نسبت به عناصر

و Y غنی‌شدنی نسبی نشان می‌دهند.

واحدهای سنگی منطقه شامل ماسه سنگ، کنگلومرا، توف و ماسه سنگ کلسیتی، سنگ آهک بیوکلاستیک، سنگ آهکهای ماسه‌ای تخریبی، توف ماسه‌ای و توف سبز داسیتیک می‌باشد. در نقشه‌های ژئوفیزیک هوایی برای این محدوده، توده نفوذی نیمه عمیق مشخص شده است. آتراسیون لیمونیتی و سیلیسیکا‌سیون در منطقه دیده شده است.

از محدوده آنومال مورد نظر ۵ نمونه کانی سنگین برداشت گردیده که کانیهای باریت، گارنت، اسفن، سینابر، طلا و پیریت در آنها گزارش شده است.

از زون منیزالیزه این محدوده سه نمونه به شماره‌های ۱۰۲۳، ۱۰۲۷ و ۱۰۲۴ برداشت شده است. نمونه ۱۰۳۷ از آهکهای لیمونیتی برداشت گردیده، نمونه ۱۰۲۳ از واریزدهای سیلیسی داخل آبراهه برداشت شده که ۱۰۰ میلی‌گرم در تن طلا و حدود ۷۶ میلی‌گرم در تن جیوه داشته است. نمونه ۱۰۲۴ از واریزدهای که هنگام حفر چاه به بیرون ریخته شده بود، برداشت شده و مربوط به عمق زمین در روستای استارم می‌باشد سنگ حاوی مقدار زیادی هماتیت و منیتیت بوده و غنی‌شدنی نسبت به تنگستن و آرسنیک داشته است.

آنومالی شماره ۹

محدوده آنومال مورد نظر از نظر موقعیت جغرافیایی در شمال غربی برگه چاه‌گل، شمال آغین قرار گرفته و نمونه ژئوشیمیایی از آن برداشت گردیده است که عناصر Ba , As , Ag در آن غنی‌شدنی نسبی نشان داده‌اند.

واحدهای سنگی منطقه شامل گرانیت، گرانودیوریت، کوارتزدیوریت، آندزیت، توف و دایکهای دیوریتی می‌باشد.

در نقشه‌های ژئوفیزیک هوایی این محدوده گسلهای بزرگ پوشیده گزارش شده است در محدوده مورد نظر ۵ نمونه کانی سنگین برداشت گردیده که عناصر شلیت، باریت، پیریت، گارنت، گالن و سینابر در آنها برداشت شده است.

آنومالی شماره ۱۰

موقعیت جغرافیایی محدوده آنومال مورد نظر در شمال‌شرقی برگه ۱^{۵۰,۰۰۰} چاه‌گل و در درین نیزار واقع شده است که پنج نمونه ژئوشیمیایی از آن برداشت گردیده که نسبت به عناظر Cr, Sc, Pb, V, Ni غنی‌شدگی نسبی از خود نشان می‌دهد.

واحدهای سنگی منطقه شامل دایکهای گرانیتی، گرانودیوریتی، پورفیری، دیاباز، کوارتز دیوریت، داسیت، توف سیز همراه لایه‌ای ماسه سنگی، پیرولاستیکهای ریولیتی، توف و کنگلومرا با دانه‌بندی خوب می‌باشد.

در این محدوده چشم‌های گازدار به تعداد زیاد بچشم می‌خورد که در حال تراورتن زایی هستند. همچنین لزهای سیلیسی در بین آندزیتها بوفور دیده می‌شود، آتراسیونهای لیمونیتی، هماتیتی، سیلیسی و آرژیلتی در مقیاس کارهای صحرایی به چشم می‌خورد.

در نقشه‌های ژئوفیزیک هوایی برای این محدوده، توده نفوذی نیمه عمیق گزارش شده است. در محدوده آنومال مورد نظر پنج نمونه کانی سنگین به شماره‌های ۷۰۹، ۶۹۶، ۶۹۷، ۷۰۱ و ۶۸۰ می‌باشد. برداشت گردیده که کانیهای شلیت، باریت، گارت، بیوتیت، پیریت، ماسیکت، ملاکیت، مولیبدنیت، میمتیت و گالن در آن گزارش شده است.

در بستر رودخانه بن نیزار و در مختصات (۳۱۵۱۲۳۹، ۳۱۵۱۵۷۰) یک قطعه سنگ حاوی ملاکیت پیدا شده که نمونه ۱۰۱۵ نام گرفته است در این نمونه علاوه بر مس (۱/۷٪) مقادیر روی، "مولیدن"، "نقره" و "جیوه" نیز بطور نسبی چشمگیر بوده است.

در نقطه (۳۱۵۲۲۷۶، ۳۱۵۲۲۶۰) از لایه‌های تراورتن که بطور ثانویه دچار لیمونیتی زاسیون و هماتیتی زاسیون شده بود نمونه ۱۰۱۶ برداشت گردیده است. این نمونه حاوی ۸/۵٪ آرسنیک می‌باشد از تراورتهای نقطه (۳۱۵۲۴۰۴، ۳۱۵۲۴۹۸) نیز یک نمونه به شماره ۱۰۱۷ برداشت گردیده که در آن نیز ۱۹۰۰ گرم در تن آرسنیک گزارش شده است. درون آبراهه در نقطه (۳۱۵۲۲۷۲، ۳۱۵۲۳۹۷) یک نمونه از کف آبراهه برداشت گردیده که شماره ۱۰۲۰ به آن داده شده

است این نمونه حاوی قطعات پیریت و احتمالاً کالکوپیریت بوده که آزمایشگاه برای آن ۲۰۰۰ گرم در تن عنصر "روی" گزارش کرده است با توجه به ابعاد سنگ و گوشه‌های بسیار تیز آن، محل آن را در ارتفاعات صعب‌العبور مجاور می‌توان گمان برد این نمونه در رودخانه بعد از آبشار اصلی قرار دارد.

آنومالی شماره ۱۲

موقعیت جغرافیایی این محدوده در ضلع شرقی برگه ۱ چاه‌گل، زمین سرخه واقع شده است تعداد ۳ نمونه ژئوشیمیایی به شماره‌های ۷۰۵، ۷۰۳ و ۷۰۸ از آن برداشت گردیده که نسبت به عناصر کرم و نیکل غنی‌شدگی نسبی نشان می‌دهد.

واحدهای سنگی این منطقه مشخص شده که شامل دایکهای گرانیتی، گرانودیبوریتی، پورفیری و دیاباز، کوارتز دیبوریت، و توف داسینی سبز همراه با میان لایه‌های ماسه سنگی می‌باشد.

در مرحله کنترل ناهنجاریهای ژئوشیمیایی این محدوده تعداد ۳ نمونه کانی سنگین برداشت گردیده که در آنها کانیهای شلیت، پیریت، باریت، گارنت، الیزیست، سروزیت، مالاکیت، منیتیت، و گالن گزارش شده است.

در نقشه‌های ژئوفیزیک هوایی منطقه گسلهای بزرگ پوشیده مشخص شده است.

در زون منیرالیزه محدوده مورد نظر، ۲ نمونه منیرالیزه به شماره‌های ۱۰۵۷ و ۱۰۵۶ برداشت شده که نمونه ۱۰۵۷ از یک سنگ مالاکیتی نابرجا در رودخانه برداشت شده است و نمونه ۱۰۵۶ که دارای مقدار متنابه‌ی Bi و W می‌باشد از زوتهای آلتره لیمونیتی برداشت شده است.

آنومالی شماره ۱۳

موقعیت جغرافیایی محدوده آنومال نزدیک به ضلع شرقی برگه ۱ چاه‌گل در شمال‌غرب چشم‌بند و جنوب تیغ پیش واقع شده است. دو نمونه ژئوشیمیایی ۵۴۴ و ۵۴۵ از منطقه آنومال

مورد نظر برداشت شده که عناصر V, Ni, Cu و Sr در آن غنی شدگی نسبی نشان می دهد.

واحدهای سنگی منطقه شامل توف داسیتی تودهای قرمز رنگ، توف داسیتی خرد شده و سیلیسی شده پورفیریت، گرانیت، گرانوپوریت، کوارتزپوریت و کنگلومرا می باشد

آلتراسیون پروپلیت، ارژیلت، هماتیتی و لیمونیتی با دقت کارهای صحرابی گزارش شده است.

در مرحله کنترل ناهنجاریهای ژئوشیمیایی نمونه کانی سنگین ۵۴۵ برداشت شده که کانیهای

شلیت، باریت، گارنت، پیریت، گالن، کالکوپیریت، و میمیتیت در آن دیده شده است.

موقعیت جغرافیایی این محدوده در شرق برگها ۱ چاهگل، منطقه نرگسان و محدوده ۵۰,۰۰۰ رودخانه چشمه سبز واقع شده است.

چهار نمونه زئوژیمیابی ۵۳۲-۵۲۷-۵۲۶-۵۲۴ از این محدوده برداشت گردیده که عناصر Sc, V, Ni, Cu و در آن غنی شدگی نسبی نشان داده اند.

واحدهای سنگی منطقه شامل توف داسیتی توده‌ای قرمز رنگ - توف داسیتی خردشده و سیلیسی شده، توف داسیتی سبز همراه میان لایه‌های ماسه سنگی، خاکسترها با طبقه بندی خوب - توف با میان لایه‌های گذرازهای آندزیتی - گرانیت - گرانودیوریت - کوارتزدیوریت - پرفیریت - دیوریت - توف داسیتی خردشده و سیلیسی شده و کنگلومرا می‌باشد. آتراسیونهای لیمونیتی، هماتیتی، سیلیسی و ... در قسمتهای مختلف این دره بچشم می‌خورد و در بعضی نقاط زونهای برشی مشهود است. در مختصات (۶۴۴۹۸۳، ۲۱۳۹۴۷۱) یک چشم‌گازدار در این دره وجود دارد.

در نقشه زئوژیک هوایی منطقه توده‌های نفوذی نیمه عمیق مشخص شده است.

در محدوده آنومال مورد نظر نمونه کانی سنگین به شماره‌های ۵۲۶، ۵۲۷، ۵۲۲، ۵۲۴ و ۵۳۹ از منطقه برداشت شده است که کانیهای شیلیت، باریت، کارنت، پیریت، سینابر، میمتیت و گالن در آنها گزارش گردیده است. در مجاورت نمونه ۵۳۲ یک زون برشی وجود دارد که شدیداً آلتره شده است و نمونه ۱۰۴۶ از آن برداشت گردیده، نمونه مذکور مقادیر متناسبی از سرب، نقره، قلع، آرسنیک و بیسموت از خود نشان داده است. از زونهای آلتره منطقه در دو نقطه دیگر نمونه‌های ۱۰۴۴ و ۱۰۴۵ برداشت شده که نمونه ۱۰۴۴ غنی شدگی نسبی نسبت به عنصر As داشته است. نمونه ۱۰۴۷ نیز از این محدوده برداشت گردیده که مقدار قابل توجهی در آن بچشم نمی‌خورد.

آنومالی شماره ۱۵

موقعیت جغرافیایی محدوده آنومال مورد نظر در جنوب شرقی برگه ۱ چاهگل جنوب نرگسان می‌باشد. که پنج نمونه ژئوشیمی به شماره‌های ۶۴۹، ۶۴۳، ۶۴۷ و ۶۳۷ برداشت گردیده که عناصر Pb, Sb, As, W, Zn, Ag و Ba غنی‌شدنی نسبی از خود نشان داده‌اند. در منطقه واحدهای سنگی شامل توف داسیتی توده‌ای قرمز رنگ، توف داسیتی خرد و سیلیسی شده، توف داسیتی سبز همراه میان لایه‌های ماسه سنگی، خاکسترها را با لایه‌بندی خوب - توف با میان لایه‌های توده‌ای آندزیتی، توف داسیتی با بافت کلاستیک، پرفیریت، ریوداسیت پرفیریتیک و توده‌ای کنگلومرات ماسه سنگ قرمز، مارن و مارن ماسه سنگی است. در نقشه ژئوفیزیک هوایی گسلهای بزرگ پوشیده، مشخص گشته است.

در مرحله کنترل ناهنجاریهای ژئوشیمیایی محدوده آنومال ۵ نمونه کانی سنگین به شماره‌های ۶۴۹، ۶۴۵، ۶۴۸، ۶۴۷ و ۱۰۱۷ برداشت شده است که در آنها کانیهای شنیت، باریت، گارنت، پیریت، سینابر، اولیزیست، مالاکیت، پیرومورفیت، میمتیت و گالن گزارش شده است.

آنومالی شماره ۱۶

موقعیت جغرافیایی این محدوده در غرب برگه ۱ گرم، شمال شرق راحت می‌باشد. نمونه‌های ژئوشیمیایی ۶ و ۶۹۹ از آن برداشت گردیده است که نسبت به عنصر C0 غنی‌شدنی نسبی نشان داده‌اند.

واحدهای سنگی، منطقه شامل رسوبات آهکی فرامینیفردار (تشکیلات قم) می‌باشد. در کنترل ناهنجاریهای ژئوشیمیایی منطقه نمونه‌های کانی سنگین ۶۷۰ و ۵ برداشت گردیده که کانیهای باریت و مالاکیت در آن گزارش شده است.

آنومالی شماره ۱۸

موقعیت جغرافیایی این محدوده آنومال در جنوب برگه ۱ گرم، شرق کوه سورو واقع

گشته است. نمونه های ژئوشیمی ۲۹، ۳۰، ۳۱، ۲۸، ۲۶ از آن برداشت شده که نسبت به عنصر Pb (سرب) غنی شدگی نسبی از خود نشان می دهد و نمونه ژئوشیمی ۲۹ نسبت به طلا از غنی شدگی نسبی برخوردار بوده است.

واحدهای سنگی منطقه شامل تشکیلات آهکی فرامینیفردار (تشکیلات قم)، ماسه سنگ و سنگ آهکهای ماسه ای تخریبی توف ماسه ای و توف سبز می باشد.

در کنترل ناهنجاریهای ژئوشیمیابی منطقه تعداد چهار نمونه کانی سنگین از منطقه برداشت شده است که کانیهای باریت، گارنت و پیریت در آن گزارش شده است.

در زون مینرالیزه منطقه مورد نظر دو نمونه مینرالیزه ۱۰۰.۸ و ۱۰۰.۹ برداشت گردیده که از نظر عنصر حیوه قابل توجه می باشد.

آنومالی شماره ۲۱

این محدوده آنومال از نظر موقعیت جغرافیایی در جنوب غربی برگه $\frac{۱}{۵۰,000}$ پورکی و در شمال روستای پورکی قرار گرفته است.

نمونه ژئوشیمی ۳۵۴ از آن برداشت گردیده است که عنصر Zr در آن غنی شدگی نسبی نشان داده است از نظر واحد سنگی، منطقه شامل کنکلوماری سخت نشده می باشد.

در کنترل ناهنجاریهای ژئوشیمیابی منطقه یک نمونه کانی سنگین ۱۰۰.۲ از آن برداشت شده که کانیهای گارنت میمتیت و گالن در آن گزارش شده است.

آنومالی شماره ۲۴

موقعیت جغرافیایی این محدوده آنومال در جنوب برگه $\frac{۱}{۵۰,000}$ چاهگل و در نزدیکی روستای سر جنگل می باشد.

نمونه ژئوشیمی ۱۷۳ از آن برداشت شده که نسبت به عنصر W و Au غنی شدگی نسبی از خود نشان داده است و اینهای سنگی منطقه شامل آندزیت، توف آندزیتی، پورفیریتیک تووده ای،

توف و دایکهای دیوریتی، ولکانیکهای حد وسط، توف سیلیسی شده، خاکسترها آتشفشارانی با لایه‌بندی منظم، توف با میان لایه‌های گدازهای آندزیتی، گرانیت، گرانودیوریت، کوارتزدیوریت، کنگلومرای سخت نشده، ماسه سنگ قرمز و کنگلومرای قاعده‌ای، داسیت توف توده‌ای و پورفیریت می‌باشد.

با توجه به اینکه آنالیز عنصر طلا بعضی از نمونه‌ها بعد از کنترل ناهنجاریها از طرف آزمایشگاه اعلام شده، لذا مناطقی مانند همین آنومالی شماره ۲۴ وجود دارد که مورد کنترل قرار نگرفته است اما با در نظر گرفتن مقدار بالای عنصر طلا در نمونه‌های این محدوده لازم است که مدل‌سازی برای این محدوده انجام گیرد.

آنومالی شماره ۲۵

موقعیت جغرافیایی این محدوده آنومال شمال برگه $\frac{1}{50,000}$ نروک، جنوب سر جنگل می‌باشد. نمونه‌های ژئوشیمی شماره ۵۱۵ و ۵۱۹ از منطقه برداشت شده که عنصر W در آن از غنی‌شدنگی نسبی برخوردار است.

واحدهای سنگی منطقه شامل دیوریت، کوارتزدیوریت، ریوداسیت، پورفیریت، توف و دایکهای دیوریت، توف ماسه سنگی، توف داسیتی سین، سنگ آهک بیوکلاستیکی، گرانودیوریت، کوارتزدیوریت، توف ماسه سنگی، توف داسیتی سین، سنگ آهک ماسه‌ای تخریبی، توف داسیتی مارن، مارن ماسه‌ای، توف داسیتی با بافت کلاستیک، گزارش شده از

قرمز توده‌ای می‌باشد.

قطعات آلتره شده و پرشدنگی ثانویه با سیلیس در برداشت‌های صحرایی مشاهده شده است. از نظر کنترل ناهنجاریهای ژئوشیمیایی چهار نمونه کانی سنگین به شماره‌های ۵۱۵، ۵۱۹، ۲۶۳، ۲۶۴ از این محدوده برداشت شده که کانیهای شنلیت، باریت، گارنت، پیریت، سینابرو و گالن در آن گزارش شده است. همچنین مقادیر متناسبی از مینیت و هماتیت در این نمونه‌ها بچشم می‌خورد.

در محدوده زون مینرالیزه، ۳ نمونه مینرالیزه به شماره‌های ۱۰۲۵، ۱۰۲۶ و ۱۰۲۷ از زونهای پرشدگی سیلیسی درون درزهای و قطعات آتربه برداشت شده که مقادیر قابل توجهی در آنها بچشم نمی‌خورد.

آنومالی شماره ۳۰

موقعیت جغرافیایی این محدوده آنومال، جنوب شرقی برگه ۱ چادگل و شرق سرجنگل ۵۰,۰۰۰ و جنوب شرق کلچک می‌باشد.
نمونه‌های ژئوشیمیایی ۲۴۸ و ۲۵۷ از این محدوده برداشت گردید که نسبت به عناصر Pb و غنی‌شدنی Sb نسبی نشان می‌دهد.

واحدهای سنگی مشخص شده در منطقه آنومال مورد نظر شامل آندزیت، توف آندزیتی پرفیریتی توده‌ای، توف داسیتی توده‌ای قرمز، خاکسترهاي آتشفشاری بالایه‌بندی خوب، توف با میان لایه‌های گذازهای آندزیتی، گرانیت، گرانودیوریت و کوارتز دیوریت، کنگلومراي سخت نشده، توف، هیالوداسیت با لایه‌بندی منظم، ریوداسیت پرفیری و توده‌ای، پرفیریت و توده‌ای پرفیریت، مارن و مارن ماسه‌ای، توف با بافت کلاستیک، داسیت و توف داسیتی می‌باشد.
در مرحله کنترل ناهنجاریهای ژئوشیمیایی این محدوده سه نمونه کانی سنگین به شماره‌های ۲۴۸، ۲۴۷ و ۲۴۶ برداشت شده که در آن کانیهای شلیت، باریت، گارنت، پیریت، سینابرو و میمتیت گزارش شده است.

آنومالی شماره ۳۱

موقعیت جغرافیایی این محدوده آنومال در جنوب استارام واقع شده نمونه‌های ژئوشیمیایی ۱۴۴، ۱۴۵ و ۱۴۷ از این محدوده برداشت گردید که عنصر Sb در آن، از غنی‌شدنی نسبی برخوردار است. واحدهای سنگی که در منطقه مشخص شده است شامل آندزیت، توف و دایkehای دیوریتی، داسیت، توف داسیتی توده‌ای، ماسه‌سنگ، سنگ آهک ماسه‌ای تخریبی،

آنومالی شماره ۳۶

این محدوده جغرافیایی در مرکز برگه $\frac{۱}{۵۰,۰۰۰}$ نروک و در شرق رودخانه سرجنگل و جنوبشرق سرجنگل واقع شده است.

نمونه های ژئوشیمی ۴۷۱ و ۴۷۲ از آن برداشت شده که نسبت به عنصر Sb و W غنی شدگی نسبی از خود نشان می دهد.

واحدهای سنگی محدوده آنومال مورد نظر شامل کنگلومرای سخت نشده، داسیت، توف داسیتی ماسیو، آندزیت و توف آندزیتی ماسیو پروپلیتیک می باشد.

در بررسی نقشه های ژئوفیزیک هوایی گسلهای بزرگ پوشیده و توده های نفوذی نیمه عمیق گزارش شده است. آتراسیون آرژیلیتی، لیمونیتی و هماتیتی در منطقه گزارش شده است. در نمونه کانی سنگین ۴۷۱ و ۴۷۲ برداشت شده که کانی های شلیت، باریت و گارنت در آن موردن توجه است.

در زون منیرالیزه دو نمونه منیرالیزه ۱۰۱۸ و ۱۰۱۹ برداشت شده که عناصر Hg و B از خود غنی شدگی نسبی نشان داده اند.

آنومالی شماره ۳۹

موقعیت جغرافیایی این محدوده آنومال در شرق برگه $\frac{۱}{۵۰,۰۰۰}$ گرم در منطقه ای بنام «کویران خاتون مرد» می باشد. نمونه های ژئوشیمی ۷۶، ۷۷، ۷۸، ۷۹ و ۶۵۴ از آن برداشت شده که نسبت به عناصر W, Co, Sc, Cu, Hg, Ni, As نسبی دارند.

واحدهای سنگی منطقه مورد نظر شامل، دیوریت، کوارتز دیوریت، توف سبز با دانه بندی خوب، ماسه سنگ، سنگ آهک، توف آندزیتی، دایکهای دیوریتی، خاکستر های آتش فشانی با دانه بندی منظم توف با میان لایه های گذازه ای آندزیتی، گرانیت و گرانودیوریت می باشد.

در ابتدای این محدوده زونهای آغشته به ملاکیت بصورت گستردگی بچشم می خورد. درون این دره چند چشمه گازدار وجود دارد که با ضخامت زیاد تراورتن زایی کرده اند که بگونه ای که

سنگ تراورتن در این دره قابل استخراج می‌باشد.

نمونه‌های کانی سنگین ۱۰۱۰، ۶۵۴، ۶۵۱، ۷۶ و ۸۱ با کانیهای شلیت، پیریت، باریت، گارنت کلریت، مالاکیت و مولبیدنیت از آن گزارش شده است.

دو زون مینرالیزه ۸ نمونه مینرالیزه به شماره‌های ۱۰۱۲، ۱۰۱۳، ۱۰۱۷، ۱۰۱۵، ۱۰۱۶، ۱۰۱۴ و ۱۰۵۲ برداشت شده که در نمونه‌های ۱۰۱۴، ۱۰۱۳ و ۱۰۱۶ تعداد مس بالا می‌باشد در نمونه ۱۰۱۶ مقدار طلا قابل توجه است و در نمونه ۱۰۱۵ ارسنیک از میزان بالایی برخوردار است.

آنومالی شماره ۴۰

موقعیت جغرافیایی این محدوده آنومال در برگه ۱ چادگل، جنوبشرقی آغین و شمال ۵۰... کلجک واقع شده است.

دو نمونه ژئوشیمیایی از میان نمونه‌های برداشت شده از این منطقه امتیاز آماره و احتمال رخدادش برای عناظر Cu و V بالا بوده است و نیز نمونه‌های ژئوشیمی ۲۲۷، ۲۲۶، ۲۲۵ و ۲۲۸ دارای میزان Au بالای بوده‌اند و اینها سنگی این منطقه شامل دیوریت، کوارتز دیوریت، گرانودیوریت و گرانیت می‌باشد.

در مرحله کنترل ناهنجاریهای ژئوشیمیایی این محدوده ۲ نمونه کانی سنگین ۲۴۳ و ۲۴۴ برداشت شده که در آن‌ها کانیهای شلیت، باریت، گارنت، پیریت، طلا، مالاکیت، میمیتیت و گالن گزارش شده است.

در زون مینرالیزه این محدوده، ۳ نمونه مینرالیزه به شماره‌های ۱۰۴۹، ۱۰۵۰ و ۱۰۵۱ برداشت شده که در آنها مقدار عناظر نقره، ارسنیک و جیوه قابل توجه می‌باشد.

آنومالی شماره ۴۱

موقعیت جغرافیایی این محدوده آنومال در شمال برگه نزوك، جنوب سر جنگل واقع شده

است. در این محدوده آلتراسیون آرژیلیتی دیده شده است.

واحدهای سنگی مشخص شده در این محدوده در روی نقشه زمین‌شناسی $\frac{1}{100,000}$ شامل

کنگلومرای نئوژن می‌باشد. نمونه ژئوشیمیایی ۲۵۲ که از این محدوده برداشت شده است در

آمارهٔ فاکتوری نسبت به عنصر Sb غنی‌شدنی نشان دارد.

در مرحله کنترل ناهنجاریهای ژئوشیمیایی این محدوده نمونه کانی سنگین ۲۵۱ برداشت

شده که در آن کانیهای باریت، گارنت، کالکوپیریت و مالاکیت گزارش شده است.

در زون میزالیزه این محدوده، یک نمونه میزالیزه برداشت شده که از نظر عنصر جیوه قابل

توجه می‌باشد.

آنومالی شماره ۴۲

موقعیت جغرافیایی این محدوده در برگه $\frac{1}{50,000}$ چادگل جنوب شرق آغین، شمال کلجک واقع شده است.

تعداد چهار نمونه ژئوشیمی به شماره‌های ۳۲۷، ۳۲۹ و ۳۳۱ از این محدوده برداشت

شده که نسبت به عنصر طلا غنی‌شدنی نسبی از خود نشان می‌دهد.

واحدهای سنگی منطقه شامل ولکانیکهای حد راست، توف در مکانهای سیلیسی شده، گرانیت، گرانودیوریت، کوارتز دیوریت، پورفیریت و توف داسیتی سبز همراه میان دانه‌های ماسه سنگی می‌باشد.

در نقشه‌های ژئوفیزیک هوایی برای این محدوده، توده نفوذی نیمه عمیق و گسلهای بزرگ پوشیده مشخص شده است.

باتوجه به اینکه آنالیز عنصر طلا بعضی از نمونه‌ها بعد از مرحله کنترل ناهنجاریها از طرف آزمایشگاه اعلام شده، لذا مناطقی مانند همین آنومالی شماره ۴۲ وجود دارد که مورد کنترل قرار نگرفته است اما با در نظر گرفتن مقدار بالای عنصر طلا در نمونه‌های این محدوده لازم است که مدلسازی برای این محدوده انجام گیرد.

۵-پردازش داده‌های کانی سنگین

۱-رسم هیستوگرامها

هیستوگرام فراوانی ۲۵ متغیر شامل سینابر، الیژیست، مولیدنیت، میمتیت، مالاکیت، لیمونیت، منیتیت، هماتیت، اپیدوت، پیروکسن، آمفیبیول، بیوتیت، گارنت، کرومیت، شلیت، ایلمینیت، اسفن، روتیل، آپاتیت، زیرکن، باریت، پیریت‌اکسید، پیریت، گالن، کالکوپیریت در اشکال

۷-۷۵ تا ۷ نشان داده است (داده‌های خام ضمیمه بر روی CD آورده شده است). ارزش این هیستوگرامها یکسان نمی‌باشد. زیرا در بعضی تعداد نمونه‌ها در جامعه به حد کافی زیاد است.

بطوریکه می‌توان روند تغییرات را پیش‌بینی نمود، ولی در بعضی بعلت کمی تعداد موارد اندازه‌گیری شده، روند تغییرات در هیستوگرام چنان مشخص نیست. لازم به توضیح است که لگاریتم مقادیر متغیرهای فوق در رسم هیستوگرام مورد استفاده قرار گرفته است. اکثر متغیرهای با تقریب نسبتاً خوبی توزیع لاغ نرمال از خود نشان می‌دهند و در غالب هستیتو گرام‌های ترسیم شده، متغیرها از خود خصلت دو مدی نشان می‌دهند. بخصوص متغیرهای پیریت، باریت، زیرکن، آپاتیت، اسفن، شلیت، گارنت، بیوتیت، آمفیبیولیت و لیمونیت.

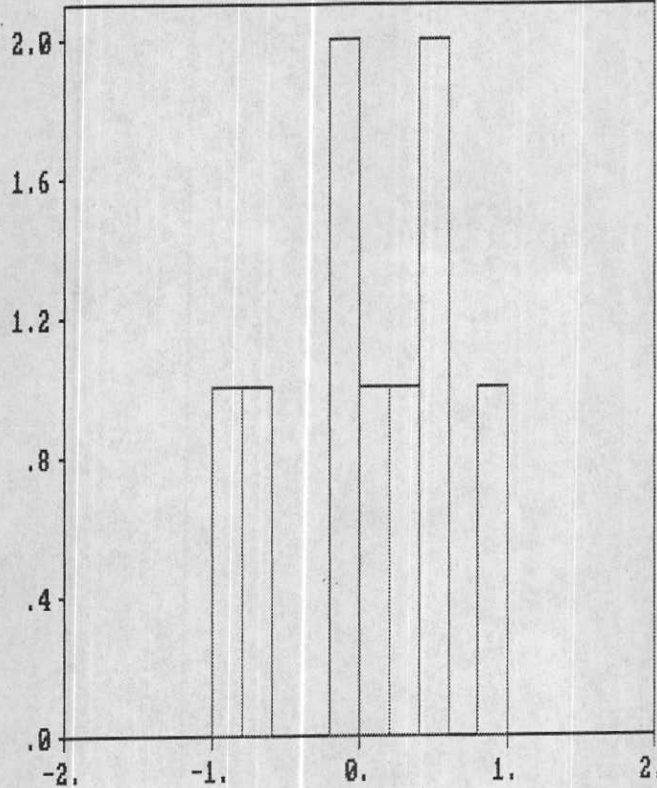
وجود دو جامعه در هیستوگرامهای ترسیم شده معرف وجود دو سیستم کاملاً متفاوت در محیط نمونه برداری است. یکی مربوط به سنگهای متعارف منطقه می‌باشد که کانی‌سازی خاصی در آنها مشاهده نمی‌گردد. و جامعه دوم به بخشی از سنگهای منطقه مربوط است که فعالیت‌های کانی‌سازی در آن فعال بوده است. با توجه به نوع کانی‌های مشاهده شده در مطالعات کانی سنگین نیز می‌توان گفت که کانی‌سازی‌های موجود یا مستقیماً در رابطه با سنگهای آذرین برونزددار منطقه بوده است و یا در رابطه با توده‌های نفوذی نیمه عمیق که در منطقه گسترش دارند، می‌باشد. که این مناطق با توجه به شواهد زمین‌شناسی و نقشه ژئوفیزیک هوایی منطقه عموماً در شمال شرق برگه خاور در برگه ۱/۵۰،۰۰۰ چاهگل گسترش دارند.

وجود اپیدوت بعنوان مناسب‌ترین ردیاب آتراسیون پروپیلیتی از اهمیت خاصی برخوردار است. این اهمیت وقتی آشکار می‌گردد که بخراهیم سهم مولفه‌های آتراسیون را از هوازدگی تا

حدی تفکیک کنیم. بدینه است محصولاتی چون آرژیلت (کائولینیت، مونتموریونیت و الیت)، کلریت و... می‌توانند هم در شرایط دگرسانی گرمابی و هم در شرایط هوازدگی در محیط اسیدی حاصل شوند. تمیز اینکه کدامیک از دو فرآیند فوق نقش اساسی در تشکیل این محصولات داشته است و یا هر دو پدیده فعال بوده‌اند. از طریق اندازه گیریهای دقیق ایزوتوپی امکان‌پذیر است. ولی حضور اپیدوت (وجود مجموعه پروپیلیتی) می‌تواند دلالت بر فعالیت‌های گرمابی داشته باشد.

Histogram
LN(Cinabre)

Frequency



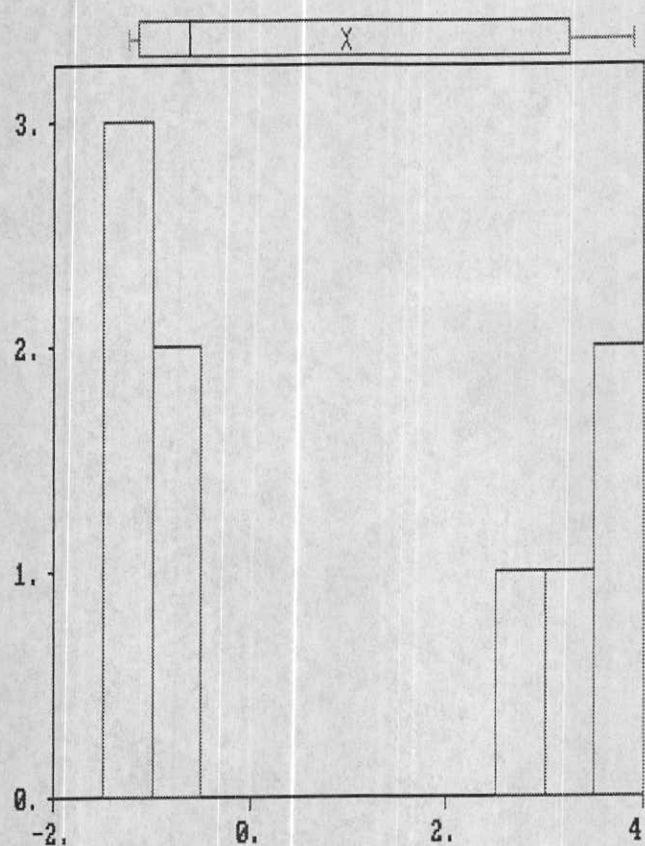
Statistics

N Total :	124
N Miss :	115
N Used :	9
Mean :	.047
Variance:	.299
Std. Dev:	.547
χ^2 C.V. :	1165.322
Skewness:	-.425
Kurtosis:	2.214
Minimum :	-.904
25th χ :	-.485
Median :	.045
75th χ :	.417
Maximum :	.812

شكل (٧-١)

Histogram
LN (Oligist)

Statistics

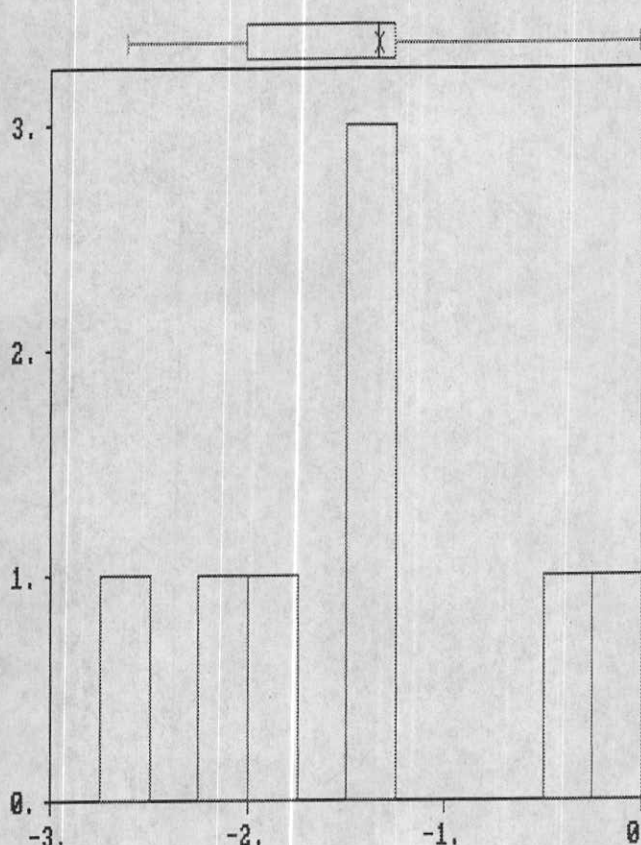


N Total :	124
N Miss :	115
N Used :	9
Mean :	.964
Variance:	5.521
Std. Dev:	2.350
% C.V. :	243.666
Skewness:	.240
Kurtosis:	1.127
Minimum :	-1.254
25th % :	-1.149
Median :	-.615
75th % :	3.238
Maximum :	3.906

(٧-٢) شكل

Histogram
LN(Molybdenite)

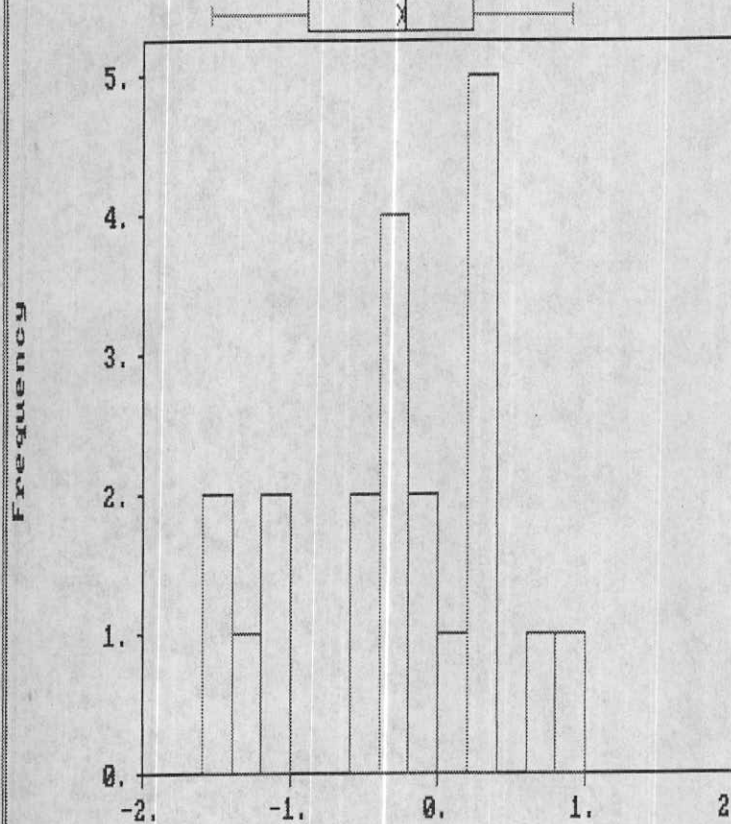
Statistics



N Total :	124
N Miss :	116
N Used :	8
Mean :	-1.333
Variance:	.725
Std. Dev:	.851
% C.V. :	63.841
Skewness:	.215
Kurtosis:	2.184
Minimum :	-2.612
25th % :	-2.008
Median :	-1.343
75th % :	-1.254
Maximum :	-0.013

(٧-٣) شكل

Histogram
LN(Mimetite)



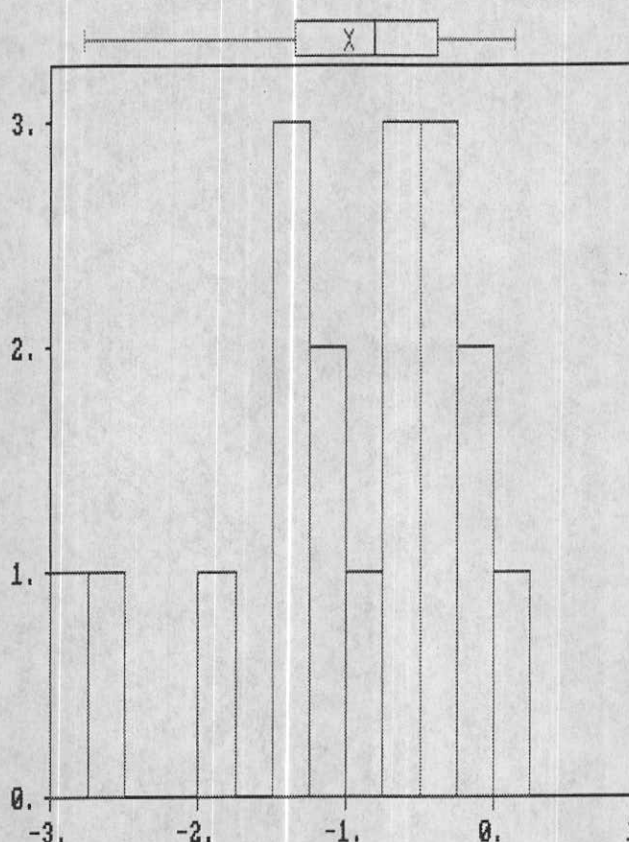
Statistics

N Total :	124
N Miss :	103
N Used :	21
Mean :	- .254
Variance:	.480
Std. Dev.:	.693
% C.V. :	272.703
Skewness:	- .341
Kurtosis:	2.223
Minimum :	-1.546
25th x :	- .895
Median :	- .225
75th x :	.232
Maximum :	.910

(٧ - ٤) شكل

Histogram
LN(Malachite)

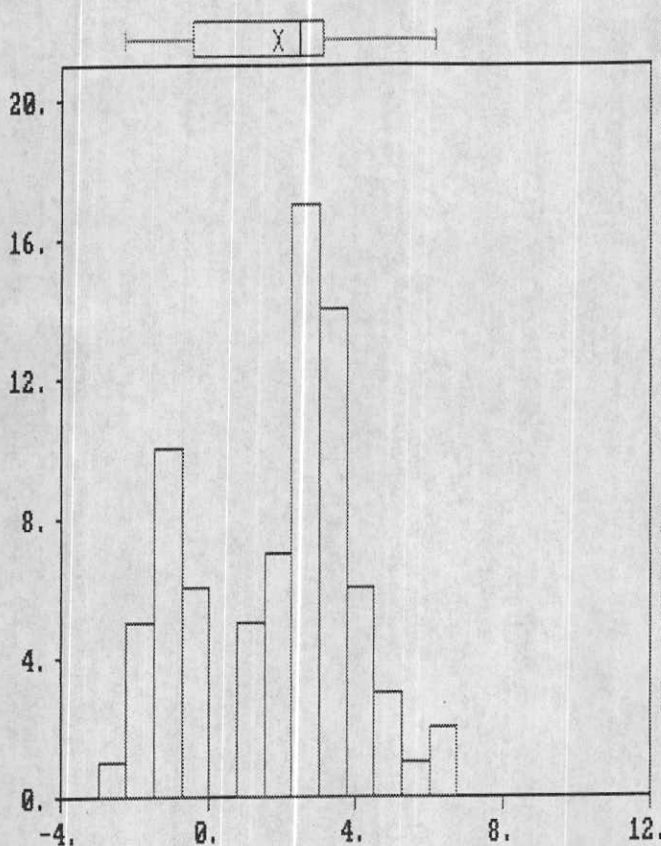
Statistics



(٧-٥) شكل

Histogram
LN(Limonite)

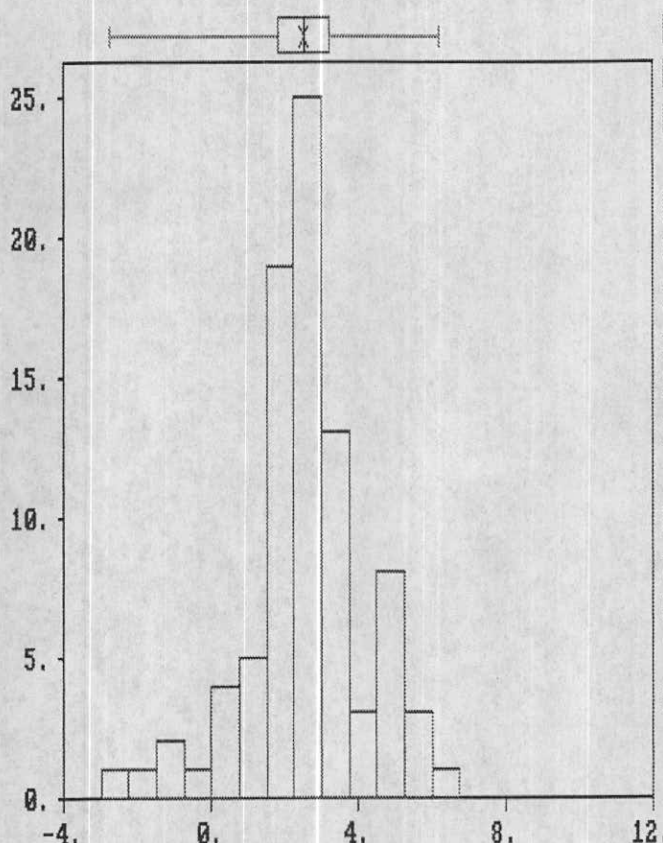
Statistics



(٧-٦) شكل

Histogram
LN(Light Minerals)

Statistics



(٧-٧) شكل

Histogram
LN (Magnetite)

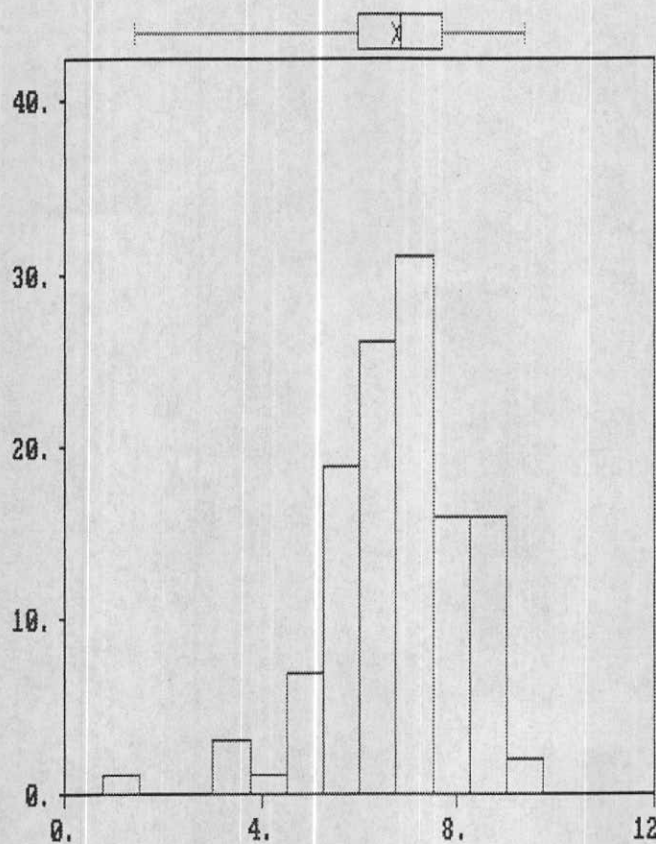
Statistics



شكل (٧-٨)

Histogram
LN(Hematite)

Statistics

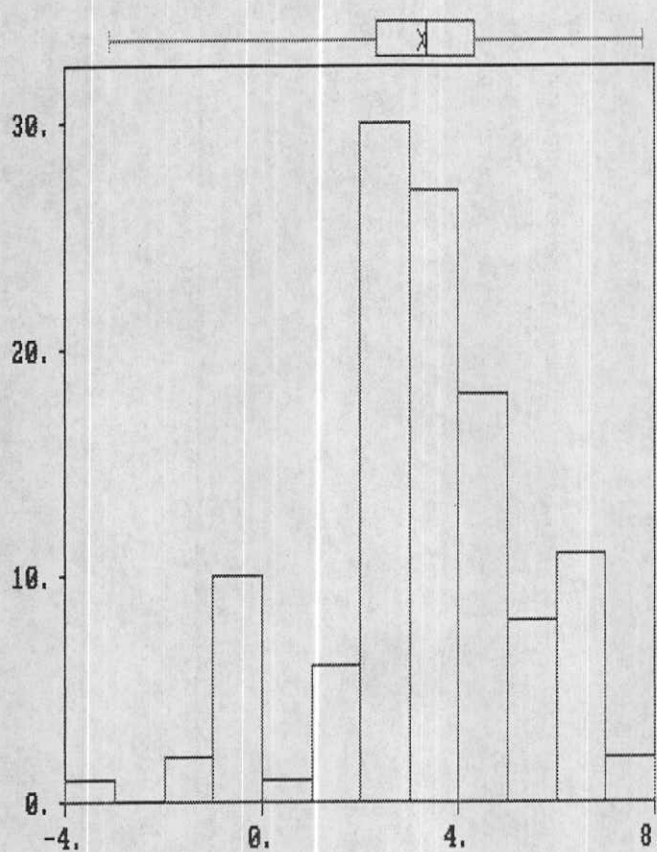


N Total :	124
N Miss :	2
N Used :	122
Mean :	6.758
Variance:	1.805
Std. Dev:	1.343
% C.V. :	19.878
Skewness:	- .736
Kurtosis:	4.424
Minimum :	1.413
25th % :	5.968
Median :	6.839
75th % :	7.682
Maximum :	9.380

(٧-٩) شكل

Histogram
LN (Epidots)

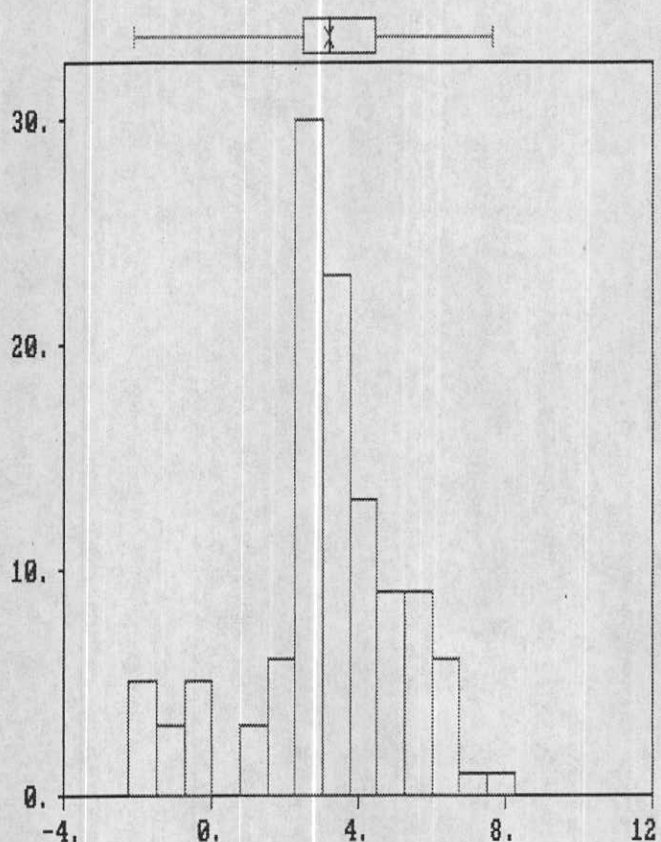
Statistics



شكل (٧-١٠)

Histogram
LN (Pyroxenes)

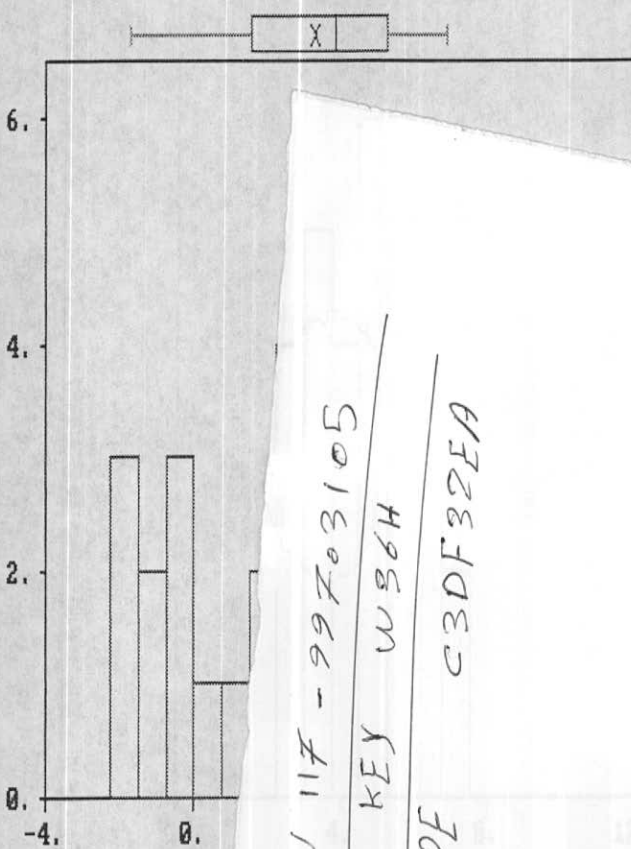
Statistics



شكل (٧-١١)

Histogram
LN (Amphiboles)

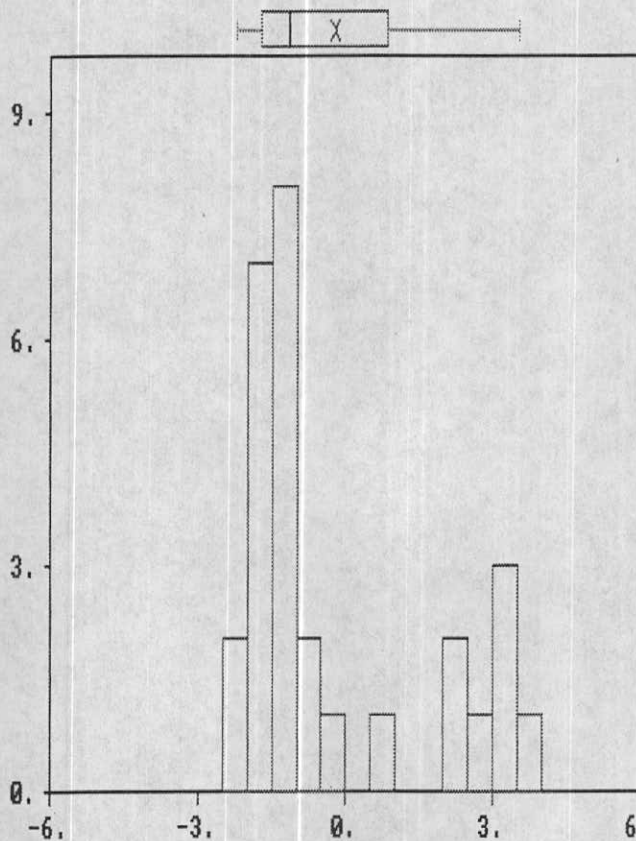
Statistics



S/N 117 - 99% 31.05
CD KEY W36H
CODE C3DF32EA

Histogram
LN (Biotite)

Frequency



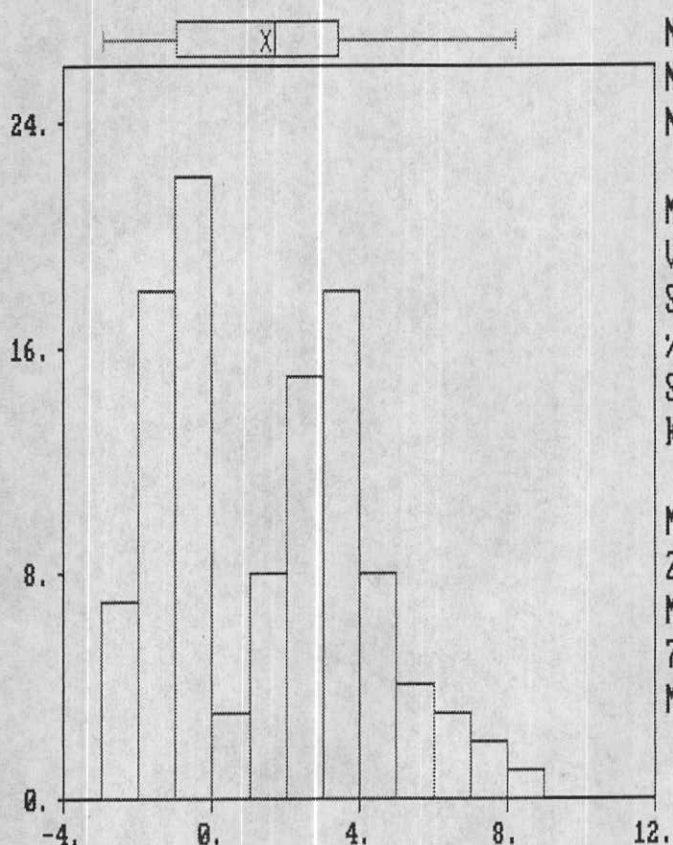
Statistics

N Total :	124
N Miss :	96
N Used :	28
Mean :	- .241
Variance:	3.952
Std. Dev:	1.988
% C.V. :	824.093
Skewness:	.941
Kurtosis:	2.229
Minimum :	-2.226
25th % :	-1.740
Median :	-1.145
75th % :	.830
Maximum :	3.534

شکل (١٣ - ٧)

Histogram
LN (Garnet)

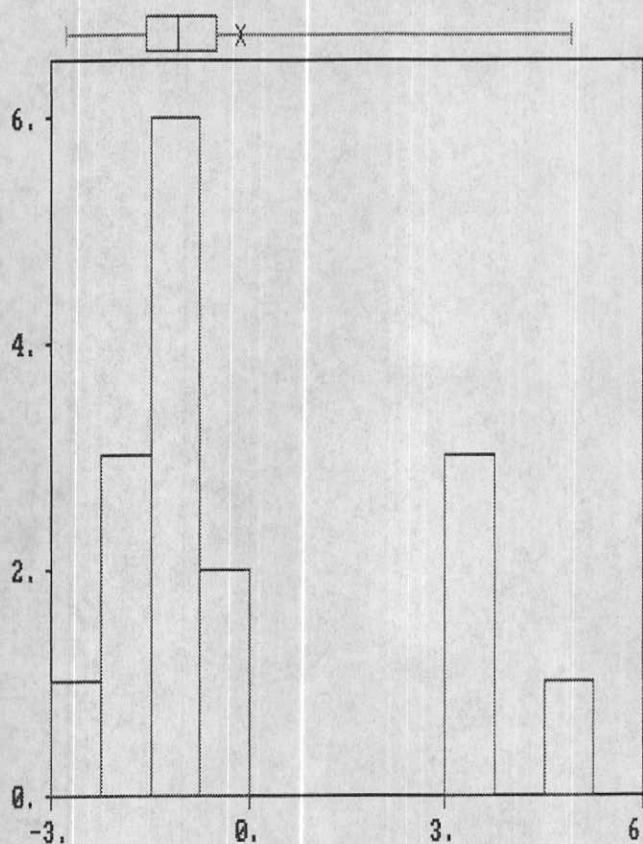
Statistics



(Y-١٤) شکل

Histogram
LN (Chromite)

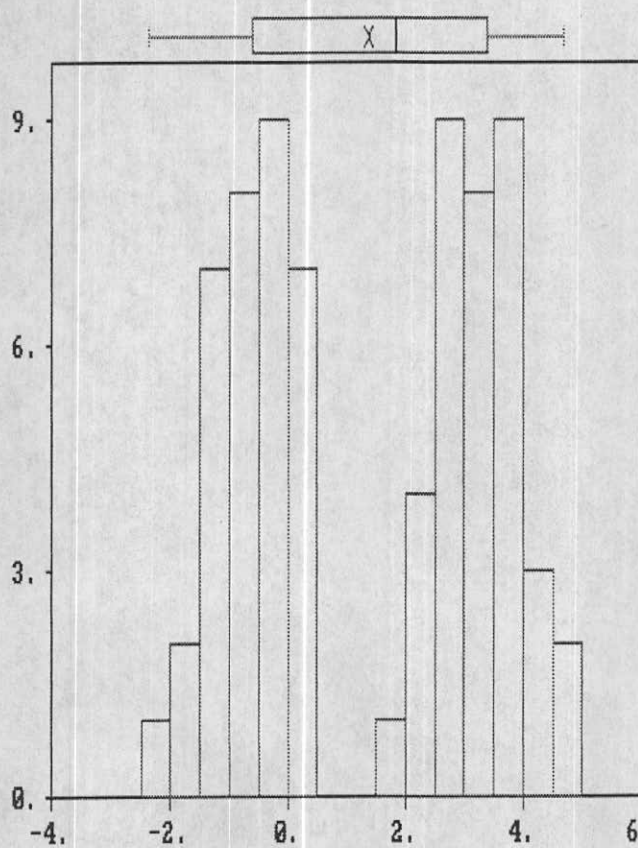
Statistics



(٧-١٥) شكل

Histogram
LN (Scheelite)

Statistics

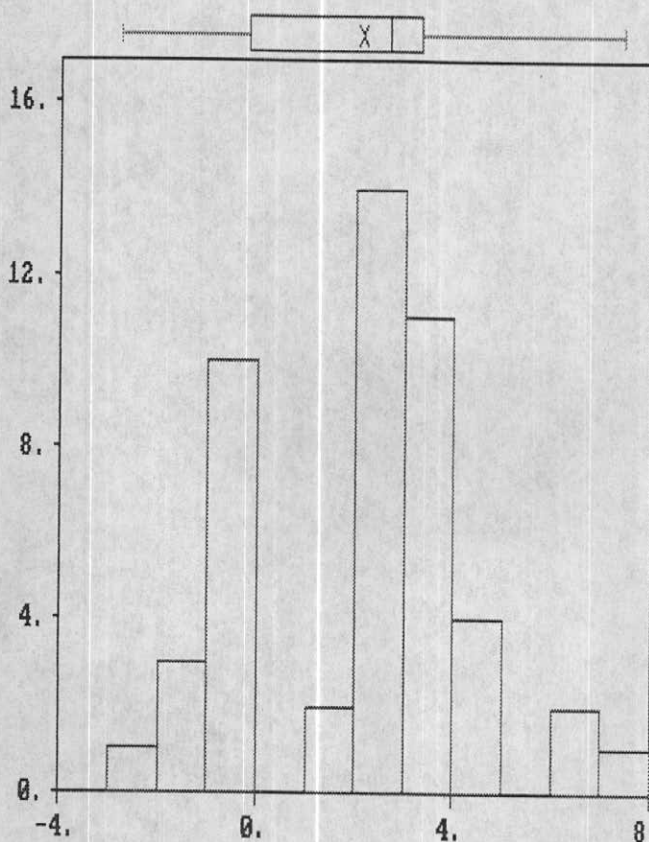


N Total :	124
N Miss :	54
N Used :	70
Mean :	1.387
Variance:	4.224
Std. Dev:	2.055
% C.V. :	148.179
Skewness:	-0.038
Kurtosis:	1.444
Minimum :	-2.393
25th % :	-0.621
Median :	1.847
75th % :	3.386
Maximum :	4.668

(V-16) جملہ

Histogram
LN (Ilmenite)

Statistics

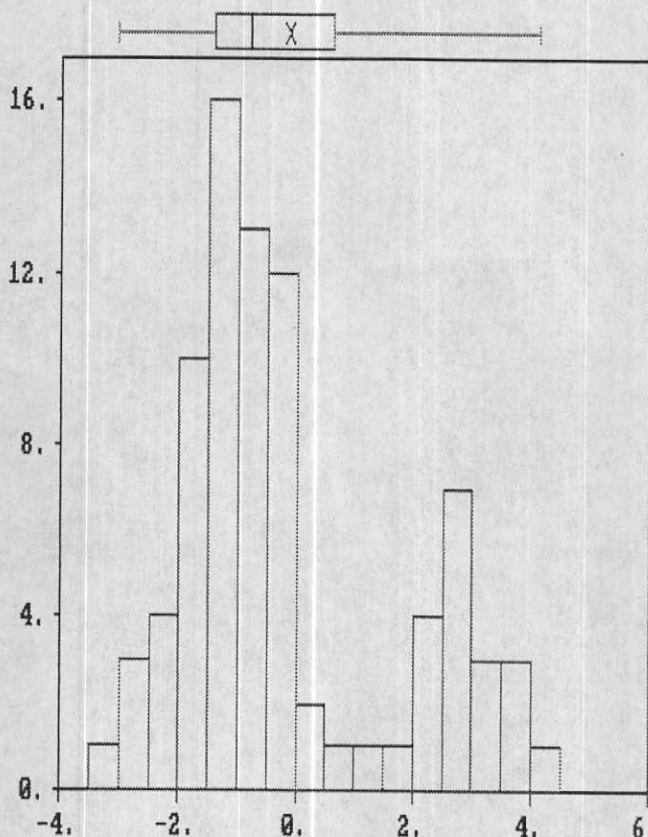


N Total :	124
N Miss :	76
N Used :	48
Mean :	2.095
Variance:	5.032
Std. Dev.:	2.243
\times C.V. :	107.094
Skewness:	-.195
Kurtosis:	2.641
Minimum :	-2.807
25th \times :	-.216
Median :	2.667
75th \times :	3.321
Maximum :	7.434

(٧-١٧) شکل

Histogram
LN (Sphene)

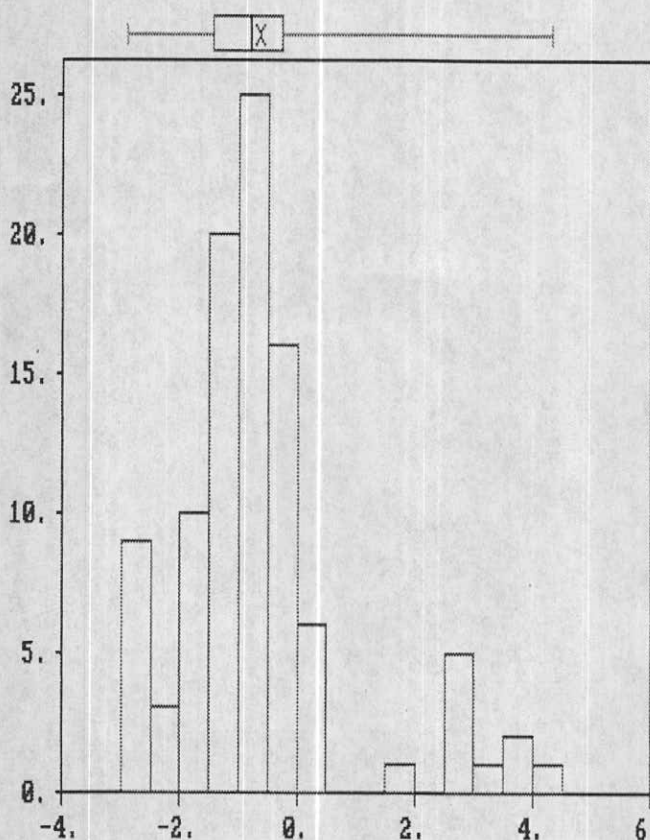
Statistics



(١٨-٧)

Histogram
LN (Rutile)

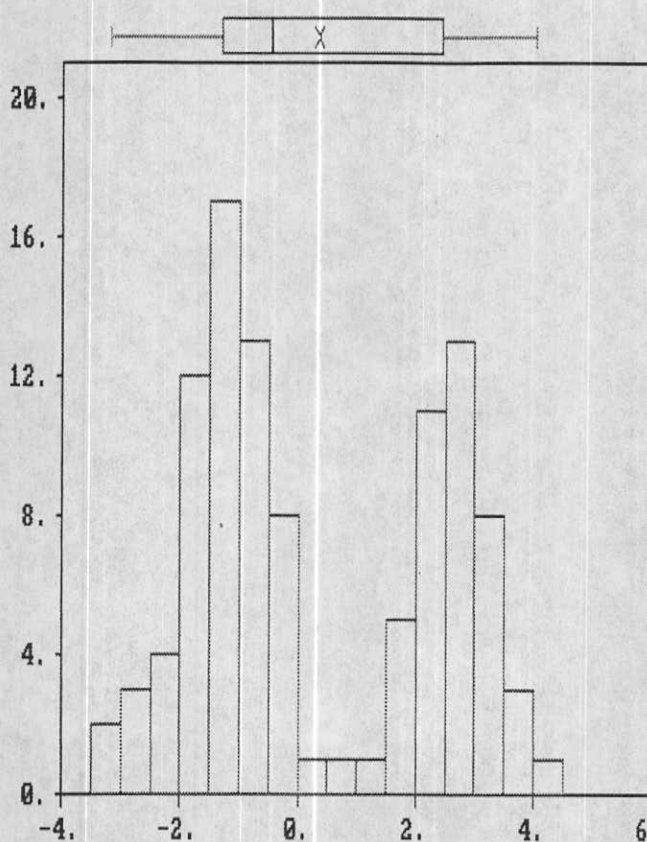
Statistics



(٧-١٩) شکل

Histogram
LN (Apatite)

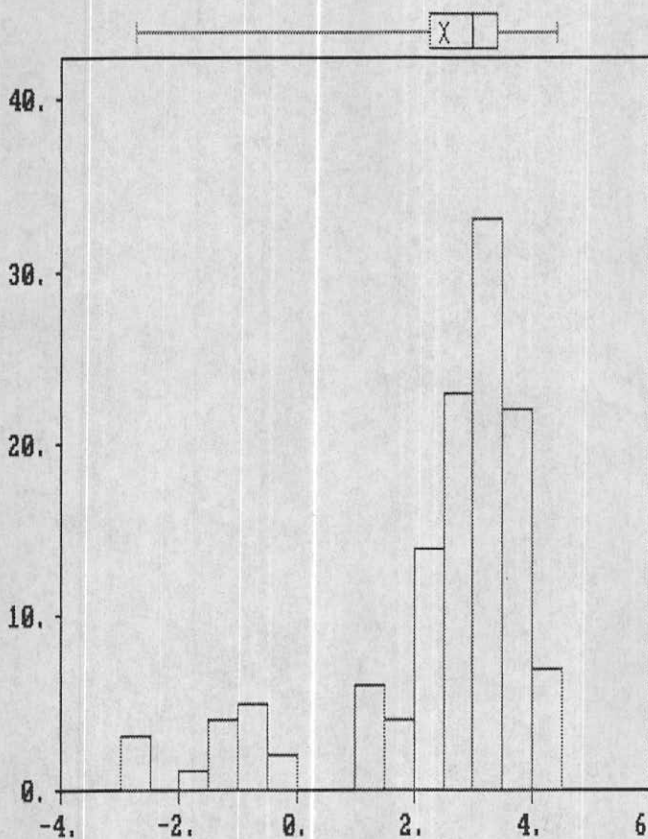
Statistics



(V-٢٠) شکل

Histogram
LN (Zircon)

Statistics

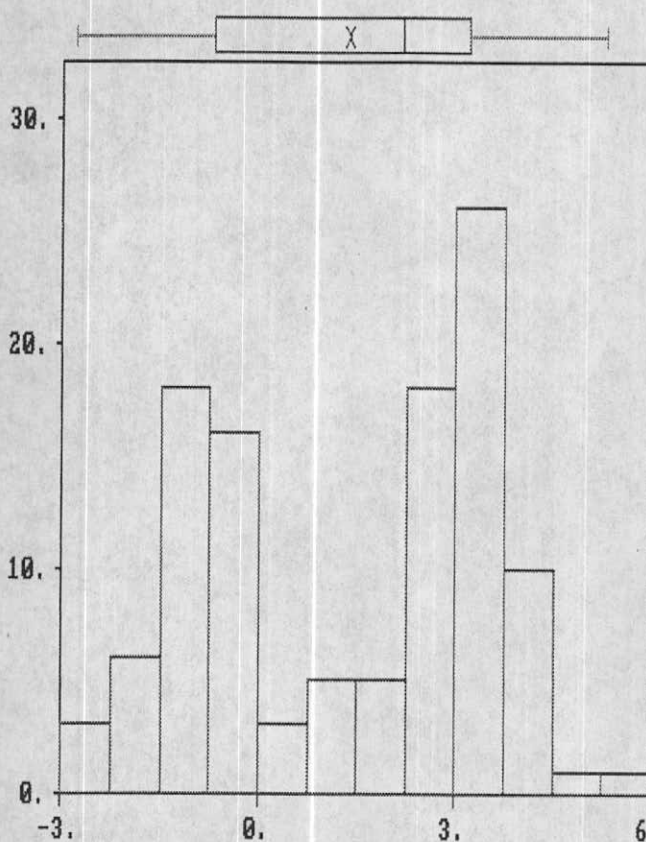


N Total :	124
N Miss :	0
N Used :	124
Mean :	2.511
Variance:	2.506
Std. Dev:	1.583
% C.V. :	63.033
Skewness:	-1.689
Kurtosis:	5.229
Minimum :	-2.743
25th x :	2.259
Median :	2.994
75th x :	3.415
Maximum :	4.420

(٧-٢١) شكل

Histogram
LN (Barite)

Statistics

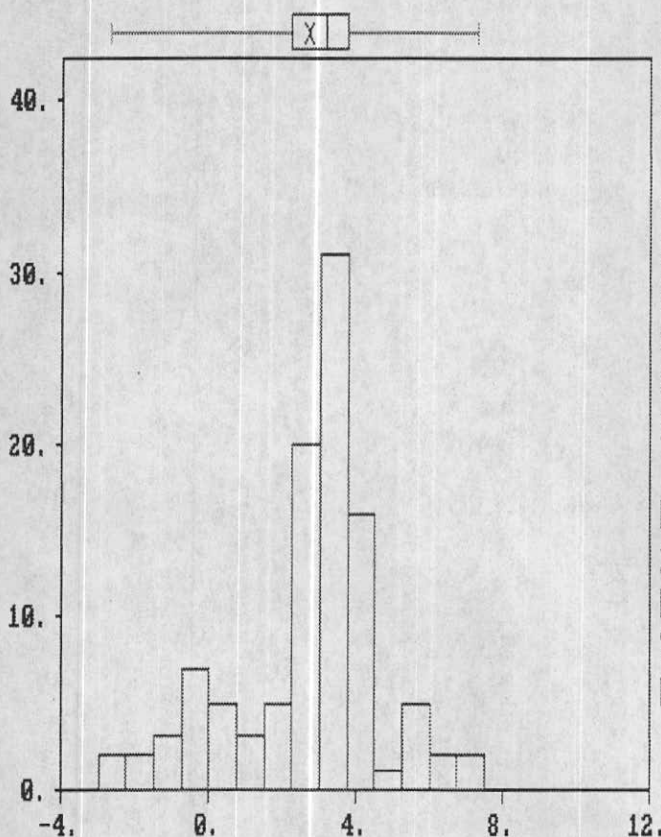


N Total :	124
N Miss :	12
N Used :	112
Mean :	1.362
Variance:	4.707
Std. Dev:	2.170
% C.V. :	159.328
Skewness:	-0.250
Kurtosis:	1.569
Minimum :	-2.813
25th % :	-0.718
Median :	2.190
75th % :	3.197
Maximum :	5.282

(٧-٢٢) شکل

Histogram
LN (Pyrite Oxidized)

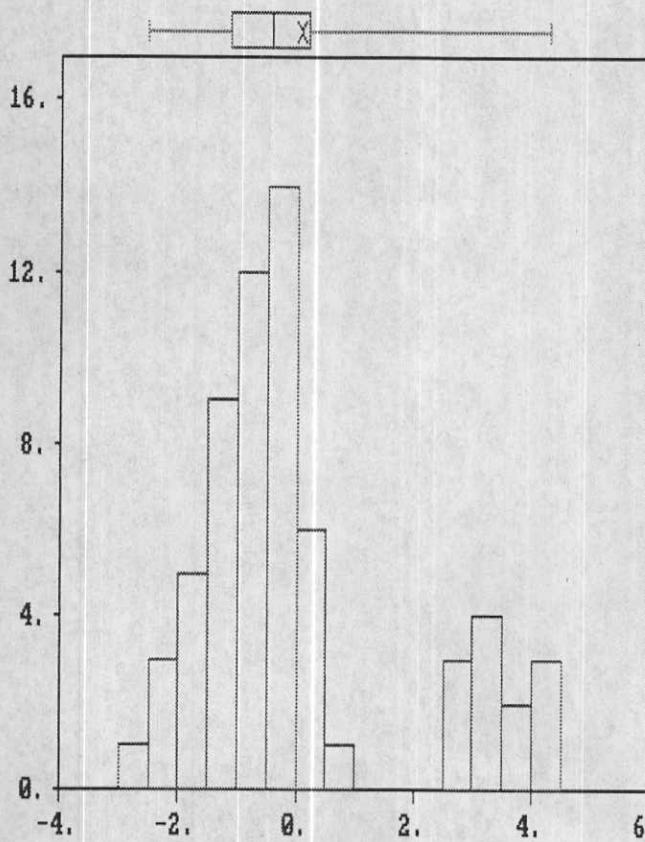
Statistics



(٧-٢٣) شکل

Histogram
LN (Pyrite)

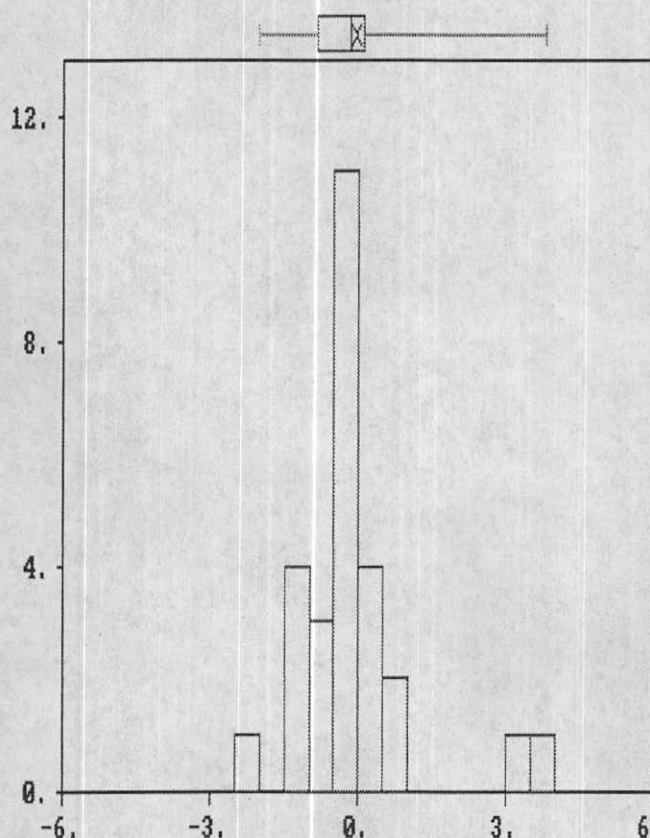
Statistics



(Y-٢٤) کل

Histogram
LN(Galena)

Statistics



(٧-٢٥) شکل

۵-۲- دیاگرام پراکندگی و آنالیز کلاستر

این نوع دیاگرامها می‌توانند برای درک ارتباط بین متغیرهای مختلف مفید واقع شوند. زیرا نحوه تغییرات یک متغیر را بحسب متغیر دیگر نشان می‌دهند. در شکل (۷-۲۶) ماتریس دیاگرام پراکندگی ۲۰ متغیر کانی سنگین که دارای تعداد نسبتاً قابل قبولی بوده‌اند، بصورت یکجا آورده شده است. این دیاگرام معرف آنستکه جز در مواردی محدود، این متغیرها ارتباط قوی با یکدیگر ندارند.

تنها ارتباطات قابل توجه عبارتند از: منیتیت - هماتیت، منیتیت - زیرکن، گالن - پیریت اکسید. برای تعیین ارتباط پاراژنزی بین متغیرهای مختلف و انتخاب مناسبترین متغیرها برای رسم نقشه توزیع کانی سنگین، اقدام به آنالیز چند متغیره به روش خوش‌ای (کلاستر) شده است. نتیجه این آنالیز در دندروغرام شکل (۷-۲۷) نشان داده شده است. چنانکه ملاحظه می‌شود در این دندروغرام متغیرها به صورت کلاسترهاي دوتایی و چندتایی به یکدیگر متصل شده‌اند. همانطور که در شکل (۷-۲۷) مشاهده می‌گردد. دو مجموعه عمدہ قابل تشخیص می‌باشد. و یک سری عناصر نیز که دارای تعداد بسیار کم موارد مشاهده شده‌اند می‌باشند از بقیه کلاسترها شده‌اند که شامل عناصر كالکپیریت، ولفنیت، گوتیت، کرومیت، طلا، پیروولوزیت، سیلیستین، پریدوت و تورمالین است. بنابراین در رابطه با ارتباط پاراژنزی این کانه‌ها نمی‌توان براساس نتایج کانی سنگین اظهار نظر نمود.

در دو خوش‌ه که ارتباط پاراژنزی نسبتاً قابل قبول‌تری را ارائه کرده‌اند، پاراژنهای زیر مشاهده می‌شود. در خوش‌ه اصلی کانه‌های گالن، پیریت، پیریت اکسید، پیرومورفیت، گارتنت، آزوریت، مالاکیت، ماسیکوت، اپیدوت، مولیبدونیت و آناتاز مشاهده می‌شود این کانه‌ها عمدتاً معرف کانی‌سازی‌های مرتبط با فعالیت‌های اپی‌ترمال احتمالاً طلا و کانی‌سازی‌های مس می‌توانند باشند.

و خوش‌ه دوم که شامل کانه‌های زیرکن، منیتیت، باریت، هماتیت، آپاتیت، اسفن، شٹلیت، میمیتیت، روتیل، لیمونیت، ایلمینیت و سینابراست. که می‌تواند مستقیماً در ارتباط با توده‌های

نفوذی یا هاله‌های کانسارهای مربوط با این توده‌ها باشد.

ولی با توجه اینکه تعداد مشاهده ذرات کانه‌های با ارزش در نمونه‌ها بسیار کم بوده است، لذا همبستگی‌ها و پارازیت‌های ارائه شده دارای سطح اعتماد بالای نیستند. لذا اقدام به ساخت سه متغیر زیر نموده‌ایم.

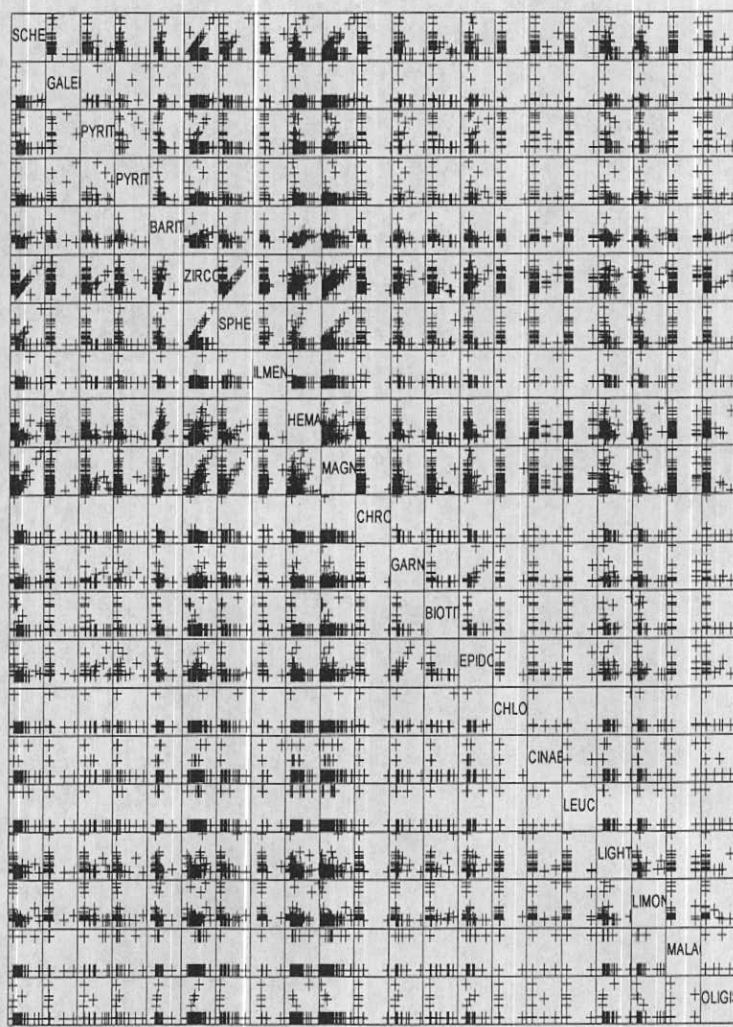
۱- مجموعه کانیهای آهن

۲- مجموع کانه‌های با ارزش و کانیهایی که در ارتباط مستقیم با کانی‌سازی یا هاله‌های کانی‌ساز احتمالی می‌توانند باشد شامل: طلا، شیلیت، میمتیت، سینابر، گالن، پیریت، پیریت‌اکسید، پیرومورفیت، آزوریت، مالاکیت، مولیبدنیت، سروزیت، کالکوپیریت، ولفنیت، کرومیت، مس طبیعی و باریت.

۳- اپیدوت که مناطق با فراوانی بالای این متغیر می‌تواند معرف وجود آتراسیونهای پروپیلیتی باشد.

کلیه متغیرهای ترکیبی فوق الذکر بر اساس مقادیر نرم‌الایز شده بین صفر و یک داده‌ها تهیه شده‌اند.

**Fig.7-26 : Scatter Plot of Heavy Mineral Variables
in Hana 1/100,000 Sheet .**



Dendrogram using Average Linkage (Between Groups)

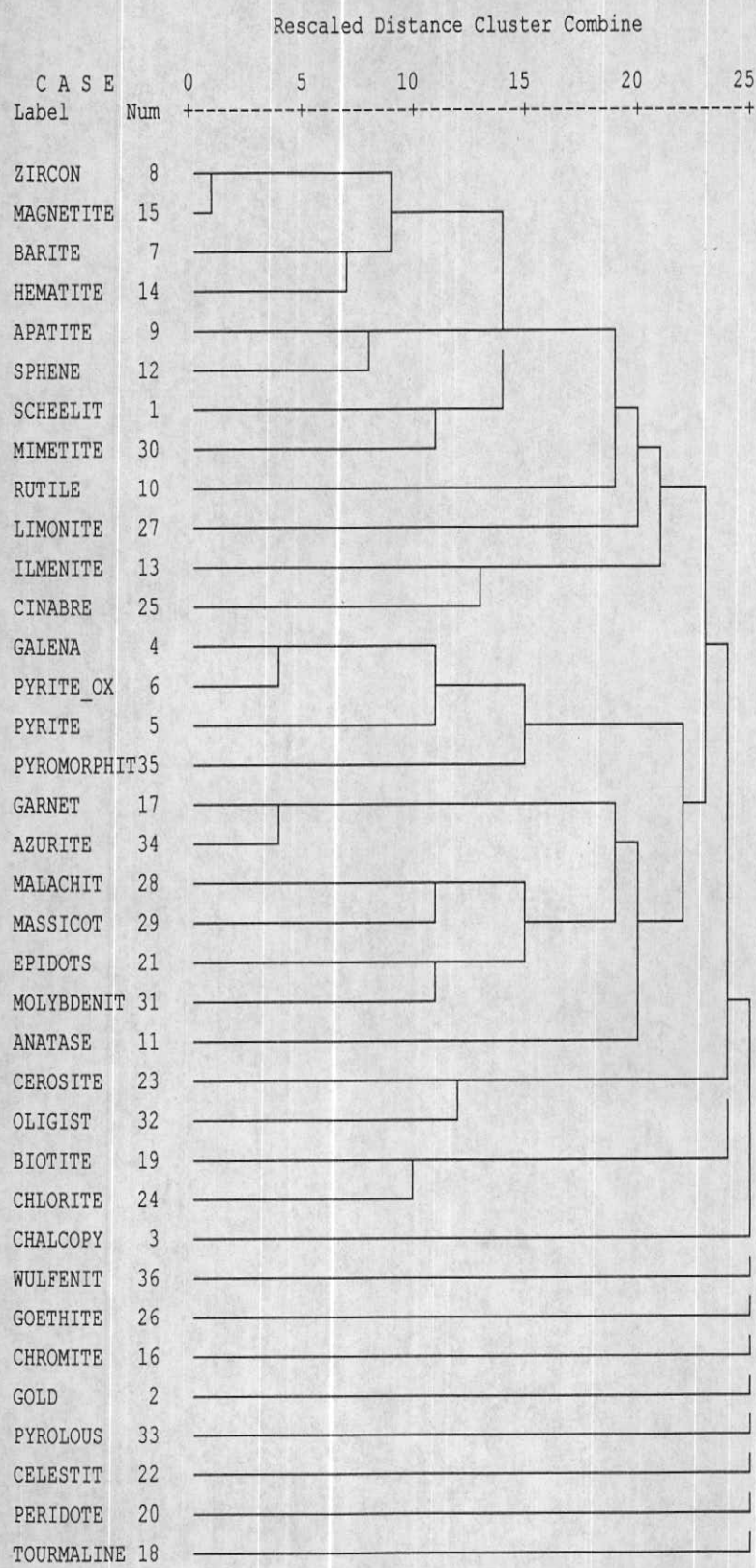


Fig. 7-27 : Dendrogram of Heavy Mineral Variables in Hana 1/100,000 Sheet .

۶- تخمین شبکه‌ای و رسم نقشه‌های متغیرهای کانی سنگین

تکنیک تخمین شبکه‌ای که اساس رسم نقشه ژئوشیمیابی و کانی سنگین را تشکیل می‌دهد، در فصول قبل گزارش مفصل‌ترشیح گردیده است. با استفاده از این تکنیک برای سه متغیر فوق الذکر، اقدام به رسم نقشه و نهایتاً مشخص کردن مناطق آنومال این متغیرها گردیده است. نقشه‌ها براساس فراوانی معادل ۲۵٪ و ۵۰٪ و ۷۵٪ رنگ‌آمیزی شده‌است و مقادیر بالای ۷۵٪ فراوانی بعنوان مناطق آنومال در نظر گرفته شده‌است.

مناطق آنومال بدست آمده برای متغیرهای کانی سنگین انطباق خوبی با هم داشته‌اند و بر محل بعضی از آنومالیهای ژئوشیمیابی نیز انطباق داشته‌اند. که در زیر به شرح مختصر مناطق آنومال بدست آمده می‌پردازیم.

آنومالی‌های کانی سنگین برکه ۱:۵۰،۰۰۰ چاهگل

۱- در شمال شرقی برگه محل نمونه شماره ۸۶۰ که به نام "زمین‌سیب" خوانده می‌شود دو متغیر اپیدوت و کانه‌های با ارزش آنومال می‌باشند.

۲- در شمال شرقی برگه در دره بنیزان و محل نمونه شماره ۶۹۷، ۶۹۶ و ۷۰۱ دو متغیر اپیدوت و کانه‌های با ارزش آنومال می‌باشد.

۳- در شمال شرقی برگه در انتهای دره بنیزان و محل نمونه شماره ۷۰۹ دو متغیر اپیدوت و کانه‌های با ارزش آنومال هستند.

۴- در شمال شرقی برگه و در انتهای دره بالای آغین محل نمونه‌های ۱۰۱۳، ۱۰۱۶ و ۱۰۱۵ دو متغیر اپیدوت و کانه‌های با ارزش آنومال می‌باشد.

۵- در شمال شرقی برگه در محدوده دره "رس سرخه" محل نمونه‌های ۷۰۳، ۷۰۵ و ۷۰۸ دو متغیر اپیدوت و کانه‌های با ارزش آنومال می‌باشند.

۶- در محدوده شرقی برگه واقع در جنوب شرقی "نکیسان" و محل نمونه‌های ۸۳۷، ۱۰۱۷، ۶۴۷، ۶۴۸، ۶۴۵ و ۶۴۹ هر سه متغیر کانی سنگین آنومال می‌باشند.

- در محدودهٔ شرقی برگه در محل نمونه‌های ۱۰۱۶ و ۵۴۵ متغیر اپیدوت آنومال می‌باشد و در محدودهٔ نمونه ۵۴۵ متغیر کانه‌های با ارزش آنومال می‌باشد.
- در محدودهٔ شمال برگه در محل نمونه‌های ۲۴۳، ۲۴۴ و ۲۳۶ هر سه متغیر کانی سنگین آنومال می‌باشند.
- در محدودهٔ جنوب برگه در محل نمونه ۲۴۸ متغیر کانه‌های با ارزش آنومال است.
- در جنوب و جنوب غربی برگه در محل نمونه‌های ۱۴۸، ۱۴۵ و ۲۴۶ متغیر که مجموع کانه‌های آهن آنومال است.
- در محدودهٔ شرق برگه در محل نمونه ۱۰۰۴ مجموع کانه‌های آهن دار آنومال می‌باشد.
- در محدودهٔ شمال شرق برگه محل نمونه ۶۵۱ مجموع کانه‌های با ارزش و آهن دار آنومال می‌باشد.
- در شمال شرق برگه محل نمونه ۶۵۴ مجموع کانه‌های آهن دار آنومال می‌باشد.-
- در شمال برگه در محدودهٔ نمونه ۳۱۷ مجموع کانه‌های آهن دار و با ارزش آنومال هستند.
- در شمال برگه در محل نمونه ۳۱۵ متغیر اپیدوت آنومال می‌باشد.

آنومالی‌های کانی سنگین برگه ۱:۵۰،۰۰۰ نروک

- در محدودهٔ شمال شرق برگه در محل نمونه ۶۰۹ متغیرهای مجموع کانه‌های آهن و کانه‌های با ارزش آنومال می‌باشند.
- در محدودهٔ شمالی برگه در محل نمونه ۴۷۲ دو متغیر اپیدوت و مجموع کانه‌های آهن آنومال هستند و در محل نمونه ۴۷۱ متغیر مجموع کانه‌های آهن آنومال است.
- در شمال برگه در رودخانه سرجنگل و در نمونه ۵۱۵ مجموع کانه‌های با ارزش و کانه‌های آهن آنومال می‌باشند.
- در سمت شرق رودخانه سرجنگل در محل نمونه ۲۵۱ مجموع کانه‌های با ارزش و آهن آنومال هستند.

۵- در شمال برگه در محدوده رودخانه سرجنگل در محل نمونه ۵۱۹ کانه‌های با ارزش و آهن دار آنومال هستند.

۶- در شرق برگه و در محل نمونه ۵۶۰ مجموع کانه‌های با ارزش آنومال هستند.

آنومالی‌های کانی سنگین برگه ۱:۵۰،۰۰۰ پورکی

۱- در محدوده شرق برگه در شمال آبادی پورکی در محل نمونه ۴۱۴ مجموع کانه‌های با ارزش آنومال هستند و در آبراهه غربی محل فوق الذکر در محل نمونه ۴۱۵ مجموع کانه‌های آهن دار آنومال هستند.

۲- در محل شمال غربی در غرب آبادی سگین در محل نمونه ۲۸۲ مجموع کانه‌های با ارزش آنومال می‌باشند.

آنومالی‌های کانی سنگین برگه ۱:۵۰،۰۰۰ گرم

۱- در بخش جنوبی برگه در محل نمونه ۲۳ کلیه سه متغیر کانی سنگین آنومال هستند.
۲- در محدوده مرکزی برگه در شمال شرقی مردهک و در محل نمونه ۱۱ مجموع کانه‌های آهن دار و با ارزش هستند.

۳- در محدوده غربی برگه محل برداشت نمونه آلوویوم ۶۷۶ مجموع کانه‌های آهن دار آنومال هستند.

۴- در محدوده مرکزی برگه در شرق آبادی مردهک و در محل نمونه ۱۰۰۰ مجموع کانه‌های آهن دار آنومال هستند.

۵- در شمال برگه و در محل برداشت نمونه آلوویوم ۲۶۹ مجموع کانه‌های آهن دار آنومال هستند.

۶- در شمال غرب برگه در محل نمونه ۶۵ مجموع کانه‌های با ارزش آنومال است.

۷- در محدوده غربی برگه و شمال غربی آبادی رودآب و در محل نمونه‌های ۹۳ و ۹۶ مجموع کانه‌های آهن دار آنومال می‌باشند.

۷-نتایج حاصل از نمونه‌های مینرالیزه

در بررسیهای اکتشافی ژئو شیمیایی ناحیه‌ای، بدلیل بروز خطای ناشی از تغییرات سنگ بستر، تغییر پذیری مقدار مواد آلی و عناصر جذب کننده مانند آهن و منکنز کلوئیدی و... فاز کنترل آنومالیها می‌تواند در انتخاب انواع مرتبط با کانی سازی بسیار مفید واقع گردد. در این پژوهه از طریق برداشت نمونه‌های کانی سنگین، نمونه‌های مینرالیزه احتمالی و آلتراسیون و نیز نمونه‌های سنگی از شکستگی‌های محل عبور محلولهای کانی‌ساز (Plumbing System) در محدوده آنومالیهای ژئو شیمیایی، به کنترل آنومالیهای ظاهری اولیه اقدام گردیده است. در اینصورت می‌توان نتایج حاصل از روش‌های مختلف در یک مدل را مورد بررسی قرار داد و از این طریق به ارزیابی نهایی مناطق آنومال پرداخت.

در این پژوهه در محدوده برگه ۱/۱۰۰،۰۰۰ حنا و در محدوده آنومالیهای ژئو شیمیایی اقدام به برداشت ۶۰ نمونه سنگی از زونهای مینرالیزه، دگرسان شده و سیستم‌های شکستگی محل عبور محلولها گردیده است. این نمونه‌ها در محدوده زونهای آنومالی یا در اطراف آنها از رگه‌ها، زونهای برشی، اکسید آهنه بر جا و یا از قطعات مینرالیزه در کف آبراهه‌ها برداشت گردیده است. تمامی ۶۰ نمونه جهت آنالیز شیمیایی به آزمایشگاه فرستاده شده است. که نتایج آن در جدول (۷-۱) آورده شده است.

۸-آنالیز ویژگی نمونه‌های مینرالیزه

این آنالیز جهت رتبه بندی نمونه‌ها و عناصر اندازه‌گیری شده صورت می‌پذیرد. این آنالیز عناصر کانساری را از جهت پتانسیل کانی سازی آنها رتبه بندی می‌کند. جدول (۷-۲) رتبه بندی نمونه‌ها را بر حسب پتانسیل نزولی آنها نشان می‌دهد. اعداد مربوط به رتبه هر یک از نمونه‌ها و متغیرها بر اساس رتبه‌های معادل ۱، ۲ و صفر بر ترتیب برای کانی سازی کانساری، کانی سازی غنی شده و کانی سازی پراکنده و عقیم هر یک از عناصر در نمونه محاسبه گردیده است. بدینصورت که در ماتریس نمونه - عنصر مقدار فراوانی یک عنصر یا در حد کانی سازی

کانساری، یا در حد کانی سازی غنی شده و یا در حد کانی سازی پراکنده بوده است. در اینصورت برای هر یک به ترتیب اعداد ۱، ۲ و صفر در ماتریس ذکر شده قرار داده می‌شود. ماتریس حاصل یکبار برای متغیرهای عنصری و یکبار برای نمونه‌ها آنالیز ویژگی می‌شود. داده‌های این جدول معرف آنستکه بیشترین امتیاز کسب شده برای کانی سازی در نمونه HCM - 1042 با ۳۶/۱۴ امتیاز و می‌نیم آن یعنی صفر در چندین نمونه مشاهده می‌شود. به منظور تعیین پتانسیل کانی سازی نسبت به عناصر کانساری در محدوده برگه ۱/۱۰۰،۰۰۰ آمدۀ حنا، آنالیز ویژگی برای عناصر نیز صورت پذیرفته است. که نتیجه آن در جدول (۳-۷) آمده است. داده‌های این جدول معرف آنستکه بیشترین پتانسیل کانی سازی در نمونه‌های مینرالیزه متعلق به جیوه با امتیاز ۶۴/۴۷ و به ترتیب نزولی مربوط به Au با ۷۷/۳۶، Cu با ۴۰/۳۶، As با ۳۲/۳۶، Mo با ۴۹/۴۳ و Zn با ۴۶/۳ و Bi با ۲۱/۱۱، Ag با ۸۰/۹، W با ۹۰/۴ و Pb با ۶۱/۳۱ می‌باشد. امتیاز عناصر Sn و Sb در این آنالیز صفر است که نشان از عدم وجود پتانسیل کانی سازی در این منطقه دارد.

Table 7 - 1 : Analytical Results of Mineralized, Plumbing System And Alteration Samples in Hana 1:100,000 Sheet.

Sample No.	Au	Cu	Pb	Zn	Ag	Sn	B	Ni	Co	Mn	Be	W	Mo	As	Sb	Bi	Hg
HGM 1001	0.0014	15.0	4.400	140.000	0.070	2.000	10.000					0.500	1.200	211	0.810	0.140	0.054
HGM 1002	0.0015	68.0	10.500	110.000	0.094	2.100	10.000					2.250	2.940	8	0.460	0.280	0.057
HGM 1003	0.0016	265.0	16.000	30.000	0.150	2.000	28.000					0.500	1.200	7	0.280	0.100	0.058
HGM 1004	0.0008	19.0	3.200	64.000	0.066	2.000	10.000	-				0.820	0.520	6	0.310	0.140	0.050
HGM 1005	0.0080	320.0	16.500	140.000	0.270	6.400	170.000					0.500	7.040	6	2.320	54.300	0.062
HGM 1006	0.0007	7.1	2.000	49.000	0.035	2.000	10.000					0.750	1.700	20	2.080	0.230	0.051
HGM 1007	0.0010	15.0	4.000	110.000	0.040	2.000	10.000					1.520	5.100	76	0.460	0.230	0.050
HGM 1008	0.0028	36.0	2.000	76.000	0.052	2.000	10.000					0.500	1.060	5	0.190	0.410	0.050
HGM 1009	0.0008	20.0	7.200	91.000	0.046	2.000	10.000					0.500	0.900	11	0.160	0.100	0.051
HGM 1010	0.0021	140.0	13.000	76.000	0.070	2.400	12.500					7.000	90.000	120	5.700	0.230	0.056
HGM 1011	0.0230	180.0	52.000	54.000	0.400	2.800	10.000					1.190	52.000	47	0.430	5.150	0.063
HGM 1012	0.0007	25.0	8.500	120.000	0.088	2.100	10.000					0.500	1.960	4	0.340	0.100	0.060
HGM 1013	0.0050	9434.0	8.800	54.000	4.200	2.800	37.000					0.500	2.140	7	0.280	3.740	0.070
HGM 1014	0.0250	41420.0	8.000	20.000	11.000	2.000	31.000					0.500	1.200	35	0.800	9.410	0.080
HGM 1015	0.0020	16.0	2.000	100.000	0.060	2.000	10.000					0.500	0.940	4739	1.280	0.100	0.054
HGM 1016	0.0270	1400.0	6.800	105.000	1.200	2.700	10.000					0.860	3.600	67	0.600	1.030	0.072
HGM 1017	0.0018	360.0	8.800	78.000	0.160	2.300	11.000					0.500	1.140	5	1.220	0.100	0.061
HNM 1018	0.0012	19.0	3.600	30.000	0.049	3.000	650.000					0.620	1.800	16	2.070	0.610	0.062
HNM 1019	0.0025	11.0	3.400	25.000	0.058	2.400	370.000					0.500	1.280	54	0.230	0.610	0.059
HNM 1020	0.0014	16.0	12.000	40.000	0.049	2.000	20.000					0.500	1.140	12	0.230	0.100	0.062
HNM 1021	0.0012	69.0	19.000	66.000	0.110	2.000	21.000					0.500	1.240	5	0.370	0.100	0.061
HGM 1023	0.1000	55.0	645.000	20.000	5.400	3.600	10.000					5.990	3.200	101	24.400	15.900	0.076
HCM 1024	0.0020	16.0	7.000	105.000	0.100	2.000	13.000					57.000	2.040	1090	0.910	1.260	0.050
HCM 1025	0.0016	58.0	8.800	52.000	0.056	3.900	960.000					0.670	1.860	44	0.570	0.230	0.063
HCM 1026	0.0025	5.7	8.000	230.000	0.076	2.000	10.000					0.570	0.960	240	1.050	0.140	0.053
HCM 1027	0.0023	7.6	8.800	170.000	0.062	2.000	17.000					0.710	1.540	237	2.500	0.100	0.054
HCM 1028	0.0018	46.0	36.000	64.000	0.082	2.600	10.000					1.140	4.100	11	1.190	0.510	0.061
HCM 1029	0.0540	280.0	44.000	35.000	3.500	5.800	10.000					2.380	310.000	186	6.650	4.490	0.065
HCM 1031	0.0630	20520.0	77.000	20.000	1.300	2.900	10.000					5.700	50.000	948	9.100	1.170	0.082
HCM 1032	0.0041	160.0	60.000	80.000	0.840	2.000	10.000					2.190	1.820	139	1.140	3.930	0.072
HCM 1033	0.0046	550.0	54.000	105.000	0.180	2.700	10.000					0.480	2.280	187	1.050	0.470	0.065
HCM 1034	0.0045	23.0	28.000	20.000	0.048	2.400	16.000					1.380	2.200	11	0.880	0.280	0.062
HCM 1035	0.0013	26.0	14.000	31.000	0.058	2.600	58.000					0.860	1.060	12	0.450	0.420	0.064
HCM 1036	0.0010	3.8	46.000	94.000	0.120	2.000	10.000					0.500	0.800	55	0.340	0.330	0.050
HCM 1037	0.0013	5.2	2.000	59.000	0.048	2.000	10.000					0.500	1.480	19	0.260	0.100	0.055
HCM 1038	0.0029	110.0	19.000	190.000	0.160	2.500	45.000					0.500	1.700	29	0.850	0.100	0.056
HCM 1040	0.0028	36.0	6.400	78.000	0.098	2.000	11.000					0.500	1.700	11	0.510	0.100	0.058

Table 7 - 1 : Analytical Results of Mineralized, Plumbing System And Alteration Samples in Hana 1:100,000 Sheet.

Sample No.	Au	Cu	Pb	Zn	Ag	Sn	B	Ni	Co	Mn	Be	W	Mo	As	Sb	Bi	Hg
HCM 1041	0.0033	180.0	11,000	46,000	0.052	2,000	11,500					2,000	3,980	7	0.450	0.100	0.060
HCM 1042	0.5200	7268.0	1700,000	115,000	75,000	3,700	1700,000					190,000	8,100	107640	23,900	1900,000	0.100
HCM 1043	0.0018	30.0	20,000	44,000	0.092	2,000	12,000					1,090	5,100	14	0.110	1,830	0.066
HCM 1044	0.0054	26.0	24,000	100,000	0.120	2,000	24,000					2,040	4,100	752	1,850	1,080	0.086
HCM 1045	0.0024	180.0	24,000	135,000	0.940	2,000	16,000					1,000	2,540	115	0.710	1,260	0.064
HCM 1046	0.0690	780.0	2100,000	590,000	43,500	19,000	28,000					6,700	11,800	775	0.910	68,300	0.065
HCM 1047	0.0019	62.0	30,000	68,000	0.092	2,000	10,000					0,500	1,400	35	0.280	0.980	0.075
HCM 1049	0.0015	8.8	5,800	26,000	0.097	21,000	92,000					0,950	3,100	31	1,310	3,040	0.062
HCM 1050	0.0009	19.0	2,200	100,000	0.092	2,500	10,000					0,500	2,700	307	0.510	1,260	0.055
HCM 1051	0.0630	15.0	780,000	220,000	16,500	2,600	36,000					5,200	1,960	775	35,200	1,220	0.100
HCM 1052	0.0018	78.0	12,000	54,000	0.120	4,000	14,000					3,280	1,520	12	0,600	1,260	0.066
HGM 1053	0.0008	40.0	15,000	115,000	0.086	2,200	10,000					0,860	0,960	7	0,680	0,420	0.062
HPM 1054	0.0007	26.0	9,400	59,000	0.130	2,200	10,000					0,710	1,800	14	0,400	0,700	0.055
HNM 1055	0.0010	110.0	19,000	64,000	0.092	3,500	21,000					0,710	0,900	4	0,260	0,280	0.061
HCM 1056	0.0021	390.0	13,000	140,000	0.780	6,600	10,000	6,900	18,000	2300,000	2,200	41,400	5,640	5	0,820	10,500	0.079
HCM 1057	0.0120	5643.0	15,000	150,000	7,200	4,400	10,000	7,300	14,000	640,000	1,100	2,760	1,880	10	0,930	0,980	0,100
HCM 1058	0.0110	17100.0	88,000	370,000	21,000	3,700	10,000	2,000	66,000	1000,000	1,100	1,790	18,800	8	1,040	1,800	0,110
HCM 1059	0.0015	6.8	4,800	120,000	0.062	2,200	68,000	4,400	2,800	1800,000	16,000	0,500	6,960	84562	13,200	0,700	0,072
HCM 1060	0.0012	4.1	2,600	78,000	0.040	2,000	10,000	2,600	2,000	580,000	1,100	0,690	0,500	1911	0,660	0,290	0,055
HCM 1061	0.0026	9.6	7,300	20,000	0.046	2,000	20,000	6,900	2,000	50,000	0,660	0,620	3,900	2	0,500	0,200	0,094
HCM 1062	0.0012	34.0	20,000	200,000	0,320	2,900	11,000	3,300	4,600	240,000	1,000	2,210	5,240	15	0,500	1,680	0,089
HCM 1063	0.0015	24.0	17,000	29,000	0.046	4,800	12,000	3,200	2,300	520,000	1,300	1,400	2,350	7	0,500	0,250	0,072
HCM 1064	0.0023	42.0	23,000	86,000	0.095	4,400	40,000	8,100	5,800	92,000	4,700	2,520	6,280	834	1,780	0,440	0,083

Table 7-2: Results of Characteristic Analysis for Mineralized Samples Based on Ginsburg Limits in Hana 1/100,000 Sheet .

Sample No.	Rank of Score	Sample No.	Rank of Score
HCM- 1042	36.14	HCM- 1037	7.62
HCM- 1031	25.87	HCM- 1038	7.62
HCM- 1058	25.16	HCM- 1040	7.62
HCM- 1046	23.13	HCM- 1041	7.62
HCM- 1051	19.72	HCM- 1043	7.62
HGM- 1014	18.95	HCM- 1045	7.62
HCM- 1057	18.95	HCM- 1047	7.62
HCM- 1023	17.03	HCM- 1049	7.62
HCM- 1029	16.12	HCM- 1050	7.62
HGM- 1013	15.03	HCM- 1052	7.62
HGM- 1016	14.66	HGM- 1053	7.62
HGM- 1015	14.49	HPM- 1054	7.62
HCM- 1059	14.49	HNM- 1055	7.62
HCM- 1060	14.49	HCM- 1056	7.62
HGM- 1011	11.09	HCM- 1061	7.62
HCM- 1044	10.44	HCM- 1063	7.62
HCM- 1064	10.44	HGM- 1004	0.00
HCM- 1024	10.00	HGM- 1007	0.00
HNM- 1018	8.49	HGM- 1008	0.00
HCM- 1025	8.49	HCM- 1036	0.00
HGM- 1010	8.00		
HCM- 1062	7.81		
HGM- 1001	7.62		
HGM- 1002	7.62		
HGM- 1003	7.62		
HGM- 1005	7.62		
HGM- 1006	7.62		
HGM- 1009	7.62		
HGM- 1012	7.62		
HGM- 1017	7.62		
HNM- 1019	7.62		
HNM- 1020	7.62		
HNM- 1021	7.62		
HCM- 1026	7.62		
HCM- 1027	7.62		
HCM- 1028	7.62		
HCM- 1032	7.62		
HCM- 1033	7.62		
HCM- 1034	7.62		
HCM- 1035	7.62		

Table 7-3 : Results of Characteristic Analysis for Variables in Mineralized Samples
Based on Ginsburg Limits in Hana 1/100,000 Sheet .

Variable	Rank of Score
Hg	64.47
Au	40.77
Cu	36.32
As	31.61
Pb	11.45
B	11.31
Bi	9.80
Ag	4.90
W	4.90
Mo	3.46
Zn	1.41
Sn	0.00
Sb	0.00

۹- مطالعه تغییر پذیری دانسیته گسلها

۹-۱ مقدمه

ارتباط کانی سازی با توسعه زونهای شکسته شده در شرح خدمات آمده است. از آنجاکه در تشکیل بسیاری از کانسارها، سیالات کانه ساز نقش اساسی دارند و برای حرکت آنها نیاز به کانالهایی در ابعاد مختلف (از چندین سانتی متر تا میکروسکوپی) می‌باشد (Plumbing System) و از طرفی توسعه چنین سیستمهایی از مجاری در زونهای شکسته شده (چه در مناطق کششی و چه در مناطق فشاری) متholmتر است. لذا مطالعه زونهای شکسته شده و مقایسه نقشه توزیع آنومالی‌ها با نقشه توزیع شکستگی‌ها می‌تواند در ارزیابی آنومالی‌ها مفید واقع شود نکته اساسی در این مورد آن است که زمان تشکیل شکستگی در این خصوص بسیار با اهمیت است. زیرا بدیهی است که تنها شکستگی‌هایی که قبلاً فعال شدن پدیده کانی سازی توسعه یافته باشند، می‌توانند در ایجاد کانالها و تسهیلات لازم جهت حرکت سیالات گرمابی و تشکیل کانسارهای تیپ اپی ژنتیک هیپوژن مؤثر باشند. بنابراین شکستگی‌هایی که بعد از کانی سازی توسعه می‌یابند ممکن است فقط بتوانند در توسعه هاله‌های ثانوی آنها و تشکیل زون غنی شدگی اکسید و یا احیائی از نوع اپی ژنتیک سوپر ژن مؤثر واقع شوند. البته توسعه شکستگی‌های نوع اخیر موجب تسهیل در فرآیند اکسیداسیون عناصر کانساری و در نتیجه افزایش قابلیت تحرک آنها و نهایتاً توسعه هاله‌های ثانویه آنها خواهد شد.

از آنجاکه در بررسیهای اکتشافی ناحیه‌ای در مقیاس ۱/۱۰۰،۰۰۰ اندازه‌گیری شکستگی‌ها امکان‌پذیر نیست. لذا توصیه شده است تا از طریق مطالعه دانسیته گسلها به محدوده زونهای بیشتر شکسته شده دست یافت. بدیهی است در زونهای کششی ممکن است شکستگی‌های توسعه یابند که همراه با گسلش نباشند. در این بررسی از نقشه زمین‌شناسی ۱/۱۰۰،۰۰۰ حنا و نیز در نظر گرفتن گسلهای گزارش شده در مطالعات رئو فیزیک هوائی استفاده شده است.

۲-۹- روش مطالعه

در این پژوهش روش مطالعه دانستیه گسلها، که می‌توان آن را تا حدودی منعکس کنندهٔ

دانستیه شکستگی‌ها فرض کرد، به شرح زیر بوده است:

۱- انتقال گسلهای موجود روی نقشه ژئو فیزیک هوایی بر روی نقشه زمین‌شناسی

۲- انتخاب مبدأ مختصات در گوشه جنوب غرب برگه زمین‌شناسی

۳- رسم شبکه مربعی به مساحت یک کیلومتر مربع برای نقشه زمین‌شناسی، بدین ترتیب

برای هر برگه زمین‌شناسی حدود ۲۵۰۰ سلول به مساحت یک کیلومتر مربع مشخص می‌گردد.

۴- اندازه‌گیری طول گسلهای موجود در هر واحد شبکه و سپس محاسبه حاصل جمع آنها

با زاء واحد سطح. در این مورد گسلهایی که دارای امتداد مختلف هستند، طول آنها بدون در نظر

گرفتن امتداشان در نظر گرفته می‌شود، زیرا اثر آنها و ایجاد شکستگی‌ها مشابه فرض می‌شود.

این حاصل جمع طول گسلها به مرکز همان واحد شبکه نسبت داده می‌شود.

۵- اندازه‌گیری آزموت گسلهای مختلف موجود در هر واحد شبکه و سپس رسم دیاگرام رز

آنها و تحلیل نتایج حاصل.

۶- مطالعه آماری مجموع طول گسلها و سپس رسم نقشه توزیع آن در هر برگه.

۳-۹- داده‌های خام

پس از انجام مراحل مشروح در بندهای ۱، ۲، ۳، ۴ و ۵ فوق، نتایج مربوط به مجموع گسلها همراه با مختصات هر سلول و آزموت آنها در جدول داده‌های خام خلاصه می‌شود (جدول ضمیمه برروی CD) در این جدول در هر واحد شبکه که گسل در آن وجود داشته یک عدد بعنوان مجموع طول گسلها ثبت گردیده است ولی ممکن است یک یا چندین آزموت اندازه‌گیری شده باشد که بستگی به تعداد گسلها و تنوع امتداد آنها در هر واحد شبکه دارد.

۴-۹-پارامترهای آماری مجموع طول گسلها

در محدوده برگه ۱/۱۰۰،۰۰۰ حنا از حدود ۲۵۰۰ واحد شبکه، در ۹۷۶ واحد مجموع طول گسلها اندازه‌گیری شده است که در حدود ۳۹٪ مساحت تحت پوشش را شامل می‌شود. شکل

۷-۲۸ هیستوگرام توزیع دانسیته گسلها را بر حسب متر بر کیلومتر مربع نشان می‌دهد. همانطور که ملاحظه می‌شود این کمیت توزیع فراوانی نزدیک به لاغ نرمال با چولگی مثبت دارد. متوسط طول گسلهای موجود در واحدهای شبکه دارای گسل ۱۰۸۰ متر می‌باشد. حداقل طول گسل موجود در یک واحد شبکه دارای گسل ۱۰ متر و حداکثر آن ۴۸۹۰ متر بوده است. مع الوصف با چنین تغییرات شدید دامنه اندازه‌گیریها، ضریب تغییرات این متغیر حدود ۷۷٪ است زیرا دامنه فوقانی آن محدود به تعداد اندکی است. رقم معادل ۷۵٪ فراوانی، حدود ۱۳۴۰ متر می‌باشد. این رقم برای رسم نقشه‌ها و تعیین محدوده‌های با شکستگی نسبی بالا ملاک قرار گرفته است. از آنجاکه این هیستوگرام تنها یکتابع توزیع را نشان می‌دهد نمی‌توان واحدهای مختلف لیتولوژیک را بر اساس میزان شکستگی‌های آنها طبقه‌بندی نمود.

۴-۵-پارامترهای آماری امتداد گسلها

شکل ۷-۲۹ هیستوگرام توزیع امتداد شکستگی‌های رادر و واحدهای شبکه‌ای دارای گسل نشان می‌دهد. این هیستوگرام بوضوح نشان می‌دهد که امتداد غالب در محدوده این برگه بین ۱۲۰ تا ۱۴۰ درجه قرار دارد. این امتداد با امتداد محور کمپلکس ساختمانی منطقه سازگاری دارد و از این رو به نظر می‌رسد که بواسطه عوامل ساختمان ناحیه‌ای کنترل می‌شود.

بنابراین تا آنجاکه به امتداد این گسلها در محدوده این برگه مربوط می‌شود توسعه گسلها و به تبع آن امتداد زونهایی با شکستگی بیشتر از روندهای تکتونیکی ناحیه‌ای تبعیت می‌کند. شکل ۷-۳۰ دیاگرام رزدادهای امتداد مربوط به گسلها را نشان می‌دهد. که تا حدودی منعکس کننده ایزوتropی نسبی آنها می‌باشد. این شکل معرف آن است که در امتداد ۱۲۰ تا ۱۳۰ درجه ($10^{\circ} \pm$ درجه) تعداد گسلها چشمگیر است. قابل توجه است که این دیاگرام رز بر اساس ۱۸۸۶ امتداد

مختلف اندازه‌گیری ترسیم یافته است بنابراین بنحوی اثر طول گسل در امتدادهای اندازه‌گیری شده موثر بوده است.

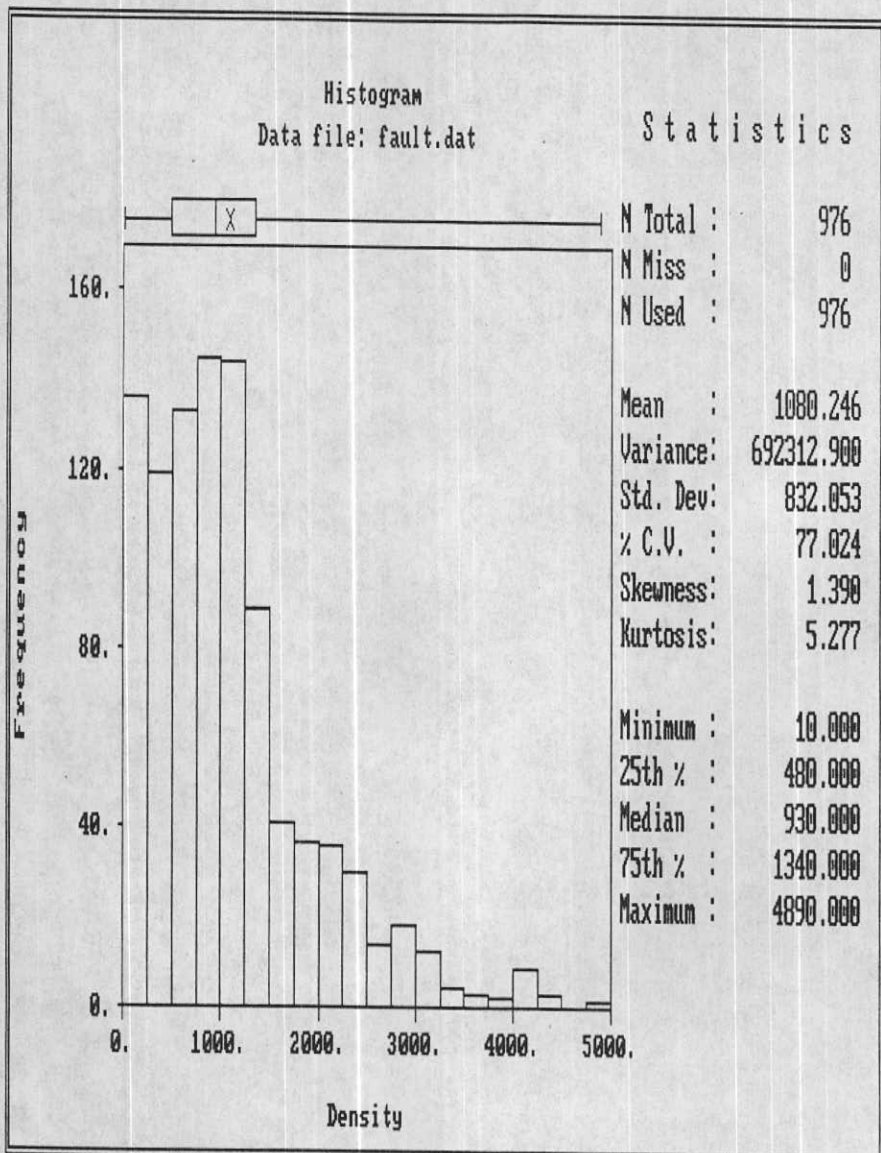
۶-۹-رسم نقشه دانسیتیه گسلها

برای رسم نقشه توزیع دانسیتیه گسلها می‌توان از روش ژئواستاتیستیک استفاده نمود. و این در صورتی است که ساختار فضایی لازم در واریوگرام ترسیم شده برای دانسیتیه گسلها وجود داشته باشد. شکل (۷-۳۱) واریوگرام دانسیتیه گسلهای را که براساس ۴۷۵،۸۰۰ جفت ترسیم شده است، نشان می‌دهد. مشخصات مدل برآشده به نقاط واریوگرام تجربی شکل (۷-۳۰) نیز به شرح ذیل است.

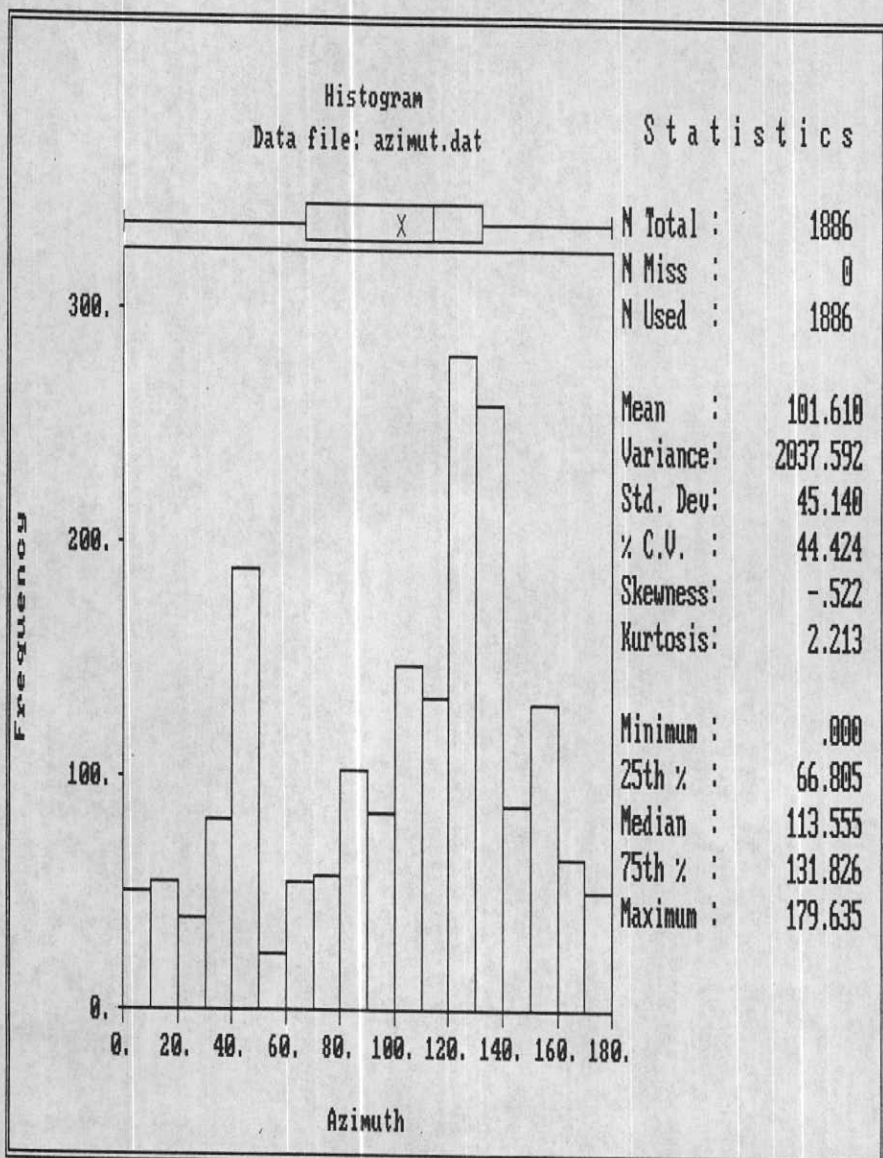
کروی	-نوع مدل
۵۸۱۰۰	-اثر قطعه‌ای
۱۸۲۰۰	-سقف مدل
۳۸۷۰	-برد مدل

همانطور که ملاحظه می‌شود، بیش از ۷۶٪ سقف واریوگرام را تغییرات تصادفی تشکیل می‌دهد. لذا استفاده از روشهای زمین‌آماری با خطای قابل توجهی همراه خواهد بود. لذا از سایر روشهای تخمین برای تهیه نقشه توزیع شکستگی‌ها استفاده شده است.

با توجه به توزیع چگالی گسلهای اندازه‌گیری شده و مدل واریوگرام شکل (۷-۳۱)، شعاع جستجو در عملیات تخمین معادل ۲/۸ کیلومتر در نظر گرفته شده است. نقشه شماره (۱۰) نتایج تخمین و توزیع چگالی گسلهای برگه $\frac{1}{100,000}$ حنا را نشان می‌دهد. برای رنگ‌آمیزی فراوانی معادل بالای ۷۵٪ مقادیر تخمین زده شده، ملاک قرار گرفته است. بر اساس نقشه حاصله مناطق و زونهای با شکستگی زیاد به عنوان مناطق پر پتانسیل‌تر مشخص گردیده و در مدلسازی آنومالیهای ژئوشیمیایی بکار رفته است.



(٧ - ٢٨) شكل



(٧ - ٢٩) شکل

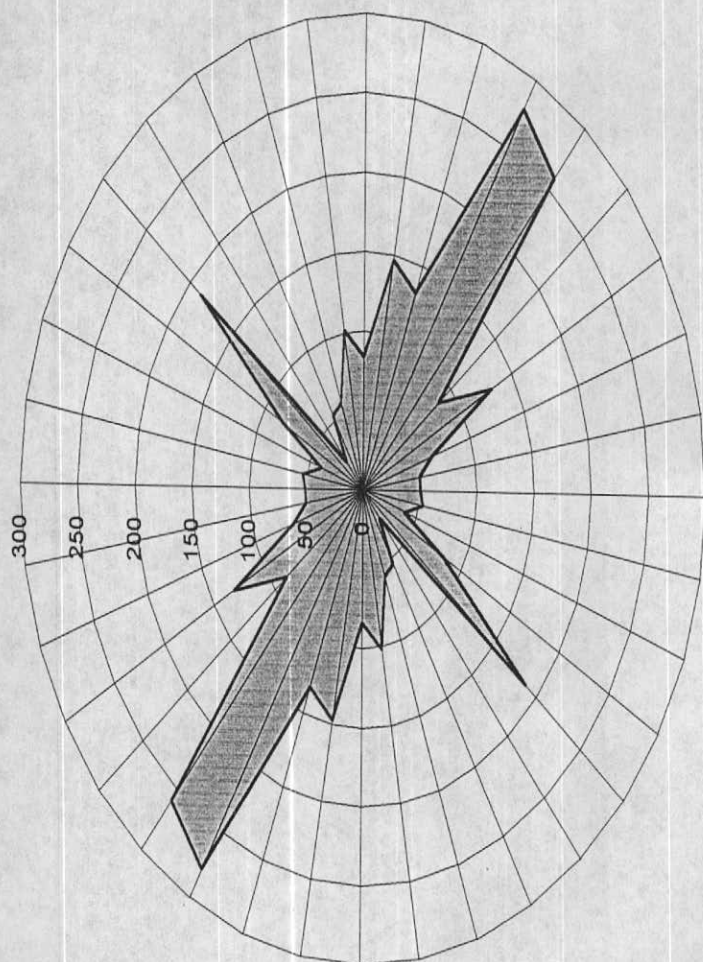
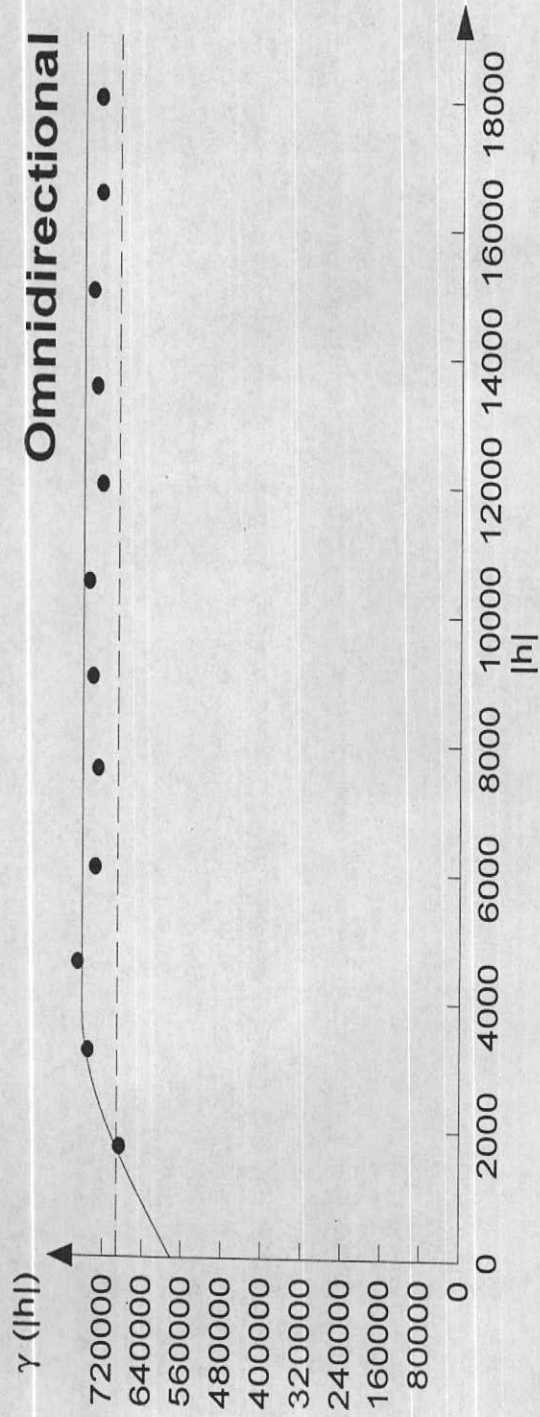


Fig. 7-30 : Rose Diagram of Fault Azimuth Frequency in Hana 1/100,000 Sheet .

**Fig.7-31:ND Variogram for Fault Density in Hana 1/100,000 Sheet -
Gamma(h): $581000 + 182000 \text{ Sph.}3870(h)$**



فصل هشتم

مدل سازی آنومالیهای ژئوشیمیائی

۱- روش کار

یکی از معضلات بررسیهای اکتشافی ژئوشیمیائی، انتخاب مناطق امیدبخش و اولویت بندی آنها برای کارهای نیمه تخصصی است. ریشه مشکلات مربوط به این کار آنستکه ملاک ژئوشیمیائی معینی برای این کار تعریف نشده است و اگر هم تعریف شود ممکن است نتواند بطور مؤثر بکار برد شود. زیرا مجموعه داده‌های ژئوشیمیائی، کانی سنگین و نمونه‌های میزالیزه و آتراسیون، تازمانیکه در چهار چوب یک مدل کلی مورد سنجش قرار نگیرند و میزان سازگاری کلیه مشاهدات مشخص نشود، از اعتبار لازم برای تصمیم‌گیری برخوردار نخواهد بود و تکیه بر آنها می‌تواند ریسک عملیات اکتشافی را بالا برد و پیامدهای ناخوشایندی را بهمراه داشته باشد.

برقراری چنین مدلی در اکتشافات ناحیه‌ای در مقیاس $1/100,000$ نیاز به کسب اطلاعاتی در زمینه‌های ناحیه‌ای و محلی دارد. اطلاعات ناحیه‌ای برای یک منطقه آنومال شامل سکانس‌های موجود در منطقه، سنگ درونگیر، دامنه سنی آنها و شرایط تکتونیکی محیط مربوط به آنهاست. شرایط محلی بیشتر محدود به ویژگیهای موجود در محدوده آنومال است که شامل ویژگیهای محیط آنومالی از قبیل پدیده‌های ماقمائي، دگرگونی، رسوبی فعال در محدوده آنومالی و همچنین شرایط زمین‌شناسی ساختمانی محدوده آنومالی، پارازندهای ژئوشیمیائی توسعه یافته در محدوده آنومالی، ویژگیهای کانی‌شناسی فرآيندهای بعد از ماقمائي شامل انواع آتراسیونها و ساخت و بافت سنگها و زونهای کانی‌سازی احتمالي و بالاخره آنومالیهای ژئوفیزیکی در محدوده آنومالی می‌باشد.

اگر بخواهیم اطلاعات فوق را، که شامل بیش از ۱۲۰۰ ویژگی تعیین شده است، برای ۹۳ تیپ کانسار مدل‌سازی شده به کار ببریم، نیاز به نرم‌افزاری است که قادر باشد براساس منطق

خاصی از روی ویژگیهای معلوم در محل گسترش یک آنومالی معین محتملترین تیپ کانسار احتمالی وابسته به مجموعه خواص مشاهده شده را پیشنهاد نماید. مناسبترین منطق برای این کار، منطقی است که در آن هر کانسار مانند شیئی با خواص و ویژگیهای معین احتمال پذیر مورد مطالعه قرار گیرد. بنابراین در محل هر آنومالی، تعدادی از خواص که مورد اندازه‌گیری قرار گرفته است، بعنوان خواص احتمالی آن شئی معلوم می‌باشد. وجود هر یک از خواص در اثبات تشابه با کانساری معین، از امتیاز تعیین شدهای برخوردار است و نبود آن خاصیت در رد آن کانسار نیز امتیاز تعیین شده معینی دارد. با توجه به مراتب فوق می‌توان با مطمئن بودن از وجود بعضی از خواص و نبود بعضی از خواص، محتملترین تیپ کانسار وابسته را پیش‌بینی کرد که بیشترین سازگاری و کمترین ناسازگاری را با مجموعه خواص مشاهده شده در محل توسعه آنومالی داشته باشد. چون در مورد بعضی از خواص نه به وجود نه به نبود آن اطمینان کافی در دست نیست، لذا لازم است در نرم‌افزار مورد نظر حق انتخاب دیگری به مفهوم خاصیت تعیین نشده وجود داشته باشد که در سنجش سازگاری و ناسازگاری مجموعه خواص بی‌اثرباشد.

بالاترین امتیاز کاربرد چنین مدلی اینست که پس از رتبه‌بندی آنومالیها براساس سازگاری آنها با تیپ معینی از کانسارها، عملیات اکتشافی احتمالی‌ای که باید در محدوده آن صورت پذیرد را با اولویت بندی پیشنهاد نماید. این کار از طریق مقایسه خواص داده شده در محل آنومالی با خواصی که محتملترین تیپ کانسار دارا می‌باشد، انجام می‌پذیرد.

۲- مدل سازی

۱-۲- مقدمه

مدل سازی آنومالی های ژئوشیمیایی یکی از مهم ترین موضوعاتی است که در دهه گذشته در زمینه اکتشافات ژئوشیمیایی مطرح شده است و بسرعت مسیر تحول خود را می گذراند. مدل سازی آنومالی های ژئوشیمیایی را می توان مانند هر نوع مدل سازی دیگری در زمینه های مهندسی، نوعی روش ساده سازی دانست که موجب سهولت در شناخت واقعی تر پدیده ها و رخدادها (برای مثال کانی سازی از تیپ خاصی) می شود. بدیهی است هر نوع مدل سازی با نوعی ساده سازی همراه است که ممکن است موجب بروز خطأ گردد. ریشه این خطأ می تواند در ارتباط با نادیده گرفتن عناصر و عوامل جزئی تر باشد. در مقابل این نقطه ضعف هر مدلی نقطه قوتی دارد و آن این است که ارتباط عناصر و عوامل اصلی یک پدیده و یا رخداد با مدل سازی روشن تر و شفاف تر می شود، زیرا امکان سنجش درجه سازگاری و ناسازگاری عناصر و عوامل موجود در یک رخداد (برای مثال مجموعه خواص مشاهده شده در یک تیپ کانی سازی معین) با مدل سازی فراهم می گردد.

اگر داده های معرف یک تیپ خاصی از کانی سازی که در واقع مجموعه خواص آن تیپ کانی سازی است، در یک محیط معینی یافت شود می تواند دلالت بر رخداد آن تیپ کانی سازی داشته باشد. چنانچه خاصیتی بیگانه نسبت به مجموعه خواص فوق نیز مشاهده شود با مدل سازی می توان به بی اهمیت بودن آن پر برد. بر عکس اگر در مجموعه خواص سازگار از یک تیپ معین کانی سازی جای یک یا چند خاصیت خالی باشد، می توان برای یافتن احتمالی آنها و تأیید و یا تکذیب مدل به جستجوی هدف دار پرداخت. این جستجوی هدف دار خمیر مایه اصلی در طراحی برنامه اکتشافی برای فاز بعدی است. بنابراین بدون مدل سازی نمی توان به تخمین قابل قبولی از احتمال پیدایش یک تیپ کانسار خاص (وابسته به مجموعه مشاهدات تجربی) در یک محیط زمین شناسی معین پرداخت. از نظر تاریخچه مدل سازی باید گفت که در قبل مدل سازی

کانسار بیشتر بر اساس ژئ آنها صورت می‌گرفت و بدین دلیل کارآیی اکتشافی لازم را دارا نبود. ولی امروزه مدل‌سازی کانسار بیشتر بر اساس منطق شیء‌گرایی است که در آن اساس کار بر وجود یا عدم ویژگی‌های مشترک معین قرار دارد. بر اساس این منطق هر تیپ کانسار خاص مانند شیئی می‌ماند که بواسیله «مجموعه‌ای از خواص معین شناخته می‌شود، با این نگرش که پیدایش هر یک از خواص در این مجموعه حالت قطعی نداشت» بلکه احتمال پذیر است و امکان بود و نبود آن با عددی بین صفر تا یک بیان می‌شود. چنین نگرش احتمال پذیری استفاده از منطق فازی (FUZZY Logic) را در مدل‌سازی کانسارها اجتناب ناپذیر می‌سازد. به طور خلاصه انگیزه اصلی مدل‌سازی آنومالی‌های ژئوشیمیایی ارتباط دادن آماری آنها با نوع خاصی از کانسازی است تا درجه سازگاری و ناسازگاری خواص اندازه‌گیری شده و مشاهدات مختلف مانند آنومالی‌های تک عنصری و پیدایش کانیهای سنگین خاص و انواع خاصی از دگرسانی‌ها در سنگ درونگیر معین با سن معین مورد سنجش قرار گیرد. از این طریق می‌توان آن دسته از خواص ژئوشیمیایی، کانی‌سنگین، هوازدگی، دگرسانی، سنگ درونگیر و غیره که به طور تصادفی در مجموعه خواص مشاهده شده در یک ناحیه ثبت گردیده‌اند را شناخت و سپس آنها را بعنوان خواص ناسازگار از مجموعه خواص مشاهده شده حذف کرد. در ویرایش جدید نرم افزار مدل‌سازی کانساری^(۱) بر اساس منطقی خاص که در آن برای قبولی هر ویژگی برای یک کانسار از مشخصه‌های هم‌خانواده آن بعنوان شاهد استفاده می‌شود دو عدد محاسبه می‌گردد. اولی که تحت عنوان Rank در جدول نامگذاری شده درصد احتمال پیدایش یک کانسار را مشخص می‌کند و عدد محاسبه شده بعدی تحت نام Score درصد سازگاری مدل مذکور با منطقه مورد بررسی را مشخص می‌کند. لذا حاصل ضرب این دو پارامتر (R.S) میزان سازگاری و موقعیت یک کانسار را با توجه به اطلاعاتی که از منطقه در اختیار نرم افزار گذاشته شده معرفی می‌نماید که البته هر چه میزان R.S بالاتر باشد، اهمیت منطقه بیشتر خواهد بود.

چنین منطقی موجب تصفیه مؤثر آنومالی‌های ژئوشیمیایی وابسته به کانی‌سازی از انواع دیگر می‌شود که خود موجب افزایش احتمال کشف و کاهش هزینه‌های اکتشافی می‌گردد. بنابراین با نسبت دادن یک مجموعه از آنومالی‌های ژئوشیمیایی ثبت شده در یک منطقه به مدلی خاص، می‌توان برای هر یک از ویژگی‌های کمی و کیفی آن با تکیه به مقدار پارامترهای مشابه در مدل استاندارد، تخمین‌های لازم را با دقت کافی بعمل آورد.

۲-۲- مدل‌های عددی

ویژگی‌های هر تیپ کانسار را می‌توان به دو گروه تعیین کننده و عادی تقسیم کرد. ویژگی‌های تعیین کننده شامل آن دسته از خواصی است که وجودشان در اثبات یک مدل خاص کانی‌سازی و یا نبودشان در رد یک مدل خاص کانی‌سازی می‌تواند مؤثر باشد. خواص عادی یک کانسار خواصی است که بود و نبودش در اثبات و یاردهیک مدل معین نقشی ندارد. از آنجاکه اهمیت "بود" یک خاصیت و یا نبود آن در مقایسه با خواص دیگر، در اثبات یاردهیک تیپ معینی از کانی‌سازی یکسان نیست، لذا لازم است برای وجود یک خاصیت (و یا نبود آن) در اثبات (یارده) یک مدل کانی‌سازی وزن معینی انتخاب گردد. این وزنها از طریق محاسبات آماری روی ۳۶۰۰ کانسار شناخته شده در جهان بدست آمده و توسط کاکس و سینکلر (۱۹۸۷ و ۱۹۹۲) ارائه گردیده است. در این پروژه مدل‌سازی آنومالی‌های ژئوشیمیایی عمدهاً براساس وزن‌های فوق است که در یک مجموعه نرم‌افزاری جمع‌آوری شده است.

۳-۲- مدل‌سازی آنومالی‌های ژئوشیمیائی در برگه ۱/۱۰۰،۰۰۰ حتا

داده‌های به کار رفته در مدل سازی هر آنومالی شامل موارد زیر است: سکانس سنگ‌های منطقه در برگیرنده آنومالی، سنگ درونگیر آنومالی، سن‌سنگ درونگیر آنومالی، انواع دگرسانی‌های احتمالی در محدوده آنومالی، پاراژنژهای ژئوشیمیایی در محدوده آنومالی،

ترکیب کانه‌ها و کانیها در جزء کانی سنگین، ساخت و بافت سنگ درونگیر و ساخت و بافت در زون میزآلیزه احتمالی، محصولات هوازدگی و خاستگاه تکتونیکی. حداقل امتیاز مثبت وجود یک خاصیت معین ۵ و حداکثر آن ۴۰۰ می‌باشد. امتیازات منفی (بعثت نبود خاصیت) وابسته به خواص بین ۰ تا ۴۰۰ تغییر می‌کند. این مجموعه خواص در دورده اصلی ناحیه‌ای که با علامت R در جداول آمده است و محلی که با علامت L در جداول آمده است قرار می‌گیرند. اساس تهیه اطلاعات جهت مدل‌سازی، نقشه‌های زمین‌شناسی ۱/۱۰۰،۰۰۰ منطقه می‌باشد ولی جهت مدل‌سازی هر چه دقیق‌تر لازم است تا یکبار دیگر پس از اخذ داده‌های اکتشافات چکشی و رئوفیزیکی (مغناطیسی و گاماسنگی) قبل از تهیه شرح خدمات اکتشافات نیمه تفصیلی با به کارگیری سیستم GIS به مدل‌سازی پرداخت. مشاهدات صحرایی در خلال فاز کنترل آنومالی‌های رئوشیمیایی نشان داد که تعدادی از آنومالی‌های رئوشیمیایی بدست آمده در ارتباط با خطاهای ناشی از خنثی شدن اثر سنگ بالادست رسوبات آبراهه‌ای بوده است. بعنوان مثال می‌توان از آنومالی‌های نیکل نام برد که بعلت وجود تودهای ولکانیکی مافیک در منطقه می‌باشد که بعلت وسعت کم، عمدتاً در نقشه‌های زمین‌شناسی مشخص نشده بودند.

در محدوده برگه حنا در مجموع ۴۲ آنومالی رئوشیمیایی تشخیص داده شده است مشخصات جغرافیایی آنها در جدول ۱-۸ آورده شده است. این آنومالی‌ها که بعضاً تک عنصری ولی بیشتر چند عنصری می‌باشد. بعضی از آنومالی‌ها (پانزده مورد) در فاز مدل‌سازی به علت کمی تعداد داده‌های لازم و یا مورد تأیید قرار نگرفتن آن محدوده در مرحله کنترل آنومالی‌ها حذف شده‌اند. برای هر مورد از آنومالی‌ها که تحت عنوان HANA-1 تا HANA-42 (به استثنای موارد حذف شده) شماره‌گذاری شده است سه نوع خاصیت به نرم‌افزار داده شده است:

- خواصی که وجود آنها بوسیله یکی از روشهای به کار گرفته شده در پروژه مانند روشهای رئوشیمیایی، کانی سنگین، دگرسانی، زونهای کانی‌سازی و سیستم‌های

جدول ۱-۸- موقعیت جغرافیایی و مشخصات محدوده‌های آنومال در برگه $\frac{1}{100}$ حنا

موقعت جغرافیایی	موقعته میزبانیه	شماره نمونه کانی سنتگنین	شماره نمونه کانی سنتگنین	عنصر آنومال زنگوشه‌بی	شماره نمونه آنومال	شماره محدوده آنومالی
کرم (غرب کارادغان)				Cu, Cd, Y, Zn, W	۵۴۶۴۳۴۴۷	۱ (آنومالی شماره ۱)
شمال و شمال غرب برگه ۰۰۰۰۵/۱ پوزک				As, Sr, Ba, Ag, Y, Cd	۴۱۸۶۱۵۱۴۱۷۷۴۴۹	۲ (آنومالی شماره ۲)
جنوب و جنوب شرقی گدار				Co, Hg, Sr, Pb, Cd	۲۲۶۱۱۳۱۳۱۳۵	۳ (آنومالی شماره ۳)
جنوب زیر گرم				Pb, Sc, Bi	۱۱۱۸۲۱۱۳۱۳۱۴	۴ (آنومالی شماره ۴)
منطقه کویران و شمال روستای بارده				Cr, Cu, Hg, Ni, Sc	۵۴۶۴۳۴۴۷	۵ (آنومالی شماره ۵)
جاده آغین، دره ایجیر و دره شرقی				W, Ba, Ag, Cd, Y, Au, Co, Sn, As, Pb, Hg,	۴۷۶۱۱۶۱۱۷۱۱۸	۶ (آنومالی شماره ۶)
جنوب غرب تیغ سیاه				Sn, Ba, Ag	۳۰۲۱۰۹۱۱۱۰	۷ (آنومالی شماره ۷)
جنوب استاردم				Sn, Sr, Y, W, Cd, Hg, Co, Sb, Zn	۱۲۷۶۱۱۳۱۲۱۱۲۱۱۲۱۳	۸ (آنومالی شماره ۸)
شمال آغین				Sn, Ag, Ba, As	۳۰۹	۹ (آنومالی شماره ۹)
دره بن پیزار				V, Sc, Ni, Pb	۱۰۹۲۱۰۷۷۷۹۳۵	۱۰ (آنومالی شماره ۱۰)
دنس سرمه				Cr, Ni	۷۰۳۱۷۵۰۸	۱۱ (آنومالی شماره ۱۲)
شمال غرب چشنه بند و جنوب تیغ پیش				Cu, Nh, Sr, V	۵۶۴۳۴۵۴۵	۱۲ (آنومالی شماره ۱۳)
منطقه نرسگسان و محدوده روختانه چشمنه بند				Ni, V, Cu, Sr, Sc	۵۲۴۳۵۲۷	۱۳ (آنومالی شماره ۱۴)

جدول ۱-۸- موقعیت چهار ایلایی و مشخصات محدوده‌های آنومال در برگه هنا

موقعیت چهار ایلایی	شماره منونه میرالبرزه	شماره منونه کانی سنتین	عنصر آنومال زنگنه‌پی	شماره منونه آنومال	شماره محدوده آنومالی
جنوب ترکمنستان	۴۴۶، ۷۳۳، ۵۴۳، ۴۵۴، ۹۴۹	۱۰۱، ۱۷۱، ۳۳۷، ۵۲۸	Pb, Sb, W, Ag, As, Ba Zn	۲۳۷	۱۵ آنومالی شماره ۱۵
شمال شرق راهنم	۵۷۰، ۵۶۷	۱۰۰، ۳۰۳، ۲۶۷	Co	۲۶۹	۱۶ آنومالی شماره ۱۶
شرق گوه سوزو	۱۰۰، ۸۱، ۰۰۹	۲۶۰، ۳۰۰، ۲۶۷	Pb, Au	۲۶۷، ۲۸۰، ۳۱۳	۱۷ آنومالی شماره ۱۷
شمال روستای پورگی	۱۰۰۲	۱۰۰۰، ۳۰۰، ۲۶۷	Y	۳۵۷	۱۸ آنومالی شماره ۱۸
زندیک روستای سروجنگل			W, Au	۱۷۳	۱۹ آنومالی شماره ۱۹
جنوب سرچنگل	۵۰	۵۱، ۰۵، ۱۵، ۹۱، ۲۶۷، ۱۰۲	W	۵۱۵، ۵۱۶	۲۰ آنومالی شماره ۲۰
شرق سروجنگل و جنوب شرق کلچک	۲۷	۲۴۸، ۲۴۷	Hg, Pb, Sb	۲۴۸، ۲۵۷	۲۱ آنومالی شماره ۲۱
جنوب استارام	۱۰۰، ۳۵۰، ۱۰۱	۱۴۴، ۱۴۵، ۱۱۲	Sb	۱۴۴، ۱۴۵، ۱۱۲	۲۲ آنومالی شماره ۲۲
دره اغین	۱۰۰، ۲۹۰، ۱۰۱، ۰۳۰، ۰۳۰	۱۰۱، ۱۳۰، ۰۱۰، ۰۱۰	Sr, W, Hg(2)	۳۳۰، ۳۳۰، ۳۳۰، ۳۳۰	۲۳ آنومالی شماره ۲۳
شرق روختانه سروجنگل و جنوب شرق سرچنگل	۱۰۰، ۸۰، ۱۰۹	۴۷۱، ۴۷۲	Sb, W	۴۷۱، ۴۷۲	۲۴ آنومالی شماره ۲۴
کویران - خاتون مرد	۱۰۰، ۱۳۰، ۰۱۰، ۰۱۰	۱۰۰، ۱۳۰، ۰۱۰، ۰۱۰	W, Co, As, Ni, Hg, Cu Sc	۴۵۷، ۷۷، ۷۸، ۷۷	۲۵ آنومالی شماره ۲۵
جنوب شرقی اغین و شمال کلچک	۱۰۰، ۴۰۰، ۰۱۰، ۰۱۰	۲۴۳، ۲۴۴	Ni, Cu(2), V, Au	۲۴۳، ۲۴۳، ۲۴۳	۲۶ آنومالی شماره ۲۶
جنوب سرچنگل	۱۰۵۵	۲۵۱	Sb	۲۵۲	۲۷ آنومالی شماره ۲۷
جنوب شرقی دره اغین، شمال کلچک برگه ۱ و ۲ - جنوب سروجنگل			Au	۲۲۷، ۳۳۰، ۳۳۰	

پلمبینگ، ژئوفیزیک هواپی، سنگ شناسی و زمین شناسی ساختمانی به اثبات رسیده است.

۲- خواصی که از طریق بررسی های لازم به نبود آنها در محیط یک آنومالی معین در حد امکان اطمینان حاصل شده است.

۳- خواصی که پس از بررسی های انجام شده فوق در بود یا نبود آنها (به نتیجه ای که قابل تصمیم گیری باشد) اطمینان حاصل نشده است.

۴- با در نظر گرفتن این نکته که توسعه هاله های ثانویه نقش مؤثری در امر پی جویی و اکتشاف مواد معدنی دارد، در مواردی که آثار مینرالیزاسیون در محدوده های آنومال مورد بررسی با عنصر آنومال محدوده متفاوت بوده، عنصر غالب کانی سازی دیده شده بعنوان آنومالی ژئوشیمیابی در مدل سازی در نظر گرفته شده است. بعنوان مثال در محدوده ای که آنومالی عنصر "روی" بدست آمده اگر کانی سازی مالاکیت دیده شده باشد، آنومالی ژئوشیمیابی عنصر مس در مدل سازی نیز در نظر گرفته شده است.

نتیجه مدل سازی آنومالی های بیست و هفت گانه برگه ۱/۱۰۰،۰۰۰ حنا به صورت جداولی که در زیر تشریح می شود آورده شده است (داده های خام هر یک از آنومالی های ۲۷ گانه) و موقعیت محل پیدایش هر کدام به مراره مشاهدات صحرائی مربوط به هر یک، در جداول ضمیمه بر روی CD همراه گزارش آورده شده است و نیز نقشه ۸-۱ موقعیت جغرافیابی مناطق آنومالی را نشان می دهد. نتیجه مدل سازی مناطق آنومال در جدول ۸-۲ آورده شده است که شرح این جدول به

قرار زیر می باشد:

۱- در بالای هر جدول شماره آنومالی مطابق آنچه که در شرح آنومالی ها در صفحات گذشته آورده شده است نشان داده می شود مانند ۱-HANA یا ۲۴-HANA.

۲- در چنین جداولی که با نام HANA و یک شماره از یک تا ۴۲ مشخص می شوند، تیپ کانسارهای احتمالی به ترتیب اولویت (احتمال رخداد) آورده شده است. اساس

اولویت‌بندی آنها رقام آخرین ستون سمت راست جدول است که از حاصلضرب ستونهای Score و Rank حاصل شده است.

۳- در جدول فوق سه ستون عددی وجود دارد که ستون اول امتیازات Rank که نمایشگر درصد احتمال پیدایش کانسار مذکور می‌باشد را برای هر یک از تیپ کانسارهای احتمالی نشان می‌دهد. ستون دوم امتیازات Score که درصد احتمال سازگاری را برای همان تیپ کانسارها معرفی می‌کند و ستون آخر حاصلضرب دو مقدار Rank و Score را برای هر تیپ کانسار مشخص می‌سازد.

برای هر یک از کانسارهای محتمل در جدول فوق لیست خواصی که وجودشان سازگار باشد پیشنهاد شده است درجاولی که ساختار شماره‌گذاری آنها بشرح زیر است آورده می‌شود: (جداول ۱ تا HANA-42)

HANA	شماره آنومالی	خط تیره	شماره ردیف کانسار احتمالی	حرف Y
------	---------------	---------	---------------------------	-------

در چنین جداولی هر یک از خواص همراه با امتیاز مثبت بودنشان و امتیاز منفی نبودنشان باضمام دامنه آن آورده می‌شود. در آخرین ستون این جداول علامت Yes بمعنی وجود آن خاصیت و علامت L یا R بمعنی محلی بودن و یا ناحیه‌ای بودن آن خاصیت ذکر می‌شود. در پائین‌ترین سطر این جداول جمع امتیازات مثبت و منفی و دامنه امتیاز نشان داده می‌شود. برای هر یک از کانسارهای پیشنهاد شده محتمل در جدول ۱ تا HANA-42 لیست خواصی که نبودشان در رد مدل مؤثر بوده است همراه با وزن منفی آنها درجاولی که ساختار شماره‌گذاری آنها بشرح زیر است آورده شده است:

HANA	شماره آنومالی	خط تیره	شماره ردیف کانسار احتمالی	حرف N
------	---------------	---------	---------------------------	-------

در پائین‌ترین سطر این جداول جمع امتیازات منفی نیز آورده شده است.

Hana (Sheet 7646)

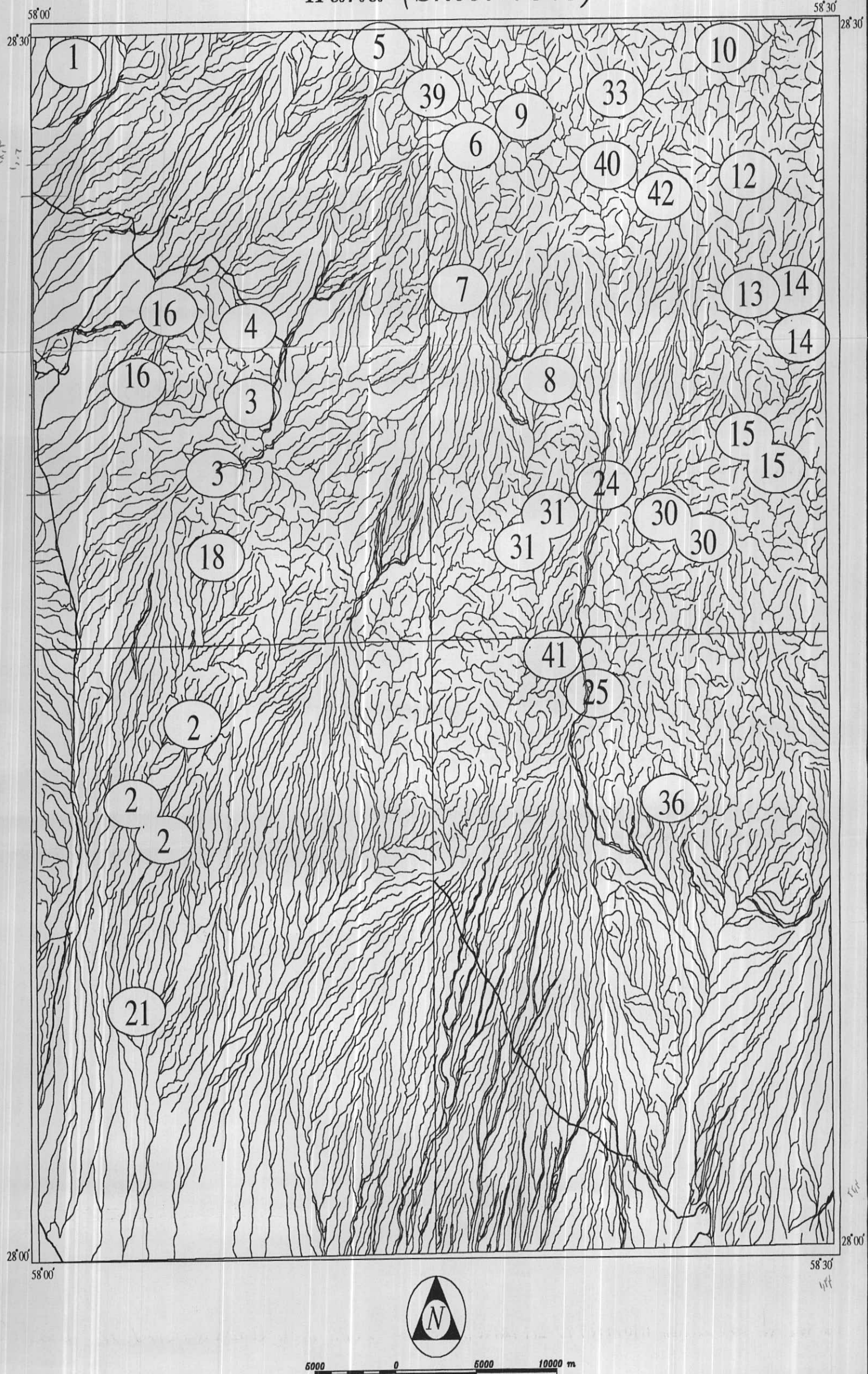


Fig. 8 - 1 : All Promising Area in Hana 1:100,000 Sheet.

Table 8 - 2 : Suggested Ore Deposits for Each Anomaly Area.

Final Modelling Result						Final Modelling Result		
Probable Type of Ore Deposit	Rank (%)	Score (%)	R.S	Probable Type of Ore Deposit	Rank (%)	Score (%)	R.S	
Besshi-Massive Sulfide	3	2.5	7.5	Skarn-Pb-Zn	5	2.6	13	
W-Skarn	18	-0.8	-14.4	Su-polymetallic-Viens	3	2.6	7.8	
Skarn-Fe	23	-3.4	-78.2	Carbonatite Deposits	5	-3.1	-15.5	
Shoreline Placer Ti	93	-1.4	-130.2	W-Skarn	18	-1.3	-23.4	
Alluvial Placer Sn	73	-4.2	-306.6	Lateritic Bauxite	13	-2.3	-29.9	
Hana - 2						Final Modelling Result		
Probable Type of Ore Deposit	Rank (%)	Score (%)	R.S	Probable Type of Ore Deposit	Rank (%)	Score (%)	R.S	
Skarn-Fe	3	24	8.4	Skarn-Fe	8	2.8	22.4	
Placer PGE-Au	3	2.8	8.4	Placer PGE-Au	3	2.5	7.5	
Sedimentary Mn	5	-1.8	-9	Sedimentary Mn	5	-0.7	-3.5	
Placer Au-PGE	88	-0.6	-52.8	Placer Au-PGE	10	-0.6	-6	
Shoreline Placer Ti	80	-2.9	-232	Shoreline Placer Ti	98	-0.6	-58.8	
Hana - 4						Final Modelling Result		
Probable Type of Ore Deposit	Rank (%)	Score (%)	R.S	Probable Type of Ore Deposit	Rank (%)	Score (%)	R.S	
Besshi-Massive Sulfide	8	3	24	W-Skarn	78	13	1014	
Skarn-Fe	3	2.8	8.4	Cyprus Massive Sulfide	13	5.9	76.7	
Quartz-Conglomerate Au-U	5	-1.8	-9	Silica Carbonate Hg	8	5.5	44	
Shoreline Placer Ti	88	-0.6	-52.8	Besshi-Massive Sulfide	5	5.4	27	
Superior Fe	80	-2.9	-232	Su-polymetallic-Viens	3	5.3	15.9	
Hana - 6						Final Modelling Result		
Probable Type of Ore Deposit	Rank (%)	Score (%)	R.S	Probable Type of Ore Deposit	Rank (%)	Score (%)	R.S	
Fiat Faults Au	13	3.9	50.7	W-Skarn	78	13	1014	
W-Skarn	10	3.8	38	Cyprus Massive Sulfide	13	5.9	76.7	
Besshi-Massive Sulfide	8	3.8	30.4	Silica Carbonate Hg	8	5.5	44	
W-Viens	8	0.9	7.2	Besshi-Massive Sulfide	5	5.4	27	
Porphyry-Cu-Mo	18	-0.5	-9	Su-polymetallic-Viens	3	5.3	15.9	
Hana - 8						Final Modelling Result		
Probable Type of Ore Deposit	Rank (%)	Score (%)	R.S	Probable Type of Ore Deposit	Rank (%)	Score (%)	R.S	
Su-polymetallic-Viens	5	2.8	14	Almaden Hg	98	9	882	
W-Skarn	5	-0.7	-3.5	Alluvial Placer Sn	70	3.3	231	
Appalachian Zn	5	-1.4	-7	Silica Carbonate Hg	20	4.3	86	
Sn-Skarn	3	-2.4	-7.2	Hot spring Hg	15	3	45	
Sandstone Hosted Pb-Zn	83	-1.5	-124.5	Hot Spring Au-Ag	3	4	12	

Table 8 - 2 : Suggested Ore Deposits for Each Anomaly Area.

Final Modelling Result						Final Modelling Result		
Probable Type of Ore Deposit	Rank (%)	Score (%)	R.S	Probable Type of Ore Deposit	Rank (%)	Score (%)	R.S	
Sn-polymetallic-Viens	5	3	15	Sandstone Hosted Pb-Zn	73	6.9	503.7	
W-Skarn	15	0.4	6	Besshi-Massive Sulphide	13	5.2	67.6	
Placer Au-PGE	8	-0.9	-7.2	Cypress Massive Sulphide	10	5.1	51	
Climax-Mo	8	-1.6	-12.8	Skarn-Pb-Zn	5	4.7	23.5	
Alluvial Placer Sn	80	-2	-160	Low-Sulfide Au-Quartz	3	4.5	13.5	
Hana - 10						Final Modelling Result		
Probable Type of Ore Deposit	Rank (%)	Score (%)	R.S	Probable Type of Ore Deposit	Rank (%)	Score (%)	R.S	
Cypress Massive Sulphide	10	4.7	47	Silica Carbonate Hg	8	4.4	35.2	
Silica Carbonate Hg	4.1	41	4.4	Porphyry-Cu	15	1.5	22.5	
Cypress Massive Sulphide	33	0.8	26.4	Besshi-Massive Sulphide	3	3.7	11.1	
Porphyry-Mo, Low-F	5	3.5	17.5	Porphyry-Cu-Mo	5	-4.3	-21.5	
Hana - 11						Final Modelling Result		
Probable Type of Ore Deposit	Rank (%)	Score (%)	R.S	Probable Type of Ore Deposit	Rank (%)	Score (%)	R.S	
Silica Carbonate Hg	13	4.3	55.9	Silica Carbonate Hg	10	4.7	47	
Cypress Massive Sulphide	10	4.1	41	Almaden Hg	8	4.4	35.2	
Porphyry-Mo, Low-F	33	0.8	26.4	Alluvial Placer Sn	15	1.5	22.5	
Besshi-Massive Sulphide	5	3.5	17.5	W-Skarn	3	3.7	11.1	
W-Skarn	5	0.9	4.5	Skarn-Pb-Zn	5	-4.3	-21.5	
Hana - 12						Final Modelling Result		
Probable Type of Ore Deposit	Rank (%)	Score (%)	R.S	Probable Type of Ore Deposit	Rank (%)	Score (%)	R.S	
Silica Carbonate Hg	13	4.3	55.9	Silica Carbonate Hg	10	4.7	47	
Cypress Massive Sulphide	10	4.1	41	Almaden Hg	8	4.4	35.2	
Porphyry-Mo, Low-F	33	0.8	26.4	Alluvial Placer Sn	15	1.5	22.5	
Besshi-Massive Sulphide	5	3.5	17.5	W-Skarn	3	3.7	11.1	
W-Skarn	5	0.9	4.5	Skarn-Pb-Zn	5	-4.3	-21.5	
Hana - 13						Final Modelling Result		
Probable Type of Ore Deposit	Rank (%)	Score (%)	R.S	Probable Type of Ore Deposit	Rank (%)	Score (%)	R.S	
Cypress Massive Sulphide	10	4.7	47	Silica Carbonate Hg	8	4.4	35.2	
Silica Carbonate Hg	8	4.4	35.2	Almaden Hg	15	1.5	22.5	
Almaden Hg	15	1.5	22.5	Alluvial Placer Sn	3	3.7	11.1	
Almaden Hg	3	3.7	11.1	W-Skarn	5	-4.3	-21.5	
Hana - 14						Final Modelling Result		
Probable Type of Ore Deposit	Rank (%)	Score (%)	R.S	Probable Type of Ore Deposit	Rank (%)	Score (%)	R.S	
Almaden Hg	90	10	900	Silica Carbonate Hg	95	10.8	1026	
Skarn-Fe	60	5.7	342	Almaden Hg	73	4.1	299.3	
Low-Sulfide Au-Quartz	13	5.6	72.8	Alluvial Placer Sn	70	4.2	294	
Silica Carbonate Hg	10	4.9	49	W-Skarn	15	3	45	
Hot Spring Au-Ag	8	4.6	36.8	Skarn-Pb-Zn	13	3.1	40.3	
Hana - 15						Final Modelling Result		
Probable Type of Ore Deposit	Rank (%)	Score (%)	R.S	Probable Type of Ore Deposit	Rank (%)	Score (%)	R.S	
Almaden Hg	90	10	900	Silica Carbonate Hg	95	10.8	1026	
Skarn-Fe	60	5.7	342	Almaden Hg	73	4.1	299.3	
Low-Sulfide Au-Quartz	13	5.6	72.8	Alluvial Placer Sn	70	4.2	294	
Silica Carbonate Hg	10	4.9	49	W-Skarn	15	3	45	
Hot Spring Au-Ag	8	4.6	36.8	Skarn-Pb-Zn	13	3.1	40.3	
Hana - 16						Final Modelling Result		
Probable Type of Ore Deposit	Rank (%)	Score (%)	R.S	Probable Type of Ore Deposit	Rank (%)	Score (%)	R.S	
Skarn-Fe	10	2.2	22	Skarn-Fe	8	2.6	20.8	
Flat Faults Au	8	2	16	Sedimentary Mn	3	-0.7	-2.1	
Olympic Dam Cu-U-Au	5	1.9	9.5	Sandstone Hosted Pb-Zn	8	-1.4	-11.2	
Blackbird Co-Co	3	1.8	5.4	Shoreline Placer Ti	95	-0.6	-57	
Superior Fe	73	-7.4	-540.2	Superior Fe	85	-3.4	-289	
Hana - 17						Final Modelling Result		
Probable Type of Ore Deposit	Rank (%)	Score (%)	R.S	Probable Type of Ore Deposit	Rank (%)	Score (%)	R.S	
Skarn-Fe	10	2.2	22	Skarn-Fe	8	2.6	20.8	
Flat Faults Au	8	2	16	Sedimentary Mn	3	-0.7	-2.1	
Olympic Dam Cu-U-Au	5	1.9	9.5	Sandstone Hosted Pb-Zn	8	-1.4	-11.2	
Blackbird Co-Co	3	1.8	5.4	Shoreline Placer Ti	95	-0.6	-57	
Superior Fe	73	-7.4	-540.2	Superior Fe	85	-3.4	-289	
Hana - 18						Final Modelling Result		
Probable Type of Ore Deposit	Rank (%)	Score (%)	R.S	Probable Type of Ore Deposit	Rank (%)	Score (%)	R.S	
Skarn-Fe	10	2.2	22	Skarn-Fe	8	2.6	20.8	
Flat Faults Au	8	2	16	Sedimentary Mn	3	-0.7	-2.1	
Olympic Dam Cu-U-Au	5	1.9	9.5	Sandstone Hosted Pb-Zn	8	-1.4	-11.2	
Blackbird Co-Co	3	1.8	5.4	Shoreline Placer Ti	95	-0.6	-57	
Superior Fe	73	-7.4	-540.2	Superior Fe	85	-3.4	-289	

Table 8 - 2 : Suggested Ore Deposits for Each Anomaly Area.

Final Modelling Result					Final Modelling Result			
Probable Type of Ore Deposit	Rank (%)	Score (%)	R.S		Probable Type of Ore Deposit	Rank (%)	Score (%)	R.S
Placer Au-PGE	3	1.5	4.5	Hana - 21	W-Skarn	8	1.6	12.8
Placer PGE-Au	8	-4.5	-36		Porphyry-Cu-Au	5	1.5	7.5
Shoreline Placer Ti	100	-1.4	-140		Sado Epithermal Veins	3	-1.3	3.9
Superior Fe	40	-8	-320		Skarn-Fe	23	-1	-23
Lateritic Bauxite	40	-8	-320		Volcanogenic-Mn	8	-4.5	-36
Final Modelling Result					Final Modelling Result			
Probable Type of Ore Deposit	Rank (%)	Score (%)	R.S		Probable Type of Ore Deposit	Rank (%)	Score (%)	R.S
Almaden Hg	85	2.2	187	Hana - 24	Almaden Hg	100	5.3	530
Silica Carbonate Hg	13	4.9	63.7		Sandstone Hosted Pb-Zn	75	0.4	30
W-Skarn	15	1.6	24		Silica Carbonate Hg	5	3.4	17
Alluvial Placer Sn	33	0.6	19.8		Hot spring Hg	13	0.9	11.7
Oolitic Ironstone	3	3	9		Superior Fe	40	-2.9	-116
Final Modelling Result					Final Modelling Result			
Probable Type of Ore Deposit	Rank (%)	Score (%)	R.S		Probable Type of Ore Deposit	Rank (%)	Score (%)	R.S
Almaden Hg	85	2.2	187	Hana - 25	Almaden Hg	83	1.2	99.6
W-Skarn	13	4.9	63.7		Skarn-Pb-Zn	25	3.8	95
Alluvial Placer Sn	15	1.6	24		Besshi-Massive Sulfide	8	3.3	26.4
Oolitic Ironstone	33	0.6	19.8		W-Veins	5	3.1	15.5
	3	3	9			3	3.1	9.3
Final Modelling Result					Final Modelling Result			
Probable Type of Ore Deposit	Rank (%)	Score (%)	R.S		Probable Type of Ore Deposit	Rank (%)	Score (%)	R.S
W-Skarn	5	1.6	8	Hana - 31	Almaden Hg	83	1.2	99.6
Almaden Hg	3	1.5	4.5		Skarn-Pb-Zn	25	3.8	95
Volcanogenic-Mn	10	-4	-40		Besshi-Massive Sulfide	8	3.3	26.4
Oolitic Ironstone	28	-4	-112		W-Veins	5	3.1	15.5
Superior Fe	88	-3.6	-316.8			3	3.1	9.3
Final Modelling Result					Final Modelling Result			
Probable Type of Ore Deposit	Rank (%)	Score (%)	R.S		Probable Type of Ore Deposit	Rank (%)	Score (%)	R.S
Cyprus Massive Sulfide	10	2.5	25	Hana - 36	W-Skarn	45	3.6	162
W-Skarn	3	2.2	6.6		Almaden Hg	53	1.7	90.1
Volcanogenic-Mn	13	-7.5	-97.5		Alluvial Placer Sn	53	0.9	47.7
Almaden Hg	40	-5.9	-236		Besshi-Massive Sulfide	10	3.6	36
Superior Fe	38	-7.7	-292.6		Oolitic Ironstone	8	0.3	2.4

Table 8 - 2 : Suggested Ore Deposits for Each Anomaly Area.

Hana - 40

Final Modelling Result				
Probable Type of Ore Deposit	Rank (%)	Score (%)	R.S	
Flat Faults Au	40	3.1	124	
Skarn-Fe	65	1.8	117	
Silica Carbonate Hg	10	5.1	51	
Cyprus Massive Sulfide	10	3.5	35	
Low-Sulfide Au-Quartz	5	4.2	21	

Hana - 41

Final Modelling Result				
Probable Type of Ore Deposit	Rank (%)	Score (%)	R.S	
Skarn-Fe			10	1.9
Placer PGE-Au			3	1.6
Sandstone Hosted Pb-Zn			10	-8.6
Carbonatite Deposits			25	-12.7
Shoreline Placer Ti			90	-6.5
				-585

Hana - 42

Final Modelling Result				
Probable Type of Ore Deposit	Rank (%)	Score (%)	R.S	
Cyprus Massive Sulfide	10	2.9	29	
Flat Faults Au	5	2.2	11	
Sandstone U	3	-1.3	-3.9	
Quartz-Conglomerate Au-U	5	-1.2	-6	
Porphyry-Mo, Low-F	18	-1	-18	

۱-۴- اولویت‌بندی مناطق امیدبخش

در این پژوهش اساس اولویت‌بندی مناطق امیدبخش را درجه سازگاری مجموعه پارامترهای مشاهده شده و یا اندازه‌گیری شده در محل توسعه هر آنومالی تشکیل می‌دهد. این درجه سازگاری به صورت درصد انطباق مجموعه خواص مشاهده شده با تیپ‌های استاندارد کانسواری مورد ارزیابی قرار گرفته است و نتایج آن در ستون آخر جداول ارائه شده در مدل سازی آورده شده است. براساس این ارقام می‌توان آنومالی‌های ژئوشیمیایی را در محدوده بزرگ‌ترین نوع کانی‌سازی وابسته و مساحت محدوده آورده شده است.

۱- آنومالی‌های با ضریب R.S بیشتر از ۴۵ شامل سیزده مورد که مساحتی حدود ۵٪ کل برگه، ۱:۱۰۰،۰۰۰ حنا را شامل می‌شود. که شماردهای آنها به قرار زیر است:

HANA: 15, 644, 80, 30, 10, 25, 39, 40, 33, 12, 5, 13

۲- آنومالی‌های با ضریب R.S کمتر از ۴۵ که آنها نیز مساحتی حدود ۴٪ کل برگه ۱:۱۰۰،۰۰۰ حنا را شامل می‌شوند که ۲۹ محدوده باقیمانده را در بر می‌گیرد.

Table 8 - 3 : The Most Promising Area in Sabzevaran 1:100,000 Sheet.

Anomaly No.	Probable Type of Ore Deposit	Rank (%)	Score (%)	R.S	Area(km ²)
Hana - 1	Besshi-Massive Sulfide	3	2.5	7.5	3.84
Hana - 2	Skarn-Pb-Zn	5	2.6	13	15.05
Hana - 3	Besshi-Massive Sulfide	8	3	24	10.29
Hana - 4	Skarn-Fe	8	2.8	22.4	8.00
Hana - 5	Flat Faults Au	13	3.9	50.7	2.91
Hana - 6	W-Skarn	78	13	1014	21.16
Hana - 7	Sn-polymetallic-Viens	5	2.8	14	3.00
Hana - 8	Almaden Hg	98	9	882	10.94
Hana - 9	Sn-polymetallic-Viens	5	3	15	4.00
Hana - 10	Sandstone Hosted Pb-Zn	73	6.9	503.7	11.93
Hana - 12	Silica Carbonate Hg	13	4.3	55.9	9.61
Hana - 13	Cyprus Massive Sulfide	10	4.7	47	3.00
Hana - 14	Almaden Hg	90	10	900	1.00
Hana - 15	Sandstone Hosted Pb-Zn	95	10.8	1026	8.00
Hana - 16	Skarn-Fe	10	2.2	22	8.23
Hana - 18	Skarn-Fe	8	2.6	20.8	6.00
Hana - 21	Placer Au-PGE	3	1.5	4.5	1.00
Hana - 24	W-Skarn	8	1.6	12.8	3.00
Hana - 25	Almaden Hg	85	2.2	187	1.00
Hana - 30	Almaden Hg	100	5.3	530	9.04
Hana - 31	W-Skarn	5	1.6	8	9.02
Hana - 33	Almaden Hg	83	1.2	99.6	17.98
Hana - 36	Cyprus Massive Sulfide	10	2.5	25	3.00
Hana - 39	W-Skarn	45	3.6	162	16.80
Hana - 40	Flat Faults Au	40	3.1	124	11.47
Hana - 41	Skarn-Fe	10	1.9	19	1.00
Hana - 42	Cyprus Massive Sulfide	10	2.9	29	11.37

۵-۲ معرفی مناطق امیدبخش نهایی

باتوجه به پتانسیل بالای این برگه از لحاظ مواد معدنی، معرفی کردن یک محدوده بعنوان بهترین محدوده در مرحله اکتشافات ژئوشیمیایی، با ریسک زیاد همراه است. مساحت معرفی شده بعنوان مناطق امید بخش در این برگه حدود ۹٪ کل مساحت برگه ۱۰۰،۰۰۰/۱۳۱ می باشد. که مطالعات دقیق‌تر بررسی آنها، جهت ادامه عملیات اکتشافی در این محدوده، اجتناب‌ناپذیر است.

محتمل‌ترین تیپ کانی‌سازی در این برگه باتوجه به موقعیت تکتونیکی، ژئوکارتوگرافیکی، توپوگرافیکی و توزیع اولیه معدن‌های اسکارن، کانی‌سازی پرفیری و کانسارهای اپی‌ترمال می باشد. در جدول ۸-۴ محتمل‌ترین تیپ کانی‌سازی در هر محدوده که بعنوان اولویت اول انجام عملیات تفصیلی‌تر معرفی می شوند، بهمراه ضریب R.S و مساحت آنها آورده شده است.

بیشترین امتیاز در این محدوده مربوط به آنمالی شماره ۱۵ واقع در جنوب نرگسان است که سازگارترین تیپ کانی‌سازی در این محدوده "سرپ و روی با میزبان ماسه‌سنگی" می باشد. محدوده پراهمیت بعدی واقع در شمال تیغ سیاه، غرب آغین و منطقه‌ای بنام دره‌انجیر است که سازگارترین تیپ کانی‌سازی در این محدوده اسکارن تنگستان می باشد.

Table 8 - 4 : Final Promising Area in Sabzevaran 1:100,000 Sheet.

Priority	Anomaly No.	Probable Type of Ore Deposit	Rank (%)	Score (%)	R.S	Area(km²)	Cum. Area
First Priority	Hana - 15	Sandstone Hosted Pb-Zn	95	10.8	1026	8.00	8.00
	Hana - 6	W-Skarn	78	13	1014	21.16	29.16
	Hana - 14	Almaden Hg	90	10	900	1.00	30.16
	Hana - 8	Almaden Hg	98	9	882	10.94	41.11
	Hana - 10	Sandstone Hosted Pb-Zn	73	6.9	503.7	11.93	53.04
	Hana - 30	Almaden Hg	100	5.3	530	9.04	62.07
	Hana - 25	Almaden Hg	85	2.2	187	1.00	63.07
	Hana - 39	W-Skarn	45	3.6	162	16.80	79.87
	Hana - 40	Flat Faults Au	40	3.1	124	11.47	91.34
	Hana - 33	Almaden Hg	83	1.2	99.6	17.98	109.32
	Hana - 12	Silica Carbonate Hg	13	4.3	55.9	9.61	118.92
	Hana - 5	Flat Faults Au	13	3.9	50.7	2.91	121.84
	Hana - 13	Cyprus Massive Sulfide	10	4.7	47	3.00	124.84
Second Priority	Hana - 42	Cyprus Massive Sulfide	10	2.9	29	11.37	136.20
	Hana - 36	Cyprus Massive Sulfide	10	2.5	25	3.00	139.20
	Hana - 3	Besshi-Massive Sulfide	8	3	24	10.29	149.49
	Hana - 4	Skarn-Fe	8	2.8	22.4	8.00	157.49
	Hana - 16	Skarn-Fe	10	2.2	22	8.23	165.72
	Hana - 18	Skarn-Fe	8	2.6	20.8	6.00	171.72
	Hana - 41	Skarn-Fe	10	1.9	19	1.00	172.72
	Hana - 9	Sn-polymetallic-Viens	5	3	15	4.00	176.72
	Hana - 7	Sn-polymetallic-Viens	5	2.8	14	3.00	179.72
	Hana - 2	Skarn-Pb-Zn	5	2.6	13	15.05	194.77
	Hana - 24	W-Skarn	8	1.6	12.8	3.00	197.77
	Hana - 31	W-Skarn	5	1.6	8	9.02	206.78
	Hana - 1	Besshi-Massive Sulfide	3	2.5	7.5	3.84	210.62
	Hana - 21	Placer Au-PGE	3	1.5	4.5	1.00	211.62